

Dominique CERVEAU

Julie DÉSERTE

**TRANSFORMATIONS BIRATIONNELLES
DE PETIT DEGRÉ**

Dominique CERVEAU

Membre de l'Institut Universitaire de France. IRMAR, UMR 6625 du CNRS, Université de Rennes 1, 35042 Rennes, France, Membre de l'ANR BLAN06-3_137237.

E-mail : dominique.cerveau@univ-rennes1.fr

Julie DÉSERTI

Institut de Mathématiques de Jussieu, Université Paris 7, Projet Géométrie et Dynamique, Site Chevaleret, Case 7012, 75205 Paris Cedex 13, France,

Membre de l'ANR BLAN06-3_137237.

E-mail : deserti@math.jussieu.fr

Classification mathématique par sujets (1991). — 14E07, 14E05, 37F10, 37F50.

Mots clefs. — CREMONA group, rational map, birational map, algebraic foliation, birational flow, dynamical degree, algebraic stability, orbit, JULIA set.

TRANSFORMATIONS BIRATIONNELLES DE PETIT DEGRÉ

Dominique CERVEAU, Julie DÉSERTI

Résumé. — Depuis la fin du XIX^{ème} siècle on sait que toute transformation birationnelle du plan projectif complexe dans lui-même, encore appelée transformation de CREMONA, s'écrit comme la composée de transformations birationnelles quadratiques ; ceci a motivé notre travail qui porte essentiellement sur ces transformations. Nous établissons des propriétés de type algébriques comme la classification des groupes à un paramètre de transformations de CREMONA quadratiques ou encore la lissité de l'espace des transformations birationnelles de degré 2 dans l'espace des transformations rationnelles. On peut aussi voir qu'un nombre fini de transformations de CREMONA quadratiques choisies génériquement engendre un groupe libre. Par ailleurs nous montrons que si f est une transformation birationnelle de degré 2 ou un automorphisme non trivial du plan projectif complexe, le sous-groupe normal engendré par f est le groupe des transformations de CREMONA tout entier ; nous en déduisons que ce groupe est parfait. Nous démontrons aussi des propriétés de nature dynamique : en suivant une idée de GUILLOT nous implantons aux transformations birationnelles de degré 2 des invariants propres aux feuilletages ce qui nous permet par exemple d'obtenir l'énoncé suivant : si deux transformations de CREMONA quadratiques génériques sont birationnellement conjuguées, elle le sont linéairement ; nous nous intéressons aussi à la présence ou non « d'objets invariants » : courbes, feuilletages, fibrations. Vient ensuite une partie plus expérimentale : nous traçons des orbites de transformations birationnelles de degré 2 à coefficients réels ainsi que des ensembles analogues aux ensembles de JULIA des polynômes à une variable. Nous étudions aussi les transformations de CREMONA cubiques ; en considérant les différentes configurations possibles de courbes contractées nous en donnons « la classification ». Ceci nous permet de montrer que l'ensemble des transformations birationnelles exactement de degré 3 est irréductible, et en fait rationnellement connexe.

Abstract. — Since the end of the XIXth century, we know that each birational map of the complex projective plane is the product of a finite number of quadratic birational maps of the projective plane; this motivates our work which essentially deals with these quadratic maps. We establish algebraic properties such as the classification of one parameter groups of quadratic birational maps or the smoothness of the set of quadratic birational maps in the set of rational maps. We prove that a finite number of generic quadratic birational maps generates a free group. We show that if f is a quadratic birational map or an automorphism of the projective plane, the normal subgroup generated by f is the full group of birational maps of the projective plane, which implies that this group is perfect. We study some dynamical properties: following

an idea of GUILLOT, we translate some invariants for foliations in our context, in particular we obtain that if two generic quadratic birational maps are birationally conjugated, then they are conjugated by an automorphism of the projective plane. We are also interested in the presence of "invariant objects": curves, foliations, fibrations. Then follows a more experimental part: we draw orbits of quadratic birational maps with real coefficients and sets analogous to JULIA sets for polynomials of one variable. We study birational maps of degree 3 and, by considering the different possible configurations of the exceptional curves, we give the "classification" of these maps. We can deduce from this that the set of the birational maps of degree 3 exactly is irreducible, in fact rationally connected.

*À la mémoire de Felice RONGA qui aurait sans doute aimé ce texte,
D. C.*

*À ceux dont, par pudeur, je parle peu,
avec une pensée particulière pour celui qui s'est éclipsé,
J. D.*

Table des matières

Introduction	1
1. Transformations rationnelles et birationnelles quadratiques	21
1.1. Quelques définitions et notations	21
1.2. Transformations rationnelles quadratiques	23
1.3. Critère de birationnalité	24
1.4. Relations et transformations birationnelles, second critère de birationnalité	28
1.5. Quelques orbites sous l'action gauche-droite	34
1.6. Conditions d'incidence ; lissité de Bir_2	40
2. Germes de flots birationnels quadratiques	45
2.1. Généralités sur les germes de flots birationnels quadratiques	45
2.2. Classification des germes de flots birationnels quadratiques	56
3. Transformations rationnelles, feuilletages, conjugaison dans les Σ^i	93
3.1. Généralités	93
3.2. Transformations birationnelles quadratiques et feuilletages	96
3.3. Relations de type LEFSCHETZ, BAUM-BOTT	98
3.4. Conjugaison birationnelle entre éléments de $\text{PGL}_3(\mathbb{C})$	101
3.5. Conjugaison birationnelle entre éléments de Σ^3	103
3.6. Conjugaison birationnelle entre automorphismes de HÉNON	107
4. Quelques propriétés dynamiques des transformations birationnelles quadratiques	109
4.1. Stabilité algébrique	109
4.2. Feuilletages et courbes invariants pour des transformations du type $A\sigma$	111
4.3. Exemples de transformations quadratiques préservant une fibration rationnelle	123
4.4. Transformations ayant une courbe de points fixes	124
4.5. Points d'indétermination des itérés, points périodiques	126
4.6. Transformations birationnelles quadratiques de carré quadratiques	132
5. Des propriétés algébriques du groupe de CREMONA	141
5.1. Le groupe de CREMONA ne se plonge pas dans un $\text{GL}_n(\mathbb{k})$	141
5.2. Centralisateur d'une transformation $A\sigma$ générique	141
5.3. Construction de sous-groupes libres	144
5.4. Au sujet de la simplicité	145
5.5. Une version un peu plus forte du Théorème de NETHER	149

6. Expériences (orbites et ensembles de type JULIA)	151
7. Transformations birationnelles de degré 3	153
7.1. Généralités	153
7.2. “Classification” des transformations birationnelles cubiques	155
7.3. Irréductibilité de Bir_3	177
7.4. Décomposition de NETHER	183
7.5. Transformations birationnelles cubiques et feuilletages	189
A. Démonstration de la Proposition 7.14	191
A.1. Première étape	191
A.2. Deuxième étape	199
Index	205
Index des notations	207
Bibliography	211

INTRODUCTION

L'étude systématique du groupe des transformations birationnelles du plan projectif complexe dans lui-même, encore appelé groupe de CREMONA, prend son essor dans les années 1860. Parmi les protagonistes on trouve CREMONA, NÆTHER, DE JONQUIÈRES etc. Leur approche repose sur une correspondance entre les transformations birationnelles et certains systèmes de courbes rationnelles que nous allons mentionner. Une **transformation rationnelle** f de $\mathbb{P}^2(\mathbb{C})$ dans lui-même est une transformation de la forme

$$f : \mathbb{P}^2(\mathbb{C}) \dashrightarrow \mathbb{P}^2(\mathbb{C}), \quad (x_0 : x_1 : x_2) \mapsto (f_0(x_0, x_1, x_2) : f_1(x_0, x_1, x_2) : f_2(x_0, x_1, x_2))$$

les f_i désignant des polynômes homogènes de même degré. Le degré de f est par définition le degré des f_i . Une **transformation birationnelle** de $\mathbb{P}^2(\mathbb{C})$ dans lui-même ou **transformation de CREMONA** est une transformation rationnelle admettant un inverse rationnel. Nous noterons $\text{Bir}(\mathbb{P}^2(\mathbb{C}))$ le groupe des transformations birationnelles de $\mathbb{P}^2(\mathbb{C})$ dans lui-même. Si

$$f : \mathbb{P}^2(\mathbb{C}) \dashrightarrow \mathbb{P}^2(\mathbb{C})$$

est une transformation birationnelle, le **réseau homaloïdal** associé à f est le système de courbes \mathcal{H}_f défini par

$$\alpha_0 f_0 + \alpha_1 f_1 + \alpha_2 f_2 = 0, \quad (\alpha_0 : \alpha_1 : \alpha_2) \in \mathbb{P}^2(\mathbb{C});$$

c'est l'image réciproque par f du réseau de droites $\alpha_0 x_0 + \alpha_1 x_1 + \alpha_2 x_2 = 0$. En particulier chaque courbe du réseau \mathcal{H}_f est rationnelle. Les points base de \mathcal{H}_f sont les points par lesquels passent toutes les courbes du réseau ; on les appelle aussi **points base** de f . Ils peuvent être dans $\mathbb{P}^2(\mathbb{C})$ ou infiniment proches⁽¹⁾ de $\mathbb{P}^2(\mathbb{C})$; dès que l'un de ces points n'est pas propre il appartient à un k -ième voisinage infinitésimal d'un point base. Les points base propres de f sont les points d'indétermination, *i.e.* ce sont les zéros communs des f_i ; ces points sont les points éclatés par f . La multiplicité au point base m_i de f est la multiplicité d'une courbe générique de \mathcal{H}_f en m_i , *i.e.* l'ordre en m_i d'un élément générique de \mathcal{H}_f .

⁽¹⁾ Soient S une surface et m un point de S . Le diviseur exceptionnel E obtenu en éclatant m est appelé **premier voisinage infinitésimal** de m et les points de E sont dits **infiniment proches** de m . Le k -ième voisinage infinitésimal de m est l'ensemble des points contenus dans le premier voisinage d'un certain point du $(k-1)$ -ième voisinage infinitésimal de m . Par opposition aux points infiniment proches, les points de S sont appelés **points propres**.

On a vu qu'à toute transformation birationnelle on peut associer un réseau homaloïdal, réciproquement on a le

Théorème 1 ([SR85]). — *Un réseau homaloïdal définit une infinité de transformations birationnelles, chacune pouvant être obtenue à partir d'une autre via composition à gauche par un automorphisme de $\mathbb{P}^2(\mathbb{C})$.*

Ainsi le point de vue homaloïdal conduit à ce que nous appellerons la conjugaison gauche-droite.

Exemples. — *i.* Considérons la transformation birationnelle, appelée **involution de CREMONA**, définie par

$$\sigma : \mathbb{P}^2(\mathbb{C}) \dashrightarrow \mathbb{P}^2(\mathbb{C}), \quad (x_0 : x_1 : x_2) \mapsto (x_1x_2 : x_0x_2 : x_0x_1).$$

Les points d'indétermination de σ sont $(1 : 0 : 0)$, $(0 : 1 : 0)$ et $(0 : 0 : 1)$. Les transformations birationnelles dont le réseau homaloïdal est constitué des coniques passant par les points

$$(1 : 0 : 0), \quad (0 : 1 : 0) \quad \text{et} \quad (0 : 0 : 1)$$

sont les transformations de la forme $A\sigma$ avec A dans $\text{Aut}(\mathbb{P}^2(\mathbb{C}))$.

ii. Soit \mathcal{S}_1 le réseau homaloïdal formé des coniques passant par $(1 : 0 : 0)$, $(0 : 1 : 0)$ et tangentes à la droite d'équation $x_2 = 0$. Les transformations birationnelles ayant \mathcal{S}_1 pour réseau homaloïdal sont du type $A\rho$ avec

$$A \in \text{Aut}(\mathbb{P}^2(\mathbb{C})), \quad \rho : \mathbb{P}^2(\mathbb{C}) \dashrightarrow \mathbb{P}^2(\mathbb{C}), \quad (x_0 : x_1 : x_2) \mapsto (x_0x_1 : x_2^2 : x_1x_2)$$

dont les points d'indétermination sont $(1 : 0 : 0)$ et $(0 : 1 : 0)$.

iii. Enfin soit \mathcal{S}_2 le réseau homaloïdal constitué des coniques passant par $(0 : 0 : 1)$, tangentes et osculatrices à $x_0 = 0$ en ce point ; les transformations birationnelles ayant \mathcal{S}_2 pour réseau homaloïdal s'écrivent $A\tau$ où A désigne un automorphisme de $\mathbb{P}^2(\mathbb{C})$ et

$$\tau : \mathbb{P}^2(\mathbb{C}) \dashrightarrow \mathbb{P}^2(\mathbb{C}), \quad (x_0 : x_1 : x_2) \mapsto (x_0^2 : x_0x_1 : x_1^2 - x_0x_2).$$

Comme nous le verrons les involutions σ , ρ et τ jouent un rôle essentiel dans le groupe de CREMONA.

Soient f une transformation birationnelle et \mathcal{H}_f le réseau homaloïdal associé à f . Les courbes de \mathcal{H}_f satisfont les équations suivantes ([AC02])

$$(0.0.1) \quad \sum_{i=1}^q \mu_i^2 = n^2 - 1, \quad \sum_{i=1}^q \mu_i = 3n - 3$$

où μ_i désigne la multiplicité aux points base (qui rappelons le ne sont pas nécessairement propres), q le nombre de points base et n le degré de f . La première équation traduit le fait que deux courbes génériques du réseau homaloïdal se coupent en les points base et un unique autre point ; la seconde exprime que les courbes du réseau sont rationnelles.

À partir, entre autres, de ces équations NETHER énonce en 1871 le

Théorème 2 (Théorème de Noëther). — *Le groupe de CREMONA est engendré par le groupe des automorphismes de $\mathbb{P}^2(\mathbb{C})$, i.e. $\mathrm{PGL}_3(\mathbb{C})$, et l'involution*

$$\sigma : \mathbb{P}^2(\mathbb{C}) \dashrightarrow \mathbb{P}^2(\mathbb{C}), \quad (x_0 : x_1 : x_2) \mapsto (x_1x_2 : x_0x_2 : x_0x_1).$$

En particulier toute transformation birationnelle du plan projectif complexe qui n'est pas un automorphisme est composée d'un certain nombre de transformations quadratiques, i.e. de degré 2.

La démonstration donnée par NÖETHER comportait des lacunes ([Noe69, Noe70, Noe72]); il faudra attendre 30 ans et CASTELNUOVO pour en avoir une complète (voir [Cas01]). Depuis il y a eu de nombreuses preuves de ce résultat; pour une chronologie détaillée on peut consulter [AC02].

Soit $\varphi : \mathrm{PGL}_3(\mathbb{C}) * \mathbb{Z}/2\mathbb{Z} \rightarrow \mathrm{Bir}(\mathbb{P}^2(\mathbb{C}))$ le morphisme défini par

$$\varphi(A) = A \text{ sur } \mathrm{PGL}_3(\mathbb{C}) \quad \text{et} \quad \varphi(1) = \sigma \text{ sur } \mathbb{Z}/2\mathbb{Z}.$$

La description du noyau de φ , i.e. la description des relations dans le groupe de CREMONA, n'aura pas lieu avant les années 1980 (voir [Giz82]); ce noyau est un groupe libre : c'est une conséquence directe de la simplicité des facteurs $\mathrm{Aut}(\mathbb{P}^2(\mathbb{C}))$ et $\mathbb{Z}/2\mathbb{Z}$ et d'un théorème de KUROŠ ([Ser77]).

Remarque 3. — Il n'y a pas d'analogue au Théorème de NÖETHER en dimension supérieure comme en témoigne l'énoncé suivant dû à PAN.

Théorème 4 ([Pan99]). — *Soit n un entier supérieur ou égal à 3. Tout ensemble de générateurs du groupe des transformations birationnelles de $\mathbb{P}^n(\mathbb{C})$ dans lui-même doit contenir un nombre infini et non dénombrable de transformations de degré strictement supérieur à 1.*

Notons qu'HUDSON avait démontré un résultat analogue pour $n = 3$ via des techniques différentes ([Coo40], Book II, Chapter VII, §3).

Le **groupe de DE JONQUIÈRES**, noté dJ, est le groupe d'invariance de la fibration standard $x_1 = \text{cte}$; il est isomorphe au produit semi-direct $\mathrm{PGL}_2(\mathbb{C}(x_1)) \rtimes \mathrm{PGL}_2(\mathbb{C})$. Une **transformation de DE JONQUIÈRES** est un élément de dJ. Une telle transformation s'écrit en carte affine

$$\left(\frac{a(x_1)x_0 + b(x_1)}{c(x_1)x_0 + d(x_1)}, \frac{\alpha x_1 + \beta}{\gamma x_1 + \delta} \right), \quad \begin{bmatrix} \alpha & \beta \\ \gamma & \delta \end{bmatrix} \in \mathrm{PGL}_2(\mathbb{C}), \quad \begin{bmatrix} a(x_1) & b(x_1) \\ c(x_1) & d(x_1) \end{bmatrix} \in \mathrm{PGL}_2(\mathbb{C}(x_1)).$$

Dans les années 1990 ISKOVSKIKH donne une présentation du groupe de CREMONA.

Théorème 5 ([Isk85]). — *Le groupe des transformations birationnelles de $\mathbb{P}^1(\mathbb{C}) \times \mathbb{P}^1(\mathbb{C})$ est engendré par le groupe des automorphismes de $\mathbb{P}^1(\mathbb{C}) \times \mathbb{P}^1(\mathbb{C})$ et le groupe de DE JONQUIÈRES.*

De plus les relations dans $\mathrm{Bir}(\mathbb{P}^1(\mathbb{C}) \times \mathbb{P}^1(\mathbb{C}))$ sont les relations internes au groupe de DE JONQUIÈRES, au groupe $\mathrm{Aut}(\mathbb{P}^1(\mathbb{C}) \times \mathbb{P}^1(\mathbb{C}))$ auxquelles s'ajoute la relation

$$(\tau e)^3 = \left(\frac{1}{x_0}, \frac{1}{x_1} \right) \quad \text{où} \quad \tau : (x_0, x_1) \mapsto (x_1, x_0) \quad \text{et} \quad e : (x_0, x_1) \mapsto \left(x_0, \frac{x_0}{x_1} \right).$$

Alors que NETHER s'intéresse à la génération de $\text{Bir}(\mathbb{P}^2(\mathbb{C}))$, BERTINI se consacre à la classification des involutions birationnelles à conjugaison birationnelle près ([Ber77]); quelques années plus tard KANTOR entreprend de classer les sous-groupes finis de $\text{Bir}(\mathbb{P}^2(\mathbb{C}))$ à conjugaison birationnelle près ([Kan95]). Malgré les corrections apportées par WIMAN (voir [Wim87]) cette classification resta longtemps incomplète et redondante. En 2000 BAYLE et BEAUVILLE présentent, dans [BB00], une nouvelle démonstration de la classification des involutions birationnelles ; dès lors de nouveaux résultats apparaissent dans le même esprit (citons par exemple [dF04, Bea07]). Pour une chronologie détaillée de l'étude des sous-groupes finis de $\text{Bir}(\mathbb{P}^2(\mathbb{C}))$ on peut consulter [DI] ; dans cet article DOLGACHEV et ISKOVSKIKH donnent la classification des sous-groupes finis du groupe de CREMONA. Leur démonstration repose sur le point suivant ([Man67, Isk79]) : si G désigne un sous-groupe fini de $\text{Bir}(\mathbb{P}^2(\mathbb{C}))$ alors G est birationnellement conjugué à un sous-groupe de $\text{Aut}(S)$ où S est une surface rationnelle satisfaisant une des propriétés suivantes

- il existe un fibré en coniques⁽²⁾ $\pi : S \rightarrow \mathbb{P}^1(\mathbb{C})$ invariant par G ;
- S est de DEL PEZZO⁽³⁾.

Simultanément CASTELNUOVO étudie les transformations birationnelles qui fixent point par point une courbe de genre 1.

Théorème 6 ([Cas92]). — *Soit f une transformation birationnelle de $\mathbb{P}^2(\mathbb{C})$ non triviale fixant point par point une courbe irréductible de genre strictement supérieur à 1. Alors f est conjuguée à une transformation de DE JONQUIÈRES ou bien f est d'ordre 2, 3 ou 4.*

En 2006 BLANC, PAN et VUST donnent une version un peu plus précise de ce résultat en reprenant la même démarche que CASTELNUOVO.

Théorème 7 ([BPV08]). — *Soit $f : \mathbb{P}^2(\mathbb{C}) \dashrightarrow \mathbb{P}^2(\mathbb{C})$ une transformation de CREMONA non triviale qui fixe point par point une courbe irréductible de genre strictement supérieur à 1. Alors f est conjuguée à une transformation de DE JONQUIÈRES ou bien f est d'ordre 2 ou 3. De plus dans le premier cas si f est d'ordre fini, c'est une involution.*

Ils décrivent ensuite les sous-groupes de $\text{Bir}(\mathbb{P}^2(\mathbb{C}))$ dont tous les éléments fixent point par point une courbe irréductible de genre $g > 1$. Avant d'énoncer leur résultat rappelons quelques définitions. Comme nous l'avons dit le groupe de DE JONQUIÈRES est le groupe d'invariance

⁽²⁾ Les fibres génériques d'un fibré en coniques sont de genre 0, les fibres singulières sont union de deux courbes rationnelles, *i.e.* les fibres sont de même nature que celles d'un vrai pinceau de coniques dans $\mathbb{P}^2(\mathbb{C})$.

⁽³⁾ La surface S est une **surface de DEL PEZZO** si S est isomorphe à l'une des surfaces suivantes : $\mathbb{P}^2(\mathbb{C})$, la quadrique $\mathbb{P}^1(\mathbb{C}) \times \mathbb{P}^1(\mathbb{C})$, le plan projectif dont on a éclaté un point, $\mathbb{P}^2(\mathbb{C})$ éclaté en $n \geq 2$ points p_i , ces points satisfaisant les conditions suivantes ([DPT80])

- il n'y en a pas trois alignés ;
- il n'y en a pas six sur une conique ;
- si de plus $n = 8$ les p_i ne sont pas sur une cubique plane dont le point singulier serait un des p_i .

de la fibration standard $x_1 = \text{cte}$. Soit P un élément de $\mathbb{C}[x_1]$ qui n'est pas un carré ; on désigne par dJ_P le sous-groupe de dJ défini par

$$dJ_P = \left\{ \left(\frac{a_1(x_1)x_0 + a_2(x_1)P(x_1)}{a_2(x_1)x_0 + a_1(x_1)}, x_1 \right) \mid a_i \in \mathbb{C}(x_1), a_1^2 - Pa_2^2 \neq 0 \right\}.$$

Remarquons que si f est un élément de dJ_P la courbe hyperelliptique $x_0^2 = P(x_1)$ est fixée point par point par f . On peut ainsi réaliser n'importe quel genre pour les courbes de points fixes d'éléments de $\text{Bir}(\mathbb{P}^2(\mathbb{C}))$.

Soient m_1, \dots, m_7 sept points de $\mathbb{P}^2(\mathbb{C})$ en position générale et L le système linéaire formé des cubiques passant par les m_i ; il est de dimension 2. Considérons le pinceau de courbes de L passant par un point générique m de $\mathbb{P}^2(\mathbb{C})$. Les m_j et m en sont des points base et il passe par un neuvième point base que nous noterons $\gamma(m)$; la transformation γ est une involution birationnelle de degré 8 appelée **involution de GEISER**. Les involutions de GEISER fixent point par point une courbe non hyperelliptique de genre 3 (voir [DPT80]).

Soient m_1, \dots, m_8 huit points de $\mathbb{P}^2(\mathbb{C})$ en position générale ; considérons le pinceau de cubiques \mathcal{C} passant par ces huit points. Il a un neuvième point base que nous noterons m_9 . Soit m un point générique de $\mathbb{P}^2(\mathbb{C})$; le pinceau \mathcal{C} contient une unique cubique $\mathcal{C}(m)$ passant par m . Considérons la loi de groupe sur $\mathcal{C}(m)$ ayant m_9 comme élément neutre. Posons $\beta(m) = -m$; alors β définit une involution birationnelle de degré 17 qu'on appelle **involution de BERTINI**. Les involutions de BERTINI fixent point par point une courbe non hyperelliptique de genre 4 à modèle lisse sur un cône quadratique.

Pour finir considérons la surface de DEL PEZZO S de degré 1 donnée dans l'espace projectif à poids $\mathbb{P}(3, 1, 1, 2)$ par

$$w^2 = x_2^3 + P(x_0, x_1), \quad P \text{ polynôme homogène de degré 6.}$$

La restriction de la transformation

$$(w : x_0 : x_1 : x_2) \mapsto (w : x_0 : x_1 : jx_2), \quad j \neq 1, \quad j^3 = 1,$$

définit un automorphisme ζ d'ordre 3 de S dont l'ensemble des points fixes contient une courbe irréductible de genre 2 (voir [BPV08]).

Ces transformations produisent des exemples de groupes finis fixant une certaine courbe.

Théorème 8 ([BPV08]). — *Soit G un sous-groupe non trivial de $\text{Bir}(\mathbb{P}^2(\mathbb{C}))$. Supposons qu'il existe une courbe irréductible C de genre strictement supérieur à 1 invariante point par point par chaque élément de G . Alors*

- ou bien G est cyclique d'ordre 2 ou 3, engendré, à conjugaison près, par une involution de DE JONQUIÈRES, une involution de BERTINI, une involution de GEISER ou encore par l'automorphisme ζ d'ordre 3;
- ou bien G est conjugué à un sous-groupe d'un certain dJ_P .

En particulier lorsque G est infini, C est hyperelliptique et G est un groupe abélien conjugué à un sous-groupe de dJ .

Soit C une courbe irréductible de $\mathbb{P}^2(\mathbb{C})$. On appelle **groupe de décomposition** de C le groupe des transformations de CREMONA qui fixent C ; le **groupe d'inertie** de C est le groupe des transformations birationnelles qui fixent C point par point.

Dans [Pan07b] PAN démontre le

Théorème 9 ([Pan07b]). — Soient C une courbe irréductible lisse non rationnelle contenue dans le plan projectif complexe. Si f appartient au groupe de décomposition de C et n'appartient pas à $\text{Aut}(\mathbb{P}^2(\mathbb{C}))$, alors C est de degré 3 et les points d'indétermination de f appartiennent à C .

Soient C une cubique lisse et m_1, m_2, m_3 trois points de C non alignés. Si f est une transformation quadratique telle que $\text{Ind } f = \{m_1, m_2, m_3\}$ on constate que $f(C)$ est une cubique lisse isomorphe à C . Soit A un automorphisme de $\mathbb{P}^2(\mathbb{C})$ qui envoie $f(C)$ sur C alors Af appartient au groupe de décomposition de C ; une telle transformation est appelée **transformation quadratique C -générique**. Remarquons que les m_i étant choisis arbitrairement le groupe de décomposition de C est infini non dénombrable.

Théorème 10 ([Pan07b]). — Si C est une cubique lisse, le groupe de décomposition de C est engendré par les transformations quadratiques C -génériques.

BLANC décrit dans [Bla08] les éléments d'ordre fini du groupe d'inertie d'une courbe de genre 1; il étudie aussi le groupe d'inertie d'une cubique lisse.

Théorème 11 ([Bla08]). — Soit C une cubique lisse. Les éléments non triviaux de $\text{Ine}(C)$ sont de degré supérieur ou égal à 3. Le groupe d'inertie de C est engendré par ses éléments de degré 3.

Certaines études du groupe de CREMONA s'inscrivent dans une thématique classique. Ainsi il y a eu de nombreux travaux sur les propriétés algébriques des groupes de difféomorphismes des variétés; par exemple DIEUDONNÉ a décrit les automorphismes de $\text{PGL}_{n+1}(\mathbb{C}) = \text{Aut}(\mathbb{P}^n(\mathbb{C}))$ (voir [Die71]): ils s'obtiennent à partir des automorphismes intérieurs, de la contragrédiente ($u \mapsto {}^t u^{-1}$) et des automorphismes du corps \mathbb{C} . Dans [Dés06b] DÉSERTEI généralise cet énoncé à $\text{Bir}(\mathbb{P}^2(\mathbb{C}))$.

Théorème 12 ([Dés06b]). — Soit ϕ un automorphisme du groupe de CREMONA; il existe ψ une transformation birationnelle et τ un automorphisme du corps \mathbb{C} tels que

$$\forall f \in \text{Bir}(\mathbb{P}^2(\mathbb{C})), \quad \phi(f) = \tau(\psi f \psi^{-1}).$$

Dit autrement le groupe des automorphismes extérieurs de $\text{Bir}(\mathbb{P}^2(\mathbb{C}))$ s'identifie au groupe des automorphismes du corps \mathbb{C} .

La preuve repose sur la description des sous-groupes abéliens maximaux non dénombrables G de $\text{Bir}(\mathbb{P}^2(\mathbb{C}))$; en utilisant entre autres les travaux de CANTAT et FAVRE sur les symétries birationnelles des surfaces feuilletées ([CF03]) on peut montrer qu'ils satisfont l'une des propriétés suivantes

- G possède des éléments de torsion;

– G est conjugué à un sous-groupe du groupe de DE JONQUIÈRES.

Continuons avec une autre propriété algébrique satisfaite par $\text{Bir}(\mathbb{P}^2(\mathbb{C}))$. Dans les années 1970 TITS démontre le

Théorème 13 ([Tit72]). — Soient \mathbb{k} un corps de caractéristique nulle et Γ un sous-groupe de type fini de $\text{GL}_n(\mathbb{k})$. Alors

- ou bien Γ contient un groupe libre non abélien ;
- ou bien Γ contient un sous-groupe résoluble d'indice fini.

On dit que $\text{GL}_n(\mathbb{k})$ satisfait l'alternative de TITS. Récemment CANTAT a étudié les sous-groupes de type fini du groupe de CREMONA et montré qu'il en est de même pour le groupe de CREMONA ([Can06, Favre]). Un résultat analogue avait été démontré par LAMY pour le sous-groupe de $\text{Bir}(\mathbb{P}^2(\mathbb{C}))$ des « automorphismes polynomiaux de \mathbb{C}^2 » (voir [Lam01]).

Mentionnons quelques notions de dynamique. Soit f la transformation définie par

$$f : \mathbb{P}^2(\mathbb{C}) \dashrightarrow \mathbb{P}^2(\mathbb{C}), \quad (x_0 : x_1 : x_2) \mapsto ((x_0 + x_1)x_2 : x_0x_1 : x_0x_2).$$

En composant f avec elle-même, nous obtenons

$$f^2 : (x_0 : x_1 : x_2) \mapsto (bx_0x_1 + x_0x_2 + x_1x_2 : x_1(x_0 + x_1) : x_2(x_0 + x_1)).$$

Nous avons donc $\deg(f^2) = \deg(f)^2 - 2$. Lors du calcul de f^2 nous avons pu « factoriser » par x_0x_2 ; ceci traduit, entre autres, le phénomène géométrique suivant : la droite d'équation $x_2 = 0$ est contractée sur $(0 : 1 : 0)$ qui est un point d'indétermination de f

Ceci a conduit à introduire la notion suivante ([FS95]) : f est algébriquement stable si l'une des propriétés équivalentes suivantes est vérifiée

- $(\deg f^n) = (\deg f)^n \quad \forall n \geq 0$;
- il n'existe pas de courbe C de S telle que $f^n(C)$ soit un point d'indétermination de f pour un certain n .

Il y a d'autres façons de caractériser la stabilité algébrique (voir par exemple [DJS07]).

DILLER et FAVRE montrent que pour toute transformation birationnelle f , il existe une modification propre $\varepsilon : S \rightarrow \mathbb{P}^2(\mathbb{C})$ telle que $\varepsilon^{-1}f\varepsilon$ soit algébriquement stable ([DF01], théorème 0.1).

Introduisons un invariant birationnel. Soient f, g deux transformations de CREMONA ; en général on a $\deg f \neq \deg(gfg^{-1})$. Par contre il existe deux constantes positives α, β telles que

$$\forall n \in \mathbb{N}, \quad \alpha \deg f^n \leq \deg(gf^n g^{-1}) \leq \beta \deg f^n;$$

la croissance des degrés de f^n est donc un invariant birationnel. D'où la définition suivante : soit f une transformation de CREMONA ; on appelle premier degré dynamique de f la quantité

$$\lambda(f) = \liminf_{n \rightarrow +\infty} (\deg f^n)^{1/n}.$$

On dit qu'une transformation de CREMONA f est un automorphisme sur la surface S s'il existe une transformation birationnelle $\phi : \mathbb{P}^2(\mathbb{C}) \dashrightarrow S$ telle que $\phi f \phi^{-1}$ soit un automorphisme de S ; on notera $\text{Aut}(S)$ le groupe des automorphismes de S .

DILLER et FAVRE ont donné une classification des transformations birationnelles à conjugaison près.

Théorème 14 ([DF01], théorème 0.2). — *Soit f une transformation de CREMONA. À conjugaison birationnelle près elle satisfait une et une seule des propriétés suivantes*

- la croissance des degrés est bornée (i.e. $\deg f^n = o(1)$), f est un automorphisme sur une certaine surface rationnelle S et un itéré de f appartient à la composante neutre de $\text{Aut}(S)$;
- la croissance des degrés est linéaire (i.e. $\deg f^n \sim n$), auquel cas f préserve une unique fibration rationnelle et n'est pas birationnellement conjugué à un automorphisme ;
- la croissance des degrés est quadratique (i.e. $\deg f^n \sim n^2$) alors f est un automorphisme qui préserve une unique fibration elliptique ;
- la croissance des degrés est exponentielle (i.e. $\deg f^n \sim \alpha^n$, $\alpha > 1$).

Dans les trois premières éventualités $\lambda(f) = 1$, dans la dernière $\lambda(f) > 1$.

Dans ce même article on trouve une estimation du nombre de points périodiques d'un élément générique du groupe de CREMONA de degré $d \geq 2$.

Théorème 15 ([DF01]). — *Soit f une transformation de CREMONA algébriquement stable. Supposons que f ne soit pas un automorphisme de $\mathbb{P}^2(\mathbb{C})$ et n'ait pas de courbe de points périodiques. Notons Per_k le nombre de points périodiques de période (divisant) k . Il existe une constante $C > 0$ telle que pour tout $k \geq 0$ on ait*

$$|\text{Per}_k - \lambda(f)^k| \leq C.$$

Nous allons voir que sous certaines hypothèses il y a abondance de points périodiques hyperboliques (voir Chapitre 4). Une transformation birationnelle f de $\mathbb{P}^2(\mathbb{C})$ vérifie la condition de BEDFORD et DILLER (voir [BD05]) si

$$\sum_{n \geq 0} \frac{1}{\lambda(f)^n} |\log(\text{dist}(f^n(\text{Ind } f^{-1}), \text{Ind } f))| < \infty$$

où dist désigne la distance de FUBINI-STUDY.

On peut énoncer le

Théorème 16 ([BD05, Duj06]). — *Soit f un élément du groupe de CREMONA n'appartenant pas à $\text{Aut}(\mathbb{P}^2(\mathbb{C}))$. Supposons que f vérifie la condition de BEDFORD et DILLER. Alors f possède une infinité de points périodiques hyperboliques qui s'équidistribuent suivant une mesure de probabilité f -invariante.*

Bien que de nature algébrique les énoncés qui suivent ont été établis à partir de techniques de dynamique complexe. Les représentations linéaires des réseaux de groupes de LIE réels simples de rang réel strictement supérieur à 1 ont été étudiées par MARGULIS ([Mar91, VGS00]); afin de généraliser les travaux de celui-ci aux représentations non linéaires des réseaux sur les variétés compactes ZIMMER établit un programme ([Zim84, Zim86, Zim87a, Zim87b]). DÉSERTI s'intéresse à une version birationnelle de ce programme.

Théorème 17 ([Dés06a]). — Soient Γ un sous-groupe d'indice fini de $SL_3(\mathbb{Z})$ et ρ un morphisme injectif de Γ dans le groupe de CREMONA. Alors, à conjugaison birationnelle près, ρ coïncide avec le plongement canonique ou la contragrédiente (i.e. l'involution $u \mapsto {}^t u^{-1}$).

On obtient comme conséquence le

Corollaire 18 ([Dés06a]). — Soit Γ un sous-groupe d'indice fini de $SL_n(\mathbb{Z})$. Dès que $n \geq 4$ le groupe Γ ne se plonge pas dans $\text{Bir}(\mathbb{P}^2(\mathbb{C}))$.

Dans le même esprit mais avec des méthodes différentes CANTAT montre le

Théorème 19 ([Can06]). — Soient Γ un groupe de KAZHDAN⁽⁴⁾ discret et ρ un morphisme de Γ dans le groupe de CREMONA. Ou bien $\rho(\Gamma)$ est fini, ou bien $\rho(\Gamma)$ est conjugué à un sous-groupe de $\text{Aut}(\mathbb{P}^2(\mathbb{C})) = \text{PGL}_3(\mathbb{C})$.

Le Théorème 17 appliqué à $\Gamma = SL_3(\mathbb{Z})$ permet de décrire le semi-groupe des endomorphismes de $\text{Bir}(\mathbb{P}^2(\mathbb{C}))$; en particulier

Théorème 20 ([Dés07a]). — Le groupe de CREMONA est hopfien, i.e. tout endomorphisme surjectif de $\text{Bir}(\mathbb{P}^2(\mathbb{C}))$ est bijectif.

Plus précisément soit ϕ un endomorphisme non trivial de $\text{Bir}(\mathbb{P}^2(\mathbb{C}))$; il existe un plongement de corps τ de \mathbb{C} dans lui-même et une transformation birationnelle ψ telle que

$$\phi(f) = \tau(\psi f \psi^{-1}), \quad \forall f \in \text{Bir}(\mathbb{P}^2(\mathbb{C})).$$

Notons qu'on retrouve en particulier le Théorème 12.

Certaines des méthodes utilisées pour démontrer le Théorème 17 associées à d'autres arguments permettent de décrire les sous-groupes nilpotents de $\text{Bir}(\mathbb{P}^2(\mathbb{C}))$.

Théorème 21 ([Dés07b]). — Soient G un sous-groupe nilpotent, non abélien à indice fini près et ρ un morphisme injectif de G dans $\text{Bir}(\mathbb{P}^2(\mathbb{C}))$. Le groupe G satisfait l'une des propriétés suivantes

- à indice fini près le premier groupe dérivé⁽⁵⁾ de G est abélien ;
- tous les éléments de G sont de torsion.

⁽⁴⁾ Les groupes de KAZHDAN sont caractérisés par la propriété suivante : un groupe G est de KAZHDAN (ou a la propriété (T) de KAZHDAN) si toute action de G par isométrie sur un espace hyperbolique réel ou complexe a un point fixe global [Del77, Gui77].

⁽⁵⁾ Le premier groupe dérivé de G est $\langle aba^{-1}b^{-1} \mid a, b \in G \rangle$.

Ces énoncés confortent l'idée qu'en un certain sens le groupe $\text{Bir}(\mathbb{P}^2(\mathbb{C}))$ se comporte comme un groupe linéaire (de rang 2) : outre l'alternative de TITS on ne peut pas immerger dans $\text{Bir}(\mathbb{P}^2(\mathbb{C}))$ les réseaux $\text{SL}_n(\mathbb{Z})$ et leurs sous-groupes d'indice fini pour $n \geq 4$ au même titre que dans $\text{PGL}_3(\mathbb{C})$.

Ce qui précède ne prétend pas bien sûr être une présentation exhaustive des travaux concernant le groupe de CREMONA mais un point de vue partiel proche des préoccupations des auteurs.

Plusieurs mémoires de synthèse sont disponibles ; citons en particulier [**Cob61**, **Coo59**, **God53**, **Hud27**, **SR85**]. Par exemple les chapitres 6, 7 et 8 du tome 4 de [**Coo59**] sont consacrés aux transformations de CREMONA ; on y trouve les notions de points éclatés, courbes contractées, le théorème de factorisation de NETHER. Les transformations birationnelles d'ordre ≤ 7 , celles ayant une courbe de points fixes de genre > 1 , les sous-groupes finis de $\text{Bir}(\mathbb{P}^2(\mathbb{C}))$ sont des sujets abordés. L'ouvrage d'HUDSON qui date de 1927 contient un chapitre sur les transformations birationnelles quadratiques ; toutefois l'évolution du vocabulaire et des techniques en rend sa lecture difficile, de plus certains arguments « génériques » propres à l'époque nous semblent devoir parfois être précisés. Le livre d'ALBERICH-CARRAMIÑANA est le seul ouvrage récent consacré aux transformations de CREMONA ; l'auteur reprend avec le langage et la rigueur actuels des résultats mentionnés et/ou démontrés par les mathématiciens précédemment cités et démontre des résultats originaux. Dans tous ces mémoires ce sont essentiellement des propriétés algébriques qui sont étudiées, les questions de nature « dynamique » sont bien plus récentes.

Venons en au contenu de ce texte dont le but essentiel est finalement de fournir au lecteur suffisamment d'exemples - parfois innocents - pour permettre d'aborder des problèmes de nature plus difficiles voire conceptuels. Il est motivé en particulier par l'importance des transformations quadratiques ne serait-ce qu'au travers du théorème de NETHER ; mais elles interviennent profondément aussi en géométrie algébrique classique (« désingularisation des courbes à la NETHER » par exemple) et du point de vue de la dynamique nous offrent le premier degré de complexité à étudier dans le même ordre d'idée que les applications de HÉNON que l'on peut évidemment voir dans $\text{Bir}(\mathbb{P}^2(\mathbb{C}))$.

Dans le premier Chapitre on cherche à comprendre dans l'espace des applications rationnelles quadratiques de $\mathbb{P}^2(\mathbb{C})$ dans lui-même le sous-ensemble constitué des transformations birationnelles. Soyons plus précis ; considérons l'espace Rat_2 qui est le projectivisé de l'espace vectoriel des triplets de formes quadratiques en 3 variables complexes

$$\text{Rat}_2 := \mathbb{P}\{(f_0, f_1, f_2) \mid f_i \in \mathbb{C}[x_0, x_1, x_2]_2\}.$$

On constate que Rat_2 s'identifie à $\mathbb{P}^{17}(\mathbb{C})$. À un élément f de Rat_2 on peut faire correspondre la transformation rationnelle $f^\bullet : \mathbb{P}^2(\mathbb{C}) \dashrightarrow \mathbb{P}^2(\mathbb{C})$ définie avec les notations précédentes par

$$x = (x_0 : x_1 : x_2) \dashrightarrow f^\bullet(x) = \delta(f_0 : f_1 : f_2)(x), \quad \delta = \frac{1}{\text{pgcd}(f_0, f_1, f_2)}$$

On note Rat_2^\bullet l'ensemble des transformations f^\bullet où f appartient à Rat_2 ; visiblement Rat_2^\bullet s'identifie au quotient de Rat_2 par la relation d'équivalence $f = (f_0 : f_1 : f_2) \sim g = (g_0 : g_1 : g_2)$ si et seulement si la matrice

$$\begin{pmatrix} f_0 & f_1 & f_2 \\ g_0 & g_1 & g_2 \end{pmatrix}$$

est partout de rang égal à 1.

Notons que sur l'ouvert de ZARISKI $\overset{\circ}{\text{Rat}}_2$, constitué des $f = (f_0 : f_1 : f_2)$ tels que $\text{pgcd}(f_0, f_1, f_2) = 1$, l'application $f \mapsto f^\bullet$ est injective. Remarquons aussi que l'on peut mettre une structure algébrique sur Rat_2^\bullet et parler en particulier d'adhérence de ZARISKI d'un sous-ensemble de Rat_2^\bullet .

Dans Rat_2 nous considérons

$$\text{Bir}_2 := \{f \in \text{Rat}_2 \mid f^\bullet \text{ soit birationnelle} \}$$

et nous notons $\text{Bir}_2^\bullet \subset \text{Rat}_2^\bullet$ le sous-ensemble correspondant.

Il y a sur Rat_2 (resp. Rat_2^\bullet) deux actions naturelles, toutes les deux laissant Bir_2 (resp. Bir_2^\bullet) invariant. La première est l'action de $\text{Aut}(\mathbb{P}^2(\mathbb{C})) \simeq \text{PGL}_3(\mathbb{C})$ par conjugaison dynamique sur Rat_2

$$\text{PGL}_3(\mathbb{C}) \times \text{Rat}_2 \rightarrow \text{Rat}_2, \quad (A, f) \mapsto AfA^{-1}.$$

Cette action passe bien sûr au quotient $\text{Rat}_2^\bullet : (A, f^\bullet) \mapsto Af^\bullet A^{-1}$. L'orbite d'un élément f de Rat_2 (resp. Rat_2^\bullet) pour cette action sera notée $O_{\text{dyn}}(f)$ (resp. $O_{\text{dyn}}(f^\bullet)$).

La seconde de nature algébrico-géométrique est attachée au point de vue « réseaux homaloïdaux ». C'est une action du produit $\text{PGL}_3(\mathbb{C}) \times \text{PGL}_3(\mathbb{C})$, appelée action gauche-droite (g.d.), qui se définit comme suit

$$\text{PGL}_3(\mathbb{C}) \times \text{PGL}_3(\mathbb{C}) \times \text{Rat}_2 \rightarrow \text{Rat}_2, \quad (A, B, f) \mapsto AfB^{-1}.$$

Comme précédemment cette action passe au quotient Rat_2^\bullet . L'orbite d'un élément f est notée ici $O_{g.d.}(f)$.

Considérons le projectivisé de l'espace $\mathbb{C}[x_0, x_1, x_2]_3$ des polynômes homogènes de degré 3. C'est un $\mathbb{P}^9(\mathbb{C})$ sur lequel $\text{PGL}_3(\mathbb{C})$ agit de façon naturelle : c'est la projectivisation de l'action de $\text{GL}_3(\mathbb{C})$ sur $\mathbb{C}[x_0, x_1, x_2]_3$

$$(B, \varphi) \mapsto \varphi \circ B^{-1}.$$

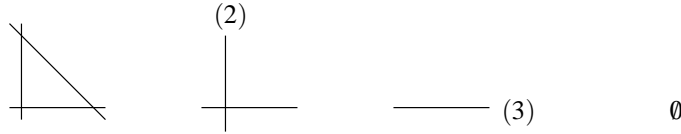
Les orbites génériques sont de dimension 8, ainsi cette action induit un feuilletage singulier sur $\mathbb{P}^9(\mathbb{C})$, feuilletage qui possède une intégrale première rationnelle J qui n'est autre que l'invariant des courbes elliptiques ([Har95]). Introduisons maintenant l'application rationnelle

$$\det \text{jac} : \text{Rat}_2 \simeq \mathbb{P}^{17}(\mathbb{C}) \rightarrow \mathbb{P}^9(\mathbb{C})$$

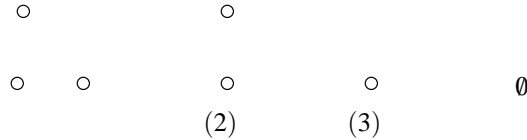
provenant de l'application homogène

$$(f_0, f_1, f_2) \mapsto \det \left(\frac{\partial f_i}{\partial x_j} \right).$$

L'action gauche-droite induit sur Rat_2 un feuilletage singulier de codimension 1 noté \mathcal{R} , les feuilles génériques de \mathcal{R} étant les g.d. orbites génériques. Il se trouve que l'application rationnelle $J \circ \det \text{jac}$ en est une intégrale première rationnelle. Nous étudierons relativement précisément ce feuilletage \mathcal{R} . En particulier nous verrons que l'adhérence ordinaire $\overline{\text{Bir}_2}$ de Bir_2 dans Rat_2 est une certaine composante irréductible de l'ensemble singulier du lieu singulier de \mathcal{R} . L'espace $\overline{\text{Bir}_2}$, qui est comme on vient de le dire irréductible, n'est pas lisse. Il s'agit en fait d'une « variété rationnelle déterminantielle » de dimension 14. Par contre l'espace Bir_2 est lui lisse : donnons-en une brève description. On vérifie qu'un élément f de Rat_2 induit une transformation birationnelle si et seulement si (ceci sera précisé dans le texte) l'application correspondante f^\bullet contracte les zéros de $\det \text{jac} f$. La configuration de ces zéros est alors l'une des suivantes



i.e. correspond aux configurations de triplets de droites (excepté la configuration de trois droites concourantes) auxquelles on ajoute la configuration vide (cette configuration est associée aux éléments f de $\text{Bir}_2 \setminus \overline{\text{Bir}_2}$ tels que f^\bullet soit un isomorphisme linéaire). De façon duale on constate que les configurations de points d'indétermination sont



Pour $i = 1, 2, 3$ on note Σ^i l'ensemble des éléments f de Bir_2 tels que f^\bullet ait i points d'indétermination ; Σ^0 désigne l'ensemble des éléments de Rat_2 du type $f = \ell(\ell_0, \ell_1, \ell_2)$ où ℓ et les ℓ_i sont des formes linéaires, les ℓ_i étant indépendantes. En fait

$$\Sigma^0 = \{f \in \text{Rat}_2 \mid f^\bullet \in \text{Aut}(\mathbb{P}^2(\mathbb{C}))\}$$

correspond exactement aux configurations vides ci-dessus. Avec les notations précédentes on a

$$(\Sigma^0)^\bullet = \text{PGL}_3(\mathbb{C}), \quad (\Sigma^i)^\bullet \simeq \Sigma^i \text{ pour } i = 1, 2, 3.$$

Les isomorphismes $(\Sigma^i)^\bullet \simeq \Sigma^i$ justifieront la confusion parfois abusive des notations f et f^\bullet . Les Σ^i sont en fait des orbites de l'action gauche-droite, plus précisément

$$\Sigma^0 = O_{g.d.}(x_0(x_0 : x_1 : x_2)), \quad \Sigma^1 = O_{g.d.}(\tau), \quad \Sigma^2 = O_{g.d.}(\rho), \quad \Sigma^3 = O_{g.d.}(\sigma).$$

Les dimensions de ces orbites sont les suivantes

$$\dim \Sigma^0 = 10, \quad \dim \Sigma^1 = 12, \quad \dim \Sigma^2 = 13, \quad \dim \Sigma^3 = 14$$

et l'on a

$$\text{Bir}_2 = \Sigma^0 \cup \Sigma^1 \cup \Sigma^2 \cup \Sigma^3.$$

On peut de plus mentionner les relations d'incidence suivantes (les adhérences sont prises dans Bir_2)

$$\overline{\Sigma^0} = \Sigma^0, \quad \overline{\Sigma^1} = \Sigma^0 \cup \Sigma^1, \quad \overline{\Sigma^2} = \Sigma^0 \cup \Sigma^1 \cup \Sigma^2, \quad \text{Bir}_2 = \overline{\Sigma^3} = \Sigma^0 \cup \Sigma^1 \cup \Sigma^2 \cup \Sigma^3.$$

Ces relations d'incidence se prolongent évidemment aux $(\Sigma^i)^\bullet$ dans Bir_2^\bullet .

Dans une session de problèmes ([Bro76]), lors du congrès international de Moscou, MUMFORD propose ce qui suit⁽⁶⁾.

“Let $G = \text{Aut}_{\mathbb{C}}\mathbb{C}(x_0, x_1)$ be the CREMONA group (...) The problem is to topologize G and associate to it a LIE algebra consisting, roughly, of those meromorphic vector fields D on $\mathbb{P}^2(\mathbb{C})$ which “integrate” into an analytic family of CREMONA transformations”.

Dans cette optique nous décrivons au Chapitre 2 les sous-groupes à un paramètre de transformations birationnelles quadratiques. Bien que Bir_2^\bullet ne soit pas un groupe, il contient de nombreux groupes, en particulier le groupe linéaire $\text{PGL}_3(\mathbb{C})$. Comme on l'a dit précédemment l'adhérence de ZARISKI d'un tel sous-groupe est naturellement munie d'une structure de groupe algébrique. Outre le problème posé par MUMFORD, la description systématique des groupes de transformations birationnelles quadratiques conduit naturellement à décrire les germes de flots dans Bir_2^\bullet . Un tel objet est la donnée d'un germe d'application holomorphe

$$\mathbb{C}, 0 \rightarrow \text{Bir}(\mathbb{P}^2(\mathbb{C})), \quad t \mapsto \phi_t$$

tel que

$$\phi_0^\bullet = \text{id}, \quad \phi_{t+s}^\bullet = \phi_t^\bullet \circ \phi_s^\bullet.$$

Si ϕ_t^\bullet est non linéaire, *i.e.* si pour t générique ϕ_t^\bullet n'est pas dans $\text{PGL}_3(\mathbb{C})$, alors ϕ_t^\bullet contracte au moins une droite \mathcal{D}_t qui est ou bien immobile (c'est-à-dire indépendante de t), ou bien mobile. Par exemple on montre d'abord que si un germe de flot contracte une droite « mobile », ce germe laisse une fibration en droites invariante ; dans le même ordre d'idée on obtient que si un germe de flot contracte une unique droite qui est « immobile », ce germe de flot est polynomial... En fait comme nous le verrons, dans tous les cas un germe de flot dans Bir_2^\bullet préserve une fibration en droites.

Donnons un résultat qui s'avèrera essentiel pour la classification des flots (§2.2) : soit ϕ_t^\bullet un germe de flot quadratique. Le champ de vecteurs rationnel $\chi = \left. \frac{\partial \phi_t^\bullet}{\partial t} \right|_{t=0}$ s'appelle le générateur infinitésimal de ϕ_t^\bullet ; à ce champ est associé un feuilletage algébrique noté \mathcal{F}_χ . On introduit $\langle \phi_t^\bullet \rangle \subset \text{Bir}_2^\bullet$ le groupe engendré par les ϕ_t^\bullet et $\overline{\langle \phi_t^\bullet \rangle}^Z$ son adhérence de ZARISKI dans Bir_2^\bullet ; ce sont des groupes abéliens. Enfin $G(\chi)$ désigne le groupe abélien algébrique maximal inclus dans Bir_2^\bullet et contenant $\overline{\langle \phi_t^\bullet \rangle}^Z$. Alors

- \mathcal{F}_χ est défini par une forme fermée rationnelle ;
- ϕ_t^\bullet préserve une fibration rationnelle (en fait un pinceau de droites) ;
- $\dim G(\chi) \geq 2$.

⁽⁶⁾ Nous remercions Daniel PANAZZOLO pour cette référence.

Notons qu'un tel énoncé est satisfait par n'importe quel groupe à un paramètre de $\mathrm{PGL}_3(\mathbb{C})$. Il nous permet d'obtenir la classification à conjugaison près des groupes à un paramètre de transformations birationnelles quadratiques.

En fait ce résultat se généralise en tout degré : tout germe de flot birationnel laisse une fibration rationnelle invariante et se relève en un flot d'automorphismes sur une surface minimale.

Dans un troisième Chapitre on implante, suivant une idée de GUILLOT, aux transformations birationnelles des invariants propres aux feuilletages. À une transformation rationnelle $f = (f_0 : f_1 : f_2)$ on associe la 1-forme différentielle

$$\omega_f = (x_2 f_1 - x_1 f_2) dx_0 + (x_0 f_2 - x_2 f_0) dx_1 + (x_1 f_0 - x_0 f_1) dx_2.$$

Lorsque f n'est pas un multiple de l'identité, la forme ω_f est non identiquement nulle et définit donc un feuilletage $\mathcal{F}(f)$ sur $\mathbb{P}^2(\mathbb{C})$. Si f est de degré n , le feuilletage $\mathcal{F}(f)$ est de degré inférieur ou égal à n . Dans le cas quadratique ($n = 2$), l'application $\mathcal{F} : f \mapsto \omega_f$ induit une application linéaire

$$\mathcal{F} : \mathrm{Rat}_2 \simeq \mathbb{P}^{17}(\mathbb{C}) \dashrightarrow \mathcal{F}_2 \simeq \mathbb{P}^{14}(\mathbb{C})$$

où \mathcal{F}_2 est le projectivisé de l'espace vectoriel des 1-formes homogènes de degré 3

$$\omega = A_0 dx_0 + A_1 dx_1 + A_2 dx_2$$

satisfaisant la condition d'EULER $\sum x_i A_i = 0$. L'espace des feuilletages proprement dit est

$$\mathcal{F}_2^\bullet = \mathcal{F}_2 / \sim \text{ où } \sim \text{ est la relation d'équivalence } \omega_1 \sim \omega_2 \Leftrightarrow \omega_1 \wedge \omega_2 = 0.$$

Visiblement l'application $\mathcal{F} : \mathrm{Rat}_2 \dashrightarrow \mathcal{F}_2$ est surjective. Ce qui est plus curieux c'est que sa restriction $\mathcal{F}|_{\mathrm{Bir}_2} : \mathrm{Bir}_2 \dashrightarrow \mathcal{F}_2$ est dominante et génériquement finie : un élément générique de \mathcal{F}_2 possède exactement 35 antécédents dans Bir_2 .

Le feuilletage $\mathcal{F}(f)$ n'a pas de sens dynamique particulier vis à vis de f : en général $\mathcal{F}(f)$ n'est pas invariant par f . Les transformations quadratiques f pour lesquelles cette propriété est satisfaite sont exactement celles qui préservent une fibration en droites fibre à fibre : dans ce cas $\mathcal{F}(f)$ est précisément cette fibration.

Soit f une transformation birationnelle quadratique, *i.e.* un élément générique de $\Sigma^3 \simeq (\Sigma^3)^\bullet$. Alors f possède 7 points spéciaux : 3 points d'indétermination et 4 points fixes. Ces 7 points sont exactement les points singuliers du feuilletage $\mathcal{F}(f)$; la position des 3 points d'indétermination et des 4 points fixes détermine complètement l'application f .

Un théorème de GUILLOT ([Gui04]) affirme que pour un élément générique f de Σ^3 on a les relations suivantes

$$\sum_{m \in \mathrm{Fix} f} \frac{\mathrm{tr}(Df_{(m)} - \mathrm{id})}{\det(Df_{(m)} - \mathrm{id})} = -4, \quad \sum_{m \in \mathrm{Fix} f} \frac{1}{\det(Df_{(m)} - \mathrm{id})} = 1,$$

$Df_{(m)}$ étant la différentielle de f en m , $\mathrm{tr}(Df_{(m)})$ sa trace et $\det Df_{(m)}$ son déterminant. Ce sont des relations qui lient les valeurs propres de la différentielle de f aux points fixes ; de plus ce sont « les seules » ([Gui07]). On peut tirer des conséquences intéressantes de ces formules. Par exemple pour une transformation quadratique générique, *i.e.* avec 7 points spéciaux, les valeurs

propres de la partie linéaire de f aux points fixes ne peuvent toutes être de module inférieur strictement à 1 : les points fixes ne peuvent tous être des attracteurs.

Les relations aux valeurs propres interviennent de façon forte dans les problèmes de classification ; mentionnons par exemple le fait suivant : si deux transformations birationnelles quadratiques génériques sont birationnellement conjuguées alors elles le sont linéairement. On peut se demander si deux transformations birationnelles quadratiques génériques topologiquement conjuguées le sont par un automorphisme holomorphe (ou anti-holomorphe) ; c'est une question ouverte.

Dans le Chapitre 4 on aborde quelques exemples de propriétés dynamiques des transformations birationnelles, en particulier quadratiques. Les notions fondamentales de stabilité algébrique et de premier degré dynamique déjà mentionnées ci-dessus sont introduites. Nous donnons des exemples explicites d'éléments de Σ^3 qui sont algébriquement stables, exemples qui permettent de confirmer la généricité intuitive de cette propriété. Nous nous intéresserons ensuite à la présence ou non « d'objets invariants » : courbes, feuilletages. Si ϕ est un élément du groupe de CREMONA et \mathcal{F} un feuilletage holomorphe (singulier) sur $\mathbb{P}^2(\mathbb{C})$, on dit que \mathcal{F} est invariant par ϕ si pour toute feuille générique \mathcal{L} de \mathcal{F} alors $\phi(\mathcal{L})$ est encore une feuille de \mathcal{F} . Si \mathcal{F} est défini par la 1-forme rationnelle ω , alors \mathcal{F} est invariant par ϕ si et seulement si $\phi^*\omega \wedge \omega = 0$. Considérons un élément A de $\text{Aut}(\mathbb{P}^2(\mathbb{C}))$; évidemment A possède un point fixe q , *i.e.* $Aq = q$, et l'image par A d'une droite passant par q est encore une droite passant par q . De sorte que A possède au moins un feuilletage invariant : la fibration rationnelle formée par les droites passant par q . En fait A préserve une infinité de feuilletages distincts. Par exemple si A est diagonalisable, on peut supposer, à conjugaison linéaire près, que A s'écrit dans la carte affine $x_2 = 1$

$$(x_0, x_1) \mapsto (\alpha_0 x_0, \alpha_1 x_1).$$

On constate alors que pour chaque nombre complexe β la forme différentielle

$$\omega_\beta := \frac{dx_0}{x_0} + \beta \frac{dx_1}{x_1}$$

est invariante par A , ce qui, comme annoncé, produit une infinité de feuilletages invariants. Qu'en est-il pour les transformations birationnelles quadratiques ? En invoquant l'irréductibilité de Bir_2 dans Rat_2 et le fait qu'un automorphisme de HÉNON quadratique ne possède pas de feuilletage invariant ([Bru99]) on constate que génériquement un élément de Bir_2 n'en possède pas non plus.

De la même façon, à l'inverse des automorphismes, une transformation birationnelle quadratique générique ne possède pas de courbe invariante. Toutefois, comme nous l'avons déjà mentionné, l'étude des transformations ayant une courbe invariante possède une longue histoire et présente un intérêt certain. Nous y apportons quelques enrichissements en utilisant les concepts récents de stabilité algébrique et premier degré dynamique.

Le paragraphe §4.5 de ce chapitre est consacré à la répartition des points périodiques et des points d'indétermination des itérés d'une transformation birationnelle quadratique. A priori ces ensembles sont très compliqués ; nous montrons la densité (au sens de ZARISKI) générique de

ces deux ensembles. En utilisant la condition introduite par BEDFORD et DILLER précédemment mentionnée on constate que génériquement une transformation quadratique possède une infinité de points périodiques hyperboliques.

La non stabilité algébrique d'une transformation birationnelle f est reliée à un comportement « anormal » du degré de ses itérés f^n ; dans le cas quadratique ce degré doit être en principe 2^n . Mais ce n'est pas toujours le cas, par exemple pour les transformations qui appartiennent à un groupe à un paramètre. Nous consacrons un paragraphe à l'étude du cas extrême, celui où le degré de f^2 reste égal à 2; nous en présentons la classification à conjugaison linéaire près.

Dans le Chapitre 5 on s'intéresse à quelques propriétés algébriques du groupe $\text{Bir}(\mathbb{P}^2(\mathbb{C}))$ mettant le plus souvent en jeu les transformations quadratiques. Le fait que $\text{Bir}(\mathbb{P}^2(\mathbb{C}))$ présente beaucoup de propriétés de groupes linéaires amène à se poser la question suivante : existe-t-il une représentation fidèle de $\text{Bir}(\mathbb{P}^2(\mathbb{C}))$ dans un groupe linéaire $\text{GL}_n(\mathbb{k})$ pour un certain corps \mathbb{k} de caractéristique nulle ? Nous constatons en utilisant un argument de BIRKHOFF que la réponse est négative.

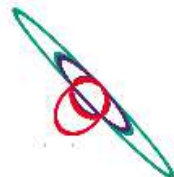
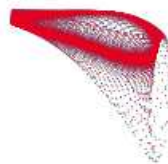
On montre ensuite que le centralisateur dans $\text{Bir}(\mathbb{P}^2(\mathbb{C}))$ d'un élément générique f de Σ^3 est isomorphe à \mathbb{Z} , *i.e.* se réduit aux itérés de f . Puis on établit qu'un nombre fini de transformations quadratiques choisies génériquement engendrent un groupe libre.

Le problème de la simplicité de $\text{Bir}(\mathbb{P}^2(\mathbb{C}))$ est un problème ouvert. Nous montrons en particulier que si f est une transformation birationnelle quadratique ou un automorphisme linéaire non trivial, le sous-groupe normal engendré par f est le groupe de CREMONA tout entier ; nous en déduisons que $\text{Bir}(\mathbb{P}^2(\mathbb{C}))$ est parfait. Nous montrons par exemple que le sous-groupe normal engendré par une transformation de DE JONQUIÈRES dans $\text{Bir}(\mathbb{P}^2(\mathbb{C}))$ est $\text{Bir}(\mathbb{P}^2(\mathbb{C}))$ tout entier.

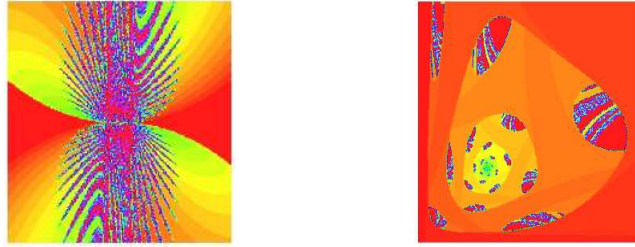
Nous précisons le théorème de NETHER de la façon suivante : tout élément f de $\text{Bir}(\mathbb{P}^2(\mathbb{C}))$ s'écrit comme un produit d'involutions quadratiques standards

$$f = A_1 \sigma A_1^{-1} \dots A_n \sigma A_n^{-1}, \quad A_i \in \text{PGL}_3(\mathbb{C}).$$

Le Chapitre 6 est expérimental. On se propose dans des cas très spéciaux de donner une idée de ce que peut être la dynamique d'une application birationnelle. À cet effet nous essayons de représenter quelques orbites comme par exemple



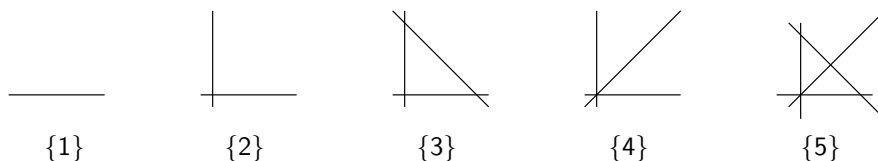
et nous reprenons un protocole bien connu pour le tracé des ensembles de JULIA des transformations rationnelles en une variable. Nous appliquons ce procédé à des transformations birationnelles réelles (*i.e.* commutant à l'involution anti-holomorphe standard)

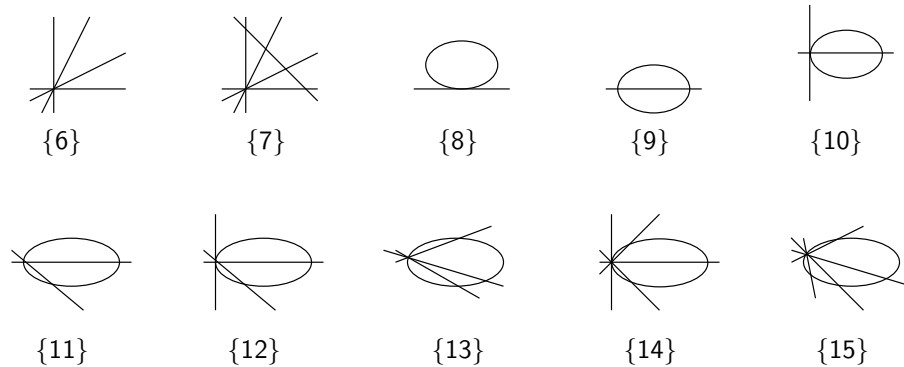


Comme on l'a dit l'espace des transformations birationnelles quadratiques pures est lisse et connexe. Qu'en est-il en degré quelconque ? Le premier degré intéressant est le degré 3 pour la raison suivante. D'après le théorème de NETHER toute transformation birationnelle s'écrit comme un produit

$$A_0 \sigma A_1 \sigma \dots \sigma A_n, \quad A_i \in \text{Aut}(\mathbb{P}^2(\mathbb{C}));$$

lorsque les A_i sont choisis génériquement le degré d'un tel élément est 2^n . Pour obtenir des applications birationnelles de degré d qui n'est pas une puissance de 2, il est donc nécessaire que les transformations A_i soient assujetties à des contraintes. Le premier degré pour lequel ce phénomène apparaît est $d = 3$. Dans les traités anciens on trouve une « description » des transformations birationnelles cubiques, description qui repose sur des considérations de géométrie énumérative (nombre de points d'indétermination, configuration de courbes contractées). Au Chapitre 7 nous proposons une liste de formes normales à conjugaison gauche-droite près, la connexité apparaissant en dernier lieu comme sous-produit. Les techniques utilisées sont pour la plupart classiques : topologie du complément de certaines courbes planes, contraction des zéros du déterminant jacobien etc. Malheureusement dès le degré 3 on ne dispose pas de critère de birationnalité analogue à celui utilisé en degré 2 comme l'atteste l'exemple suivant : si f est la transformation $(x_0^2 x_1 : x_0 x_2^2 : x_1^2 x_2)$, le lieu d'annulation de $\det \text{jac } f$ est bien contracté alors que f n'est pas inversible. Toutefois si f est birationnelle, la courbe $\det \text{jac } f = 0$ est contractée par f et ceci s'avère dans bon nombre de cas intéressants à exploiter. Nous montrons qu'en degré 3 les configurations possibles de courbes contractées sont certaines unions de droites et coniques schématisées par les figures suivantes.





On donnera la liste explicite, à conjugaison gauche-droite près, des transformations correspondant à ces configurations. En particulier toute transformation birationnelle cubique est à conjugaison dynamique près du type Af où A désigne un élément de $\mathrm{PGL}_3(\mathbb{C})$ et f un élément de la liste évoquée ci-dessus. Cette classification permettra d'affirmer que l'élément « générique » présente la dernière configuration et d'établir que l'espace $\mathring{\mathrm{Bir}}_3$ des transformations birationnelles purement de degré 3 est de dimension 18. À conjugaison gauche-droite près les éléments qui présentent la configuration générique {15} forment une famille à deux paramètres : alors qu'en degré 2 il y a trois orbites gauche-droite, ici il y en a une infinité.

Nous déterminons aussi les dimensions des orbites sous l'action gauche-droite des modèles ; toujours à l'aide de ceux-ci on obtient que la décomposition de $\mathrm{N}\ddot{\mathrm{E}}\mathrm{T}\mathrm{H}\mathrm{E}\mathrm{R}$ de tout élément de l'espace Bir_3 des transformations birationnelles de degré inférieur ou égal à 3 fait intervenir au plus huit fois l'involution de $\mathrm{C}\mathrm{R}\mathrm{E}\mathrm{M}\mathrm{O}\mathrm{N}\mathrm{A}$.

On note que toutes les configurations de dégénérescence de la figure {15} n'apparaissent pas. En degré 2 il y a déjà un phénomène analogue : la configuration de trois droites concourantes n'est pas réalisée comme ensemble exceptionnel d'une transformation birationnelle quadratique.

Notons \mathcal{X} l'ensemble des transformations birationnelles purement cubiques de configuration {15}. Nous établissons que l'adhérence ordinaire de \mathcal{X} dans $\mathring{\mathrm{Bir}}_3$ est $\mathring{\mathrm{Bir}}_3$. Nous montrons que $\mathring{\mathrm{Bir}}_3$ est irréductible (en fait rationnellement connexe) ; par contre alors que Bir_2 est lisse et irréductible nous verrons qu'il n'en est pas de même pour Bir_3 vu dans $\mathbb{P}^{29}(\mathbb{C}) \simeq \mathrm{Rat}_3$.

En utilisant la « correspondance feuilletages-transformations birationnelles » on obtient qu'un élément générique de Bir_3 possède 5 points fixes, tous de multiplicité 1, et 5 points d'indétermination, 1 de multiplicité 4, les autres de multiplicité 1. De plus toute transformation birationnelle cubique générique est déterminée par la position de ses 5 points fixes et de ses 5 points d'indétermination affectés de leur multiplicité.

Remerciements. —

Il a été très plaisant de travailler à l'IMPA et au CIRM ; nous tenons à remercier ces deux institutions. Merci à l'IUF et l'ANR Symplexe (ANR BLAN06-3_137237) qui ont contribué au bon déroulement de cette collaboration.

Nous avons profité de discussions agréables et fructueuses avec Ivan PAN lors de son séjour à Rennes.

Merci à Mark BAKER et Charles FAVRE pour leur disponibilité.

CHAPITRE 1

TRANSFORMATIONS RATIONNELLES ET BIRATIONNELLES QUADRATIQUES

1.1. Quelques définitions et notations

Nous généralisons et précisons les notations présentées dans l'Introduction. On désigne par Rat_k le projectivisé de l'espace des triplets de polynômes homogènes de degré k en 3 variables

$$\text{Rat}_k = \mathbb{P}\{(f_0 : f_1 : f_2) \mid f_i \in \mathbb{C}[x_0, x_1, x_2]_k\}.$$

Le *degré* d'un élément $f = (f_0 : f_1 : f_2)$ de Rat_k est le degré des f_i .

À un élément $f = (f_0 : f_1 : f_2)$ de Rat_k on associe la transformation birationnelle

$$f^\bullet = \delta(f_0 : f_1 : f_2), \quad \delta = \frac{1}{\text{pgcd}(f_0, f_1, f_2)}$$

Soit f un élément de Rat_k ; on dit que $f = (f_0 : f_1 : f_2)$ est *purement de degré k* si les f_i n'ont pas de facteur commun. L'ensemble des éléments purement de degré k est noté $\mathring{\text{Rat}}_k$. Alors que Rat_k s'identifie à un espace projectif, l'espace $\mathring{\text{Rat}}_k$ en est un ouvert de ZARISKI. Un élément de $\text{Rat}_k \setminus \mathring{\text{Rat}}_k$ s'écrit $\psi g = (\psi g_0 : \psi g_1 : \psi g_2)$ où g appartient à un certain Rat_ℓ , avec $\ell < k$, et ψ est un polynôme homogène de degré $k - \ell$. On note Rat l'ensemble des transformations rationnelles de $\mathbb{P}^2(\mathbb{C})$ dans lui-même : c'est l'union $\bigcup_{k \geq 1} \mathring{\text{Rat}}_k$. C'est aussi la limite projective des Rat_k^\bullet avec

$$\text{Rat}_k^\bullet = \{f^\bullet \mid f \in \text{Rat}_k\}.$$

Remarquons que si l'élément f de Rat_k est purement de degré k alors f s'identifie à f^\bullet . Ceci signifie que l'application

$$\mathring{\text{Rat}}_k \rightarrow \text{Rat}_k^\bullet$$

est injective. Dans la suite lorsqu'il n'y a aucune ambiguïté on utilisera donc la notation f aussi bien pour les éléments de Rat_k que pour ceux de Rat_k^\bullet . De même nous dirons abusivement qu'un élément de Rat_k « est » une transformation rationnelle.

L'espace Rat contient le groupe des transformations birationnelles de $\mathbb{P}^2(\mathbb{C})$, encore appelé *groupe de CREMONA*, que l'on note $\text{Bir}(\mathbb{P}^2(\mathbb{C}))$. Il est parfois plus commode de travailler

dans les espaces Rat_k que dans les Rat_k^\bullet . Aussi nous désignons par $\text{Bir}_k \subset \text{Rat}_k$ l'ensemble des transformations f de Rat_k telles que f^\bullet soit inversible et par $\mathring{\text{Bir}}_k \subset \text{Bir}_k$ l'ensemble des transformations birationnelles qui sont purement de degré k . On pose

$$\text{Bir}_k^\bullet = \{f^\bullet \mid f \in \text{Bir}_k\}$$

Le groupe de CREMONA s'identifie alors à $\bigcup_{k \geq 1} \mathring{\text{Bir}}_k$. On constate que $\mathring{\text{Bir}}_1 \simeq \text{PGL}_3(\mathbb{C})$ est le

groupe des automorphismes de $\mathbb{P}^2(\mathbb{C})$; visiblement $\mathring{\text{Bir}}_1 \simeq \text{Bir}_1^\bullet = \text{Bir}_1$. L'espace Rat_1 s'identifie à $\mathbb{P}^8(\mathbb{C})$ et $\mathring{\text{Rat}}_1$ est le projectivisé des matrices de rang supérieur ou égal à 2.

Dans ce mémoire nous allons décrire les espaces Bir_k et $\mathring{\text{Bir}}_k$ pour des petits entiers, précisément pour $k = 2$ et $k = 3$. Par exemple pour $k = 2$ l'inclusion $\mathring{\text{Bir}}_2 \subset \text{Bir}_2$ est stricte. En effet si A est un élément de $\text{PGL}_3(\mathbb{C})$ et ℓ une forme linéaire, ℓA est dans Bir_2 mais pas dans $\mathring{\text{Bir}}_2$.

Sur l'espace Rat_k il y a deux actions naturelles. La première est l'action de $\text{PGL}_3(\mathbb{C})$ par *conjugaison dynamique*

$$\text{PGL}_3(\mathbb{C}) \times \text{Rat}_k \rightarrow \text{Rat}_k, \quad (A, Q) \mapsto AQA^{-1}$$

et la seconde l'action statique que nous appellerons plutôt *conjugaison gauche-droite* (g.d.) de $(\text{PGL}_3(\mathbb{C}))^2$

$$\text{PGL}_3(\mathbb{C}) \times \text{Rat}_k \times \text{PGL}_3(\mathbb{C}) \rightarrow \text{Rat}_k, \quad (A, Q, B) \mapsto AQB^{-1}.$$

Notons que les ensembles $\mathring{\text{Rat}}_k$, Bir_k et $\mathring{\text{Bir}}_k$ sont invariants sous ces deux actions. Nous allons plus loin nous intéresser à quelques orbites de ces actions. L'orbite d'un élément Q de Rat_k sous l'action de $\text{PGL}_3(\mathbb{C})$ par conjugaison dynamique (resp. sous l'action g.d.) est notée $O_{\text{dyn}}(Q)$ (resp. $O_{\text{g.d.}}(Q)$).

Considérons $f = (f_0 : f_1 : f_2)$ dans $\mathring{\text{Bir}}_k$. Nous notons $\text{Ind } f$ (ou $\text{Ind } f^\bullet$) le *lieu d'indétermination* de f , c'est le lieu d'annulation des polynômes f_i . Les points de $\text{Ind } f$ sont les *points d'indétermination* de f . L'ensemble $\text{Exc } f$ (ou $\text{Exc } f^\bullet$) désignera *l'ensemble exceptionnel* de f , i.e. l'ensemble des *courbes contractées* par f ; c'est « l'image » par f^{-1} de $\text{Ind } f^{-1}$. On dit que f *éclate* les points de $\text{Ind } f$ et *contracte* les courbes de $\text{Exc } f$.

Exemples. — Soit σ la transformation de CREMONA définie par

$$\mathbb{P}^2(\mathbb{C}) \dashrightarrow \mathbb{P}^2(\mathbb{C}), \quad (x_0 : x_1 : x_2) \mapsto (x_1x_2 : x_0x_2 : x_0x_1).$$

Notons que σ est une involution dont le lieu d'indétermination et l'ensemble exceptionnel sont

$$\text{Ind } \sigma = \{(1 : 0 : 0), (0 : 1 : 0), (0 : 0 : 1)\}, \quad \text{Exc } \sigma = \{x_0 = 0, x_1 = 0, x_2 = 0\}.$$

L'élément $\rho = (x_0x_1 : x_2^2 : x_1x_2)$ de $\text{Bir}(\mathbb{P}^2(\mathbb{C}))$ a deux points d'indétermination qui sont $(0 : 1 : 0)$ et $(1 : 0 : 0)$; les droites contractées par ρ ont pour équation $x_2 = 0$, resp. $x_1 = 0$.

Soit τ la transformation définie par $(x_0^2 : x_0x_1 : x_1^2 - x_0x_2)$; on a

$$\text{Ind } \tau = \{(0 : 0 : 1)\}, \quad \text{Exc } \tau = \{x_0 = 0\}.$$

Remarquons que ρ et τ sont aussi des involutions.

Les trois éléments σ , ρ et τ sont birationnellement conjugués à des involutions de $\text{PGL}_3(\mathbb{C})$ (voir [DI] par exemple).

1.2. Transformations rationnelles quadratiques

Soit $\mathbb{C}[x_0, x_1, x_2]_v$ l'ensemble des polynômes homogènes de degré v dans \mathbb{C}^3 . Considérons l'application rationnelle $\det \text{jac}$ définie par

$$\det \text{jac} : \text{Rat}_2 \rightarrow \mathbb{P}(\mathbb{C}[x_0, x_1, x_2]_3) \simeq \{ \text{courbes de degré 3} \}, \quad [Q] \mapsto [\det \text{jac } Q = 0].$$

Remarque 1.1. — L'application $\det \text{jac}$ n'est pas définie pour les applications $[Q]$ telles que $\det \text{jac } Q \equiv 0$; une telle application est à conjugaison g.d. près du type

$$(Q_0 : Q_1 : 0) \quad \text{ou bien} \quad (x_0^2 : x_1^2 : x_0 x_1).$$

En effet soit Q une transformation rationnelle quadratique telle que $\det \text{jac } Q \equiv 0$; notons Q_i les composantes de Q .

Supposons que Q_0 soit de rang maximal, par exemple $Q_0 = \frac{x_0^2 + x_1^2 + x_2^2}{2}$; on peut alors se ramener à

$$Q_1 = ax_0x_2 + bx_0x_1 + q_1(x_1, x_2), \quad Q_2 = cx_0x_1 + q_2(x_1, x_2), \quad q_i \in \mathbb{C}[x_1, x_2]_2.$$

Un calcul montre que le coefficient de x_0^3 dans $\det \text{jac } Q$ est $-ac$; nous sommes donc dans l'une des situations suivantes

$$a \neq 0, c = 0; \quad a = 0, c \neq 0; \quad a = c = 0.$$

Si $a \neq 0$ et $c = 0$ l'égalité $\det \text{jac } Q \equiv 0$ entraîne $Q_2 = 0$. Lorsque $a = 0$ et $c \neq 0$ on a, à partir de $\det \text{jac } Q \equiv 0$, l'égalité $bQ_2 = Q_1$. Enfin lorsque a et c sont nuls $\det \text{jac } Q \equiv 0$ implique que

- ou bien $q_2 = 0$ d'où $Q_2 = 0$;
- ou bien $b = 0$ et q_1 et q_2 sont \mathbb{C} -colinéaires, par suite Q_1 et Q_2 sont \mathbb{C} -colinéaires.

Le cas où Q_0 n'est pas de rang maximum se traite de la même façon.

Proposition 1.2. — *L'application $\det \text{jac}$ est surjective.*

Démonstration. — Le déterminant jacobien de l'involution de CREMONA s'annule sur l'union de trois droites en position générale.

Soit Q la transformation rationnelle définie par $(x_0^2 : x_1^2 : (x_0 - x_1)x_2)$. La courbe donnée par $\det \text{jac } Q = [x_0x_1(x_0 - x_1) = 0]$ est l'union de trois droites concourantes.

Le déterminant jacobien de ρ (resp. τ) est l'union d'une droite double et d'une droite simple (resp. une droite triple).

On remarque que

$$\det \text{jac} \left(-\frac{1}{\alpha}x_0^2 + x_2^2 : -\frac{\alpha}{2}x_0x_2 + \frac{1+\alpha}{4}x_0^2 - \frac{1}{4}x_1^2 : x_0x_1 \right) = [x_1^2x_2 = x_0(x_0 - x_2)(x_0 - \alpha x_2)]$$

de sorte que l'on atteint toutes les cubiques ayant une forme normale de WEIERSTRASS.

Posons $Q := (x_0x_1 : x_0x_2 : x_0^2 + x_1x_2)$; alors $\det \text{jac } Q = [x_0(x_0^2 - x_1x_2) = 0]$ est l'union d'une conique et d'une droite en position générale.

Ensuite pour la transformation Q définie par

$$(x_1^2 : x_0^2 + 2x_0x_2 : x_0^2 + x_0x_1 + x_1x_2)$$

on a $\det \text{jac } Q = [x_1(2x_0^2 - x_1x_2) = 0]$ qui est l'union d'une conique et d'une droite tangente à cette conique.

Considérons E l'espace vectoriel des matrices 3×3 dont les coefficients sont des formes linéaires ; E est de dimension 27. Soit F le sous-espace linéaire de E formé des matrices jacobiniennes d'applications rationnelles quadratiques ; on remarque que $\dim F = 18$. Soit \det le morphisme algébrique défini par

$$\det : E \rightarrow \mathbb{C}[x_0, x_1, x_2]_3, \quad A \mapsto \det A.$$

D'après ce qui précède l'image de \det contient toutes les cubiques planes sauf éventuellement la cubique cuspidale. Considérons la matrice

$$A = \begin{bmatrix} x_0 & 0 & x_1 \\ x_2 & x_0 & 0 \\ 0 & x_2 & x_0 \end{bmatrix};$$

ce n'est pas la matrice jacobienne d'une transformation rationnelle quadratique mais

$$\det A = x_0^3 + x_1x_2^2.$$

L'application \det est donc surjective ; en particulier ses fibres sont non vides et donc de dimension au moins $27 - 10 = 17$. Puisque F est de dimension 18 et E de dimension 27 la fibre de $\det|_F$ au dessus de toute cubique plane est de dimension strictement positive ; en particulier la cubique cuspidale est atteinte par $\det \text{jac}$.

Ainsi on obtient à conjugaison près toutes les cubiques planes. Pour conclure il suffit de faire agir l'action gauche-droite. \square

1.3. Critère de birationnalité

Nous allons donner une présentation de la classification des transformations birationnelles quadratiques qui repose sur des arguments s'appuyant sur des remarques élémentaires. Notons que la Proposition 1.4 qui suit n'est pas un énoncé original (*voir* par exemple [AC02], Proposition 3.5.3.) ; le point de vue abordé ici est toutefois différent du point de vue classique.

Soient g une transformation rationnelle et ψ un polynôme homogène en trois variables. Rappelons que g contracte ψ si l'image par g de la courbe $[\psi = 0] \setminus \text{Ind } g$ est un ensemble fini.

Soit $\tilde{f} : \mathbb{C}^3 \rightarrow \mathbb{C}^3$ une application polynomiale homogène de degré v ; on note \tilde{f}_i les composantes de \tilde{f} et on suppose que $\text{pgcd}(\tilde{f}_0, \tilde{f}_1, \tilde{f}_2) = 1$. Les **points critiques** de \tilde{f} sont les zéros de $\det \text{jac } \tilde{f}$; ils forment l'ensemble $\mathcal{C}(\tilde{f})$. Soit $f = f^\bullet : \mathbb{P}^2(\mathbb{C}) \dashrightarrow \mathbb{P}^2(\mathbb{C})$ l'application rationnelle induite par \tilde{f} ; par hypothèse f est dominante. On désigne encore par $\mathcal{C}(f)$ l'adhérence du lieu critique de la restriction de f à $\mathbb{P}^2(\mathbb{C}) \setminus \text{Ind } f$; si $v \geq 2$ cet ensemble est une courbe algébrique propre. Un calcul local élémentaire montre que $\mathcal{C}(f)$ est exactement le projectivisé de $\mathcal{C}(\tilde{f})$.

Remarque 1.3. — En général une transformation rationnelle ne contracte pas $\det \text{jac } f$ (c'est par exemple le cas pour $f = (x_0^2 : x_1^2 : x_2^2)$).

Proposition 1.4. — *Soit f une transformation birationnelle de $\mathbb{P}^2(\mathbb{C})$ dans lui-même ; $\det \text{jac } f$ est contracté par f .*

Démonstration. — Nous allons raisonner par l'absurde. Soit Γ une composante irréductible de $C(f)$. Supposons que Γ ne soit pas contractée par f ; alors $\overline{f(\Gamma \setminus \text{Ind } f)}$ est une courbe Γ' . On se donne un point générique m de Γ ; en m , la transformation f est holomorphe, Γ est lisse et $f|_{\Gamma}$ est une submersion de $\Gamma_{,m}$ sur $\Gamma'_{,m'}$ où $m' = f(m)$. À conjugaison par des difféomorphismes locaux à la source et au but près, on peut supposer que $m = m' = 0$ et que $\Gamma_{,m} = \Gamma'_{,m'} = (x_1 = 0)$. Le théorème de la fonction inverse assure qu'on peut se ramener au voisinage de 0 à

$$f(x_0, 0) = (x_0, 0);$$

dit autrement il existe g_1, g_2 deux fonctions holomorphes telles que

$$f(x_0, x_1) = (x_0 + x_1 g_1(x_0, x_1), x_1 g_2(x_0, x_1)).$$

Toujours par inversion locale on peut supposer que $f(x_0, x_1) = (x_0, x_1 \psi(x_0, x_1))$. Puisque

$$\det(\text{jac } f) = \psi(x_0, x_1) + x_1 \frac{\partial \psi}{\partial x_1}(x_0, x_1)$$

doit s'annuler sur $x_1 = 0$ on a $\psi(x_0, 0) = 0$. Il en résulte que f s'écrit

$$(x_0, x_1^k \zeta(x_0, x_1)), \quad \text{avec } k \geq 2, \quad \zeta(x_0, 0) \neq 0.$$

Quitte à se placer en un point voisin de 0 sur $x_1 = 0$, on peut supposer que $\zeta(0, 0)$ est non nul de sorte qu'à conjugaison locale à la source et au but près f est de la forme (x_0, x_1^k) . Or une application birationnelle est génériquement localement inversible ce qui n'est pas le cas pour (x_0, x_1^k) lorsque $k \geq 2$. \square

Si A, B sont deux éléments de $\text{PGL}_3(\mathbb{C})$ et $Q = A\sigma B$ (resp. $Q = A\rho B$, resp. $Q = A\tau B$), alors $\det \text{jac } Q$ est l'union de trois droites en position générale (resp. l'union d'une droite double et d'une droite simple, resp. une droite triple). Nous allons donner un critère qui permet de déterminer si une transformation quadratique rationnelle est birationnelle.

Théorème 1.5. — *Soit Q une transformation rationnelle purement quadratique non dégénérée (i.e. $\det \text{jac } Q \neq 0$). Supposons que Q contracte $\det \text{jac } Q$; alors $\det \text{jac } Q$ est l'union de trois droites non concourantes et Q est birationnelle.*

De plus

- si $\det \text{jac } Q$ est l'union de trois droites en position générale, Q est, à équivalence g.d. près, l'involution de CREMONA σ ;
- si $\det \text{jac } Q$ est l'union d'une droite double et d'une droite simple, Q coïncide, à conjugaison g.d. près, avec ρ ;
- enfin si $\det \text{jac } Q$ est une droite triple, Q appartient à $O_{g.d.}(\tau)$.

Corollaire 1.6. — *Une transformation rationnelle quadratique de $\mathbb{P}^2(\mathbb{C})$ dans lui-même appartient à Σ^3 si et seulement si elle admet trois points d'indétermination.*

Remarque 1.7. — Une transformation birationnelle Q de $\mathbb{P}^2(\mathbb{C})$ dans lui-même contracte $\det \text{jac } Q$ et ne contracte pas d'autre courbe. On peut se demander si le critère de birationalité du Théorème 1.5 est encore valable en degré strictement supérieur à 2; la réponse est non. On a dès le degré 3 des exemples d'éléments Q qui contractent $\det \text{jac } Q$ mais ne sont pas birationnels comme l'atteste la transformation $(x_0^2 x_1 : x_0 x_2^2 : x_1^2 x_2)$. Remarquons que si ce critère de birationalité était valable en tout degré, il impliquerait la conjecture du jacobien de façon plus ou moins triviale.

Démonstration du Théorème 1.5. — Montrons que $\det \text{jac } Q$ est l'union de trois droites.

Supposons $\det \text{jac } Q$ irréductible. Posons $Q := (Q_0 : Q_1 : Q_2)$. À composition à gauche près on peut supposer que $\det \text{jac } Q$ est contracté sur $(1 : 0 : 0)$; alors $\det(\text{jac } Q)$ divise Q_2 et Q_3 : impossible.

De la même façon si $\det \text{jac } Q = Lq$ avec L est linéaire et q quadratique non dégénérée, on peut se ramener à : $q = 0$ est contracté sur $(1 : 0 : 0)$; alors Q s'écrit $(q_1 : q : \alpha q)$ et donc est dégénérée.

Ainsi $\det(\text{jac } Q)$ est le produit de trois formes linéaires.

Étudions le cas où, à conjugaison près, $\det \text{jac } Q = x_0 x_1 x_2$. Si les droites $x_0 = 0$ et $x_1 = 0$ sont contractées sur un même point, disons $(1 : 0 : 0)$, alors Q est de la forme $(q : x_0 x_1 : \alpha x_0 x_1)$ qui est dégénérée. Les droites $x_0 = 0$, $x_1 = 0$ et $x_2 = 0$ sont donc contractées sur trois points distincts. Un calcul direct montre qu'ils ne peuvent être alignés. On se ramène alors au cas où $x_0 = 0$ (resp. $x_1 = 0$, resp. $x_2 = 0$) est contractée sur $(1 : 0 : 0)$ (resp. $(0 : 1 : 0)$, resp. $(0 : 0 : 1)$); on constate alors que Q est l'involution de CREMONA à conjugaison près.

Considérons l'éventualité où $\det \text{jac } Q$ a deux branches $x_0 = 0$ et $x_2 = 0$. D'après ce que l'on vient de voir, les droites $x_0 = 0$ et $x_2 = 0$ sont contractées sur deux points distincts, par exemple $(1 : 0 : 0)$ et $(0 : 1 : 0)$. La transformation Q s'écrit donc, à équivalence g.d. près,

$$Q = (x_2(\alpha x_1 + \beta x_2) : x_0(\gamma x_0 + \delta x_1) : x_0 x_2).$$

Pour que $\det \text{jac } Q$ ait deux branches il faut que $\alpha\delta = 0$. Un calcul direct montre que Q est birationnelle dès que $\beta\delta - \alpha\gamma \neq 0$ et en fait g.d. équivalente à ρ .

On s'intéresse au cas où $\det(\text{jac } Q) = x_2^3$. On peut supposer que $x_2 = 0$ est contractée sur $(1 : 0 : 0)$; alors $Q = (q : x_2 \ell_1 : x_2 \ell_2)$ où q désigne une forme quadratique et les ℓ_i des formes linéaires.

– Si (x_2, ℓ_1, ℓ_2) est un système de coordonnées, on peut écrire à conjugaison près

$$Q = (q : x_0 x_2 : x_1 x_2), \quad q = ax_0^2 + bx_1^2 + cx_2^2 + dx_0 x_1.$$

Le calcul explicite de $\det(\text{jac } Q)$ conduit à $a = b = d = 0$, *i.e.* ou bien Q est dégénérée, ou bien Q représente une transformation linéaire, toutes choses exclues.

– Supposons que (x_2, ℓ_1, ℓ_2) ne soit pas un système de coordonnées, *i.e.*

$$\ell_1 = ax_2 + \ell(x_0, x_1), \quad \ell_2 = bx_2 + \varepsilon \ell(x_0, x_1).$$

Notons que ℓ n'étant pas identiquement nulle (sinon Q serait dégénérée), on peut se ramener à $\ell = x_0$. À équivalence g.d. près Q est de la forme $(q : x_0x_2 : x_2^2)$. Un calcul explicite conduit à $\det(\text{jac } Q) = -2x_2^2 \frac{\partial q}{\partial x_1}$; par suite $\frac{\partial q}{\partial x_1}$ est divisible par x_2 autrement dit q est du type $\alpha x_2^2 + \beta x_0x_2 + \gamma x_0^2 + \delta x_1x_2$. Toujours à équivalence g.d. près, on obtient $Q = \tau$.

Pour finir abordons la possibilité : $\det(\text{jac } Q) = x_0x_1(x_0 - x_1)$. Comme on l'a vu les droites $x_0 = 0$ et $x_1 = 0$ sont contractées sur deux points distincts que l'on va supposer être $(1 : 0 : 0)$ et $(0 : 1 : 0)$. Il s'en suit que Q est de la forme

$$(x_1(ax_0 + bx_1 + cx_2) : x_0(\alpha x_0 + \beta x_1 + \gamma x_2) : x_0x_1), \quad a, b, c, \alpha, \beta, \gamma \in \mathbb{C}.$$

On constate que l'image de la droite $x_0 = x_1$ par Q est

$$((a + b)x_0 + cx_2 : (\alpha + \beta)x_0 + \gamma x_2 : x_0);$$

c'est un point si et seulement si c et γ sont nuls auquel cas Q ne dépend pas de x_2 . \square

Posons

$$\Sigma^3 := O_{g.d.}(\sigma), \quad \Sigma^2 := O_{g.d.}(\rho), \quad \Sigma^1 := O_{g.d.}(\tau).$$

Considérons une transformation birationnelle représentée par $Q = \ell(\ell_0 : \ell_1 : \ell_2)$ où ℓ et les ℓ_i désignent des formes linéaires, les ℓ_i étant indépendantes. La droite $\ell = 0$ est une « droite contractée apparente » ; en effet l'action de Q sur $\mathbb{P}^2(\mathbb{C})$ est évidemment celle de l'automorphisme $(\ell_0 : \ell_1 : \ell_2)$ de $\mathbb{P}^2(\mathbb{C})$. On notera Σ^0 l'ensemble de ces transformations

$$\Sigma^0 = \{\ell(\ell_0 : \ell_1 : \ell_2) \mid \ell, \ell_i \text{ formes linéaires, les } \ell_i \text{ étant indépendantes}\}.$$

Les éléments de Σ^0 seront abusivement appelés linéaires ; en fait c'est l'ensemble

$$(\Sigma^0)^\bullet = \{f^\bullet \mid f \in \Sigma^0\}$$

qui s'identifie à $\text{PGL}_3(\mathbb{C})$. On a $\Sigma^0 = O_{g.d.}(x_0(x_0 : x_1 : x_2))$: à conjugaison gauche-droite près un élément de la forme ℓA s'écrit $x_0 A'$ puis $x_0 \text{id}$. Cette approche permet de voir les dégénérescences de transformations quadratiques sur des applications linéaires.

Un automorphisme polynomial de \mathbb{C}^2 est appelé **automorphisme de HÉNON** s'il s'écrit (à conjugaison affine près)

$$(x_1, P(x_1) - \delta x_0), \quad P \in \mathbb{C}[x_1], \deg P \geq 2, \delta \in \mathbb{C}^*.$$

D'après le Théorème 1.5 le prolongement à $\mathbb{P}^2(\mathbb{C})$ de tout automorphisme de HÉNON quadratique appartient à Σ^1 .

Remarquons qu'un élément de Σ^i compte i points d'indétermination et i courbes contractées.

Un élément de Σ^i ne peut être linéairement conjugué à un élément de Σ^j où $j \neq i$; par contre ils peuvent l'être birationnellement : on a par exemple signalé précédemment que les involutions σ , ρ et τ sont dynamiquement conjuguées à des involutions de $\text{PGL}_3(\mathbb{C})$. Toutefois des arguments que nous développerons au Chapitre 3 montrent qu'un élément générique de Σ^i , pour $i \geq 1$, n'est pas birationnellement conjugué à une transformation linéaire.

Corollaire 1.8. — On a

$$\mathring{\text{Bir}}_2 = \Sigma^1 \cup \Sigma^2 \cup \Sigma^3, \quad \text{Bir}_2 = \Sigma^0 \cup \Sigma^1 \cup \Sigma^2 \cup \Sigma^3.$$

Remarques 1.9. —

- Une décomposition de NETHER de ρ est

$$(x_2 - x_1 : x_1 - x_0 : x_1) \sigma(x_1 + x_2 : x_2 : x_0) \sigma(x_0 + x_2 : x_1 - x_2 : x_2)$$

qu'il faudrait en toute légitimité écrire

$$\rho^\bullet = ((x_2 - x_1 : x_1 - x_0 : x_1) \sigma(x_1 + x_2 : x_2 : x_0) \sigma(x_0 + x_2 : x_1 - x_2 : x_2))^\bullet.$$

On retrouve donc le fait classique suivant déjà énoncé dans [Hud27, AC02] : pour toute transformation birationnelle quadratique Q ayant deux points d'indétermination il existe ℓ_1, ℓ_2 et ℓ_3 dans $\text{PGL}_3(\mathbb{C})$ tels que $Q = \ell_1 \sigma \ell_2 \sigma \ell_3$. En particulier la détermination des transformations linéaires ℓ telle que $\sigma \ell \sigma$ soit quadratique mérite attention (voir Chapitre 4).

- La transformation $\tau = (x_0^2 : x_0 x_1 : x_1^2 - x_0 x_2)$, qui s'écrit aussi $\ell_1 \sigma \ell_2 \sigma \ell_3 \sigma \ell_4 \sigma \ell_5$ avec

$$\begin{aligned} \ell_1 &= (x_1 - x_0 : 2x_1 - x_0 : x_2 - x_1 + x_0), & \ell_2 &= (x_0 + x_2 : x_0 : x_1), \\ \ell_3 &= (-x_1 : x_0 + x_2 - 3x_1 : x_0), & \ell_4 &= (x_0 + x_2 : x_0 : x_1), \\ \ell_5 &= (x_1 - x_0 : -2x_0 + x_2 : 2x_0 - x_1), \end{aligned}$$

est dans Σ^1 . Il s'en suit que tout élément de Σ^1 est de la forme $\ell_1 \sigma \ell_2 \sigma \ell_3 \sigma \ell_4 \sigma \ell_5$ avec ℓ_i dans $\text{PGL}_3(\mathbb{C})$ (voir [Hud27, AC02]). La réciproque est fautive au sens où tout élément du type

$$\ell_1 \sigma \ell_2 \sigma \ell_3 \sigma \ell_4 \sigma \ell_5$$

n'appartient pas à Σ^1 ; génériquement (sur le choix des ℓ_i) un tel élément est de degré 16.

1.4. Relations et transformations birationnelles, second critère de birationalité

Soit $Q = (Q_0 : Q_1 : Q_2)$ une transformation rationnelle de $\mathbb{P}^2(\mathbb{C})$; on appelle *relation linéaire* de Q tout triplet $L = (L_0, L_1, L_2)$ de formes linéaires satisfaisant

$$L_0 Q_0 + L_1 Q_1 + L_2 Q_2 = 0.$$

On note $\text{RL}(Q)$ le \mathbb{C} -espace vectoriel des relations linéaires de Q . On observe que la dimension $e(Q)$ de $\text{RL}(Q)$ est invariante sous l'action gauche-droite. Rappelons le résultat classique suivant.

Proposition 1.10 ([Tou72]). — Soient f_1, \dots, f_n des germes de fonctions holomorphes à l'origine de \mathbb{C}^n tels que $\{f_1 = \dots = f_n = 0\} = \{0\}$. Alors le $\mathcal{O}(\mathbb{C}^n, 0)$ -module des relations

$$R(f) := \{a = (a_1, \dots, a_n) \in \mathcal{O}(\mathbb{C}^n, 0) \mid a_1 f_1 + \dots + a_n f_n = 0\}$$

est engendré par les relations triviales $f_{ij} = (0, \dots, 0, f_j, 0, \dots, 0, -f_i, 0, \dots, 0)$.

Une conséquence de cette proposition est la suivante.

Proposition 1.11. — *Soit $f = (f_0 : f_1 : f_2)$ un endomorphisme de $\mathbb{P}^2(\mathbb{C})$, c'est-à-dire f satisfait $\{f_0 = f_1 = f_2 = 0\} = \{0\}$. Si $\deg f \geq 2$ alors $\text{RL}(f) = \{0\}$.*

Désormais nous considérons plus particulièrement les transformations quadratiques pures.

1.4.1. Calculs explicites d'espaces de relations linéaires. —

Nous allons calculer $\text{RL}(Q)$ pour quelques Q typiques.

Nous commençons par l'involution de CREMONA σ . Visiblement $\text{RL}(\sigma)$ est engendré par les relations $(-x_0, x_1, 0)$ et $(x_0, 0, -x_2)$. On a donc $e(\sigma) = 2$; on remarque que $\text{RL}(\sigma)$ s'identifie naturellement (on représente les L par des matrices 3×3 à coefficient dans \mathbb{C}) à l'algèbre de LIE commutative des matrices diagonales de trace nulle. Notons que si l'on tord σ par conjugaison diagonale, *i.e.* on considère $\sigma_\alpha = (\alpha_0 x_1 x_2 : \alpha_1 x_0 x_2 : \alpha_2 x_0 x_1)$, alors $\text{RL}(\sigma_\alpha)$ s'identifie à l'algèbre des matrices diagonales

$$\begin{bmatrix} \beta_0 & 0 & 0 \\ 0 & \beta_1 & 0 \\ 0 & 0 & \beta_2 \end{bmatrix}$$

telles que $\alpha_0 \beta_0 + \alpha_1 \beta_1 + \alpha_2 \beta_2 = 0$. L'invariance g.d. de l'entier e nous permet d'affirmer que pour tout élément Q dans Σ^3 on a $e(Q) = 2$.

Nous considérons maintenant la transformation ρ' de Σ^2 définie par

$$\rho' = (x_1 x_2 : x_1 x_2 - x_0 x_2 : -x_1^2).$$

Un calcul élémentaire montre que

$$\text{RL}(\rho') = \{(\alpha x_0 + \beta x_1, \alpha x_1, (\alpha + \beta)x_2) \mid (\alpha, \beta) \in \mathbb{C}^2\}.$$

Ainsi $e(\rho') = 2$ et $\text{RL}(\rho')$ s'identifie à l'algèbre de LIE commutative de dimension 2 des matrices de JORDAN du type

$$\begin{bmatrix} \alpha & \beta & 0 \\ 0 & \alpha & 0 \\ 0 & 0 & \alpha + \beta \end{bmatrix}.$$

Comme précédemment pour tout élément Q de Σ^2 on a $e(Q) = 2$.

Nous choisissons dans Σ^1 l'élément τ' défini par $\tau' = (x_2^2 : -x_1 x_2 : x_1^2 - x_0 x_2)$. On vérifie que

$$\text{RL}(\tau') = \{(\alpha x_0 + \beta x_1, \alpha x_1 + \beta x_2, \alpha x_2) \mid (\alpha, \beta) \in \mathbb{C}^2\}.$$

Ici encore $e(\tau') = 2$ et $\text{RL}(\tau')$ s'identifie à l'algèbre de LIE commutative constituée des matrices de JORDAN de la forme

$$\begin{bmatrix} \alpha & \beta & 0 \\ 0 & \alpha & \beta \\ 0 & 0 & \alpha \end{bmatrix}.$$

Cette correspondance entre les orbites de Σ^3 , Σ^2 et Σ^1 et les différents types d'algèbres de LIE abéliennes de dimension 2 des matrices 3×3 à coefficients dans \mathbb{C} s'avère pour le moins curieuse, mais peut-être seulement anecdotique.

Passons maintenant au calcul de l'invariant e pour une transformation de Σ^0 . Considérons par exemple l'application identité représentée dans Bir_2 par $\text{id}_\ell = (\ell x_0 : \ell x_1 : \ell x_2)$ où ℓ est une forme linéaire non triviale. On constate que $\text{RL}(\text{id}_\ell)$ est indépendant du choix de ℓ et est engendré par $(x_1, -x_0, 0)$, $(x_2, 0, -x_0)$ et $(0, x_2, -x_1)$. En résulte que $e(\text{id}_\ell) = 3$ et $\text{RL}(\text{id}_\ell)$ s'identifie à l'algèbre de LIE simple de dimension 3 des matrices 3×3 antisymétriques. Évidemment $e(Q)$ vaut 3 pour tout élément Q de Σ^0 .

Nous avons établi la :

Proposition 1.12. — *Soit Q une transformation birationnelle quadratique. Alors*

- Q appartient à Σ^0 si et seulement si $e(Q) = 3$;
- Q est purement quadratique si et seulement si $e(Q) = 2$.

Comme on l'a vu il y a dans l'adhérence de Bir_2 dans $\mathbb{P}^{17}(\mathbb{C})$ des éléments dégénérés Q pour lesquels les espaces $\text{RL}(Q)$ se calculent aisément. En voici quelques uns

$$\text{RL}(x_0^2 : x_1^2 : 0) = \{(0, 0, \ell) \mid \ell \text{ forme linéaire}\}$$

est de dimension 3 et c'est encore une algèbre de LIE ;

$$\text{RL}(x_0^2 : x_1^2 : x_0 x_1) = \{(\alpha x_1, \beta x_0, -\alpha x_0 - \beta x_1) \mid (\alpha, \beta) \in \mathbb{C}^2\}$$

est de dimension 2.

1.4.2. Critère de birationalité. —

Remarquons que si Q est birationnelle purement quadratique, $\text{RL}(Q)$ contient un élément L qui, vu comme endomorphisme de \mathbb{C}^3 , est inversible. Ce n'est plus le cas pour les transformations Q de Σ^0 ; les éléments de $\text{RL}(Q)$ sont alors tous non inversibles.

Lemme 1.13. — *Soit Q un élément de Rat_2 tel que $e(Q) = 2$. Si $\text{RL}(Q)$ contient un élément inversible, Q appartient à $\Sigma^1 \cup \Sigma^2 \cup \Sigma^3$.*

Démonstration. — Soit $\{L = (L_0, L_1, L_2), L' = (L'_0, L'_1, L'_2)\}$ une base de $\text{RL}(Q)$; on peut supposer que L et L' sont inversibles. Considérons la transformation quadratique $f = (f_0 : f_1 : f_2)$, dite déterminantielle, définie par $f = L \wedge L'$

$$\begin{bmatrix} f_0 \\ f_1 \\ f_2 \end{bmatrix} = \begin{bmatrix} L_1 L'_2 - L_2 L'_1 \\ L_2 L'_0 - L_0 L'_2 \\ L_0 L'_1 - L_1 L'_0 \end{bmatrix}.$$

Commençons par quelques remarques

- i. Supposons que f soit identiquement nulle. Comme L est inversible, L' est un multiple de L ce qui contredit le fait que $\text{RL}(Q)$, de dimension 2, soit engendré par L et L' .

- ii.* Si Q n'est pas purement quadratique, $e(Q)$ est minoré par 3. Ceci se constate au cas par cas en utilisant le fait que Q est à équivalence g.d. près de l'un des types suivants
- $(\ell x_0, \ell x_1, \ell x_2)$, ℓ désignant une forme linéaire ;
 - $(\ell x_0, \ell x_1, 0)$, ℓ étant une forme linéaire ;
 - $(q, 0, 0)$ avec q forme quadratique.

D'après *i.* en un point générique m les vecteurs $L(m)$ et $L'(m)$ sont indépendants, *i.e.* f est non identiquement nulle et satisfait $f \wedge Q = 0$. D'après *ii.* on a $\text{codim } Q^{-1}(0) \geq 2$; la Proposition 1.11 assure que $Q^{-1}(0)$ ne peut se réduire à $\{0\}$ de sorte que $Q^{-1}(0)$ est constitué d'un nombre fini de droites. En particulier Q satisfait la propriété de division de DE RHAM-SAITO ([Sai76]), *i.e.* il existe h dans $O(\mathbb{C}^3)$ tel que f s'écrive hQ . Pour des raisons d'homogénéité h est une constante non nulle et on peut supposer que $Q = L \wedge L'$. Les zéros de Q (qui correspondent en coordonnées homogènes aux points d'indétermination) sont exactement les points m où L et L' sont colinéaires ; dit autrement ce sont les directions propres de $L^{-1}L'$. Il y a évidemment trois possibilités

- $L^{-1}L'$ a trois vecteurs propres non colinéaires ;
- $L^{-1}L'$ compte deux vecteurs propres non colinéaires ;
- $L^{-1}L'$ possède un unique vecteur propre.

Dans la première éventualité Q a trois points d'indétermination et est donc birationnelle, en fait dans Σ^3 . Dans les autres cas pour établir la birationnalité on peut supposer à équivalence g.d. près que $L = \text{id}$; il suffit alors d'examiner les différents types de JORDAN pour L' . Ainsi dans le second cas il y a deux points d'indétermination, *i.e.* Q appartient à Σ^2 . Enfin dans la dernière possibilité, Q compte un unique point d'indétermination : Q est un élément de Σ^1 . \square

Inversement on a le :

Lemme 1.14. — Soit Q un élément de $\mathbb{P}^{17}(\mathbb{C})$ représentant une transformation rationnelle tel que $e(Q) = 2$. Supposons que les éléments de $\text{RL}(Q)$ soient non inversibles. Alors Q coïncide, à conjugaison gauche-droite près, avec $(x_0^2 : x_1^2 : x_0 x_1)$; en particulier Q appartient à Bir_2 .

Démonstration. — On procède comme dans le lemme précédent. La transformation Q est nécessairement purement quadratique en particulier $\dim Q^{-1}(0) \leq 1$. Soit $\{L, L'\}$ une base de $\text{RL}(Q)$.

Montrons que $f := L \wedge L'$ ne peut être identiquement nul. Si f était nul, l'argument de division de DE RHAM-SAITO ([Sai76]) imposerait que L et L' s'annulent sur un hyperplan de sorte que

$$L = \ell(a, b, c), \quad L' = \ell'(a', b', c')$$

où ℓ, ℓ' désignent des formes linéaires et $(a, b, c), (a', b', c')$ des éléments de \mathbb{C}^3 ; ceci impliquerait que Q n'est pas purement quadratique. Ainsi comme dans le Lemme 1.13 on a $L \wedge L' \neq 0$ et on peut supposer que Q s'écrit $L \wedge L'$. Notons que chaque élément de $\text{RL}(Q)$ est, par l'argument précédent, précisément de rang 2. En particulier $\ker(L - tL')$ est, pour tout t dans \mathbb{C} , une droite \mathcal{D}_t dépendant holomorphiquement de t . On observe que chaque \mathcal{D}_t appartient à $Q^{-1}(0)$;

il s'en suit que \mathcal{D}_i est constant et L, L' ont leur noyau commun, disons $\mathbb{C}(0 : 0 : 1)$. Par conséquent Q est du type $(Q_0(x_0, x_1) : Q_1(x_0, x_1) : Q_2(x_0, x_1))$. Si les Q_i forment une base des formes quadratiques en deux variables, Q est g.d. conjugué à $(x_0^2 : x_1^2 : x_0x_1)$ comme annoncé. Sinon Q est, toujours à conjugaison g.d. près, du type $(Q_0 : Q_1 : 0)$; mais pour une telle transformation la dimension de $\text{RL}(Q)$ est supérieure ou égal à 3 ce qui, par hypothèse, est impossible. \square

Lemme 1.15. — *Soit Q une transformation rationnelle quadratique. Si $e(Q) \geq 3$, alors Q appartient à $\overline{\text{Bir}}_2$.*

Démonstration. — Supposons qu'il existe L et L' dans $\text{RL}(Q)$ tels que $L \wedge L' \neq 0$. Si $L \wedge L'$ s'annulait sur un ensemble de codimension 2, alors, d'après [Sai76], la dimension de $\text{RL}(Q)$ serait 2 ce qui n'est pas le cas. Par suite $L \wedge L'$ est divisible par une forme linéaire ou une forme quadratique. Dans la première éventualité Q est du type ℓf où ℓ désigne une forme linéaire et f un endomorphisme de \mathbb{C}^3 ; visiblement Q est dans $\overline{\text{Bir}}_2$. Dans le second cas Q est à conjugaison près de l'un des types suivants

$$(x_2^2 + x_0x_1 : 0 : 0), \quad (x_0x_1 : 0 : 0), \quad (x_0^2 : 0 : 0)$$

qui sont tous dans $\overline{\text{Bir}}_2$: ils sont de la forme $A\sigma, A\rho$ ou $A\tau$ lorsque A dégénère sur un élément non inversible.

Supposons que pour tout choix de L et L' dans $\text{RL}(Q)$ on ait $L \wedge L' \equiv 0$. Tout élément de $\text{RL}(Q)$ est de rang 1 sinon on aurait $e(Q) = 1$. En particulier il existe (a, b, c) dans \mathbb{C}^3 tel que

$$\text{RL}(Q) = \{(\alpha x_0 + \beta x_1 + \gamma x_2)(a, b, c) \mid (\alpha, \beta, \gamma) \in \mathbb{C}^3\}$$

et Q est dégénérée ; on peut d'ailleurs se ramener, à équivalence g.d. près, à

$$Q = (Q_0(x_0, x_1, x_2) : Q_1(x_0, x_1, x_2) : 0).$$

Montrons qu'un tel élément est dans $\overline{\text{Bir}}_2$. On peut supposer que Q est purement quadratique. Les formes normales des couples (Q_0, Q_1) sont données par la classification des pincesaux de coniques que l'on trouve par exemple dans [HP94]. À équivalence g.d. près on se ramène aux modèles suivants

$$\begin{aligned} (x_1x_2 + x_0x_2 + x_0x_1 : \alpha x_1x_2 + \beta x_0x_2 + \gamma x_0x_1 : 0), & \quad (x_2^2 : x_0x_1 : 0), \\ (x_0^2 : x_0x_1 + x_2^2 : 0), & \quad (x_0^2 + x_1^2 : x_0x_1 + x_2^2 : 0). \end{aligned}$$

Visiblement $(x_1x_2 + x_0x_2 + x_0x_1 : \alpha x_1x_2 + \beta x_0x_2 + \gamma x_0x_1 : 0)$ est une dégénérescence de transformations de type $A\sigma$; elle est donc dans $\overline{\text{Bir}}_2$. De même les transformations $(x_2^2 : x_0x_1 : 0)$ et $(x_0^2 : x_0x_1 + x_2^2 : 0)$ le sont aussi en considérant des transformations du type $A\rho, A\tau$ avec $\det A = 0$. Pour montrer que $(x_0^2 + x_1^2 : x_0x_1 + x_2^2 : 0)$ est dans l'adhérence de Bir_2 on procède comme suit. Les 2 formes quadratiques ci-dessus s'annulent simultanément sur quatre droites en position générale plus précisément sur

$$\text{Vect}(i, 1, e^{3i\pi/4}), \quad \text{Vect}(i, 1, -e^{3i\pi/4}), \quad \text{Vect}(-i, 1, e^{i\pi/4}), \quad \text{Vect}(-i, 1, -e^{i\pi/4}).$$

Par conjugaison à droite près on peut ramener trois de ces droites en position standard

$$\text{Vect}(1, 0, 0), \quad \text{Vect}(0, 1, 0), \quad \text{Vect}(0, 0, 1).$$

Après cette modification $(x_0^2 + x_1^2 : x_0x_1 + x_2^2 : 0)$ est du type $A\sigma$, la dernière ligne de A étant nulle. La transformation $(x_0^2 + x_1^2 : x_0x_1 + x_2^2 : 0)$ est donc une dégénérescence d'un élément de Σ^3 . \square

On obtient finalement le :

Théorème 1.16. — *Soit Q une transformation rationnelle quadratique.*

Si $e(Q) \geq 2$ alors Q appartient à $\overline{\text{Bir}}_2$.

Si Q est non dégénérée et $e(Q) = 2$, alors Q appartient à $\Sigma^1 \cup \Sigma^2 \cup \Sigma^3$.

1.4.3. Paramétrisation de l'adhérence de Bir_2 . —

En fait en suivant les raisonnements précédents on a le :

Théorème 1.17. — *Soit Q un élément de $\overline{\text{Bir}}_2$; il existe L et L' deux applications linéaires telles que $Q = L \wedge L'$. Inversement une transformation non dégénérée du type $L \wedge L'$ est dans Bir_2 . Les éléments de Bir_2 sont donc exactement les applications quadratiques déterminantielles.*

Ceci permet d'obtenir de nouveau $\overline{\text{Bir}}_2$ comme l'adhérence de l'image d'un morphisme (l'ancienne étant $(A, B) \mapsto A\sigma B$). Plus précisément introduisons les notations suivantes

$$L = (a_0x_0 + b_0x_1 + c_0x_2 : a_1x_0 + b_1x_1 + c_1x_2 : a_2x_0 + b_2x_1 + c_2x_2),$$

$$L' = (\alpha_0x_0 + \beta_0x_1 + \gamma_0x_2 : \alpha_1x_0 + \beta_1x_1 + \gamma_1x_2 : \alpha_2x_0 + \beta_2x_1 + \gamma_2x_2),$$

$$a = \begin{bmatrix} a_0 \\ a_1 \\ a_2 \end{bmatrix}, \quad b = \begin{bmatrix} b_0 \\ b_1 \\ b_2 \end{bmatrix}, \quad c = \begin{bmatrix} c_0 \\ c_1 \\ c_2 \end{bmatrix}, \quad \alpha = \begin{bmatrix} \alpha_0 \\ \alpha_1 \\ \alpha_2 \end{bmatrix}, \quad \beta = \begin{bmatrix} \beta_0 \\ \beta_1 \\ \beta_2 \end{bmatrix}, \quad \gamma = \begin{bmatrix} \gamma_0 \\ \gamma_1 \\ \gamma_2 \end{bmatrix},$$

$$Q = (A_0x_0^2 + B_0x_1^2 + C_0x_2^2 + D_0x_1x_2 + E_0x_0x_2 + F_0x_0x_1 : A_1x_0^2 + B_1x_1^2 + C_1x_2^2 \\ + D_1x_1x_2 + E_1x_0x_2 + F_1x_0x_1 : A_2x_0^2 + B_2x_1^2 + C_2x_2^2 + D_2x_1x_2 + E_2x_0x_2 + F_2x_0x_1),$$

$$A = \begin{bmatrix} A_0 \\ A_1 \\ A_2 \end{bmatrix}, \quad B = \begin{bmatrix} B_0 \\ B_1 \\ B_2 \end{bmatrix}, \quad C = \begin{bmatrix} C_0 \\ C_1 \\ C_2 \end{bmatrix}, \quad D = \begin{bmatrix} D_0 \\ D_1 \\ D_2 \end{bmatrix}, \quad E = \begin{bmatrix} E_0 \\ E_1 \\ E_2 \end{bmatrix}, \quad F = \begin{bmatrix} F_0 \\ F_1 \\ F_2 \end{bmatrix}.$$

L'égalité $Q = L \wedge L'$ s'exprime alors comme suit

$$\begin{aligned} A &= a \wedge \alpha, & B &= b \wedge \beta, & C &= c \wedge \gamma, \\ D &= b \wedge \gamma + c \wedge \beta, & E &= a \wedge \gamma + c \wedge \alpha, & F &= a \wedge \beta + b \wedge \alpha \end{aligned}$$

ce qui, comme annoncé, permet de paramétrer $\overline{\text{Bir}}_2$ comme l'adhérence de l'image d'un morphisme rationnel.

Considérons la matrice M à 10 lignes et 9 colonnes définie par

$$M(Q) = \begin{bmatrix} A_0 & 0 & 0 & A_1 & 0 & 0 & A_2 & 0 & 0 \\ 0 & B_0 & 0 & 0 & B_1 & 0 & 0 & B_2 & 0 \\ 0 & 0 & C_0 & 0 & 0 & C_1 & 0 & 0 & C_2 \\ B_0 & F_0 & 0 & B_1 & F_1 & 0 & B_2 & F_2 & 0 \\ F_0 & A_0 & 0 & F_1 & A_1 & 0 & F_2 & A_2 & 0 \\ C_0 & 0 & E_0 & C_1 & 0 & E_1 & C_2 & 0 & E_2 \\ E_0 & 0 & A_0 & E_1 & 0 & A_1 & E_2 & 0 & A_2 \\ 0 & C_0 & D_0 & 0 & C_1 & D_1 & 0 & C_2 & D_2 \\ 0 & D_0 & B_0 & 0 & D_1 & B_1 & 0 & D_2 & B_2 \\ D_0 & E_0 & F_0 & D_1 & E_1 & F_1 & D_2 & E_2 & F_2 \end{bmatrix}.$$

Remarquons que si $Q = L \wedge L'$, les vecteurs

$${}^t(a_0, a_1, a_2, b_0, b_1, b_2, c_0, c_1, c_2), \quad {}^t(\alpha_0, \alpha_1, \alpha_2, \beta_0, \beta_1, \beta_2, \gamma_0, \gamma_1, \gamma_2)$$

sont dans le noyau de $M(Q)$. Le Théorème 7.32 s'énonce en partie comme suit.

Proposition 1.18. — *Soit Q une transformation rationnelle quadratique non dégénérée. Alors Q appartient à Bir_2 si et seulement si $\text{rg } M(Q) \leq 7$.*

Cette proposition est très pratique pour tester des exemples effectifs, en particulier avec Maple, puisqu'il s'agit de décider de l'annulation de certains polynômes à l'inverse du Théorème 1.5 qui lui demande un calcul de racines de polynômes.

1.5. Quelques orbites sous l'action gauche-droite

Au même titre que σ les transformations rationnelles

$$(x_0^2 : x_1^2 : x_2^2) \quad \text{et} \quad (x_0^2 : x_1^2 + x_0x_2 : x_2^2)$$

ont leur déterminant jacobien qui s'annule sur trois droites en position générale.

Proposition 1.19. — *Les orbites de $\sigma = (x_1x_2 : x_0x_2 : x_0x_1)$ et $(x_0^2 : x_1^2 : x_2^2)$ sont de dimension 14, l'orbite de $(x_0^2 : x_1^2 + x_0x_2 : x_2^2)$ est de dimension 15.*

Démonstration. — Calculons le groupe d'isotropie de $(x_0^2 : x_1^2 : x_2^2)$: soient A, B dans $\text{SL}_3(\mathbb{C})$ et η dans \mathbb{C}^* tels que

$$A(x_0^2 : x_1^2 : x_2^2)B = \eta(x_0^2 : x_1^2 : x_2^2).$$

Notons B_i les composantes de B ; à partir de

$$\det \text{jac } A(x_0^2 : x_1^2 : x_2^2)B = \det \text{jac } \eta(x_0^2 : x_1^2 : x_2^2)$$

on obtient $B_1B_2B_3 = \eta^3 x_0 x_1 x_2$. Comme $(x_0^2 : x_1^2 : x_2^2)$ commute aux permutations, la composante neutre du groupe d'isotropie est formée d'éléments (A, B) diagonaux. Posons

$$A := \left(\mu_1 x_0 : \mu_2 x_1 : \frac{x_2}{\mu_1 \mu_2} \right), \quad B := \left(\alpha_1 x_0 : \alpha_2 x_1 : \frac{x_2}{\alpha_1 \alpha_2} \right).$$

L'égalité $A(x_0^2 : x_1^2 : x_2^2)B = \eta(x_0^2 : x_1^2 : x_2^2)$ entraîne

$$\mu_1 \alpha_1^2 = \eta, \quad \mu_2 \alpha_2^2 = \eta, \quad 1 = \mu_1 \mu_2 \alpha_1^2 \alpha_2^2 \eta.$$

Il en résulte que $\eta^3 = 1$, *i.e.* à indice fini près η vaut 1 et $\mu_1 \alpha_1^2 = \mu_2 \alpha_2^2 = 1$. Ainsi le groupe d'isotropie de $(x_0^2 : x_1^2 : x_2^2)$ est de dimension 2 donc $\dim O_{g.d.}(x_0^2 : x_1^2 : x_2^2) = 14$.

Par ailleurs soient A, C dans $SL_3(\mathbb{C})$ et η dans \mathbb{C}^* tels que

$$A(x_1^2 + x_0 x_2 : x_0^2 : x_2^2) = \eta(x_1^2 + x_0 x_2 : x_0^2 : x_2^2)C.$$

Un calcul montre qu'on est nécessairement dans l'une des situations suivantes

$$\begin{aligned} A &= \left(\eta \beta^2 x_0 : \eta \alpha^2 x_1 : \eta \frac{\beta^4}{\alpha^2} x_2 \right), & C &= \left(\alpha x_0 : \beta x_1 : \frac{\beta^2}{\alpha} x_2 \right) & \text{et} & \quad \eta^3 = \beta^3 = 1; \\ A &= \left(\eta \beta^2 x_0 : \eta \alpha^2 x_2 : \eta \frac{\beta^4}{\alpha^2} x_1 \right), & C &= \left(\alpha x_2 : \beta x_1 : \frac{\beta^2}{\alpha} x_0 \right) & \text{et} & \quad \eta^3 = \beta^3 = 1. \end{aligned}$$

Le groupe d'isotropie de $(x_1^2 + x_0 x_2 : x_0^2 : x_2^2)$ est donc de dimension 1; on en déduit que $\dim O_{g.d.}(x_1^2 + x_0 x_2 : x_0^2 : x_2^2) = 15$.

Bien sûr on peut calculer de la même façon le groupe d'isotropie de σ , mais nous aurons besoin plus loin de l'espace tangent à $O_{g.d.}(\sigma)$ en σ

$$\begin{aligned} T_\sigma O_{g.d.}(\sigma) &= \{ (a_2 x_1^2 + a_3 x_2^2 + a_4 x_0 x_1 + a_5 x_0 x_2 + a_6 x_1 x_2 : b_1 x_0^2 + b_3 x_2^2 + b_4 x_0 x_1 + b_5 x_0 x_2 + b_6 x_1 x_2 : \\ &\quad c_1 x_0^2 + c_2 x_1^2 + c_4 x_0 x_1 + c_5 x_0 x_2 + c_6 x_1 x_2) \mid a_i, b_i, c_i \in \mathbb{C} \}. \end{aligned}$$

On constate ainsi que $T_\sigma O_{g.d.}(\sigma)$ est de codimension 3 et l'orbite de σ est de dimension 14. \square

Remarque 1.20. — Posons $Q_0 := (x_0^2 : x_1^2 : x_2^2)$ et $Q_1 := (x_0^2 : x_1^2 + x_0 x_2 : x_2^2)$. Pour $\varepsilon \neq 0$ la transformation

$$Q_\varepsilon := \left(x_0 : x_1 : \frac{x_2}{\varepsilon^2} \right) Q_1(x_0 : x_1 : \varepsilon x_2) = (x_0^2 : x_1^2 + \varepsilon x_0 x_2 : x_2^2)$$

est g.d. conjuguée à Q_1 ; lorsque ε tend vers 0, cette transformation Q_ε tend vers Q_0 . Puisque la dimension du groupe d'isotropie de Q_0 est strictement inférieure à celle du groupe d'isotropie de Q_1 , on a $O_{g.d.}(Q_0) \subsetneq \overline{O_{g.d.}(Q_1)}$.

1.5.1. Orbites génériques et feuilletage par les orbites. —

Soit C une courbe de degré 3 possédant une forme normale de WEIERSTRASS

$$x_1^2 = x_0(x_0 - 1)(x_0 - \eta).$$

On sait que

- si $\eta \notin \{0, 1, \infty\}$ alors C est une courbe elliptique lisse ;

- si $\eta = 0$ ou $\eta = 1$, alors C est une cubique à point double ;
- enfin si « $\eta = \infty$ », alors C est l'union de trois droites concourantes.

Notons j l'invariant des courbes elliptiques

$$j(\eta) = 256 \frac{(\eta^2 - \eta + 1)^3}{\eta^2(1 - \eta)^2}.$$

Considérons l'action de $\mathrm{PGL}_3(\mathbb{C})$ sur $\mathbb{P}^9(\mathbb{C}) = \mathbb{P}(\mathbb{C}[x_0, x_1, x_2]_3)$ donnée par

$$\mathrm{PGL}_3(\mathbb{C}) \times \mathbb{P}^9(\mathbb{C}) \rightarrow \mathbb{P}^9(\mathbb{C}), \quad (g, P) \mapsto P \circ g^{-1}.$$

Elle définit un feuilletage \mathcal{F} sur $\mathbb{P}^9(\mathbb{C})$ dont une intégrale première rationnelle est induite par j (extension de j le long des orbites) et notée J . L'égalité $\det(\mathrm{jac} AQB^{-1}) = \det(\mathrm{jac} Q) \circ B^{-1}$ assure la compatibilité de cette action avec l'action g.d. sur Rat_2 .

Remarquons que $j(\infty) = j(0) = j(1) = \infty$. Un point générique de $J^{-1}(\infty)$ est une cubique à point double ; cette feuille est de dimension maximale 8 car le groupe d'isotropie d'une cubique à point double est fini. Par conséquent la restriction de j aux courbes elliptiques et cubiques à point double prend toutes les valeurs ; il en résulte que $\overline{J^{-1}(c)} \setminus \mathrm{Sing} \mathcal{F}$, où $\mathrm{Sing} \mathcal{F}$ désigne le lieu singulier de \mathcal{F} , est, pour tout c , l'orbite d'une courbe elliptique lisse ou d'une cubique à point double. Les autres configurations de courbes sont contenues dans $\mathrm{Sing} \mathcal{F}$.

Proposition 1.21. — *La dimension d'une orbite générique pour l'action gauche-droite sur $\mathrm{Rat}_2 \simeq \mathbb{P}^{17}(\mathbb{C})$ est 16. En particulier l'action gauche-droite induit un feuilletage \mathcal{R} de codimension 1 sur $\mathbb{P}^{17}(\mathbb{C})$ d'intégrale première $J \circ \det \mathrm{jac}$.*

Démonstration. — Soit Q dans Rat_2 tel que $C = \det \mathrm{jac} Q$ soit générique (l'existence d'une telle transformation est assurée par la Proposition 1.2). Calculons le groupe d'isotropie de Q ; soient A, B dans $\mathrm{SL}_3(\mathbb{C})$ et η dans \mathbb{C}^* tels que $AQB^{-1} = \eta Q$. Cette égalité conduit à

$$\det(\mathrm{jac} Q) \circ B^{-1} = \eta \det \mathrm{jac} Q.$$

La courbe C est donc invariante par B ; puisqu'elle est générique, B appartient à un groupe fini. À indice fini près on a $A = B = \mathrm{id}$; le groupe d'isotropie de Q est donc fini. \square

1.5.2. Lieu singulier. —

Nous allons préciser la nature du lieu singulier de \mathcal{R} . D'après la démonstration de la Proposition 1.19 l'ensemble paramétré par l'application

$$\Psi = \Psi_{s,t,u} : (s, t, u) \mapsto (x_1x_2 + sx_0^2 : x_0x_2 + tx_1^2 : x_0x_1 + ux_2^2), \quad (s, t, u) \in \mathbb{C}^3$$

est transverse à l'orbite de σ en σ . On constate que

$$\det(\mathrm{jac} \Psi) = (2 + 8stu)x_0x_1x_2 - 2sx_0^3 - 2tx_1^3 - 2ux_2^3.$$

En particulier $\det(\mathrm{jac} \Psi)$ est une submersion en $(0, 0, 0)$; le point $(0, 0, 0)$ correspond à σ et l'image de $\det(\mathrm{jac} \Psi)$ est une transversale à l'orbite de $x_0x_1x_2$ dans $\mathbb{P}^9(\mathbb{C})$. L'union de trois droites en position générale est limite d'une des configurations suivantes : courbe elliptique lisse, cubique à point double ou union d'une droite et d'une conique en position générale.

Rappelons que les orbites des courbes elliptiques ou des cubiques nodales sont lisses de dimension 8 donc ne sont pas contenues dans le lieu singulier de \mathcal{F} ; celle d'une conique et d'une droite en position générale est de dimension 7. En fait l'image de $\det(\text{jac } \psi)$ s'identifie à la sous-variété paramétrée par

$$\varphi = \varphi_{s,t,u} : (s,t,u) \mapsto x_0x_1x_2 + sx_0^3 + tx_1^3 + ux_2^3, \quad (s,t,u) \in \mathbb{C}^3$$

qui est une transversale à l'orbite de $x_0x_1x_2$ en $\varphi_{0,0,0} = x_0x_1x_2$. Pour les paramètres (s,t,u) dans $\mathbb{C}^3 \setminus \{(0,0,0)\}$ satisfaisant $s = t$ et $u = 27s^2$ la cubique $\varphi_{s,t,u}$ a deux composantes; il en est de même lorsqu'on fait une permutation circulaire sur (s,t,u) . Notons qu'une cubique formée d'une conique et d'une droite en position générale est dans $\text{Sing } \mathcal{F}$ si bien que le lieu singulier de \mathcal{F} dans $\mathbb{P}^9(\mathbb{C})$ au point $x_0x_1x_2$ a trois branches locales de dimension 7. La courbe $x_0x_1x_2$ étant à l'intersection de ces trois branches on en déduit que l'orbite de $x_0x_1x_2$, et en fait l'adhérence de cette orbite, est contenue dans le lieu singulier de $\text{Sing } \mathcal{F}$.

Comme ψ est submersive en $(0,0,0)$ on obtient que σ , et donc Σ^3 , est dans $\text{Sing Sing } \mathcal{R}$. Nous verrons plus loin que l'adhérence de Σ^3 dans $\mathbb{P}^{17}(\mathbb{C})$ est aussi $\overline{\text{Bir}_2}$. On obtient le :

Théorème 1.22. — *L'adhérence de Bir_2 est une composante irréductible de $\text{Sing Sing } \mathcal{R}$.*

On peut mener des calculs identiques en les éléments

$$Q_0 = (x_0^2 : x_1^2 : x_2^2) \quad \text{et} \quad \widetilde{Q}_1 = (x_0^2 + x_1x_2 : x_1^2 : x_2^2)$$

pour lesquels on a $\det(\text{jac } Q_0) = \det(\text{jac } \widetilde{Q}_1) = 8x_0x_1x_2$. Comme on l'a dit l'orbite de \widetilde{Q}_1 est de dimension 15; de plus $\det \text{jac}$ est de rang deux dans une transversale à \widetilde{Q}_1 . On en déduit, comme précédemment, que l'orbite de \widetilde{Q}_1 est contenue dans $\text{Sing } \mathcal{R}$ et pour des raisons de dimension son adhérence est exactement une branche de $\text{Sing } \mathcal{R}$. Ainsi

Proposition 1.23. — *L'adhérence de $O_{g.d.}(x_0^2 + x_1x_2 : x_1^2 : x_2^2)$ est une branche \mathcal{S} du lieu singulier $\text{Sing } \mathcal{R}$.*

Remarque 1.24. — Un calcul explicite montre que dans une transversale à $O_{g.d.}(Q_0)$ en Q_0 l'application $\det(\text{jac})$ est équivalente à l'application

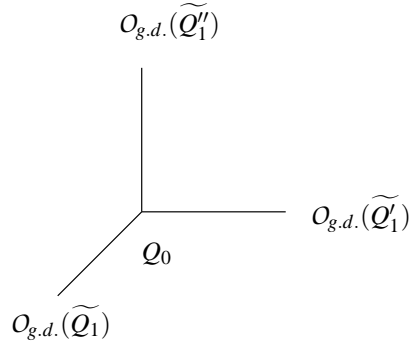
$$(s,t,u) \mapsto (tu, su, st),$$

i.e. à l'application induisant σ !

Posons

$$\widetilde{Q}_1 := (x_0^2 + x_1x_2 : x_1^2 : x_2^2), \quad \widetilde{Q}'_1 := (x_0^2 : x_1^2 : x_2^2 + x_0x_1), \quad \widetilde{Q}''_1 := (x_0^2 : x_1^2 + x_0x_2 : x_2^2);$$

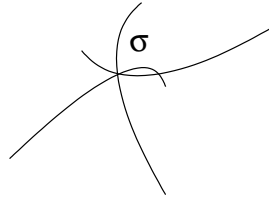
voici le modèle local de \mathcal{S} en Q_0 dans une section 3-plane :



Si T désigne l'orbite de $x_0x_1x_2$ sous l'action de $\mathrm{PGL}_3(\mathbb{C})$, on note au passage que \mathcal{S} est une composante de $\det \mathrm{jac}^{-1}(\overline{T})$ qui est donc de dimension 15. Remarquons aussi que $O_{g.d.}(\widetilde{Q}_1)$, $O_{g.d.}(\widetilde{Q}_1')$ et $O_{g.d.}(\widetilde{Q}_1'')$ sont en fait égales, les \widetilde{Q}_1 , \widetilde{Q}_1' et \widetilde{Q}_1'' étant échangées par permutation de coordonnées. Nous les avons distinguées car elles apparaissent de façon naturelle localement en Q_0 au travers des déformations de Q_0

$$(x_0^2 + tx_1x_2 : x_1^2 : x_2^2), \quad (x_0^2 : x_1^2 + tx_0x_2 : x_2^2), \quad (x_0^2 : x_1^2 : x_2^2 + tx_0x_1).$$

En σ on a la description suivante dans une section 3-plane :



les trois branches locales faisant partie de l'image réciproque par $\det(\mathrm{jac})$ de l'adhérence de l'orbite d'une conique et d'une droite en position générale.

1.5.3. Orbites spéciales. —

On a vu précédemment que $O_{g.d.}(\sigma)$, c'est-à-dire Σ^3 , est de dimension 14. Nous l'avons obtenu par un calcul d'espace tangent. On peut aussi le faire en explicitant le groupe d'isotropie de σ noté $\mathrm{Isot} \sigma$. Ce calcul peut s'avérer intéressant dans la mesure où il donne des exemples de relations dans le groupe de CREMONA. En effet soient (A, B) dans $\mathrm{SL}_3(\mathbb{C}) \times \mathrm{SL}_3(\mathbb{C})$ tels que $A\sigma = \sigma B$; alors (A, B) appartient à

$$\left\langle \left(\left(\frac{x_0}{\alpha} : \frac{x_1}{\beta} : \alpha\beta x_2 \right), \left(\alpha x_0 : \beta x_1 : \frac{x_2}{\alpha\beta} \right) \right), \mathcal{S}_6 \times \mathcal{S}_6 \mid \alpha, \beta \in \mathbb{C}^* \right\rangle$$

où $\mathcal{S}_6 = \{\mathrm{id}, (x_0 : x_2 : x_1), (x_2 : x_1 : x_0), (x_1 : x_0 : x_2), (x_1 : x_2 : x_0), (x_2 : x_0 : x_1)\}$. Ceci implique que $\dim \mathrm{Isot} \sigma = 2$.

1.5.3.1. *Orbite de ρ .* —

Proposition 1.25. — *La dimension de $\Sigma^2 = O_{g.d.}(\rho)$ est 13.*

Démonstration. — Calculons Isot ρ sous l'action g.d., i.e. cherchons A et C dans $SL_3(\mathbb{C})$ tels que $A\rho = \eta\rho C$ où η désigne un complexe non nul. Rappelons que

$$\text{Ind } \rho = \{(0 : 1 : 0), (1 : 0 : 0)\};$$

la relation $A\rho = \eta\rho C$ assure que C laisse Ind ρ invariant. Or les points d'indétermination de ρ « ne sont pas de même nature » donc C fixe $(0 : 1 : 0)$ et $(1 : 0 : 0)$; par suite C est de la forme

$$(ax_0 + bx_2 : cx_1 + dx_2 : ex_2), \quad ace \neq 0.$$

Un calcul conduit à

$$A = (\eta\gamma\delta x_0 + \eta\beta\delta x_2 : \eta\alpha^2 x_1 : \eta\alpha\delta x_2), \quad C = (\gamma x_0 + \beta x_2 : \delta x_1 : \alpha x_2), \quad \eta^3 \alpha^2 \delta = \alpha\gamma\delta = 1.$$

La dimension du groupe d'isotropie est donc 3. \square

Le calcul de Isot ρ assure qu'on a les relations suivantes

$$(\gamma\delta x_0 + \beta\delta x_2 : \alpha^2 x_1 : \alpha\delta x_2)\rho = \rho(\gamma x_0 + \beta x_2 : \delta x_1 : \alpha x_2), \quad \alpha, \gamma, \delta \in \mathbb{C}^*, \beta \in \mathbb{C}.$$

1.5.3.2. *Orbite de τ .* —

Calculons le groupe d'isotropie de $\tau = (x_0^2 : x_0 x_1 : x_1^2 - x_0 x_2)$. Rappelons que le lieu d'indétermination de τ est réduit à $\{(0 : 0 : 1)\}$; la relation $A\tau = \eta\tau C$, où η désigne un élément de \mathbb{C}^* et A, C deux éléments de $SL_3(\mathbb{C})$, assure que C laisse $(0 : 0 : 1)$ invariant. Par suite C est de la forme

$$(a_0 x_0 + b_0 x_1 : a_1 x_0 + b_1 x_1 : a_2 x_0 + b_2 x_1 + c_2 x_2), \quad c_2(a_0 b_1 - a_1 b_0) \neq 0.$$

Un calcul élémentaire conduit à

$$\begin{aligned} A &= (\eta\varepsilon^2 x_0 : \eta\varepsilon(\beta - \alpha + \varepsilon)x_0 + \eta\alpha\varepsilon x_1 : \eta(\varepsilon(\beta + \delta - \alpha - \gamma - \varepsilon) - 2\alpha\beta + 2\alpha^2 + \beta^2)x_0 \\ &\quad + \eta(\alpha\varepsilon + \varepsilon\gamma + 2\alpha\beta - \alpha^2)x_1 + \eta\alpha^2 x_2), \\ C &= \left(\varepsilon x_0 : (\beta + \varepsilon - \alpha)x_0 + \alpha x_1 : \left(\beta - \alpha + 2\varepsilon + \gamma - \delta - \frac{\alpha}{\varepsilon}\right)x_0 + \left(\alpha - \gamma - \frac{\alpha}{\varepsilon}\right)x_1 + \frac{\alpha}{\varepsilon}x_2\right) \end{aligned}$$

où $\alpha^2 = \eta^3 \varepsilon^3 \alpha = 1$. Par suite $\dim \text{Isot } \tau = 4$. On en déduit la :

Proposition 1.26. — *La dimension de Σ^1 est 12.*

D'après ce qui précède on a les relations suivantes : $A\tau = \tau B$ lorsque

$$A = \begin{bmatrix} \alpha\varepsilon & 0 & \beta\varepsilon \\ \varepsilon\gamma + 2\alpha\beta & \alpha^2 & (\varepsilon\delta + \beta^2) \\ 0 & 0 & \varepsilon^2 \end{bmatrix}, \quad B = \begin{bmatrix} \alpha & \beta & 0 \\ 0 & \varepsilon & 0 \\ \gamma & \delta & \alpha/\varepsilon \end{bmatrix}, \quad \beta, \gamma, \delta \in \mathbb{C}, \alpha, \varepsilon \in \mathbb{C}^*.$$

1.5.3.3. *Orbite de $x_0(x_0 : x_1 : x_2)$.* —

Proposition 1.27. — *La dimension de $\Sigma^0 = O_{g.d.}(x_0(x_0 : x_1 : x_2))$ est 10.*

Démonstration. — On peut calculer le groupe d'isotropie de $x_0(x_0 : x_1 : x_2)$ mais on peut aussi calculer $T_{x_0(x_0 : x_1 : x_2)} O_{g.d.}(x_0(x_0 : x_1 : x_2))$; cet espace tangent est précisément

$$\{(\alpha_1 x_0^2 + \alpha_4 x_0 x_1 + \alpha_5 x_0 x_2 : \beta_1 x_0^2 + \beta_2 x_1^2 + \beta_4 x_0 x_1 + \beta_5 x_0 x_2 + \beta_6 x_1 x_2 : \gamma_1 x_0^2 + \beta_6 x_2^2 + \gamma_4 x_0 x_1 + \gamma_5 x_0 x_2 + \beta_2 x_1 x_2) \mid \alpha_i, \beta_i, \gamma_i \in \mathbb{C}\}$$

qui est de codimension 7 dans l'espace des triplets de formes quadratiques. \square

1.5.3.4. *Orbites dans $\overline{\text{Bir}}_2 \setminus \text{Bir}_2$.* — (voir [HP94], tome 2, page 304)

Soit f une transformation de $\overline{\text{Bir}}_2 \setminus \text{Bir}_2$; il existe une suite de transformations birationnelles quadratiques $(f_i)_i$ dont f est la limite. On peut d'ailleurs, comme nous le verrons dans la Proposition 1.28, choisir les f_i dans Σ^3 . Montrons par l'absurde que $\det(\text{jac } f) \equiv 0$; supposons donc que $\det(\text{jac } f) \not\equiv 0$. Les f_i contractent $\det(\text{jac } f_i) \equiv 0$ qui est l'union de trois droites (Théorème 1.5); par continuité f contracte donc trois droites qui sont nécessairement distinctes et concourantes sinon f serait birationnelle. En reprenant la démonstration du Théorème 1.5 on en déduit que f s'écrit à équivalence g.d. près $(x_0^2 : x_1^2 : x_0 x_1)$ d'où $\det(\text{jac } f) \equiv 0$: contradiction.

Puisque $\det(\text{jac } f) \equiv 0$, on sait d'après la Remarque 1.1 que f est, à équivalence g.d. près, de la forme $(Q_0 : Q_1 : 0)$ ou du type $(x_0^2 : x_1^2 : x_0 x_1)$. En déformant les transformations du type $A\sigma$ (resp. $A\rho$, resp. $A\tau$), où A désigne un automorphisme de $\mathbb{P}^2(\mathbb{C})$, on obtient des transformations du type $\tilde{A}\sigma$ (resp. $\tilde{A}\rho$, resp. $\tilde{A}\tau$) avec $\det \tilde{A} = 0$; les orbites de tels éléments sont dans $\overline{\text{Bir}}_2 \setminus \text{Bir}_2$; par exemple

$$\begin{array}{lll} O_{g.d.}(x_2(x_1 : x_0 : 0)), & O_{g.d.}(x_0 x_1(0 : 0 : 1)), & O_{g.d.}(x_2(x_2 : x_0 : 0)), \\ O_{g.d.}(x_2^2 : 0 : x_0 x_1), & O_{g.d.}(x_0^2 : 0 : 0), & O_{g.d.}(x_0 x_1 : x_0^2 + x_1 x_2 : 0), \\ O_{g.d.}(0 : x_0^2 + x_1 x_2 : x_2^2), & O_{g.d.}(x_2^2 + x_0 x_1 : 0 : 0), & O_{g.d.}(x_0 x_1 : x_0^2 : x_1^2), \\ O_{g.d.}(0 : x_0^2 : x_1^2). & & \end{array}$$

1.6. Conditions d'incidence ; lissité de Bir_2

On se propose dans ce paragraphe d'étudier les conditions d'incidence entre les Σ^i et la lissité de Bir_2 .

Proposition 1.28. — *On a les inclusions*

$$\Sigma^0 \subset \overline{\Sigma^1}, \quad \Sigma^1 \subset \overline{\Sigma^2}, \quad \Sigma^2 \subset \overline{\Sigma^3};$$

en particulier Σ^3 est dense dans Bir_2 .

Démonstration. — En composant σ à droite par $(x_2 : x_1 : \varepsilon x_0 + x_2)$ on a

$$\sigma_1^\varepsilon = (x_1(\varepsilon x_0 + x_2) : x_2(\varepsilon x_0 + x_2) : x_1 x_2)$$

qui est donc pour $\varepsilon \neq 0$ dans $O_{g.d.}(\sigma)$. Mais σ_1^ε est g.d. conjugué à

$$\sigma_2^\varepsilon = (x_0x_1 : (\varepsilon x_0 + x_2)x_2 : x_1x_2).$$

On remarque que $\lim_{\varepsilon \rightarrow 0} \sigma_2^\varepsilon = (x_0x_1 : x_2^2 : x_1x_2) = \rho$; d'où l'inclusion $\Sigma^2 \subset \overline{\Sigma^3}$.

Composons ρ à droite par $(x_2 : x_0 + x_1 : x_0)$; cela donne à équivalence g.d. près

$$(x_1x_2 + x_0x_2 : x_0^2 : x_0x_1).$$

Composant de nouveau à droite par $(x_0 : x_1 : x_1 + x_2)$, on obtient à conjugaison g.d. près la transformation

$$f = (x_1x_2 + x_1^2 + x_0x_2 : x_0^2 : x_0x_1).$$

Soit $g_\varepsilon := f(x_0/\varepsilon : x_1 : -\varepsilon x_2)$; à conjugaison g.d. près g_ε s'écrit $(-\varepsilon x_1x_2 + x_1^2 - x_0x_2 : x_0^2 : x_0x_1)$. Pour $\varepsilon = 0$ on obtient la transformation τ . Par suite Σ^1 est inclus dans $\overline{\Sigma^2}$.

Si ε est non nul, à équivalence g.d. près, τ s'écrit

$$(x_0^2 : x_0x_1 : \varepsilon^2x_1^2 + x_0x_2);$$

pour $\varepsilon = 0$ on obtient $x_0(x_0 : x_1 : x_2)$ qui est dans Σ^0 . Il en résulte que $\Sigma^0 \subset \overline{\Sigma^1}$. □

Récapitulons

Théorème 1.29. — *Les adhérences étant prises dans Bir_2 , on a*

$$\overline{\Sigma^0} = \Sigma^0, \quad \overline{\Sigma^1} = \Sigma^0 \cup \Sigma^1, \quad \overline{\Sigma^2} = \Sigma^0 \cup \Sigma^1 \cup \Sigma^2,$$

$$\mathring{\text{Bir}}_2 = \Sigma^1 \cup \Sigma^2 \cup \Sigma^3, \quad \text{Bir}_2 = \overline{\Sigma^3} = \Sigma^0 \cup \Sigma^1 \cup \Sigma^2 \cup \Sigma^3$$

avec

$$\dim \Sigma^0 = 10, \quad \dim \Sigma^1 = 12, \quad \dim \Sigma^2 = 13 \quad \text{et} \quad \dim \Sigma^3 = 14.$$

Théorème 1.30. — *L'ensemble des transformations birationnelles quadratiques est lisse dans l'ensemble des transformations rationnelles.*

Démonstration. — Le fait que chaque Σ^i soit une orbite et les conditions d'incidence impliquent qu'il suffit de montrer que l'adhérence de Σ^3 est lisse le long de Σ^0 .

L'espace tangent à Σ^0 en $x_0(x_0 : x_1 : x_2)$ est donné par

$$\begin{aligned} T_{x_0(x_0:x_1:x_2)}\Sigma^0 = & \{(\alpha_1x_0^2 + \alpha_4x_0x_1 + \alpha_5x_0x_2 : \beta_1x_0^2 + \beta_2x_1^2 + \beta_4x_0x_1 + \beta_5x_0x_2 + \beta_6x_1x_2 : \\ & \gamma_1x_0^2 + \beta_6x_2^2 + \gamma_4x_0x_1 + \gamma_5x_0x_2 + \beta_2x_1x_2) \mid \alpha_i, \beta_i, \gamma_i \in \mathbb{C}\}. \end{aligned}$$

L'espace vectoriel S engendré par

$$(x_1^2 : 0 : 0), \quad (x_2^2 : 0 : 0), \quad (x_1x_2 : 0 : 0), \quad (0 : x_2^2 : 0), \quad (0 : 0 : x_1^2), \quad (0 : 0 : x_2^2), \quad (0 : 0 : x_1x_2)$$

est un supplémentaire de $T_{x_0(x_0:x_1:x_2)}\Sigma^0$ dans Rat_2 . Soit f dans $\Sigma^3 \cap \{x_0(x_0 : x_1 : x_2) + S\}$, il s'écrit

$$(x_0^2 + Ax_1^2 + Bx_2^2 + Cx_1x_2 : x_0x_1 + ax_2^2 : x_0x_2 + \alpha x_1^2 + \beta x_2^2 + \gamma x_1x_2).$$

Nécessairement f a trois points d'indétermination.

Supposons $a \neq 0$; on remarque que la seconde composante d'un point d'indétermination de f est nécessairement non nulle. Si $(x_0 : x_1 : x_2)$ appartient à $\text{Ind } f$ alors $x_0 = -ax_2^2/x_1$. Calculons $f(-ax_2^2/x_1 : x_1 : x_2)$

$$\begin{aligned} f(-ax_2^2/x_1 : x_1 : x_2) &= (a^2x_2^4 + Ax_1^4 + Bx_1^2x_2^2 + Cx_1^3x_2 : 0 : -ax_2^3 + \alpha x_1^3 + \beta x_1x_2^2 + \gamma x_1^2x_2) \\ &= (P : 0 : Q). \end{aligned}$$

Comme f doit avoir trois points d'indétermination, les polynômes P et Q doivent s'annuler sur trois droites distinctes. En particulier Q divise P

$$a^2x_2^4 + Ax_1^4 + Bx_1^2x_2^2 + Cx_1^3x_2 = (Mx_1 + Nx_2)(-ax_2^3 + \alpha x_1^3 + \beta x_1x_2^2 + \gamma x_1^2x_2).$$

De sorte que

$$(1.6.1) \quad B = -\beta^2 - a\gamma, \quad C = -\beta\gamma - a\alpha, \quad A = -\alpha\beta.$$

Ces trois équations définissent un graphe lisse, passant par f et $x_0(x_0 : x_1 : x_2)$, de codimension 3 comme Σ^3 .

Si maintenant a est nul un point d'indétermination $(x_0 : x_1 : x_2)$ de f satisfait $x_0x_1 = 0$. Si $x_0 = 0$ on aura

$$f(0 : x_1 : x_2) = (Ax_1^2 + Bx_2^2 + Cx_1x_2 : 0 : \alpha x_1^2 + \beta x_0^2 + \gamma x_1x_2)$$

et si $x_1 = 0$ on a

$$f(x_0 : 0 : x_2) = (x_0^2 + Bx_2^2 : 0 : x_0x_2 + \beta x_2^2).$$

Pour que f ait un point d'indétermination de type $(x_0 : 0 : x_2)$ il faut que $B = -\beta^2$ et c'est en fait une équivalence. Si tel est le cas f ne possède qu'un point d'indétermination de ce type. Comme f doit avoir trois points d'indétermination, deux sont de type $(0 : x_1 : x_2)$ et les polynômes $Ax_1^2 + Bx_2^2 + Cx_1x_2$ et $\alpha x_1^2 + \beta x_2^2 + \gamma x_1x_2$ sont \mathbb{C} -colinéaires. On obtient les conditions

- $a = 0, B = -\beta^2, A = -\alpha\beta$ et $C = -\beta\gamma$ si β est non nul ;
- $a = B = \beta = A\gamma - \alpha C = 0$ sinon.

On remarque que dans ce second cas f ne peut avoir trois points d'indétermination. Finalement on constate que $\Sigma^3 \cap \{x_0(x_0 : x_1 : x_2) + S\}$ est contenu dans le graphe déterminé par les équations (1.6.1). Il en est de même de l'adhérence $\overline{\Sigma^3} \cap \{x_0(x_0 : x_1 : x_2) + S\}$ qui, pour des raisons de dimension, coïncide donc avec ce graphe. Par suite $\overline{\Sigma^3}$ est lisse le long de Σ^0 . \square

Remarque 1.31. — Comme nous l'avons dit le fait que $\overline{\Sigma^3}$ soit lisse le long de Σ^0 implique à cause, entre autres, des conditions d'incidence que $\overline{\Sigma^3}$ est lisse le long de Σ^2 et Σ^1 . Nous allons toutefois démontrer ces deux affirmations en construisant des familles linéaires de transformations birationnelles.

La déformation $\rho_\varepsilon := \rho + \varepsilon(0 : x_1^2 : 0)$ de ρ compte, pour ε non nul, trois points d'indétermination donc est dans Σ^3 . Par ailleurs $\frac{\partial \rho}{\partial \varepsilon} = (0 : x_1^2 : 0)$ n'appartient pas à $T_\rho \Sigma^2$. On retrouve ainsi la lissité de $\overline{\Sigma^3}$ en ρ et par suite le long de Σ^2 .

Montrons que $\overline{\Sigma^3}$ est lisse le long de Σ^1 .

Posons

$$\tilde{\tau} := (x_0 x_1 : x_1 x_2 + x_0^2 : x_1^2) = (-x_0 + x_1 : 2x_0 - x_1 + x_2 : x_0) \tau(-x_1 - x_0 - x_1 : -x_0 - 2x_1 + x_2).$$

L'espace tangent $T_{\tilde{\tau}} \Sigma^1$ à Σ^1 en $\tilde{\tau}$ est donné par

$$\{(\alpha_1 x_0^2 + \alpha_2 x_1^2 + \alpha_4 x_0 x_1 + \alpha_5 x_0 x_2 + \alpha_6 x_1 x_2 : \beta_1 x_0^2 + \beta_2 x_1^2 + \alpha_5 x_2^2 + \beta_4 x_0 x_1 + \beta_5 x_0 x_2 + \beta_6 x_1 x_2 : \gamma_1 x_0^2 + \gamma_2 x_1^2 + \gamma_4 x_0 x_1 + (\gamma_1 + 2\alpha_5) x_1 x_2) \mid \alpha_i, \beta_i, \gamma_i \in \mathbb{C}\}$$

Considérons le sous-espace vectoriel S de Rat_2 engendré par

$$(x_2^2 : 0 : 0), \quad (x_0 x_2 : 0 : 0), \quad (0 : 0 : x_2^2), \quad (0 : 0 : x_0 x_2), \quad (0 : 0 : x_0 x_1).$$

On constate que $\dim S = 5$ et $T_{\tilde{\tau}} \Sigma^1 \cap S = \{0\}$, i.e. S est un supplémentaire de $T_{\tilde{\tau}} \Sigma^1$ dans Rat_2 . Déterminons $\overline{\Sigma^3} \cap \{\tilde{\tau} + S\}$; soit

$$f = \tilde{\tau} + (\alpha x_2^2 + \beta x_0 x_2 : 0 : \gamma x_2^2 + \delta x_0 x_2 + \varepsilon x_0 x_1)$$

un élément de $\Sigma^3 \cap \{\tilde{\tau} + S\}$. On note que tout point de $\mathbb{P}^2(\mathbb{C})$ de la forme $(x_0 : x_1 : 0)$ ne peut être d'indétermination pour f ; ainsi un point de $\text{Ind } f$ est du type $(x_0 : -x_0^2/x_2 : x_2)$. Calculons $f(x_0 : -x_0^2/x_2 : x_2)$

$$f(x_0 : -x_0^2/x_2 : x_2) = (-x_0^3 x_2 + \alpha x_2^4 + \beta x_0 x_2^3 : 0 : \gamma x_2^4 + \delta x_0 x_2^3 - \varepsilon x_0^2 x_2^2 + x_0^4).$$

Comme f a trois points d'indétermination ; les polynômes

$$-x_0^3 x_2 + \alpha x_2^4 + \beta x_0 x_2^3 \quad \text{et} \quad \gamma x_2^4 + \delta x_0 x_2^3 - \varepsilon x_0^2 x_2^2 + x_0^4$$

s'annulent sur trois droites communes. Pour que ceci ait lieu il faut que $\gamma = 0$, $\delta = -\alpha$ et $\varepsilon = \beta$. Il en résulte que $\overline{\Sigma^3} \cap \{\tilde{\tau} + S\}$ est contenu dans le 2-plan \mathcal{P} défini par

$$\mathcal{P} = \{(x_0 x_1 + \alpha x_2^2 + \beta x_0 x_2 : x_0^2 + x_1 x_2 : -\alpha x_0 x_2 + \beta x_1 x_2 + x_1^2) \mid \alpha, \beta \in \mathbb{C}\}.$$

Puisque $\dim \Sigma^3 \cap \{\tilde{\tau} + S\} = 2$, on a $\overline{\Sigma^3} \cap \{\tilde{\tau} + S\} = \mathcal{P}$. Comme $\Sigma^1 = O_{g.d.}(\tilde{\tau})$ on vérifie de nouveau que $\overline{\Sigma^3}$ est lisse le long de Σ^1 .

Proposition 1.32. — *L'adhérence de Bir_2 dans $\mathbb{P}^{17}(\mathbb{C}) \simeq \text{Rat}_2$ n'est pas lisse.*

Démonstration. — Soit f la transformation rationnelle dégénérée définie par $x_2(x_0 : x_1 : 0)$. L'espace tangent à $O_{g.d.}(f)$ en f est donné par

$$T_f O_{g.d.}(f) = \{(\alpha_1 x_0^2 + \alpha_3 x_2^2 + \alpha_4 x_0 x_1 + \alpha_5 x_0 x_2 + \alpha_6 x_1 x_2 : \alpha_4 x_1^2 + \beta_3 x_2^2 + \alpha_1 x_0 x_1 + \beta_5 x_0 x_2 + \beta_6 x_1 x_2 : \gamma_5 x_0 x_2 + \gamma_6 x_1 x_2) \mid \alpha_i, \beta_i, \gamma_i \in \mathbb{C}\}.$$

Un supplémentaire S de $T_f O_{g.d.}(f)$ est l'espace de dimension 8 engendré par

$$(x_1^2 : 0 : 0), \quad (0 : x_0^2 : 0), \quad (0 : x_1^2 : 0), \quad (0 : x_0 x_1 : 0),$$

$$(0 : 0 : x_0^2), \quad (0 : 0 : x_1^2), \quad (0 : 0 : x_2^2), \quad (0 : 0 : x_0x_1).$$

Nous allons montrer que l'intersection de $\{f + S\}$ avec $\overline{\Sigma^3}$ contient un sous-ensemble analytique non lisse de codimension 3. Puisque $\overline{\Sigma^3}$ est aussi de codimension 3 on constatera, en utilisant l'action g.d., la non lissité de $\overline{\Sigma^3}$ le long de l'orbite de f . Pour cela nous donnons une condition suffisante pour qu'un élément de $\{f + S\}$ soit dans Σ^3 , *i.e.* ait trois points d'indétermination. Un élément Q de $\{f + S\}$ s'écrit

$$(x_0x_2 + ax_1^2 : x_1x_2 + bx_0^2 + cx_1^2 + dx_0x_1 : ex_0^2 + fx_1^2 + gx_2^2 + hx_0x_1).$$

Les points d'indétermination sont donnés par les trois équations suivantes

$$\begin{cases} x_0x_2 + ax_1^2 = 0 \\ x_1x_2 + bx_0^2 + cx_1^2 + dx_0x_1 = 0 \\ ex_0^2 + fx_1^2 + hx_0x_1 = 0 \end{cases}$$

ce qui conduit après élimination de x_2 à $P_1 = P_2 = 0$ où

$$P_1 = -ax_1^3 + bx_0^3 + cx_0x_1^2 + dx_0^2x_1, \quad P_2 = ex_0^4 + fx_0^2x_1^2 + a^2gx_1^4 + hx_0^3x_1.$$

Notons que si, pour certaines valeurs des paramètres, P_1 s'annule sur trois droites distinctes et divise P_2 , la transformation Q correspondante aura trois points d'indétermination et sera donc birationnelle, en fait dans Σ^3 . La divisibilité de P_2 par P_1 s'exprime par

$$(1.6.2) \quad P_2 = (Ax_0 + Bx_1)P_1 \Leftrightarrow \begin{cases} e = bA \\ f = cA + dB \\ a^2g = -aB \\ h = dA + bB \\ 0 = -aA + cB \end{cases}$$

On remarque que l'ensemble Λ des paramètres tels que

$$a = 0, \quad bf - ce = 0, \quad bh - de = 0$$

satisfait le système (1.6.2) (avec $A = e/b$ et $B = 0$). L'ensemble Λ est de codimension 3 et n'est pas lisse, l'intersection Λ' des quadriques $bf - ce = 0$ et $bh - de = 0$ ne l'étant pas. On constate en effet que Λ' contient l'espace linéaire E donné par $b = e = 0$ mais ne se réduit pas à E : par exemple l'espace défini par $b = c = d = e = f = h$ est contenu dans Λ' et pas dans E . Comme $\text{codim } E = \text{codim } \Lambda'$ l'ensemble Λ' n'est pas irréductible et par suite n'est pas lisse ; il en est donc de même pour Λ . Maintenant si $a = b = e = 0$ (resp. $b = c = d = e = f = h = 1, a = 0$) le polynôme P_1 vaut $cx_0x_1^2 + dx_0^2x_1$ (resp. $x_0^3 + x_0x_1^2 + x_0^2x_1$) et s'annule génériquement sur trois droites distinctes. Ainsi on a construit dans $\overline{\Sigma^3} \cap \{f + S\}$ un ensemble analytique non lisse de codimension 3. \square

CHAPITRE 2

GERMES DE FLOTS BIRATIONNELS QUADRATIQUES

2.1. Généralités sur les germes de flots birationnels quadratiques

2.1.1. Quelques rappels utiles. —

2.1.1.1. *Nœud col.* —

Soit \mathcal{F} un germe de feuilletage holomorphe singulier à l'origine de \mathbb{C}^2 donné par un germe de champ holomorphe $X = A \frac{\partial}{\partial x_0} + B \frac{\partial}{\partial x_1}$ à singularité isolée en l'origine, $A(0) = B(0) = 0$. On note $JX(0)$ la matrice jacobienne de X en 0

$$JX(0) = \begin{bmatrix} \frac{\partial A}{\partial x_0}(0) & \frac{\partial A}{\partial x_1}(0) \\ \frac{\partial B}{\partial x_0}(0) & \frac{\partial B}{\partial x_1}(0) \end{bmatrix}.$$

On dit que le point singulier est de type *nœud col* si l'une des valeurs propres de $JX(0)$ est nulle et l'autre non. La théorie des formes normales ([Mar81]) dit que le champ X est alors formellement conjugué à un champ rationnel du type

$$Y = \eta x_0 \frac{\partial}{\partial x_0} + \frac{x_1^{k+1}}{1 - \varepsilon x_1^k} \frac{\partial}{\partial x_1}, \quad k \geq 1, \varepsilon \in \mathbb{C}, \eta \in \mathbb{C}^*.$$

Un calcul élémentaire montre que Y ne peut posséder d'intégrale première (formelle) méromorphe ; en particulier il en est de même pour X .

Nous utiliserons ce fait sous la forme suivante : *un feuilletage algébrique \mathcal{F} de $\mathbb{P}^2(\mathbb{C})$ possédant un point singulier de type nœud col n'a pas d'intégrale première rationnelle non constante.*

2.1.1.2. *Travaux de CANTAT et FAVRE.* —

Dans [CF03] CANTAT et FAVRE étudient les paires (f, \mathcal{F}) où f est un élément de $\text{Bir}(\mathbb{P}^2(\mathbb{C}))$ et \mathcal{F} un feuilletage algébrique sur $\mathbb{P}^2(\mathbb{C})$ laissé invariant par f , i.e. $f^* \mathcal{F} = \mathcal{F}$. Ils mentionnent l'exemple suivant

Exemple. — Considérons dans la carte affine $x_2 = 1$ la transformation f définie par

$$f(x_0, x_1) = (x_0^a x_1^b, x_0^c x_1^d), \quad \begin{bmatrix} a & b \\ c & d \end{bmatrix} \in \mathrm{GL}_2(\mathbb{Z})$$

et \mathcal{F} est associé à l'une des 1-formes $\alpha x_1 dx_0 + \beta x_0 dx_1$ où (α, β) est un vecteur propre de la matrice $\begin{bmatrix} a & b \\ c & d \end{bmatrix}$.

Soient \mathcal{F} un feuilletage sur $\mathbb{P}^2(\mathbb{C})$ et $\pi : S \dashrightarrow \mathbb{P}^2(\mathbb{C})$ un **modèle birationnel** de $\mathbb{P}^2(\mathbb{C})$ (*i.e.* S est une surface et π un morphisme birationnel). On dit alors que $\pi^* \mathcal{F}$, noté encore \mathcal{F} par abus de langage, est un modèle birationnel de \mathcal{F} ; dans cette situation on introduit les groupes

$$\mathrm{Aut}(S, \mathcal{F}) = \{f \in \mathrm{Aut}(S) \mid f^* \pi^* \mathcal{F} = \pi^* \mathcal{F}\} \quad \text{et} \quad \mathrm{Bir}(S, \mathcal{F}) = \{f \in \mathrm{Bir}(S) \mid f^* \pi^* \mathcal{F} = \pi^* \mathcal{F}\}.$$

CANTAT et FAVRE démontrent alors le :

Théorème 2.1 ([CF03], **Théorème 1.2**). — *Soit \mathcal{F} un feuilletage sur $\mathbb{P}^2(\mathbb{C})$ tel que l'inclusion $\mathrm{Aut}(S, \mathcal{F}) \subset \mathrm{Bir}(S, \mathcal{F})$ soit stricte pour tout modèle birationnel de \mathcal{F} . Alors $\mathrm{Bir}(S, \mathcal{F})$ possède un élément birationnel d'ordre infini et*

- soit \mathcal{F} est une fibration rationnelle ;
- soit \mathcal{F} est birationnellement conjugué à l'exemple 2.1.1.2 ou bien à l'un de ses quotients.

Dit autrement si \mathcal{F} désigne un feuilletage sur $\mathbb{P}^2(\mathbb{C})$ non birationnellement conjugué à l'un des exemples précédents alors ou bien \mathcal{F} est une fibration rationnelle, ou bien il y a un modèle birationnel de \mathcal{F} pour lequel $\mathrm{Aut}(S, \mathcal{F}) = \mathrm{Bir}(S, \mathcal{F})$.

2.1.2. Propriétés des germes de flots dans Bir_2 . —

On appelle **germe de flot** dans Bir_2 un germe d'application holomorphe $t \mapsto \phi_t \in \mathrm{Bir}_2$ satisfaisant

$$\phi_{t+s}^\bullet = \phi_t^\bullet \phi_s^\bullet, \quad \phi_0^\bullet = \mathrm{id}.$$

Pour abrégé nous parlerons de flot, ceci sera justifié par la classification qui montrera qu'un germe de flot se globalise en un certain sens. Comme toujours lorsqu'il n'y aura pas d'ambiguïté nous identifierons les notations ϕ_t et ϕ_t^\bullet .

L'ensemble des droites contractées par le germe de flot ϕ_t forme un germe d'ensemble analytique dans la Grassmannienne des droites de $\mathbb{P}^2(\mathbb{C})$, *i.e.* dans l'espace dual $\check{\mathbb{P}}^2(\mathbb{C})$. De même l'ensemble des points d'indétermination des ϕ_t^\bullet constitue un germe d'ensemble analytique cette fois dans \mathbb{C} . Appelons **famille de droites contractées** une application continue (en fait analytique) définie sur un germe de secteur fermé Δ de sommet 0 dans \mathbb{C} ,

$$\mathcal{D} : \Delta \rightarrow \check{\mathbb{P}}^2(\mathbb{C}),$$

telle que pour chaque t dans Δ la droite \mathcal{D}_t coïncide avec une droite $\mathcal{D}(t)$ contractée par ϕ_t^\bullet . Cette définition est rendue pertinente par le théorème de PUISEUX. De même par **famille de**

points d'indétermination on entendra une application $t \mapsto m_t$ continue définie sur un secteur Δ , chaque m_t étant d'indétermination pour ϕ_t^\bullet .

Définition. — Soient ϕ_t un flot et \mathcal{D}_t une famille de droites contractées par ϕ_t . Si \mathcal{D}_t est indépendante de t , la famille est dite **immobile**, sinon elle est dite **mobile**.

On a une notion analogue pour les familles de points d'indétermination.

Définition. — Soit χ un champ de vecteurs rationnel sur $\mathbb{P}^2(\mathbb{C})$; on dira que χ est **rationnellement intégrable** si son flot ϕ_t est un flot de transformations birationnelles.

Un germe de flot ϕ_t dans Bir_2 est le flot d'un champ rationnellement intégrable $\chi = \frac{\partial \phi_t^\bullet}{\partial t} \Big|_{t=0}$ appelé **générateur infinitésimal** de ϕ_t .

Proposition 2.2. — Soit ϕ_t un germe de flot dans Bir_2 . Supposons que ϕ_t contracte une droite mobile ; alors ϕ_t laisse une fibration en droites invariante.

Démonstration. — Notons \mathcal{D}_t la droite contractée par ϕ_t et m_t son image, $\phi_t(\mathcal{D}_t) = m_t$.

– Commençons par montrer que ou bien m_t est immobile, ou bien ϕ_t laisse une fibration invariante fibre à fibre. Écrivons que ϕ_t et ϕ_s commutent

$$\phi_t^\bullet(\phi_s^\bullet(\mathcal{D}_t)) = \phi_s^\bullet(\phi_t^\bullet(\mathcal{D}_t)) = \phi_s^\bullet(m_t).$$

Comme ϕ_s^\bullet contracte un nombre fini de courbes, généralement sur t , à s fixé, $\phi_s^\bullet(\mathcal{D}_t)$ est une courbe. Si cette courbe est contractée par ϕ_t^\bullet on aura $\phi_s^\bullet(\mathcal{D}_t) = \mathcal{D}_t$ (toujours parce que $\text{Exc } \phi_t^\bullet$ est fini et $\phi_0^\bullet = \text{id}$). Ainsi tous les ϕ_s^\bullet laissent \mathcal{D}_t invariante ; \mathcal{D}_t étant mobile, ϕ_s^\bullet laisse une fibration en droites (dont font partie les \mathcal{D}_t) invariante fibre à fibre comme nous le préciserons dans le point qui suit.

Si \mathcal{D}_t n'est pas invariante par ϕ_s^\bullet , alors $\phi_s^\bullet(\mathcal{D}_t)$ n'est pas contractée par ϕ_t^\bullet (toujours parce que $\text{Exc } \phi_t^\bullet$ est fini). Il en résulte que m_t appartient à $\text{Ind } \phi_s^\bullet$; la transformation ϕ_s^\bullet ayant un nombre fini de points d'indétermination m_t est immobile.

– Montrons que si m_t est immobile ϕ_t^\bullet préserve une fibration en droites ; m_t étant immobile, nous le noterons m . Puisque ϕ_s^\bullet et ϕ_t^\bullet commutent on a

$$\phi_s^\bullet(\mathcal{D}_t) = \phi_s^\bullet(\phi_{-t}^\bullet(m)) = \phi_{-t}^\bullet(\phi_s^\bullet(m)) = \phi_{-t}^\bullet(\mathcal{D}_s)$$

que l'on peut réécrire sous la forme $\phi_{t+s}^\bullet(\mathcal{D}_t) = \mathcal{D}_s$. Par suite chaque ϕ_t^\bullet préserve la famille infinie de droites $\mathcal{D} = (\mathcal{D}_s)$.

– Supposons que ϕ_t appartienne à Σ^1 pour t générique ; alors ϕ_t s'écrit $A\tau B$ où A, B désignent des éléments de $\text{PGL}_3(\mathbb{C})$ (dépendants de t). Un calcul direct montre qu'un ensemble de droites dont l'image par τ est encore un ensemble de droites fait partie du pinceau de droites passant par $(0 : 0 : 1)$. Il en résulte que \mathcal{D} est contenue dans ce pinceau de droites qui est donc invariant par le flot.

- Si ϕ_t est dans Σ^2 , alors, pour t générique, ϕ_t est de la forme $A\rho B$ avec A, B deux automorphismes de $\mathbb{P}^2(\mathbb{C})$. Comme précédemment on constate qu'un ensemble de droites dont l'image par ρ est encore un ensemble de droites est inclus dans les deux pinceaux aux points d'indétermination $(1 : 0 : 0)$ et $(0 : 1 : 0)$ de ρ . Ici encore \mathcal{D} est contenue dans un pinceau de droites invariant par le flot.
- Lorsque ϕ_t admet trois points d'indétermination, il est du type $A\sigma B$. Les droites dont l'image par l'involution de CREMONA sont encore des droites font partie des trois pinceaux de droites passant par les points $(1 : 0 : 0)$, $(0 : 1 : 0)$ et $(0 : 0 : 1)$. Il s'en suit que \mathcal{D} est contenue dans l'union de ces trois pinceaux de droites. Le flot ϕ_t laisse donc ici encore un pinceau de droites invariant. □

Exemple. — Soit f un élément du groupe abélien

$$G = \{(x_0(x_2 + \beta x_1) : x_1(x_2 + \alpha x_0) : (x_2 + \beta x_1)(x_2 + \alpha x_0)) \mid \alpha, \beta \in \mathbb{C}\};$$

on a $\text{Exc } f = \{x_2 = 0, x_2 + \beta x_1 = 0, x_2 + \alpha x_0 = 0\}$. La droite mobile d'équation $x_2 + \beta x_1 = 0$ (resp. $x_2 + \alpha x_0 = 0$) est contractée sur le point immobile $(0 : 1 : 0)$ (resp. $(0 : 0 : 1)$). Dans la carte affine $x_1 = 1$, un élément f de G est du type

$$\left(\frac{x_0(x_2 + \beta)}{x_2 + \alpha x_0}, x_2 + \beta \right);$$

le groupe G laisse donc la fibration $x_2 = \text{cte}$ invariante.

Dans le groupe G ci-dessus il y a beaucoup de flots par exemple

$$\phi_t = (x_0(x_2 + tx_1) : x_1(x_2 + tx_0) : (x_2 + tx_1)(x_2 + tx_0)).$$

Ce flot ϕ_t contracte les deux familles mobiles $x_2 + tx_0 = 0$ et $x_2 + tx_1 = 0$. Il laisse ainsi les deux fibrations x_2/x_0 et x_2/x_1 invariantes avec permutation des fibres.

Lemme 2.3. — Soit ϕ_t un germe de flot dans Bir_2 . Un point mobile éclaté par ϕ_t l'est sur une droite immobile.

Démonstration. — Notons m_t le point mobile éclaté par ϕ_t^\bullet et \mathcal{D}_t la droite sur laquelle il est éclaté. Écrivons la commutation de ϕ_t^\bullet et ϕ_s^\bullet

$$\phi_t^\bullet(\phi_s^\bullet(m_t)) = \phi_s^\bullet(\phi_t^\bullet(m_t)) = \phi_s^\bullet(\mathcal{D}_t).$$

Puisque $\text{Ind } \phi_s^\bullet$ est fini et m_t mobile, l'image de m_t par ϕ_s^\bullet est un point p_s pour s, t génériques. Si \mathcal{D}_t est mobile, $\phi_s^\bullet(\mathcal{D}_t)$ est en général une courbe (car $\text{Exc } \phi_s^\bullet$ est fini); alors l'égalité

$$\phi_t^\bullet(p_s) = \phi_s^\bullet(\mathcal{D}_t)$$

assure que p_s est un point d'indétermination de ϕ_t^\bullet ce qui contredit le fait que ϕ_t^\bullet ne compte qu'un nombre fini de points d'indétermination. □

Exemple. — Soit G le sous-groupe abélien de $\text{Bir}(\mathbb{P}^2(\mathbb{C}))$ défini par

$$G = \{((x_0 + \alpha x_2)^2 : x_0 x_1 + \beta x_2^2 : x_2(x_0 + \alpha x_2)) \mid \alpha, \beta \in \mathbb{C}\}.$$

Chaque transformation $((x_0 + \alpha x_2)^2 : x_0 x_1 + \beta x_2^2 : x_2(x_0 + \alpha x_2))$ contracte le point $(-\alpha^2 : \beta : \alpha)$ qui est donc mobile sur la droite d'équation $x_0 = 0$ qui est fixe.

Lemme 2.4. — Soit ϕ_t un germe de flot dans Bir_2 . Il y a au plus une droite immobile contractée par ϕ_t .

Démonstration. — Écrivons ϕ_t sous la forme $(Q_{1,t} : Q_{2,t} : Q_{3,t})$ où les $Q_{i,t}$ sont des formes quadratiques dépendant analytiquement de t . Comme $\phi_0^\bullet = \text{id}$, les $Q_{i,0}$ sont divisibles par une même forme linéaire que l'on peut supposer être x_2 , i.e. on peut supposer que ϕ_t est du type

$$(x_0 x_2 + tA_1(x_0, x_1, x_2, t) : x_1 x_2 + tA_2(x_0, x_1, x_2, t) : x_2^2 + tA_3(x_0, x_1, x_2, t)).$$

On constate en coordonnées homogènes que lorsque $t = 0$, l'unique droite contractée est $x_2 = 0$. Il suffit, pour terminer, de remarquer que si une droite \mathcal{D} est contractée pour une infinité de t elle l'est par tous les ϕ_t^\bullet . \square

Remarques 2.5. —

- On peut avoir cohabitation entre droites mobiles et droites immobiles contractées. Considérons le flot

$$\phi_t = (x_0 x_2 : x_1(tx_0 + x_2) : x_2(tx_0 + x_2));$$

on constate que ϕ_t^\bullet contracte les droites $x_2 = 0$ (immobile) et $tx_0 + x_2 = 0$ (mobile), ces dernières sur le point $(1 : 0 : 0)$.

- On pourrait penser que le Lemme 2.4 se généralise en degré quelconque, à savoir qu'un flot birationnel a au plus une courbe rationnelle immobile contractée. Il n'en est rien comme le montre l'exemple qui suit. Soit e^{tA} un flot linéaire générique ; alors $\sigma e^{tA} \sigma$ est un flot de transformations de degré 4 ayant trois droites fixes et trois coniques mobiles contractées.

Définition. — Soit ϕ_t un flot de Bir_2 ; nous dirons que ϕ_t est un **flot polynomial** s'il existe une carte affine \mathbb{C}^2 invariante telle que $\phi_{t|\mathbb{C}^2}^\bullet : \mathbb{C}^2 \rightarrow \mathbb{C}^2$ soit polynomial pour chaque t .

Proposition 2.6. — Soit ϕ_t un germe de flot dans Bir_2 . Si ϕ_t contracte une unique droite qui de plus est immobile, ϕ_t est un germe de flot polynomial.

Démonstration. — S'il s'agit d'un flot linéaire il n'y a rien à faire. On peut supposer à conjugaison près que l'unique droite contractée par ϕ_t est la droite d'équation $x_0 = 0$. Pour chaque t tel que ϕ_t^\bullet soit vraiment quadratique ϕ_t^\bullet est g.d. conjugué à τ , i.e. pour ces t le flot ϕ_t s'écrit

$$A_t(x_0^2 : x_0 x_1 : x_1^2 - x_0 x_2)B_t$$

où A_t, B_t désignent des éléments de $\text{PGL}_3(\mathbb{C})$ tels que B_t préserve la droite d'équation $x_0 = 0$. Par suite l'unique point d'indétermination de

$$\phi_t = A_t(x_0^2 : x_0 x_1 : x_1^2 - x_0 x_2)B_t$$

est situé sur la droite d'équation $x_0 = 0$. Ainsi les points d'indétermination et les courbes contractées sont à l'infini dans la carte $x_0 = 1$ pour presque tout t donc pour tout t , ce qui signifie que ϕ_t^\bullet y est polynomial. \square

Le groupe $\text{Aut}[\mathbb{C}^2]$ des automorphismes polynomiaux de \mathbb{C}^2 contient le groupe, dit **groupe affine**,

$$A = \{(x_0, x_1) \mapsto (a_1x_0 + b_1x_1 + c_1, a_2x_0 + b_2x_1 + c_2) \mid a_i, b_i, c_i \in \mathbb{C}, a_1b_2 - a_2b_1 \neq 0\}$$

des automorphismes affines et le groupe des automorphismes préservant la fibration $x_1 = \text{cte}$, encore appelé **groupe élémentaire**

$$E = \{(x_0, x_1) \mapsto (\alpha x_0 + P(x_1), \beta x_1 + \gamma) \mid \alpha, \beta \in \mathbb{C}^*, \gamma \in \mathbb{C}, P \in \mathbb{C}[x_1]\}.$$

Plus précisément JUNG a montré que $\text{Aut}[\mathbb{C}^2]$ est le produit amalgamé de E et A le long de leur intersection ([Jun42, Lam02]). Le groupe des automorphismes polynomiaux a fait l'objet de nombreuses études. En particulier FRIEDLAND et MILNOR (voir [FM89]) ont montré qu'un élément f de $\text{Aut}[\mathbb{C}^2]$ est ou bien conjugué à un automorphisme élémentaire, ou bien conjugué à un automorphisme s'écrivant comme composée d'un nombre fini de transformations de HÉNON ; dans ce dernier cas on dit que f est **de type HÉNON**.

La classification des groupes abéliens de transformations polynomiales a été établie par MOLDAVANDSKI ([Mol67, Wri79]). À conjugaison près dans le groupe des automorphismes polynomiaux, un tel groupe H vérifie l'une des assertions suivantes

- H est contenu dans le groupe élémentaire E ou le groupe affine A;
- $H = \cup_i H_i$ où les H_i , $i \in \mathbb{N}$, satisfont $H_i \subset H_{i+1}$ et sont individuellement conjugués à des sous-groupes finis de $A \cap E$;
- $G = F \times \langle f \rangle$ où f désigne un automorphisme de type HÉNON et F un sous-groupe fini de l'intersection $A \cap E$.

Parmi les trois types ci-dessus seul le premier est susceptible de contenir un groupe à un paramètre, les deux derniers étant dénombrables.

Nous allons utiliser le résultat suivant qui fait partie du folklore.

Lemme 2.7. — Soit f un automorphisme polynomial de degré 2 de \mathbb{C}^2 qui ne soit pas affine. Alors, à conjugaison affine près,

$$f = (\alpha x_0 + P(x_1), \alpha x_1 + b) \quad \text{ou} \quad f = (x_1, P(x_1) - \delta x_0);$$

dit autrement, f est, à conjugaison affine près, un automorphisme élémentaire ou une transformation de HÉNON.

Démonstration. — Posons $f := (P, Q)$ où P et Q désignent des polynômes de degré inférieur ou égal à 2. Écrivons P (resp. Q) sous la forme $P_0 + P_1 + P_2$ (resp. $Q_0 + Q_1 + Q_2$) avec P_0, Q_0 constant et $\deg P_i = \deg Q_i = i$ pour $i \neq 0$.

Puisque le déterminant jacobien de f est constant, i.e. $dP \wedge dQ = \text{cte}$, la quantité $dP_2 \wedge dQ_2$ est nulle. Il en résulte que $P_2 = \varepsilon_1 q$ et $Q_2 = \varepsilon_2 q$ où les ε_i désignent des complexes et q une forme quadratique ; notons que les ε_i sont non tous nuls sinon f serait affine. L'égalité $dP \wedge dQ = \text{cte}$

implique alors que $(\varepsilon_2 dP_1 - \varepsilon_1 dQ_1) \wedge dq = 0$; la forme quadratique q et la forme linéaire non triviale $\varepsilon_2 P_1 - \varepsilon_1 Q_1$ ont donc les mêmes niveaux. Par suite

$$q = \varepsilon(\varepsilon_2 P_1 - \varepsilon_1 Q_1)^2, \quad \varepsilon \in \mathbb{C}^*.$$

On peut supposer que l'automorphisme f est de la forme

$$(P_0 + P_1 + \varepsilon_1 x_1^2, Q_0 + Q_1 + \varepsilon_2 x_1^2).$$

Si ε_2 est nul, le déterminant jacobien de f étant constant, Q_1 ne dépend que de x_1 et f est élémentaire. Si ε_2 est non nul, alors, à conjugaison linéaire près par $(x_0 + \varepsilon_1 x_1 / \varepsilon_2, x_1)$, l'automorphisme f s'écrit $(\tilde{P}_0 + \tilde{P}_1, \tilde{Q}_0 + \tilde{Q}_1 + \varepsilon_2 x_1^2)$. Puisque le déterminant jacobien de f est constant, on obtient que $\tilde{P}_1 = \tilde{P}(x_1)$; à conjugaison linéaire près f est alors un automorphisme de HÉNON. \square

Soit ϕ_t un germe de flot polynomial quadratique non affine. On choisit une valeur du paramètre t_0 telle que $\phi_{t_0}^\bullet = f$ soit purement quadratique. Puisque le centralisateur d'un automorphisme de type HÉNON dans $\text{Aut}[\mathbb{C}^2]$ est dénombrable ([Lam01]), le Lemme 2.7 assure qu'à conjugaison affine près f s'écrit de la façon suivante

$$f = (\alpha x_0 + \beta + x_1^2, ax_1 + b), \quad \alpha a \neq 0.$$

Lemme 2.8. — *Soit g un automorphisme quadratique commutant à l'automorphisme polynomial*

$$f = (\alpha x_0 + \beta + x_1^2, ax_1 + b), \quad \alpha a \neq 0.$$

Alors g préserve la fibration $x_1 = \text{cte}$.

Démonstration. — Posons $g = (g_1, g_2)$. La commutation de g à f nous assure en particulier que

$$(2.1.1) \quad g_2 \circ f = ag_2 + b$$

Écrivons g_2 sous la forme $p_0 + p_1 x_0 + p_2 x_1 + p_3 x_0^2 + p_4 x_0 x_1 + p_5 x_1^2$. En développant (2.1.1) on obtient les égalités suivantes

$$p_3 = p_4 = (\alpha - a)p_1 = bp_5 = p_1 + a(a - 1)p_5 = 0.$$

Comme $p_3 = p_4 = 0$, la fibration $x_1 = \text{cte}$ est invariante par g si $p_1 = 0$; c'est le cas si $\alpha \neq a$. Supposons $p_1 \neq 0$ alors $\alpha = a$ et $a(a - 1)p_5 \neq 0$; en particulier $a \neq 1$ et $b = 0$. Par suite f s'écrit

$$(ax_0 + \beta + x_1^2, ax_1).$$

Comme a est distinct de 1, la transformation f est affinement conjuguée à $\tilde{f} = (ax_0 + x_1^2, ax_1)$. Un calcul direct montre que si g commute à \tilde{f} , alors g est du type suivant

$$((\mu^2 + a(1 - a)a_2)x_0 + a_1 x_1 + a_2 x_1^2, \mu x_1)$$

et en particulier préserve la fibration $x_1 = \text{cte}$. \square

Proposition 2.9. — Soit ϕ_t un germe de flot polynomial quadratique. Alors ϕ_t laisse un pinceau de droites invariant. Le flot ϕ_t est affine ou, à conjugaison linéaire près, de l'une des formes suivantes

$$\begin{aligned} & (x_0 + t(\alpha + x_1^2), x_1); \\ & \left(\left(x_0 + \frac{x_1^2}{\alpha} \right) e^{\alpha t} - \frac{x_1^2}{\alpha}, x_1 \right), \alpha \neq 0; \\ & \left(x_0 + t(p_0 + p_1 x_1 + x_1^2) + t^2 \left(\frac{p_1}{2} + x_1 \right) + \frac{t^3}{3}, x_1 + t \right); \\ & \left(\left(x_0 + \frac{2}{\alpha^3} + \frac{2x_1}{\alpha^2} + \frac{x_1^2}{\alpha} \right) e^{\alpha t} - \left(\frac{2}{\alpha^3} + \frac{2x_1}{\alpha^2} + \frac{x_1^2}{\alpha} \right) - \left(\frac{2}{\alpha^2} + \frac{2x_1}{\alpha} \right) t - \frac{t^2}{\alpha}, x_1 + t \right), \alpha \neq 0; \\ & \left(x_0 + \varepsilon t + \frac{x_1^2}{2\mu} (e^{2\mu t} - 1), x_1 e^{\mu t} \right), \varepsilon \in \{0, 1\}, \mu \neq 0; \\ & \left(x_0 e^{\alpha t} + \frac{x_1^2}{2\mu - \alpha} (e^{2\mu t} - e^{\alpha t}), x_1 e^{\mu t} \right), \alpha \neq 2\mu; \\ & \left(x_0 e^{\alpha t} + \varepsilon x_1 t e^{\alpha t} + \frac{x_1^2}{\alpha} (e^{2\alpha t} - e^{\alpha t}), x_1 e^{\alpha t} \right), \alpha \neq 0; \\ & \left(x_0 e^{\alpha t} + x_1^2 t e^{\alpha t}, x_1 e^{\alpha t/2} \right). \end{aligned}$$

Démonstration. — On suppose ϕ_t non affine. Puisque le centralisateur dans $\text{Aut}[\mathbb{C}^2]$ d'un automorphisme de HÉNON est dénombrable ([**Lam01**]), ϕ_t est, d'après les Lemmes 2.7 et 2.8, à conjugaison affine près, de la forme suivante

$$\phi_t = (\alpha(t)x_0 + P(x_1, t), \mu(t)x_1 + b(t))$$

où α , μ et b sont holomorphes en t et $P(x_1, t)$ est un polynôme du second degré en x_1 à paramètre t . Le générateur infinitésimal $\chi = \frac{\partial \phi_t}{\partial t} \Big|_{t=0}$ est donc de la forme

$$\chi = (\alpha x_0 + p_0 + p_1 x_1 + p_2 x_1^2) \frac{\partial}{\partial x_0} + (\mu x_1 + b) \frac{\partial}{\partial x_1}.$$

Comme on peut exclure le cas où ϕ_t est affine pour tout t , on suppose $p_2 \neq 0$ et par homothétie on se ramène à $p_2 = 1$. Nous allons à conjugaison affine près donner des formes normales des champs χ ci-dessus suivant les valeurs des paramètres α , μ , ... À transformation affine près en x_1 on peut supposer que la seconde composante de χ est de l'un des trois types 0, $\frac{\partial}{\partial x_1}$, $\mu x_1 \frac{\partial}{\partial x_1}$.

– Supposons que $\chi = (\alpha x_0 + p_0 + p_1 x_1 + x_1^2) \frac{\partial}{\partial x_0}$; si α est nul ϕ_t est donné, à conjugaison près par un élément du type $(x_0, x_1 + \varepsilon)$, par

$$\phi_t = (x_0 + t(\beta + x_1^2), x_1).$$

Si α est non nul, on se ramène, à conjugaison près par des transformations du type $(x_0 + a + bx_1, x_1)$, à $p_0 = p_1 = 0$. Dans ce cas le flot s'écrit

$$\phi_t = \left(\left(x_0 + \frac{x_1^2}{\alpha} \right) e^{\alpha t} - \frac{x_1^2}{\alpha}, x_1 \right).$$

– Supposons que χ soit du type $(\alpha x_0 + p_0 + p_1 x_1 + x_1^2) \frac{\partial}{\partial x} + \frac{\partial}{\partial x_1}$; comme précédemment on distingue les cas α nul et α non nul. Si $\alpha = 0$, alors

$$\phi_t = \left(x_0 + t(p_0 + p_1 x_1 + x_1^2) + t^2 \left(\frac{p_1}{2} + x_1 \right) + \frac{t^3}{3}, x_1 + t \right).$$

Lorsque $\alpha \neq 0$ on peut de façon analogue au cas précédent supposer $p_0 = p_1 = 0$, ce qui conduit à intégrer $(\alpha x_0 + x_1^2) \frac{\partial}{\partial x_0} + \frac{\partial}{\partial x_1}$; on obtient

$$\phi_t = \left(\left(x_0 + \frac{2}{\alpha^3} + \frac{2x_1}{\alpha^2} + \frac{x_1^2}{\alpha} \right) e^{\alpha t} - \left(\frac{2}{\alpha^3} + \frac{2x_1}{\alpha^2} + \frac{x_1^2}{\alpha} \right) - \left(\frac{2}{\alpha^2} + \frac{2x_1}{\alpha} \right) t - \frac{t^2}{\alpha}, x_1 + t \right).$$

– On considère le cas où

$$\chi = (\alpha x_0 + p_0 + p_1 x_1 + x_1^2) \frac{\partial}{\partial x_0} + \mu x_1 \frac{\partial}{\partial x_1}, \quad \mu \neq 0.$$

Si $\alpha = 0$ le champ χ est linéairement conjugué à $(\varepsilon + x_1^2) \frac{\partial}{\partial x_0} + \mu x_1 \frac{\partial}{\partial x_1}$; le flot d'un tel champ est de la forme

$$\phi_t = \left(x_0 + \varepsilon t + \frac{x_1^2}{2\mu} (e^{2\mu t} - 1), x_1 e^{\mu t} \right).$$

Lorsque α est non nul et distinct de μ et 2μ , alors à conjugaison linéaire près χ s'écrit $(\alpha x_0 + x_1^2) \frac{\partial}{\partial x_0} + \mu x_1 \frac{\partial}{\partial x_1}$ et son flot est

$$\phi_t = \left(x_0 e^{\alpha t} + \frac{x_1^2}{2\mu - \alpha} (e^{2\mu t} - e^{\alpha t}), x_1 e^{\mu t} \right).$$

Pour $\alpha = \mu$ on constate que χ est linéairement conjugué à $(\alpha x_0 + \varepsilon x_1 + x_1^2) \frac{\partial}{\partial x_0} + \alpha x_1 \frac{\partial}{\partial x_1}$ avec ε dans $\{0, 1\}$ qui conduit à

$$\phi_t = \left(x_0 e^{\alpha t} + \varepsilon x_1 t e^{\alpha t} + \frac{x_1^2}{\alpha} (e^{2\alpha t} - e^{\alpha t}), x_1 e^{\alpha t} \right).$$

Enfin pour $\alpha = 2\mu$ il vient à conjugaison linéaire près

$$\phi_t = \left(x_0 e^{\alpha t} + x_1^2 t e^{\alpha t}, x_1 e^{\alpha t/2} \right).$$

□

D'après les énoncés 2.2, 2.4, 2.6 et 2.9 on a le :

Théorème 2.10. — *Un germe de flot dans Bir_2 préserve une fibration en droites.*

Définition. — Soit ϕ_t un flot birationnel quadratique de générateur infinitésimal χ . Une *symétrie forte* Y de χ est un champ de vecteurs rationnellement intégrable de flot ψ_s tel que

- ϕ_t^\bullet et ψ_s^\bullet commutent, i.e. $[\chi, Y] = 0$;
- ψ_s appartient à Bir_2 pour tout s ;
- χ et Y ne sont pas \mathbb{C} -colinéaires.

Soient ϕ_t un flot dans Bir_2 et χ (resp. \mathcal{F}_χ) le champ (resp. feuilletage) associé. On note $\langle \phi_t^\bullet \rangle \subset \text{Bir}_2^\bullet$ le groupe engendré par les ϕ_t^\bullet et $\overline{\langle \phi_t^\bullet \rangle}^Z$ son adhérence de ZARISKI dans Bir_2 . Enfin $G(\chi)$ désigne le groupe abélien algébrique maximal contenu dans Bir_2^\bullet et contenant $\overline{\langle \phi_t^\bullet \rangle}^Z$. Avec les notations précédentes on a le

Théorème 2.11. — Soit ϕ_t un germe de flot dans Bir_2 de générateur infinitésimal χ . On a les assertions suivantes

- i.* Si $G(\chi)$ est de dimension 1, alors \mathcal{F}_χ est une fibration rationnelle.
- ii.* Si $\dim G(\chi) \geq 2$, alors χ possède une symétrie forte.

Dans les deux cas \mathcal{F}_χ est défini par une forme fermée rationnelle.

Démonstration. — *i.* Si $\dim G(\chi) = 1$, alors $\overline{\langle \phi_t^\bullet \rangle}^Z$ est la composante neutre de $G(\chi)$. Ce groupe en tant que groupe de LIE est isomorphe à \mathbb{C} , ou à \mathbb{C}^* ou encore à un tore \mathbb{C}/Λ . D'après le Théorème 2.10 le groupe $\overline{\langle \phi_t^\bullet \rangle}^Z$ préserve une fibration en droites, disons $x_1 = \text{cte}$. Ceci induit un morphisme

$$\pi : \overline{\langle \phi_t^\bullet \rangle}^Z \rightarrow \text{PGL}_2(\mathbb{C})$$

décrivant en particulier l'action de ϕ_t sur les fibres. Si ϕ_t préserve la fibration $x_1 = \text{cte}$ fibre à fibre (i.e. π est triviale), alors $\mathcal{F}_\chi = \{x_1 = \text{cte}\}$ et la conclusion est évidente. Sinon $\overline{\langle \phi_t^\bullet \rangle}^Z$ ne peut être un tore car il n'y a pas de tore complexe dans les sous-groupes de $\text{PGL}_2(\mathbb{C})$; par suite l'adhérence (topologique) de $\overline{\langle \phi_t^\bullet \rangle}^Z$ dans $\mathbb{P}^{17}(\mathbb{C}) \simeq \text{Rat}_2$ est une courbe rationnelle. On sait depuis DARBOUX ([Jou79]) qu'un feuilletage de $\mathbb{P}^2(\mathbb{C})$ dont toutes les feuilles sont d'adhérence des courbes algébriques possède une intégrale première rationnelle non constante. Dans notre cas ces courbes sont rationnelles donc \mathcal{F}_χ est une fibration rationnelle.

ii. Supposons que $\dim G(\chi) \geq 2$. On peut alors trouver un germe de groupe à un paramètre ψ_s dans $G(\chi)$ non inclus dans $\langle \phi_t^\bullet \rangle$. Soit Y le générateur infinitésimal de ψ_s ; alors χ et Y commutent et ne sont pas \mathbb{C} -colinéaires. Pour terminer soit ω une 1-forme rationnelle définissant \mathcal{F}_χ ; si χ et Y sont génériquement indépendants $\Omega = \omega/i_Y\omega$ est fermée et définit \mathcal{F}_χ . Si ce n'est pas le cas, Y s'écrit $r\chi$ avec r rationnelle non constante et la commutation implique $\chi(r) = 0$; alors dr est fermée et définit \mathcal{F}_χ . \square

Remarque 2.12. — Soit Y une symétrie forte de χ ; le flot de Y est contenu dans $G(\chi)$. Comme le groupe $G(\chi)$ est un groupe de LIE, $\alpha\chi + \beta Y$ est encore une symétrie forte de χ dès que β est non nul.

En reprenant les démonstrations menant au Théorème 2.10, on constate que $G(\chi)$ préserve une fibration en droites, disons $x_1 = \text{cte}$; un élément $\phi = (\phi_1, \phi_2)$ de $G(\chi)$ est donc du type (en

carte affine)

$$\phi(x_0, x_1) = \left(\frac{a(x_1)x_0 + b(x_1)}{c(x_1)x_0 + d(x_1)}, v(x_1) \right)$$

où v appartient à $\text{PGL}_2(\mathbb{C})$ et a, b, c et d sont des polynômes en x_1 . Dans la carte affine $x_2 = 1$ on peut donc écrire les champs χ et Y sous l'une des formes

$$\chi = \chi_1 \frac{\partial}{\partial x_0} + \chi_2(x_1) \frac{\partial}{\partial x_1}, \quad Y = Y_1 \frac{\partial}{\partial x_0} + Y_2(x_1) \frac{\partial}{\partial x_1}, \quad \text{avec } \chi_2(x_1) = 0, 1 \text{ ou } \alpha x_1.$$

Puisque χ et Y commutent quitte à changer Y_1 en $Y_1 - \varepsilon\chi$ on peut supposer lorsque $\chi_2 \neq 0$ que $Y_2 \equiv 0$.

2.1.3. Deux résultats sur les germes de flots dans Bir_n . —

Pour un germe de flot quelconque, *i.e.* dans Bir_n (la définition étant la même que pour un flot dans Bir_2), le Théorème 2.11 se généralise de la façon suivante.

Théorème 2.13. — Soit ϕ_t un germe de flot dans Bir_n de générateur infinitésimal χ . Soit $G(\chi)$ le groupe abélien maximal algébrique contenu dans Bir_n et contenant $\overline{\langle \phi_t^\bullet \rangle}^Z$. On a

- Si $G(\chi)$ est de dimension 1, alors \mathcal{F}_χ est une fibration rationnelle ou elliptique.
- Si $\dim G(\chi) \geq 2$, alors χ possède une symétrie forte.

Dans les deux cas \mathcal{F}_χ est défini par une forme fermée rationnelle.

Démonstration. — La seconde assertion se démontre comme au Théorème 2.11. Dans la première situation les feuilles de \mathcal{F}_χ sont d'adhérence (ordinaire) algébriques et \mathcal{F}_χ possède une intégrale première rationnelle ; ses fibres sont nécessairement rationnelles ou elliptiques. \square

Le Théorème 2.10 se généralise comme suit.

Théorème 2.14. — Tout germe de flot birationnel laisse une fibration rationnelle invariante.

Démonstration. — Soient ϕ_t un germe de flot birationnel et \mathcal{F} le feuilletage associé au générateur infinitésimal de ϕ_t ; on a $\phi_t^* \mathcal{F} = \mathcal{F}$. Les transformations de type $(x_0^a x_1^b, x_0^c x_1^d)$ ne se plongent pas dans un flot ; en effet par itération leur degré croît. Par suite, d'après le Théorème 1.2. de [CF03] (rappelé au Chapitre 2, §2.1.1.2), ou bien \mathcal{F} est une fibration rationnelle, ou bien $\text{Bir}(S, \mathcal{F}) = \text{Aut}(S, \mathcal{F})$ pour un certain modèle birationnel de \mathcal{F} .

Lorsque $\text{Bir}(S, \mathcal{F}) = \text{Aut}(S, \mathcal{F})$ les ϕ_t induisent un groupe à un paramètre global (le flot du générateur infinitésimal vu sur S) d'automorphismes de S qui bien sûr sont isotopes à l'identité. Par suite ils fixent tous les diviseurs exceptionnels de S et on peut donc supposer la surface S minimale, *i.e.* $\mathbb{P}^1(\mathbb{C}) \times \mathbb{P}^1(\mathbb{C})$ ou $\mathbb{P}^2(\mathbb{C})$ ou une surface de HIRZEBRUCH. Un calcul élémentaire - au cas par cas - montre qu'un flot d'automorphismes sur une surface minimale laisse une fibration rationnelle invariante. \square

Dans la suite les \bullet seront la plupart du temps omis.

2.2. Classification des germes de flots birationnels quadratiques

Soit ϕ_t un germe de flot dans Bir_2 ; alors ϕ_t s'écrit à conjugaison linéaire près

$$\phi_t = \left(\frac{A(x_1, t)x_0 + B(x_1, t)}{C(x_1, t)x_0 + D(x_1, t)}, v(x_1, t) \right)$$

avec

- $v(x_1, t) = x_1$ ou $x_1 + t$ ou $e^{\beta t} x_1$;
- A, B, C et D sont polynomiaux en x_1 et

$$\deg_{x_1} A \leq 1, \quad \deg_{x_1} B \leq 2, \quad \deg_{x_1} C = 0, \text{ i.e. } C(x_1, t) = C(t), \quad \deg_{x_1} D \leq 1.$$
- $B(x_1, 0) = C(x_1, 0) = 0$ et $A(x_1, 0) = D(x_1, 0)$.

Le générateur infinitésimal $\chi := \left. \frac{\partial \phi_t}{\partial t} \right|_{t=0}$ de ϕ_t est de la forme

$$\frac{\alpha x_0^2 + \ell(x_1)x_0 + P(x_1)}{ax_1 + b} \frac{\partial}{\partial x_0} + \varepsilon(x_1) \frac{\partial}{\partial x_1}$$

où

- α, a, b désignent des éléments de \mathbb{C} ;
- ℓ et P des polynômes de degré 1 et 2 respectivement ;
- à conjugaison linéaire près et multiplication scalaire près (renormalisation du temps), ε vaut 0, 1 ou x_1 .

Nous allons classifier, à transformations linéaires et renormalisation près, les flots de Bir_2 , ce qui revient peu ou prou à détecter parmi les champs χ ci-dessus ceux qui sont rationnellement intégrables.

L'approche se fait en trois étapes suivant les valeurs de ε .

2.2.1. La seconde composante du flot est triviale. —

Dans ce paragraphe on s'intéresse aux champs du type

$$\frac{\alpha x_0^2 + \ell(x_1)x_0 + P(x_1)}{ax_1 + b} \frac{\partial}{\partial x_0}.$$

Nous allons nous ramener à étudier 5 modèles de champs. À homothétie en x_0 près, on a l'alternative : $\alpha = 0$ ou $\alpha = 1$.

- Lorsque α vaut 1, on constate qu'à transformation linéaire près on peut supposer $\ell \equiv 0$. De plus quitte à faire une translation et/ou une homothétie en x_1 le couple (a, b) prend les valeurs suivantes : $(0, 1)$ ou $(1, 0)$. Autrement dit on se ramène aux deux familles de champs

$$\chi = (x_0^2 + P(x_1)) \frac{\partial}{\partial x_0} \quad \text{ou} \quad \chi = \frac{x_0^2 + P(x_1)}{x_1} \frac{\partial}{\partial x_0}.$$

- Lorsque α est nul, il apparait trois types suivant en particulier les valeurs de a

- Si a est non nul, alors, à translation et homothétie en x_1 près,

$$\chi = \frac{(\beta x_1 + \mu)x_0 + P(x_1)}{x_1} \frac{\partial}{\partial x_0}.$$

- Lorsque a est nul, on se ramène aux deux cas suivants

$$\chi = (\mu x_0 + P(x_1)) \frac{\partial}{\partial x_0} \quad \text{ou} \quad \chi = (\beta x_0 x_1 + P(x_1)) \frac{\partial}{\partial x_0}.$$

Nous allons dans les Remarques et Lemmes qui suivent étudier ces différentes éventualités.

Remarque 2.15. — Soit χ le champ défini par $(\mu x_0 + P(x_1)) \frac{\partial}{\partial x_0}$ où μ désigne un élément de \mathbb{C} et P un polynôme quadratique. Si μ est non nul, χ est linéairement conjugué à $(\mu x_0 + x_1^2) \frac{\partial}{\partial x_0}$ dont le flot s'écrit

$$\left(x_0 e^{\mu t} + \frac{x_1^2}{\mu} (e^{\mu t} - 1), x_1 \right).$$

Si μ est nul, le flot de χ est linéairement conjugué à $(x_0 + t(\alpha + x_1^2), x_1)$ (voir Proposition 2.9).

Tous les deux sont des flots « polynomiaux ».

Lemme 2.16. — Soit P un élément de $\mathbb{C}[x_1]$ de degré inférieur ou égal à 2. Les champs

$$\begin{aligned} \chi_1 &= (x_0^2 + P(x_1)) \frac{\partial}{\partial x_0}, & \frac{\partial P}{\partial x_1} &\neq 0, \\ \chi_2 &= \frac{x_0^2 + P(x_1)}{x_1} \frac{\partial}{\partial x_0}, & P &\neq 0, \\ \chi_3 &= (\alpha x_0 x_1 + P(x_1)) \frac{\partial}{\partial x_0}, & \alpha &\in \mathbb{C}^*, \\ \chi_4 &= \frac{(\alpha x_1 + \mu)x_0 + P(x_1)}{x_1} \frac{\partial}{\partial x_0}, & \alpha &\in \mathbb{C}, \mu \in \mathbb{C}^* \end{aligned}$$

ne sont pas rationnellement intégrables.

Le champ $\frac{x_0^2}{x_1} \frac{\partial}{\partial x_0}$ est rationnellement intégrable et a pour flot $\left(\frac{x_0 x_1}{x_1 - t x_0}, x_1 \right)$.

Démonstration. — La preuve se fait dans tous les cas par une intégration élémentaire directe. À titre d'exemple l'intégration de χ_1 se fait comme suit. On écrit $\phi_t = (x_0(t), x_1(t))$; on a $x_1(t) = x_1$ et l'équation du flot conduit à $\frac{dx_0(t)}{dt} = x_0^2(t) + P(x_1)$, soit

$$\frac{dx_0(t)}{x_0(t)^2 + P(x_1)} = dt.$$

On écrit formellement l'équation différentielle ci-dessus sous la forme

$$\frac{-1}{2i\sqrt{P(x_1)}} \left(\frac{dx_0(t)}{x_0(t) + i\sqrt{P(x_1)}} - \frac{dx_0(t)}{x_0(t) - i\sqrt{P(x_1)}} \right) = dt.$$

On obtient par intégration directe

$$\log \left(\frac{x_0(t) + i\sqrt{P(x_1)}}{x_0(t) - i\sqrt{P(x_1)}} \right) = \text{cte} - 2i\sqrt{P(x_1)}t$$

soit encore en utilisant la condition initiale $(x_0(0), x_1(0)) = (x_0, x_1)$

$$\frac{x_0(t) + i\sqrt{P(x_1)}}{x_0(t) - i\sqrt{P(x_1)}} = \frac{x_0 + i\sqrt{P(x_1)}}{x_0 - i\sqrt{P(x_1)}} e^{-2i\sqrt{P(x_1)}t}.$$

Ce qui donne une expression explicite pour $x_0(t)$; puisque P est non constant le flot ϕ_t est transcendant multivalué.

Les autres cas se traitent de façon analogue. \square

Remarques 2.17. —

– Lorsque P est constant on écrit le champ χ_1 sous la forme

$$(x_0^2 - \alpha^2) \frac{\partial}{\partial x_0}, \quad \alpha \in \mathbb{C}.$$

Ce champ est rationnellement intégrable ; son flot qui est dans Bir_2 s'écrit

$$\left(\frac{x_0}{1 - tx_0}, x_1 \right) \text{ pour } \alpha = 0, \quad \left(\frac{\alpha(e^{-2\alpha t} + 1)x_0 + \alpha^2(e^{-2\alpha t} - 1)}{(e^{-2\alpha t} - 1)x_0 + \alpha(e^{-2\alpha t} + 1)}, x_1 \right) \text{ sinon.}$$

– Lorsque μ est nul et α non nul le champ

$$\chi_4 = \frac{\alpha x_0 x_1 + P(x_1)}{x_1} \frac{\partial}{\partial x_0}$$

est conjugué à $\frac{\alpha x_0 x_1 + 1}{x_1} \frac{\partial}{\partial x_0}$ dont le flot est

$$\left(-\frac{1}{\alpha x_1} + e^{\alpha t} \left(x_0 + \frac{1}{\alpha x_1} \right), x_1 \right)$$

Enfin si α est nul, le flot de χ_4 est donné par $\left(x_0 + t \frac{P(x_1)}{x_1}, x_1 \right)$.

On déduit des Remarques 2.15, 2.17 et du Lemme 2.16 la :

Proposition 2.18. — *Un germe de flot dans Bir_2 qui préserve une fibration en droites fibre à fibre est, à conjugaison linéaire près, de l'une des formes suivantes*

$$(x_0 + t(\alpha + x_1^2), x_1); \quad \left(\frac{x_0}{1 - tx_0}, x_1 \right); \quad \left(x_0 + t \frac{P(x_1)}{x_1}, x_1 \right); \quad \left(\frac{x_0 x_1}{x_1 - tx_0}, x_1 \right);$$

$$\left(x_0 e^{\mu t} + \frac{x_1^2}{\mu} (e^{\mu t} - 1), x_1 \right); \quad \left(-\frac{1}{\mu x_1} + e^{\mu t} \left(x_0 + \frac{1}{\mu x_1} \right), x_1 \right); \quad \left(\frac{\mu(e^{-2\mu t} + 1)x_0 + \mu^2(e^{-2\mu t} - 1)}{(e^{-2\mu t} - 1)x_0 + \mu(e^{-2\mu t} + 1)}, x_1 \right),$$

où μ désigne un complexe non nul et P un polynôme de degré inférieur ou égal à 2.

2.2.2. La seconde composante du flot est une translation. —

Pour ce type de flot le générateur infinitésimal est du type

$$\frac{\alpha x_0^2 + \ell(x_1)x_0 + P(x_1)}{ax_1 + b} \frac{\partial}{\partial x_0} + \frac{\partial}{\partial x_1}$$

avec ℓ affine et P polynôme de degré inférieur ou égal à 2. On cherche donc parmi les champs de vecteurs de la forme ci-dessus ceux qui sont rationnellement intégrables. On peut supposer que le couple (a, b) prend les valeurs $(0, 1)$ ou $(1, 0)$ et quitte à faire une homothétie en x_0 , ou bien α vaut 1, ou bien α est nul.

Si $\alpha = 1$, alors en faisant agir la transformation $\left(x_0 - \frac{\ell(x_1)}{2}, x_1\right)$ on se ramène au cas où $\ell \equiv 0$. On a donc les éventualités suivantes à considérer

$$\chi = (x_0^2 + P(x_1)) \frac{\partial}{\partial x_0} + \frac{\partial}{\partial x_1} \quad \text{et} \quad \chi = \frac{x_0^2 + P(x_1)}{x_1} \frac{\partial}{\partial x_0} + \frac{\partial}{\partial x_1}.$$

Si α est nul, alors, à translation en x_1 près, on a $\ell(x_1) = \beta$ ou μx_1 ; on se ramène aux trois cas

$$(a, b) = (0, 1), \quad (a, b) = (1, 0), \quad (a, b) = (1, b).$$

On doit étudier les champs χ de l'un des types suivants

$$(\alpha x_0 + P(x_1)) \frac{\partial}{\partial x_0} + \frac{\partial}{\partial x_1}, \quad (\mu x_0 x_1 + P(x_1)) \frac{\partial}{\partial x_0} + \frac{\partial}{\partial x_1}, \quad \frac{\mu x_0 x_1 + P(x_1)}{x_1} \frac{\partial}{\partial x_0} + \frac{\partial}{\partial x_1},$$

$$\frac{\alpha x_0 + P(x_1)}{x_1} \frac{\partial}{\partial x_0} + \frac{\partial}{\partial x_1}, \quad \frac{\mu x_0 x_1 + P(x_1)}{x_1 + b} \frac{\partial}{\partial x_0} + \frac{\partial}{\partial x_1},$$

où α, μ, b sont des constantes, $b \neq 0$ et P un polynôme de degré inférieur ou égal à 2.

Lorsque

$$\chi = (\alpha x_0 + p_0 + p_1 x_1 + p_2 x_1^2) \frac{\partial}{\partial x_0} + \frac{\partial}{\partial x_1}, \quad \alpha \in \mathbb{C}^*, p_i \in \mathbb{C},$$

on a

- ou bien p_2 est nul et χ est linéaire ;
- ou bien $p_2 \neq 0$ et χ est linéairement conjugué à

$$(\alpha x_0 + x_1^2) \frac{\partial}{\partial x_0} + \frac{\partial}{\partial x_1}, \quad \alpha \in \mathbb{C}^*$$

dont on constate que le flot est polynomial donc rencontré à la Proposition 2.9.

Supposons que

$$\chi = (p_0 + p_1 x_1 + p_2 x_1^2) \frac{\partial}{\partial x_0} + \frac{\partial}{\partial x_1}, \quad p_i \in \mathbb{C}.$$

Si p_2 est nul, χ est linéaire ; sinon χ est linéairement conjugué à

$$(p_0 + x_1^2) \frac{\partial}{\partial x_0} + \frac{\partial}{\partial x_1}$$

dont le flot est polynomial.

Notons que

$$\frac{\mu x_0 x_1 + p_0 + p_1 x_1 + p_2 x_1^2}{x_1} \frac{\partial}{\partial x_0} + \frac{\partial}{\partial x_1}, \quad \mu \in \mathbb{C}^*, p_i \in \mathbb{C}$$

est conjugué via $(x_0 + \frac{p_2}{\mu} + \frac{p_1+1}{\mu} x_1, x_1)$ à

$$\frac{\mu x_0 x_1 + p_0}{x_1} \frac{\partial}{\partial x_0} + \frac{\partial}{\partial x_1}$$

Le champ

$$\chi = \frac{\alpha x_0 + p_0 + p_1 x_1 + p_2 x_1^2}{x_1} \frac{\partial}{\partial x_0} + \frac{\partial}{\partial x_1}, \quad \alpha \in \mathbb{C}^*, p_i \in \mathbb{C};$$

est, à conjugaison linéaire près, de l'un des types suivants

$$\begin{array}{ccc} \frac{\alpha x_0}{x_1} \frac{\partial}{\partial x_0} + \frac{\partial}{\partial x_1}, & \frac{x_0 + x_1}{x_1} \frac{\partial}{\partial x_0} + \frac{\partial}{\partial x_1}, & \frac{x_0 + p_1 x_1 + x_1^2}{x_1} \frac{\partial}{\partial x_0} + \frac{\partial}{\partial x_1}, \\ \frac{\alpha x_0 + x_1^2}{x_1} \frac{\partial}{\partial x_0} + \frac{\partial}{\partial x_1}, & \alpha \in \mathbb{C}^*, p_1 \in \mathbb{C}. & \end{array}$$

Pour finir remarquons que

$$\frac{\mu x_0 x_1 + p_1 x_1 + p_2 x_1^2}{x_1 + b} \frac{\partial}{\partial x_0} + \frac{\partial}{\partial x_1}, \quad \mu, b \in \mathbb{C}^*, p_i \in \mathbb{C}$$

est linéairement conjugué à l'un des deux modèles suivants

$$\frac{\mu x_0 x_1}{x_1 + b} \frac{\partial}{\partial x_0} + \frac{\partial}{\partial x_1}, \quad \frac{\mu x_0 x_1}{x_1 + b} \frac{\partial}{\partial x_0} + \frac{\partial}{\partial x_1}, \quad b \in \mathbb{C}^*.$$

Donc finalement on considèrera les éventualités suivantes

$$\begin{array}{ccc} (\mu x_0 x_1 + P(x_1)) \frac{\partial}{\partial x_0} + \frac{\partial}{\partial x_1}, & \frac{\mu x_0 x_1 + p_0}{x_1} \frac{\partial}{\partial x_0} + \frac{\partial}{\partial x_1}, \\ \frac{\alpha x_0}{x_1} \frac{\partial}{\partial x_0} + \frac{\partial}{\partial x_1}, & \frac{x_0 + x_1}{x_1} \frac{\partial}{\partial x_0} + \frac{\partial}{\partial x_1}, \\ \frac{x_0 + p_1 x_1 + x_1^2}{x_1} \frac{\partial}{\partial x_0} + \frac{\partial}{\partial x_1}, & \frac{\alpha x_0 + x_1^2}{x_1} \frac{\partial}{\partial x_0} + \frac{\partial}{\partial x_1}, \\ \frac{\mu x_0 x_1}{x_1 + b} \frac{\partial}{\partial x_0} + \frac{\partial}{\partial x_1}, & \frac{\mu x_0 x_1}{x_1 + b} \frac{\partial}{\partial x_0} + \frac{\partial}{\partial x_1}, \end{array}$$

avec α, b dans \mathbb{C}^* , p_i dans \mathbb{C} et P dans $\mathbb{C}[x_1]$, $\deg P \leq 2$.

Cette partie et la suivante contiennent de nombreux Lemmes ; les stratégies de preuve utilisent l'une des démarches suivantes

- lorsque celà est possible on calcule explicitement le flot par intégration ;
- pour éliminer certains cas on montre que \mathcal{F}_χ n'a pas d'intégrale première rationnelle en cherchant une singularité de type nœud-col dans un modèle birationnel de \mathcal{F}_χ ; la présence

d'une telle singularité est évidemment une obstruction à l'existence d'une intégrale première rationnelle. On montre ensuite (en général via Maple) qu'il n'y a pas de symétrie forte. Le Théorème 2.11 assure alors que χ n'est pas rationnellement intégrable ;

- une autre procédure consiste à faire dégénérer χ (par renormalisation) sur un champ χ_0 que l'on sait ne pas être rationnellement intégrable.

Commençons par considérer le cas où $\chi = (x_0^2 + P(x_1))\frac{\partial}{\partial x_0} + \frac{\partial}{\partial x_1}$. Dans un premier temps supposons P constant.

Lemme 2.19. — *Le champ*

$$(x_0^2 - \alpha^2)\frac{\partial}{\partial x_0} + \frac{\partial}{\partial x_1}$$

s'intègre en

$$\left(\frac{\alpha(e^{-2\alpha t} + 1)x_0 + \alpha^2(e^{-2\alpha t} - 1)}{(e^{-2\alpha t} - 1)x_0 + \alpha(e^{-2\alpha t} + 1)}, x_1 + t \right).$$

Démonstration. — Le champ $(x_0^2 - \alpha^2)\frac{\partial}{\partial x_0}$ est conjugué via $f = \frac{x_0 + \alpha}{x_0 - \alpha}$ au champ $-2\alpha x_0 \frac{\partial}{\partial x_0}$ dont le flot est $e^{-2\alpha t} x_0$ d'où le résultat. \square

Remarque 2.20. — Si $\phi_t = \left(\frac{\alpha(e^{-2\alpha t} + 1)x_0 + \alpha^2(e^{-2\alpha t} - 1)}{(e^{-2\alpha t} - 1)x_0 + \alpha(e^{-2\alpha t} + 1)}, x_1 + t \right)$, on a

$$\phi_0 = \text{id} \in \Sigma^0; \quad \phi_t \in \Sigma^1, \forall t \in \frac{2i\pi\mathbb{Z}}{\alpha} \setminus \{0\}; \quad \phi_t \in \Sigma^2, \forall t \notin \frac{2i\pi\mathbb{Z}}{\alpha}.$$

Puis traitons l'éventualité où P n'est pas constant.

Lemme 2.21. — *Considérons le champ χ défini par*

$$\chi = (x_0^2 + P(x_1))\frac{\partial}{\partial x_0} + \frac{\partial}{\partial x_1}, \quad P \in \mathbb{C}[x_1], \deg P \leq 2, \frac{\partial P}{\partial x_1} \neq 0.$$

Le flot de χ n'est pas dans Bir_2 .

Démonstration. — Nous allons utiliser le Théorème 2.11.

- Commençons par montrer que \mathcal{F}_χ n'admet pas d'intégrale première rationnelle.

Posons $P(x_1) := p_0 + p_1 x_1 + p_2 x_1^2$. Le feuilletage \mathcal{F}_χ est décrit par

$$\omega_\chi = (x_0^2 + p_0 + p_1 x_1 + p_2 x_1^2) dx_1 - dx_0.$$

Quitte à changer x_0 en $1/x_0$ et x_1 en $1/x_1$, on obtient

$$\omega_\chi = (x_1^2 + x_0^2(p_0 x_1^2 + p_1 x_1 + p_2)) dx_1 - x_1^4 dx_0.$$

Posons $x_1 := tx_0$; alors

$$\omega_\chi = t(t^2 + p_0 t^2 x_0^2 + p_1 t x_0 + p_2 - t^3 x_0^2) dx_0 + x_0(t^2 + p_0 t^2 x_0^2 + p_1 t x_0 + p_2) dt.$$

Supposons $p_2 \neq 0$. Le 1-jet au point singulier $(0, -\sqrt{-p_2})$ est de la forme $t dx_0$; la singularité est de type nœud-col et \mathcal{F}_χ n'admet donc pas d'intégrale première rationnelle.

Lorsque $p_2 = 0$ la même suite de transformations conduit à

$$\omega_\chi = (x_1 + p_0 x_1 x_0^2 + p_1 x_0^2) dx_1 - x_1^3 dx_0.$$

On fait alors deux éclatements, plus précisément on pose $x_1 = tx_0^2$, et on obtient la forme

$$t(2t + 2p_0tx_0 + 2p_1 - t^2x_0^3)dx_0 + x_0(t + p_0tx_0 + p_1)dt;$$

on remarque qu'en $(x_0, t) = (0, -p_1)$ celle-ci présente une singularité de type nœud-col car $P(x_1)$ est non constant donc p_1 non nul. Ainsi \mathcal{F}_χ ne peut posséder d'intégrale première rationnelle.

– Pour finir montrons que χ n'a pas de symétrie forte Y .

D'après la Remarque 2.12, on peut supposer qu'un tel Y s'écrit $\frac{Q(x_0, x_1)}{Cx_1 + D} \frac{\partial}{\partial x_0} + \frac{\partial}{\partial x_1}$ avec Q polynôme de degré inférieur ou égal à 2 et C, D dans $\mathbb{C}^2 \setminus \{(0, 0)\}$. On remarque que les pôles de Y doivent être invariants par χ . Mais le feuilletage \mathcal{F}_χ ne possède pas de courbe du type $x_1 = \text{cte}$ invariante autre que $x_1 = 0$; ainsi (C, D) est à valeurs dans $\{(0, 1), (1, 0)\}$. Lorsque $(C, D) = (1, 0)$ (resp. $(C, D) = (0, 1)$) un calcul direct montre que Y est nul dès que P est non constant. □

Ensuite on envisage la possibilité où $\chi = \frac{x_0^2 + P(x_1)}{x_1} \frac{\partial}{\partial x_0} + \frac{\partial}{\partial x_1}$. Comme précédemment nous allons distinguer le cas P constant du cas P non constant.

Lemme 2.22. — Soit χ le champ donné par

$$\frac{x_0^2 - \alpha^2}{x_1} \frac{\partial}{\partial x_0} + \frac{\partial}{\partial x_1}.$$

Le flot de χ est birationnel si et seulement si 2α est dans $\mathbb{Z} \setminus \{0\}$ et appartient à Bir_2 si et seulement si $\alpha^2 = 1/4$.

Lorsque $\alpha^2 = 1/4$ le flot ϕ_t s'écrit

$$\left(\frac{(t + 2x_1)x_0 - t/2}{t + 2x_1 - 2tx_0}, x_1 + t \right).$$

Démonstration. — Si α est nul, on a

$$\phi_t = \left(\frac{x_0}{1 + x_0(\ln x_1 - \ln(x_1 + t))}, x_1 + t \right)$$

qui n'est évidemment pas birationnel.

Supposons désormais α non nul. On écrit $\phi_t(x_0, x_1) = (x_0(t), x_1 + t)$; l'équation du flot conduit à $\frac{dx_0(t)}{dt} = \frac{x_0^2(t) - \alpha^2}{x_1 + t}$, ou encore

$$\frac{dx_0(t)}{x_0(t) - \alpha} - \frac{dx_0(t)}{x_0(t) + \alpha} = 2\alpha \frac{dt}{x_1 + t}.$$

On en déduit que

$$\phi_t = \left(\frac{\alpha^2(x_1^{2\alpha} - (x_1 + t)^{2\alpha}) + \alpha(x_1^{2\alpha} + (x_1 + t)^{2\alpha})x_0}{(x_1^{2\alpha} + (x_1 + t)^{2\alpha})\alpha + (x_1^{2\alpha} - (x_1 + t)^{2\alpha})x_0}, x_1 + t \right).$$

Ce flot est rationnel si et seulement si 2α est un entier relatif non nul ; il est dans Bir_2 si et seulement si $\alpha^2 = 1/4$ auquel cas

$$\phi_t = \left(\frac{(t + 2x_1)x_0 - t/2}{t + 2x_1 - 2tx_0}, x_1 + t \right).$$

□

Lemme 2.23. — Le flot ϕ_t du champ

$$\chi = \frac{x_0^2 + p_0 + p_1x_1 + p_2x_1^2}{x_1} \frac{\partial}{\partial x_0} + \frac{\partial}{\partial x_1}, \quad p_i \in \mathbb{C}, (p_1, p_2) \neq 0,$$

appartient à Bir_2 si et seulement si $(p_0, p_1) = (-1/4, 0)$.

Si $(p_0, p_1) = (-1/4, 0)$ alors ϕ_t s'écrit

$$\left(\frac{f(t)(2tx_0 - t + 2x_0x_1) + g(t)(1 - 2x_0 + 4p_2tx_1 + 4p_2x_1^2)}{2(x_1f(t) + g(t)(1 - 2x_0))}, x_1 + t \right)$$

avec $f(t) = 2\sqrt{p_2} \cos(\sqrt{p_2}t)$ et $g(t) = \sin(\sqrt{p_2}t)$.

Démonstration. — Cherchons sous quelles conditions χ possède une symétrie forte. On peut la choisir sous la forme $\frac{Q(x_0, x_1)}{Cx_1 + D} \frac{\partial}{\partial x_0}$ où Q désigne un polynôme de degré 2 et C, D deux complexes non tous deux nuls. Les éventuels pôles de Y doivent être invariants par χ et la seule droite $x_1 = \text{cte}$ invariante par \mathcal{F}_χ est $x_1 = 0$; par suite

$$(C, D) \in \{(0, 1), (1, 0)\}.$$

On cherche alors Q sous la forme $\alpha^2 x_0^2 + \ell(x_1)x_0 + q(x_1)$ avec $\deg \ell \leq 1$ et $\deg q \leq 2$. Un calcul direct montre que si $(C, D) = (0, 1)$ alors $P(x_1) = p_0 + p_1x_1 + p_2x_1^2$ est constant, ce que l'on a exclu. Lorsque $(C, D) = (1, 0)$ c'est encore un calcul direct qui montre que l'existence d'une symétrie non triviale implique $(p_0, p_1) = (-1/4, 0)$, cas où l'intégration du flot est explicite via Maple. Supposons que $(p_0, p_1) \neq (-1/4, 0)$. La 1-forme $\omega_\chi = (x_0^2 + P(x_1))dx_1 - x_1dx_0$ définit le feuilletage \mathcal{F}_χ ; quitte à changer x_0 en $1/x_0$ et x_1 en $1/x_1$, cette forme s'écrit

$$(x_1^2 + (p_0x_1^2 + p_1x_1 + p_2)x_0^2)dx_1 - x_1^3dx_0.$$

Posons $x_1 = tx_0$; alors ω_χ est du type

$$x_0(t^2 + p_0t^2x_0^2 + p_1tx_0 + p_2)dt + t(t^2 + p_0t^2x_0^2 + p_1tx_0 + p_2 - t^2x_0)dx_0.$$

Si $p_2 \neq 0$, la singularité $(x_0, t) = (0, \sqrt{-p_2})$ est de type nœud-col et \mathcal{F}_χ ne peut posséder d'intégrale première rationnelle. Lorsque $p_2 = 0$ en éclatant deux fois (poser $x_1 = tx_0^2$) la forme

$$\omega_\chi = (x_1 + p_0x_0^2x_1 + p_1x_0^2)dx_1 - x_1^2dx_0$$

on obtient

$$x_0(t + p_0tx_0^2 + p_1)dt + (2t^2 + 2p_0t^2x_0^2 + 2p_1t - t^2x_0)dx_0$$

qui possède une singularité de type nœud-col au point $(x_0, t) = (0, -p_1)$ puisque p_1 est non nul.

□

Remarque 2.24. — On remarque que

$$\left(\frac{f(t)(2tx_0 - t + 2x_0x_1) + g(t)(1 - 2x_0 + 4p_2tx_1 + 4p_2x_1^2)}{2(x_1f(t) + g(t)(1 - 2x_0))}, x_1 + t \right)$$

avec $f(t) = 2\sqrt{p_2}\cos(\sqrt{p_2}t)$ et $g(t) = \sin(\sqrt{p_2}t)$ a pour ensemble d'indétermination

$$\{(1 : 0 : 0), \quad (1 : 0 : 2), \quad (tf(t) - g(t) : 2g(t)t : -2g(t))\}$$

i.e. ϕ_t est dans Σ^3 . On constate que g s'annule pour $t \in \mathbb{Z}\pi/\sqrt{p_2}$ et que pour ces valeurs des paramètres ϕ_t est dans Σ^2 .

Lemme 2.25. — Le champ $\chi = (\mu x_0 x_1 + \alpha) \frac{\partial}{\partial x_0} + \frac{\partial}{\partial x_1}$ n'est pas rationnellement intégrable lorsque μ est non nul.

Démonstration. — Raisonnons par l'absurde : supposons que le flot de χ soit birationnel. Posons $f(x_0, x_1) := (\varepsilon x_0, x_1)$. Notons

$$\chi_\varepsilon = (\mu x_0 x_1 + \varepsilon \alpha) \frac{\partial}{\partial x_0} + \frac{\partial}{\partial x_1}$$

le conjugué de χ par f et $\phi_t^\varepsilon = f \phi_t f^{-1}$ le flot de χ_ε . Par le théorème de CAUCHY appliqué en un point générique la limite de ϕ_t^ε lorsque ε tend vers 0, i.e. le flot de χ_0 , est birationnel ; or le flot de χ_0 s'écrit $(x_0 e^{\mu x_1 t + \mu^2 t^2/2}, x_1 + t)$ et n'est pas birationnel. \square

Remarque 2.26. — Considérons le champ χ défini par

$$\chi = (\mu x_0 x_1 + p_0 + p_1 x_1 + p_2 x_1^2) \frac{\partial}{\partial x_0} + \frac{\partial}{\partial x_1}, \quad \mu \in \mathbb{C}^*, p_i \in \mathbb{C}, (p_1, p_2) \neq (0, 0).$$

Le champ χ est linéairement conjugué à un champ du type $(\mu x_0 x_1 + \alpha) \frac{\partial}{\partial x_0} + \frac{\partial}{\partial x_1}$ dont on sait d'après le Lemme 2.25 qu'il n'est pas rationnellement intégrable.

Lemme 2.27. — Le champ

$$\chi = \frac{\mu x_0 x_1 + p_0}{x_1} \frac{\partial}{\partial x_0} + \frac{\partial}{\partial x_1}$$

est rationnellement intégrable si et seulement si $p_0 = 0$, i.e. si et seulement s'il est linéaire.

Démonstration. — Supposons p_0 non nul et χ rationnellement intégrable. En conjuguant χ par $f = (x_0, \varepsilon x_1)$ et en multipliant par ε , on obtient le champ rationnellement intégrable (pour ε non nul)

$$\chi_\varepsilon = \left(\varepsilon \mu x_0 + \frac{p_0}{x_1} \right) \frac{\partial}{\partial x_0} + \frac{\partial}{\partial x_1};$$

on note ψ_t^ε le flot de χ_ε . La limite de ψ_t^ε quand ε tend vers 0 est birationnelle. Un calcul montre que

$$\psi_t^0 = (x_0 + p_0(\ln(x_1 + t) - \ln x_1), x_1 + t)$$

n'est pas birationnel : contradiction. \square

Lemme 2.28. — *Le flot de*

$$\chi = \frac{\alpha x_0}{x_1} \frac{\partial}{\partial x_0} + \frac{\partial}{\partial x_1}$$

appartient à Bir_2 si et seulement si α appartient à $\{-1, 1\}$.

Si $\alpha = 1$, resp. $\alpha = -1$ il est du type

$$\left(\frac{x_0}{x_1}(x_1+t), x_1+t \right), \quad \text{resp.} \quad \left(\frac{x_0 x_1}{x_1+t}, x_1+t \right).$$

Démonstration. — Par intégration directe on obtient

$$\phi_t(x_0, x_1) = \left(\frac{x_0}{x_1^\alpha}(x_1+t)^\alpha, x_1+t \right);$$

le champ χ est rationnellement intégrable si et seulement si α est entier et dans Bir_2 si et seulement si $\alpha = \pm 1$. Les cas $\alpha = 1$, resp. $\alpha = -1$ conduisent à

$$\left(\frac{x_0}{x_1}(x_1+t), x_1+t \right), \quad \text{resp.} \quad \left(\frac{x_0 x_1}{x_1+t}, x_1+t \right).$$

□

Lemme 2.29. — *Le champ*

$$\chi = \frac{x_0 + x_1}{x_1} \frac{\partial}{\partial x_0} + \frac{\partial}{\partial x_1}$$

n'est pas rationnellement intégrable.

Démonstration. — On a

$$\phi_t(x_0, x_1) = \left((x_1+t) \ln \left(\frac{x_1+t}{x_1} \right) + \frac{x_0}{x_1}(x_1+t), x_1+t \right)$$

qui n'est pas birationnel.

□

Lemme 2.30. — *Le flot de*

$$\chi = \frac{x_0 + p_1 x_1 + x_1^2}{x_1} \frac{\partial}{\partial x_0} + \frac{\partial}{\partial x_1}$$

appartient à Bir_2 si et seulement si $p_1 = 0$.

Si p_1 est nul, le flot de χ est de la forme

$$\left(x_0 + \frac{x_0 t}{x_1} + t^2 + x_1 t, x_1+t \right).$$

Démonstration. — Le flot du champ χ est donné par

$$\left(x_0 + \frac{t x_0}{x_1} + t^2 + p_1 (x_1+t) \ln \left(\frac{x_1+t}{x_1} \right) + t x_1, x_1+t \right)$$

qui est donc birationnel si et seulement si $p_1 = 0$; auquel cas on a

$$\phi_t = \left(x_0 + \frac{x_0 t}{x_1} + t^2 + x_1 t, x_1+t \right).$$

□

Lemme 2.31. — *Le flot de*

$$\chi = \frac{\alpha x_0 + x_1^2}{x_1} \frac{\partial}{\partial x_0} + \frac{\partial}{\partial x_1}.$$

est dans Bir_2 si et seulement si α est dans $\{-1, 1\}$.

Si $\alpha = 1$, on retrouve le cas précédent ; si $\alpha = -1$ le flot de χ s'écrit

$$\left(\frac{tx_1^2 + t^2x_1 + x_0x_1 + t^3/3}{x_1 + t}, x_1 + t \right).$$

Démonstration. — Le champ χ est linéairement conjugué à

$$X_\varepsilon = \frac{\alpha x_0 + \varepsilon x_1^2}{x_1} \frac{\partial}{\partial x_0} + \frac{\partial}{\partial x_1}$$

pour $\varepsilon \neq 0$. Comme X_0 est rationnellement intégrable et dans Bir_2 si et seulement si α appartient à $\{-1, 1\}$ (Lemme 2.28) le champ χ n'est pas dans Bir_2 pour $\alpha \notin \{-1, 1\}$. Si $\alpha = 1$ on retrouve le cas du Lemme 2.30 qui est rationnellement intégrable ; lorsque $\alpha = -1$, on a

$$\phi_t = \left(\frac{x_1^2 t + x_1 t^2 + x_0 x_1 + t^3/3}{x_1 + t}, x_1 + t \right).$$

□

Lorsque $\alpha = 0$ on a le résultat suivant.

Lemme 2.32. — *Soit χ le champ*

$$\frac{p_0 + p_1 x_1 + p_2 x_1^2}{x_1} \frac{\partial}{\partial x_0} + \frac{\partial}{\partial x_1}, \quad p_i \in \mathbb{C}.$$

Le champ χ est rationnellement intégrable si et seulement si $p_0 = 0$.

Lorsque $p_0 = 0$, le champ χ est linéaire.

Démonstration. — Le flot de χ s'écrit

$$\left(x_0 + p_0 \ln \left(\frac{x_1 + t}{x_1} \right) + (p_1 + p_2 x_1)t + \frac{p_2 t^2}{2}, x_1 + t \right);$$

ainsi ϕ_t est birationnel si et seulement si $p_0 = 0$.

□

Lemme 2.33. — *Le flot de*

$$\chi = \frac{\mu x_0 x_1}{x_1 + b} \frac{\partial}{\partial x_0} + \frac{\partial}{\partial x_1}, \quad b \in \mathbb{C}^*$$

est dans Bir_2 si et seulement si $b\mu = \pm 1$, ce qui conduit aux flots

$$\left(x_0 e^{t\mu} \left(\frac{x_1 + 1/\mu}{x_1 + t + 1/\mu} \right), x_1 + t \right), \quad \left(x_0 e^{t\mu} \left(\frac{x_1 + t - 1/\mu}{x_1 - 1/\mu} \right), x_1 + t \right).$$

Démonstration. — Le flot du champ χ est

$$\left(x_0 e^{t\mu} \left(\frac{x_1 + b}{x_1 + t + b} \right)^{b\mu}, x_1 + t \right).$$

On constate qu'il est dans Bir_2 si $b\mu = \pm 1$. On en déduit les deux flots de l'énoncé.

□

Lemme 2.34. — *Le champ*

$$\chi = \frac{\mu x_0 x_1 + 1}{x_1 + b} \frac{\partial}{\partial x_0} + \frac{\partial}{\partial x_1}, \quad b \in \mathbb{C}^*.$$

est rationnellement intégrable si et seulement si $b\mu = 1$ et dans ce cas

$$\phi_t = \left(\left(x_0(x_1 + b) + \frac{1}{\mu} - \frac{e^{-\mu t}}{\mu} \right) \frac{e^{\mu t}}{x_1 + b + t}, x_1 + t \right).$$

Démonstration. — Pour $\varepsilon \neq 0$ le champ χ est conjugué à

$$X_\varepsilon = \frac{\mu x_0 x_1 + \varepsilon}{x_1 + b} \frac{\partial}{\partial x_0} + \frac{\partial}{\partial x_1};$$

d'après le Lemme 2.33 le champ X_0 est rationnellement intégrable si et seulement si $b\mu = \pm 1$ et cette condition est nécessaire pour que χ le soit. Il faut donc intégrer l'équation

$$\frac{\partial x_0(t)}{\partial t} = \frac{\mu x_0(t)(x_1 + t) + 1}{x_1 + b + t}, \quad b\mu = \pm 1$$

que l'on traite comme une équation linéaire avec second membre. On cherche $x_0(t)$ sous la forme $C(t)e^{\mu t}(x_1 + t + b)^{-b\mu}$ (variation de la constante); on obtient

$$C'(t) = \frac{e^{-\mu t}}{(x_1 + t + b)^{1-b\mu}}.$$

Si $b\mu = 1$ on a le flot suivant

$$\phi_t = \left(\left(x_0(\mu x_1 + 1) + 1 - e^{-\mu t} \right) \frac{e^{\mu t}}{\mu x_1 + 1 + \mu t}, x_1 + t \right)$$

qui est bien dans Bir_2 .

Lorsque $b\mu = -1$ on obtient

$$\begin{aligned} C'(t) &= \frac{e^{-\mu t}}{(x_1 + t + b)^2} = \frac{e^{-\mu(x_1+t+b)}}{(x_1 + t + b)^2} e^{\mu(x_1+b)} \\ &= e^{\mu(x_1+b)} \left(\frac{1}{(x_1 + b + t)^2} - \frac{\mu}{x_1 + b + t} + \sum_{n \geq 2} \frac{(-\mu)^n (x_1 + t + b)^{n-2}}{n!} \right). \end{aligned}$$

Il s'en suit que

$$x_0(t) = e^{\mu(x_1+t+b)} \left(-1 - \mu(x_1 + t + b) \ln(x_1 + t + b) + \sum_{n \geq 2} \frac{(-\mu)^n (x_1 + t + b)^n}{(n-1)n!} \right) + D e^{\mu t} (x_1 + t + b).$$

La condition initiale $x_0(0) = x_0$ permet de calculer D ; on constate alors que le flot obtenu n'est pas birationnel (présence de \ln en particulier). \square

2.2.3. La seconde composante du flot est une homothétie. —

Dans cette situation le champ χ a pour seconde composante $\mu x_1 \frac{\partial}{\partial x_1}$ avec $\mu \in \mathbb{C}^*$. Dans la suite nous supposons que μ vaut 1 pour ne pas alourdir l'exposé. Nous obtenons donc une classification à « renormalisation près du temps » par une homothétie.

Le champ χ est de la forme

$$\frac{\delta x_0^2 + \ell(x_1)x_0 + P(x_1)}{Ax_1 + B} \frac{\partial}{\partial x_0} + x_1 \frac{\partial}{\partial x_1}.$$

Quitte à faire agir une application diagonale (ax_0, bx_1) , on peut supposer que $\delta = 1$ ou $\delta = 0$ et que (A, B) prend les valeurs $(0, 1)$, $(1, 0)$ ou $(1, 1)$.

Lorsque δ vaut 1, on peut supposer, à transformation affine près, que ℓ est nul.

Si δ est nul, on pose $P = p_0 + p_1x_1 + p_2x_1^2$ et $\ell(x_1) = \beta x_1 + \gamma$. On a les éventualités suivantes à étudier

1. Si $\beta = \gamma = 0$, alors

$$\chi = \frac{P(x_1)}{Ax_1 + B} \frac{\partial}{\partial x_0} + x_1 \frac{\partial}{\partial x_1};$$

comme précédemment on peut se ramener à

$$(A, B) \in \{(0, 1), (1, 0), (1, 1)\}.$$

Lorsque $(A, B) = (0, 1)$ le champ χ est de la forme

$$(p_0 + p_1x_1 + p_2x_1^2) \frac{\partial}{\partial x_0} + x_1 \frac{\partial}{\partial x_1}, \quad p_i \in \mathbb{C}.$$

Si $p_2 = 0$ le champ χ est linéaire sinon il est linéairement conjugué à

$$(\varepsilon + x_1^2) \frac{\partial}{\partial x_0} + x_1 \frac{\partial}{\partial x_1}, \quad \varepsilon \in \{0, 1\};$$

dans ce cas on constate que le flot de χ est polynomial et apparait en particulier dans la Proposition 2.9.

Si $(A, B) = (1, 0)$, on peut supposer que χ s'écrit

$$\chi = \frac{p_0 + p_1x_1 + p_2x_1^2}{x_1} \frac{\partial}{\partial x_0} + x_1 \frac{\partial}{\partial x_1}, \quad p_0 \neq 0;$$

ce champ est linéairement conjugué à

$$\frac{1 + \varepsilon x_1}{x_1} \frac{\partial}{\partial x_0} + x_1 \frac{\partial}{\partial x_1}, \quad \varepsilon \in \{0, 1\}.$$

L'autre éventualité à étudier sera la suivante

$$\chi = \frac{p_0 + p_1x_1 + p_2x_1^2}{x_1 + 1} \frac{\partial}{\partial x_0} + x_1 \frac{\partial}{\partial x_1}, \quad p_i \in \mathbb{C}.$$

2. Si $\beta = 0$ et $\gamma \neq 0$, nous allons distinguer deux possibilités

- Lorsque $B - \gamma \neq 0$, quitte à faire agir $\left(x_0 + \frac{p_0}{\gamma} + \frac{p_1}{\gamma - B}x_1, x_1\right)$ le champ χ est du type

$$\frac{\gamma x_0 + \mu x_1^2}{Ax_1 + B} \frac{\partial}{\partial x_0} + x_1 \frac{\partial}{\partial x_1}.$$

Comme toujours le couple (A, B) est à valeurs dans

$$\{(1, 0), (0, 1), (1, 1)\}.$$

Quand $(A, B) = (0, 1)$ on constate par calcul direct que le flot de χ est polynomial. On détaillera donc les éventualités

$$\frac{bx_0 + \mu x_1^2}{x_1} \frac{\partial}{\partial x_0} + x_1 \frac{\partial}{\partial x_1}, \quad \frac{bx_0 + \mu x_1^2}{x_1 + 1} \frac{\partial}{\partial x_0} + x_1 \frac{\partial}{\partial x_1}, \quad b, \mu \in \mathbb{C}.$$

- Lorsque $B = \gamma$ on peut comme γ est non nul se ramener à $B = \gamma = 1$, *i.e.*

$$\chi = \frac{x_0 + p_1 x_1 + p_2 x_1^2}{Ax_1 + 1} \frac{\partial}{\partial x_0} + x_1 \frac{\partial}{\partial x_1}, \quad p_i, A \in \mathbb{C}.$$

Si p_1 est nul, χ est d'un des types précédents ; si p_1 est non nul alors $p_1 = 1$ à homothétie près. Supposons donc que $p_1 = 1$. On remarque alors que si A est nul, le flot est polynomial donc apparait dans la Proposition 2.9. Si A est non nul, on a, quitte à faire une homothétie, $A = 1$. Ainsi le seul cas à étudier est le suivant

$$\chi = \frac{x_0 + x_1 + \mu x_1^2}{x_1 + 1} \frac{\partial}{\partial x_0} + x_1 \frac{\partial}{\partial x_1}.$$

3. Si $\beta \neq 0$, on va distinguer plusieurs éventualités

- Quand $A \neq \beta$ on a, quitte à conjuguer χ par $\left(x_0 + \frac{p_1 + bB - \gamma b}{\beta} + \frac{p_2}{\beta - A}x_1, x_1\right)$ puis par des homothéties

$$\chi = \frac{\beta x_0 x_1 + \gamma x_0 + \mu}{Ax_1 + B} \frac{\partial}{\partial x_0} + x_1 \frac{\partial}{\partial x_1}, \quad \beta \in \mathbb{C}^*, \gamma, \mu \in \mathbb{C}$$

le couple (A, B) appartenant à $\{(0, 1), (1, 0), (1, 1)\}$.

- Quand $A = \beta$ et $\gamma \neq B$ alors on peut supposer à conjugaison linéaire près que

$$\chi = \frac{x_0 x_1 + \gamma x_0 + p_2 x_1^2}{x_1 + B} \frac{\partial}{\partial x_0} + x_1 \frac{\partial}{\partial x_1},$$

le couple (γ, p_2) prenant les valeurs $\{(0, 0), (0, 1), (1, 0), (1, 1)\}$.

- Quand $A = \beta$ et $\gamma = B$ on obtient à conjugaison près

$$\chi = \frac{x_0 x_1 + x_0 + p_1 x_1 + p_2 x_1^2}{x_1 + 1} \frac{\partial}{\partial x_0} + x_1 \frac{\partial}{\partial x_1}, \quad p_i \in \mathbb{C}.$$

De manière analogue au Lemme 2.19 on établit le :

Lemme 2.35. — On désigne par χ le champ $(x_0^2 - \alpha^2) \frac{\partial}{\partial x_0} + x_1 \frac{\partial}{\partial x_1}$. Le flot de χ appartient à Bir_2 et s'écrit

$$\left(\alpha \frac{(e^{-2\alpha t} + 1)x_0 + \alpha(e^{-2\alpha t} - 1)}{(e^{-2\alpha t} - 1)x_0 + \alpha(e^{-2\alpha t} + 1)}, e^t x_1 \right).$$

Remarque 2.36. — Le flot

$$\phi_t = \left(\alpha \frac{(e^{-2\alpha t} + 1)x_0 + \alpha(e^{-2\alpha t} - 1)}{(e^{-2\alpha t} - 1)x_0 + \alpha(e^{-2\alpha t} + 1)}, e^t x_1 \right).$$

compte génériquement deux points d'indétermination qui sont immobiles ; on constate que

$$\text{Exc } \phi_t = \{x_2 = 0, (e^{-2\alpha t} - 1)x_0 + \alpha(e^{-2\alpha t} + 1)x_2 = 0\}$$

est constitué d'une droite fixe et d'une droite mobile.

On remarque que

$$\phi_t \in \Sigma^0, \forall t \in \frac{2i\pi\mathbb{Z}}{\alpha}; \quad \phi_t \in \Sigma^2, \forall t \notin \frac{2i\pi\mathbb{Z}}{\alpha}.$$

Lemme 2.37. — Le flot du champ

$$(x_0^2 + P(x_1)) \frac{\partial}{\partial x_0} + x_1 \frac{\partial}{\partial x_1}, \quad P \in \mathbb{C}[x_1], \deg P \leq 2, \frac{\partial P}{\partial x_1} \neq 0$$

n'appartient pas à Bir_2 .

Démonstration. — Écrivons P sous la forme $p_0 + p_1 x_1 + p_2 x_1^2$.

Montrons que \mathcal{F}_χ n'a pas d'intégrale première rationnelle. Le feuilletage \mathcal{F}_χ est décrit par la 1-forme $\omega_\chi = (x_0^2 + p_0 + p_1 x_1 + p_2 x_1^2) dx_1 - x_1 dx_0$; quitte à changer x_0 en $1/x_0$ et x_1 en $1/x_1$, cette 1-forme s'écrit

$$(x_1^2 + p_0 x_0^2 x_1^2 + p_1 x_0^2 x_1 + p_2 x_0^2) dx_1 - x_1^3 dx_0.$$

Si p_2 est nul, on obtient en posant $x_1 = tx_0^2$

$$t(2p_1 + 2t + 2p_0 t x_0^2 - t x_0) dx_0 + x_0(p_1 + t + p_0 t x_0^2) dt;$$

on remarque la présence d'une singularité de type nœud-col au point $(0, -p_1)$. Le feuilletage \mathcal{F}_χ n'a donc pas d'intégrale première rationnelle. Si p_2 est non nul, posons $x_1 := tx_0$; on obtient

$$\omega_\chi = x_0(t^2 + p_0 t^2 x_0^2 + p_1 t x_0 + p_2) dt + t(t^2 + p_0 t^2 x_0^2 + p_1 t x_0 + p_2 - t^2 x_0) dx_0.$$

Au point singulier $(0, \sqrt{-p_2})$ on a encore une singularité de type nœud-col ; \mathcal{F}_χ ne peut donc admettre d'intégrale première rationnelle.

En utilisant la Remarque 2.12, un calcul montre que, P n'étant pas constant, χ admet une symétrie forte si et seulement si $(p_0, p_1) = (-\frac{1}{4}, 0)$. Si $(p_0, p_1) = (-\frac{1}{4}, 0)$ on peut supposer, puisque P n'est pas constant, que $p_2 = 1$; on constate alors que le flot de χ n'est pas birationnel

$$\phi_t = \left(\frac{(f - 2e^t x_1) \cos(e^t x_1) + (1 + 2f e^t x_1) \sin(e^t x_1)}{2f \cos(e^t x_1) + 2 \sin(e^t x_1)}, e^t x_1 \right),$$

avec

$$f = \frac{2x_0 \sin x_1 + 2x_1 \cos x_1 - \sin x_1}{\cos x_1 + 2x_1 \sin x_1 - 2x_0 \cos x_1}.$$

□

Lemme 2.38. — Considérons le champ χ défini par

$$\frac{x_0^2 - \alpha^2}{x_1} \frac{\partial}{\partial x_0} + x_1 \frac{\partial}{\partial x_1}, \quad \alpha \in \mathbb{C}.$$

Le flot de χ appartient à Bir_2 si et seulement si $\alpha = 0$.

Si α est nul, ϕ_t s'écrit

$$\left(\frac{x_0 x_1}{x_1 - x_0 + e^{-t} x_0}, e^t x_1 \right).$$

Démonstration. — Si α est nul, le flot s'obtient directement par intégration.

Lorsque α est non nul, le flot s'écrit

$$\left(\alpha \frac{\exp(2\alpha e^{-t}/x_1 - 2\alpha/x_1)(x_0 + \alpha) + (x_0 - \alpha)}{\exp(2\alpha e^{-t}/x_1 - 2\alpha/x_1)(x_0 + \alpha) - (x_0 - \alpha)}, e^t x_1 \right);$$

il n'est pas rationnel. □

Remarque 2.39. — Le flot $\phi_t = \left(\frac{x_0 x_1}{x_1 - x_0 + e^{-t} x_0}, e^t x_1 \right)$ vérifie

$$\phi_t = \text{id} \in \Sigma^0, \quad \forall t \in 2i\pi\mathbb{Z}; \quad \text{sinon } \phi_t \in \Sigma^2.$$

Lemme 2.40. — Soit χ le champ défini par

$$\frac{x_0^2 + p_0 + p_1 x_1 + p_2 x_1^2}{x_1} \frac{\partial}{\partial x_0} + x_1 \frac{\partial}{\partial x_1}, \quad p_i \in \mathbb{C}, \quad (p_1, p_2) \neq (0, 0).$$

Le flot ϕ_t de χ est birationnel si et seulement si $p_0 = p_1 = 0$.

Si $p_0 = p_1 = 0$, on a

$$\phi_t = \left(-\frac{f(t)(x_0(1+\alpha) - 2p_2 x_1) + g(t)(x_0(\alpha-1) + 2p_2 x_1)}{f(t)(x_1(1-\alpha) - 2x_0) + g(t)(2x_0 - x_1(1+\alpha))} x_1 e^t, x_1 e^t \right)$$

avec

$$\alpha = \sqrt{1 - 4p_2}, \quad f(t) = e^{-(1+\alpha)t/2}, \quad g(t) = e^{((\alpha-1)t/2)}.$$

Démonstration. — En utilisant la Remarque 2.12 on constate que χ admet une symétrie forte si et seulement si $p_0 = p_1 = 0$. Lorsque $p_0 = p_1 = 0$, l'intégration du flot est immédiate. Supposons désormais que $(p_0, p_1) \neq (0, 0)$. Le feuilletage \mathcal{F}_χ est décrit par la 1-forme

$$\omega_\chi = (x_0^2 + p_0 + p_1 x_1 + p_2 x_1^2) dx_1 - x_1^2 dx_0.$$

Le 1-jet au point singulier $(\sqrt{-p_0}, 0)$ est du type nœud-col si p_0 est non nul ce qui interdit l'existence d'une intégrale première rationnelle. Voici comment on procède lorsque $p_0 = 0$, *i.e.* lorsque la 1-forme ω_χ s'écrit

$$(x_0^2 + p_1 x_1 + p_2 x_1^2) dx_1 - x_1^2 dx_0.$$

Nous faisons d'abord une ramification $(x_0, x_1) \mapsto (x_0, x_1^2)$ pour obtenir

$$2(x_0^2 + p_1 x_1^2 + p_2 x_1^4) dx_1 - x_1^3 dx_0;$$

puis nous éclatons l'origine $(x_0, x_1) = (0, 0)$ en posant $x_0 = sx_1$

$$2(p_1 + s^2 + p_2x_1^2 - sx_1)dx_1 - x_1^2 ds.$$

On remarque alors puisque p_1 est non nul qu'au point $(s, x_1) = (\sqrt{-p_1}, 0)$ cette 1-forme présente une singularité de type nœud-col ce qui une fois de plus exclut l'existence d'une intégrale première rationnelle. \square

Lemme 2.41. — *Le flot du champ χ défini par*

$$\frac{x_0^2 - \alpha^2}{x_1 + 1} \frac{\partial}{\partial x_0} + x_1 \frac{\partial}{\partial x_1}, \quad \alpha \in \mathbb{C},$$

appartient à Bir_2 si et seulement si $4\alpha^2 = 1$.

Lorsque $4\alpha^2 = 1$, on a

$$\phi_t = \left(\frac{e^t(4x_0x_1 + 2x_0 - 1) + 2x_0 + 1}{2(e^t(2x_1 + 1 - 2x_0) + 1 + 2x_0)}, e^t x_1 \right).$$

Démonstration. — Supposons α nul. L'équation satisfaite par ϕ_t a pour solution

$$\left(\frac{x_0}{1 + x_0(\ln(e^t x_1 + 1) - \ln(x_1 + 1) - t)}, e^t x_1 \right);$$

le champ χ n'est donc pas rationnellement intégrable.

Si α est non nul,

$$\phi_t = \left(-\alpha \frac{(x_0 + \alpha)(e^t x_1 + 1)^{2\alpha} + (x_0 - \alpha)(x_1 + 1)^{2\alpha} e^{2\alpha t}}{(x_0 - \alpha)(x_1 + 1)^{2\alpha} e^{2\alpha t} - (x_0 + \alpha)(e^t x_1 + 1)^{2\alpha}}, e^t x_1 \right),$$

expression invariante lorsque l'on change α en $-\alpha$. On remarque que ϕ_t est birationnel si et seulement si 2α est entier ; on constate qu'il est quadratique si et seulement si $2\alpha = 1$ auquel cas il s'écrit

$$\left(\frac{e^t(4x_0x_1 + 2x_0 - 1) + 2x_0 + 1}{2(e^t(2x_1 + 1 - 2x_0) + 1 + 2x_0)}, e^t x_1 \right).$$

\square

Remarque 2.42. — Un calcul montre que

$$\phi_t = \left(\frac{e^t(4x_0x_1 + 2x_0 - 1) + 2x_0 + 1}{2(e^t(2x_1 + 1 - 2x_0) + 1 + 2x_0)}, e^t x_1 \right)$$

appartient à

- Σ^0 lorsque $t \in 2i\pi\mathbb{Z}$, plus précisément pour de tels t on a $\phi_t = \text{id}$;
- Σ^3 sinon.

Lemme 2.43. — *Soit χ le champ défini par*

$$\frac{x_0^2 + p_0 + p_1x_1 + p_2x_1^2}{x_1 + 1} \frac{\partial}{\partial x_0} + x_1 \frac{\partial}{\partial x_1}, \quad p_i \in \mathbb{C}, (p_1, p_2) \neq (0, 0).$$

Le flot de χ appartient à Bir_2 si et seulement si $(p_0, p_1) = (-1/4 + p_2, 2p_2)$.

Si $(p_0, p_1) = (-1/4 + p_2, 2p_2)$ et $p_2 \neq 1/4$ le flot de χ s'écrit

$$\left(\frac{\sin(\beta t) (e^t x_1 (x_1 - 2x_0) + 4\beta^2 (x_1 + 1)(e^t x_1 + 1)) + 2\beta \cos(\beta t) ((e^t - 1)x_1 + 2(e^t x_1 + 1)x_0)}{2(2\beta \cos(\beta t)(x_1 + 1) - \sin(\beta t)(2x_0 - x_1))}, e^t x_1 \right)$$

avec $\beta = \sqrt{4p_2 - 1}/2$.

Si $(p_0, p_1, p_2) = (0, 1/2, 1/4)$, on obtient

$$\phi_t = \left(\frac{1}{2} \frac{(2e^t x_1 t x_0 - e^t x_1^2 t - 4e^t x_1 x_0 - 2e^t x_1 - 4x_0 + 2x_1)}{(-2x_1 - 2 + 2t x_0 - t x_1)}, e^t x_1 \right).$$

Remarque 2.44. — A priori β est défini au signe près mais on constate que dans l'expression du flot β n'intervient que sous forme β^2 , $\sin(\beta t)$ ou $\beta \cos(\beta t)$ qui sont invariantes par $\beta \rightarrow -\beta$.

Démonstration. — Si χ a une symétrie forte Y , on peut supposer qu'elle est de la forme $\frac{Q(x_0, x_1)}{C x_1 + D} \frac{\partial}{\partial x_0}$ où Q désigne un polynôme de degré inférieur ou égal à deux et C, D des complexes non tous deux nuls (voir Remarque 2.12). Un calcul montre que l'existence d'un tel Y implique que

$$(p_0, p_1) = (-1/4 + p_2, 2p_2) \quad \text{ou} \quad (p_0, p_1) = (-1/4, 0)$$

(dans ce dernier cas p_2 est non nul). Pour $(p_0, p_1) = (-1/4 + p_2, 2p_2)$ le flot s'obtient par un calcul direct. Lorsque $(p_0, p_1) = (-1/4, 0)$ on distingue le cas $p_2 = 1/4$ du cas $p_2 \neq 1/4$. Pour $p_2 = 1/4$ on constate que

$$\phi_t = \left(\frac{1}{2} \frac{(2x_0 - x_1 - 1)(e^t x_1 + 1) \ln\left(\frac{e^t x_1 + 1}{x_1 + 1}\right) - 2(2x_0 - x_1 - 1)x_1 e^t - 2x_1(e^t x_1 + 1)}{(2x_0 - x_1 - 1) \ln\left(\frac{e^t x_1 + 1}{x_1 + 1}\right) - 2x_1}, e^t x_1 \right)$$

n'est pas birationnel. Si $p_2 \neq 1/4$, on obtient

$$\phi_t = \left(\frac{1}{2} + \frac{e^t x_1 (1 - \gamma)(e^t x_1 + 1)^\gamma (2x_0 - 1 - x_1 - \gamma x_1) + (1 + \gamma)(x_1 + 1)^\gamma (1 + x_1 - 2x_0 - \gamma x_1)}{2(x_1 + 1)^\gamma (1 + x_1 - 2x_0 - \gamma x_1) + (e^t x_1 + 1)^\gamma (2x_0 - 1 - x_1 - \gamma x_1)}, e^t x_1 \right),$$

avec $\gamma = \sqrt{1 - 4p_2}$, ainsi ϕ_t n'est pas quadratique.

Supposons désormais que $(p_0, p_1) \neq (-1/4, 0)$ et $(p_0, p_1) \neq (-1/4 + p_2, 2p_2)$ (rappelons que $(p_1, p_2) \neq (0, 0)$). Quitte à faire une translation en x_1 et à faire agir $(x_0, \varepsilon x_1)$ sur χ , on obtient le champ

$$Y_\varepsilon := \frac{x_0^2 + p_0 + p_1(\varepsilon x_1 - 1) + p_2(\varepsilon x_1 - 1)^2}{\varepsilon x_1} \frac{\partial}{\partial x_0} + \frac{\varepsilon x_1 - 1}{\varepsilon} \frac{\partial}{\partial x_1}.$$

Posons $\tilde{Y}_\varepsilon := \varepsilon Y_\varepsilon$. On constate que

$$\tilde{Y}_0 = \frac{x_0^2 + p_0 - p_1 + p_2}{x_1} \frac{\partial}{\partial x_0} - \frac{\partial}{\partial x_1}$$

et on remarque que si χ est rationnellement intégrable alors \tilde{Y}_0 aussi. Posons $\alpha^2 = -(p_0 - p_1 + p_2)$; d'après le Lemme 2.22 le flot de Y_0 appartient à Bir_2 si et seulement si 2α vaut 1

ou -1 . Par suite pour que ϕ_t appartienne à Bir_2 il faut que $2\alpha = \pm 1$, i.e. $p_1 - p_0 - p_2 = 1/4$. Le feuilletage \mathcal{F}_χ est décrit par la 1-forme

$$(x_0^2 + p_0 + p_1x_1 + p_2x_1^2)dx_1 - x_1(x_1 + 1)dx_0$$

soit à translation en x_1 près

$$(x_0^2 - 1/4 + p_1x_1 + p_2x_1^2 - 2p_2x_1)dx_1 - x_1(x_1 - 1)dx_0.$$

Au point singulier $(-1/2, 0)$ le 1-jet de la forme s'écrit

$$(-x_0 + (p_1 - 2p_2)x_1 + \text{termes de degré supérieur})dx_1 + x_1dx_0;$$

d'après POINCARÉ \mathcal{F}_χ est localement conjugué au feuilletage linéaire donné par

$$(-x_0 + (p_1 - 2p_2)x_1)dx_1 + x_1dx_0.$$

Si $p_1 - 2p_2$ est non nul, $(-x_0 + (p_1 - 2p_2)x_1)dx_1 + x_1dx_0$ n'a pas d'intégrale première méromorphe. En effet par homothétie on peut se ramener à $p_1 - 2p_2 = 1$; on constate alors que

$$(-x_0 + x_1)dx_1 + x_1dx_0$$

a pour intégrale première $x_1 \exp\left(\frac{x_0}{x_1}\right)$. Reste le cas où $p_1 - 2p_2 = 0$, l'égalité $p_1 - p_0 - p_2 = 1/4$ conduit à $(p_0, p_1) = (p_2 - 1/4, 2p_2)$, cas que l'on a justement exclu. \square

Remarques 2.45. —

– Soit ϕ_t le flot défini par

$$\left(\frac{\sin(\beta t) (e^t x_1 (x_1 - 2x_0) + 4\beta^2 (x_1 + 1)(e^t x_1 + 1)) + 2\beta \cos(\beta t) ((e^t - 1)x_1 + 2(e^t x_1 + 1)x_0)}{2(2\beta \cos(\beta t)(x_1 + 1) - \sin(\beta t)(2x_0 - x_1))}, e^t x_1 \right)$$

où $\beta = \sqrt{4p_2 - 1}/2$. On constate que

$$\phi_0 = \text{id} \in \Sigma^0; \quad \phi_t \in \Sigma^2, \forall t \in 2i\pi\mathbb{Z} \setminus \{0\}; \quad \phi_t \in \Sigma^3, \forall t \notin 2i\pi\mathbb{Z}.$$

– Si $(p_0, p_1, p_2) = (0, 1/2, 1/4)$ cas où

$$\phi_t = \left(\frac{2e^t x_1 t x_0 - e^t x_1^2 t - 4e^t x_1 x_0 - 2e^t x_1 - 4x_0 + 2x_1}{2(-2x_1 - 2 + 2tx_0 - tx_1)}, e^t x_1 \right),$$

on a

$$\phi_0 = \text{id} \in \Sigma^0; \quad \phi_t \in \Sigma^2, \forall t \in 2i\pi\mathbb{Z} \setminus \{0\}; \quad \phi_t \in \Sigma^3, \forall t \notin 2i\pi\mathbb{Z}.$$

Lemme 2.46. — Le flot de $\frac{1+\varepsilon x_1}{x_1} \frac{\partial}{\partial x_0} + x_1 \frac{\partial}{\partial x_1}$, avec ε dans $\{0, 1\}$, s'écrit

$$\left(x_0 + \frac{1}{x_1} + t\varepsilon - \frac{e^{-t}}{x_1}, e^t x_1 \right).$$

Une intégration directe conduit au :

Lemme 2.47. — *Le flot du champ*

$$\chi = \frac{p_0 + p_1 x_1 + p_2 x_1^2}{x_1 + 1} \frac{\partial}{\partial x_0} + x_1 \frac{\partial}{\partial x_1}, \quad p_i \in \mathbb{C},$$

appartient à Bir_2 si et seulement si $p_1 = p_0 + p_2$.

Lorsque $p_1 = p_0 + p_2$ le champ χ est affine.

Lemme 2.48. — *Considérons le champ*

$$\chi = \frac{bx_0 + \mu x_1^2}{x_1} \frac{\partial}{\partial x_0} + x_1 \frac{\partial}{\partial x_1}, \quad b, \mu \in \mathbb{C}.$$

Le flot de χ appartient à Bir_2 si et seulement si $b = 0$.

Si b est nul, ϕ_t est linéaire.

Démonstration. — Si χ admet une symétrie forte Y , on peut supposer (Remarque 2.12) qu'elle est du type $\frac{Q(x_0, x_1)}{Cx_1 + D} \frac{\partial}{\partial x_0}$ avec Q polynôme de degré 2 et C, D deux complexes non tous deux nuls ; un calcul montre qu'un tel Y existe si et seulement si $\mu b = 0$. Si b est nul, on obtient

$$\phi_t = (x_0 - \mu x_1 + \mu e^t x_1, e^t x_1).$$

Si $\mu = 0$, le flot de χ est donné par $(x_0 e^{b/x_1} e^{-be^{-t}/x_1}, e^t x_1)$; le champ χ n'est alors pas rationnellement intégrable. Dans la suite on supposera $\mu b \neq 0$; on cherche à appliquer le Théorème 2.11. Le feuilletage \mathcal{F}_χ est défini par la 1-forme

$$(bx_0 + \mu x_1^2) dx_1 - x_1^2 dx_0;$$

au point $(0,0)$ la singularité en $(0,0)$ est de type nœud-col, \mathcal{F}_χ n'admet donc pas d'intégrale première rationnelle. \square

Lemme 2.49. — *Si μ est non nul, le champ*

$$\chi = \frac{\mu x_1^2}{x_1 + 1} \frac{\partial}{\partial x_0} + x_1 \frac{\partial}{\partial x_1},$$

n'est pas rationnellement intégrable.

Démonstration. — Le flot de χ est

$$\phi_t = \left(\mu e^t x_1 + x_0 - \mu x_1 + \mu \ln \left(\frac{x_1 + 1}{e^t x_1 + 1} \right), e^t x_1 \right)$$

qui est transcendant. \square

C'est par intégration directe que l'on montre le

Lemme 2.50. — *Le champ*

$$\chi = \frac{bx_0}{x_1 + 1} \frac{\partial}{\partial x_0} + x_1 \frac{\partial}{\partial x_1}, \quad b \neq 0$$

a son flot dans Bir_2 si et seulement si $b = \pm 1$.

– Si $b = 1$, alors

$$\phi_t = \left(\frac{x_0(x_1 + 1)e^t}{(e^t x_1 + 1)}, e^t x_1 \right).$$

– Lorsque $b = -1$, on a

$$\phi_t = \left(\frac{x_0(e^t x_1 + 1)}{(x_1 + 1)e^t}, e^t x_1 \right).$$

Remarques 2.51. —

– Lorsque $\phi_t = \left(\frac{x_0(x_1+1)e^t}{(e^t x_1+1)}, e^t x_1 \right)$ on constate que

$$\phi_t = \text{id} \in \Sigma^0, \forall t \in 2i\pi\mathbb{Z}; \quad \phi_t \in \Sigma^2, \forall t \notin 2i\pi\mathbb{Z}.$$

– Les flots

$$\left(\frac{x_0(x_1+1)e^t}{(e^t x_1+1)}, e^t x_1 \right) \quad \text{et} \quad \left(\frac{x_0(e^t x_1+1)}{(x_1+1)e^t}, e^t x_1 \right)$$

sont conjugués via $(1/x_0, x_1)$.

Lemme 2.52. — Soit χ le champ défini par

$$\frac{bx_0 + \mu x_1^2}{x_1 + 1} \frac{\partial}{\partial x_0} + x_1 \frac{\partial}{\partial x_1}, \quad b, \mu \in \mathbb{C}^*.$$

Le flot de χ est dans Bir_2 si et seulement si b vaut 1 auquel cas on a

$$\phi_t = \left(\frac{x_0 + x_0 x_1 - \mu x_1^2 + \mu x_1^2 e^t}{e^t x_1 + 1} e^t, e^t x_1 \right).$$

Démonstration. — Si χ admet une symétrie forte Y , on peut supposer (Remarque 2.12) qu'elle est de la forme $\frac{Q(x_0, x_1)}{C x_1 + D} \frac{\partial}{\partial x_0}$ où Q désigne un polynôme de degré inférieur ou égal à 2 et C, D deux complexes non tous deux nuls. On peut trouver un tel champ Y si et seulement si $b = \pm 1$. Si $b = 1$, le calcul du flot est immédiat.

Lorsque b vaut -1 , le flot ϕ_t est du type

$$\left((x_1 + e^{-t}) \left(\mu e^t - \frac{\mu}{x_1(e^t x_1 + 1)} - \mu + \frac{x_0 x_1 + \mu}{x_1(x_1 + 1)} + \frac{2\mu}{x_1} \ln \left(\frac{x_1 + 1}{e^t x_1 + 1} \right) \right), e^t x_1 \right);$$

le champ χ n'est donc pas rationnellement intégrable.

Supposons b distinct de 1 et de -1 . Le feuilletage \mathcal{F}_χ est décrit dans la carte $x_1 = 1$ par la 1-forme $((b-1)x_0 x_2 + \mu - x_0) dx_2 + x_2(1+x_2) dx_0$. Le 1-jet au point singulier $(\mu, 0)$ est du type

$$x_2 dx_0 + (-x_0 + (b-1)\mu x_2) dx_2.$$

Par un argument analogue à celui utilisé dans le Lemme 2.43 on obtient que \mathcal{F}_χ n'a pas d'intégrale première rationnelle. Le Théorème 2.11 assure alors que le flot de χ n'est pas birationnel quadratique. \square

Remarque 2.53. — Un calcul montre que si ϕ_t désigne

$$\left(\frac{x_0 + x_0 x_1 - \mu x_1^2 + \mu x_1^2 e^t}{e^t x_1 + 1} e^t, e^t x_1 \right)$$

alors

$$\phi_t = \text{id} \in \Sigma^0, \forall t \in 2i\pi\mathbb{Z}; \quad \phi_t \in \Sigma^2, \forall t \notin 2i\pi\mathbb{Z}.$$

Un calcul direct permet de montrer le

Lemme 2.54. — *Le flot du champ*

$$\chi = \frac{x_0 + x_1 + \mu x_1^2}{x_1 + 1} \frac{\partial}{\partial x_0} + x_1 \frac{\partial}{\partial x_1}$$

est de la forme

$$\left(\frac{(x_1(t + \mu e^t x_1) + x_0(x_1 + 1) - \mu x_1^2) e^t}{e^t x_1 + 1}, e^t x_1 \right).$$

Remarque 2.55. — Soit ϕ_t le flot défini par

$$\left(\frac{(x_1(t + \mu e^t x_1) + x_0(x_1 + 1) - \mu x_1^2) e^t}{e^t x_1 + 1}, e^t x_1 \right).$$

On a

$$\phi_0 = \text{id}, \quad \phi_t \in \Sigma^1 \quad \forall t \in 2i\pi\mathbb{Z}, \quad \phi_t \in \Sigma^2 \quad \forall t \notin 2i\pi\mathbb{Z}.$$

Lemme 2.56. — *Le flot du champ*

$$\chi = (ax_0x_1 + bx_0 + \mu) \frac{\partial}{\partial x_0} + x_1 \frac{\partial}{\partial x_1}, \quad a \in \mathbb{C}^*, b, \mu \in \mathbb{C},$$

n'est pas birationnel.

Démonstration. — En utilisant la Remarque 2.12 on peut montrer que χ admet une symétrie forte si et seulement si b vaut -1 ou $\mu = 0$.

Si $\mu = 0$ ou $b = -1$, l'intégration est immédiate ; on obtient respectivement

$$\phi_t = (x_0 e^{-ax_1} e^{ae^t x_1 + bt}, e^t x_1) \quad \text{et} \quad \phi_t = \left(-\frac{\mu}{ax_1} e^{-t} + \frac{ax_0x_1 + \mu}{ax_1} e^{-ax_1} e^{ae^t x_1 - t}, e^t x_1 \right).$$

Dans les deux cas le champ χ n'est pas rationnellement intégrable.

Supposons $\mu \neq 0$ et $b \neq -1$. Le feuilletage est défini par la 1-forme

$$\omega_\chi = (ax_0x_1 + bx_0 + \mu) dx_1 - x_1 dx_0.$$

Quitte à changer x_0 en $1/x_0$ et x_1 en $1/x_1$, la forme ω_χ s'écrit

$$(ax_0 + bx_0x_1 + \mu x_1^2) dx_1 - x_1^2 dx_0;$$

au point $(0,0)$ la singularité est de type nœud-col et \mathcal{F}_χ n'admet pas d'intégrale première rationnelle. En particulier χ ne peut être rationnellement intégrable. \square

La preuve du Lemme qui suit se fait par un calcul direct.

Lemme 2.57. — *On désigne par χ le champ*

$$\frac{ax_0x_1 + \mu}{x_1} \frac{\partial}{\partial x_0} + x_1 \frac{\partial}{\partial x_1}, \quad a \in \mathbb{C}, \mu \in \mathbb{C}^*.$$

Si $a \neq -1$, alors à conjugaison linéaire près

$$\phi_t = \left(\left(x_0 + \frac{(1 - e^{-(a+1)t})}{(a+1)x_1} \right) e^{at}, e^t x_1 \right).$$

Si a vaut -1 , on a à conjugaison linéaire près

$$\phi_t = \left(\left(\frac{t}{x_1} + x_0 \right) e^{-t}, e^t x_1 \right).$$

Les deux flots précédents sont dans Bir_2 .

Lemme 2.58. — Le flot de

$$\chi = \frac{ax_0x_1 + bx_0 + \mu}{x_1} \frac{\partial}{\partial x_0} + x_1 \frac{\partial}{\partial x_1}, \quad b \in \mathbb{C}^*, a, \mu \in \mathbb{C},$$

n'appartient pas à Bir_2 .

Démonstration. — On constate que χ admet une symétrie forte si et seulement si a appartient à $\{0, 1, 2\}$ ou μ est nul.

– Si $a = 0$, l'équation du flot a pour solution

$$\phi_t = \left(-\frac{\mu}{b} + \left(x_0 + \frac{\mu}{b} \right) e^{b(1-e^{-t})/x_1}, e^t x_1 \right);$$

il en résulte dans ce cas que χ n'est pas rationnellement intégrable.

– Lorsque a vaut 1, le flot de χ s'écrit

$$\phi_t = \left(-\frac{\mu}{b} + \frac{\mu x_1 e^t}{b^2} + \left(x_0 + \frac{\mu}{b} - \frac{\mu x_1}{b^2} \right) \exp \left(t + \frac{b}{x_1} - \frac{be^{-t}}{x_1} \right), e^t x_1 \right);$$

on remarque que ϕ_t n'est pas birationnel.

– Supposons $a = 2$. Ici ϕ_t est de la forme

$$\left(\frac{\mu}{b} + \frac{2x_1\mu e^t}{b^2} - \frac{2x_1^2\mu e^{2t}}{b^3} + \left(x_0 + \frac{\mu}{b} - \frac{2x_1\mu}{b^2} + \frac{2x_1^2\mu}{b^3} \right) \exp \left(2t + \frac{b}{x_1} - \frac{be^{-t}}{x_1} \right), e^t x_1 \right).$$

Dans ce cas le champ χ n'est donc pas rationnellement intégrable.

– Si μ est nul, $\phi_t = (x_0 e^{b/x_1} e^{at - be^{-t}/x_1}, e^t x_1)$ est transcendant.

– Dorénavant nous supposons que $a \notin \{0, 1, 2\}$ et $\mu \neq 0$. Le feuilletage \mathcal{F}_χ est décrit par la 1-forme $(ax_0x_1 + bx_0 + \mu)dx_1 - x_1^2 dx_0$; comme b est par hypothèse non nul la singularité au point $(-\mu/b, 0)$ est de type nœud-col. Le feuilletage \mathcal{F}_χ n'admet donc pas d'intégrale première rationnelle. D'après le Théorème 2.11 le champ χ n'est pas rationnellement intégrable.

□

On a à étudier le champ

$$\chi = \frac{bx_0 + \mu}{x_1 + 1} \frac{\partial}{\partial x_0} + x_1 \frac{\partial}{\partial x_1}, \quad b, \mu \in \mathbb{C}.$$

Si b est non nul, alors, à translation près, on peut supposer μ nul, cas déjà traité (Lemme 2.50).
Le champ

$$\chi = \frac{\mu}{x_1 + 1} \frac{\partial}{\partial x_0} + x_1 \frac{\partial}{\partial x_1}, \quad \mu \in \mathbb{C},$$

est rationnellement intégrable si et seulement si μ est nul ; dans ce cas, ϕ_t est linéaire.

Lemme 2.59. — Soit χ le champ défini par

$$\frac{ax_0x_1 + bx_0 + \mu}{x_1 + 1} \frac{\partial}{\partial x_0} + x_1 \frac{\partial}{\partial x_1}, \quad a \in \mathbb{C}^*, b, \mu \in \mathbb{C}.$$

Si μ est nul, ϕ_t appartient à Bir_2 si et seulement si $a - b$ prend les valeurs $-1, 0$ ou 1 .
Lorsque $a - b$ appartient à $\{-1, 0, 1\}$ on obtient respectivement

$$\phi_t = \left(\frac{e^{bt}x_0(x_1 + 1)}{e^t x_1 + 1}, e^t x_1 \right), \quad \phi_t = (x_0 e^{bt}, e^t x_1), \quad \phi_t = \left(\frac{e^{bt}x_0(e^t x_1 + 1)}{x_1 + 1}, e^t x_1 \right).$$

Si μ est non nul, le flot de χ est birationnel si et seulement si $a - b = -1$ auquel cas

$$\begin{aligned} \phi_t &= \left(\frac{bx_0(x_1 + 1) + \mu - \mu e^{-bt}}{b(e^t x_1 + 1)} e^{bt}, e^t x_1 \right) && \text{si } b \neq 0; \\ \phi_t &= \left(\frac{x_0(x_1 + 1) + \mu t}{e^t x_1 + 1}, e^t x_1 \right) && \text{sinon.} \end{aligned}$$

Démonstration. — En conjuguant χ par $(x_0/\varepsilon, x_1)$, on obtient

$$\chi_\varepsilon = \frac{ax_0x_1 + bx_0 + \varepsilon\mu}{x_1 + 1} \frac{\partial}{\partial x_0} + x_1 \frac{\partial}{\partial x_1};$$

notons ψ_t^ε le flot de χ_ε . La limite de ψ_t^ε lorsque ε tend vers 0, i.e. le flot de

$$\chi_0 = \frac{ax_0x_1 + bx_0}{x_1 + 1} \frac{\partial}{\partial x_0} + x_1 \frac{\partial}{\partial x_1},$$

est birationnel si ϕ_t l'est. Or le flot de χ_0 est

$$\left(\frac{e^{bt}(e^t x_1 + 1)^{a-b} x_0}{(x_1 + 1)^{a-b}}, x_1 e^t \right);$$

ce flot est dans Bir_2 si et seulement si $a - b$ prend les valeurs $-1, 0$ ou 1 . On doit donc étudier ces trois possibilités. Notons que, χ_0 correspondant au cas $\mu = 0$, on peut dans la suite supposer μ non nul.

i. Considérons le cas où $a = b$; nous allons montrer que χ n'est pas rationnellement intégrable. En utilisant la Remarque 2.12, on montre que χ a des symétries fortes si et seulement si $a = b = 1$, $a = b = 2$ ou $a = b = -1$.

– Si $a = b = 1$, le flot est

$$\left(e^t(x_0 + \mu) - e^t \mu x_1 t - \mu + \mu x_1 e^t \ln \left(\frac{e^t x_1 + 1}{x_1 + 1} \right), e^t x_1 \right);$$

qui n'est pas birationnel.

– Lorsque $a = b = 2$, on obtient

$$\phi_t = \left(e^{2t} \mu x_1^2 \left(t + \ln \left(\frac{x_1 + 1}{e^t x_1 + 1} \right) \right) + e^t \mu x_1 + e^{2t} \left(x_0 - \mu x_1 + \frac{\mu}{2} \right) - \frac{\mu}{2}, e^t x_1 \right).$$

On constate que χ n'est pas rationnellement intégrable.

– Supposons que $a = b = -1$; un calcul montre que

$$\phi_t = \left(e^{-t} \left(x_0 + \frac{\mu}{x_1} \ln \left(\frac{e^t x_1 + 1}{x_1 + 1} \right) \right), e^t x_1 \right).$$

qui est transcendant.

– Supposons désormais que a soit distinct de 1, 2 et -1 . Le feuilletage \mathcal{F}_χ n'admet pas d'intégrale première rationnelle. En effet \mathcal{F}_χ est décrit par

$$\omega_\chi = (ax_0(x_1 + 1) + \mu)dx_1 - x_1(x_1 + 1)dx_0;$$

quitte à changer x_0 en $1/x_0$, on obtient $\omega_\chi = x_0(a(x_1 + 1) + \mu x_0)dx_1 + x_1(x_1 + 1)dx_0$ soit à translation en x_1 près $(ax_1 + \mu x_0)x_0 dx_1 + x_1(x_1 - 1)dx_0$. Au point $(0, 0)$ la singularité est de type nœud-col, \mathcal{F}_χ n'a donc pas d'intégrale première rationnelle. Le Théorème 2.11 permet de conclure.

ii. Envisageons l'éventualité suivante : $a - b = 1$. On va encore appliquer le Théorème 2.11. En utilisant la Remarque 2.12 on constate que χ a des symétries fortes si et seulement si $b = 0$ ou 1. Dans chacun de ces cas, le flot s'écrit respectivement

$$\left((e^t x_1 + 1) \left(\mu t + \frac{\mu}{e^t x_1 + 1} + \mu \ln \left(\frac{x_1 + 1}{e^t x_1 + 1} \right) + \frac{x_0 - \mu}{x_1 + 1} \right), e^t x_1 \right),$$

$$\left(e^t (e^t x_1 + 1) \left(2\mu x_1 \ln \left(\frac{e^t x_1 + 1}{x_1 + 1} \right) - 2\mu x_1 t - \frac{\mu x_1}{e^t x_1 + 1} - \frac{\mu}{e^t} + \frac{x_0 + 2\mu x_1 + \mu}{x_1 + 1} \right), e^t x_1 \right),$$

aucun des deux n'étant rationnellement intégrable.

Supposons que b soit distinct de 0 et 1. Le feuilletage \mathcal{F}_χ est décrit par la 1-forme

$$((b + 1)x_0 x_1 + b x_0 + \mu) dx_1 - x_1(x_1 + 1) dx_0;$$

en reprenant l'argument du Lemme 2.43 au point $(\mu, -1)$ et en utilisant la non nullité de $\mu(b + 1)$ on montre que \mathcal{F}_χ n'a pas d'intégrale première rationnelle.

iii. Pour finir lorsque $a - b = -1$ on obtient le flot par un calcul direct.

□

Remarques 2.60. —

– Pour le flot

$$\phi_t = \left(\frac{bx_0(x_1 + 1) + \mu - \mu e^{-bt}}{b(e^t x_1 + 1)} e^{bt}, e^t x_1 \right), \quad b \neq 0;$$

on observe que

$$\phi_0 = \text{id} \in \Sigma^0; \quad \phi_t \in \Sigma^1, \forall t \in 2i\pi\mathbb{Z} \setminus \{0\}; \quad \phi_t \in \Sigma^2, \forall t \notin 2i\pi\mathbb{Z}.$$

– Lorsque $\phi_t = \left(\frac{e^{bt} x_0 (e^t x_1 + 1)}{x_1 + 1}, e^t x_1 \right)$, on a

$$\phi_t \in \Sigma^0, \forall t \in 2i\pi\mathbb{Z}; \quad \phi_t \in \Sigma^2, \forall t \notin 2i\pi\mathbb{Z}.$$

Par calcul direct on obtient le

Lemme 2.61. — Le flot du champ $\chi = \frac{x_0 x_1}{x_1 + b} \frac{\partial}{\partial x_0} + x_1 \frac{\partial}{\partial x_1}$, avec b dans \mathbb{C} , est donné par

$$\left(\frac{x_0 (e^t x_1 + b)}{x_1 + b}, e^t x_1 \right).$$

Le champ

$$\frac{x_0 x_1 + x_1^2}{x_1 + b} \frac{\partial}{\partial x_0} + x_1 \frac{\partial}{\partial x_1}, \quad b \in \mathbb{C}$$

n'est pas rationnellement intégrable.

Remarque 2.62. — Le flot

$$\left(\frac{x_0 (e^t x_1 + b)}{x_1 + b}, e^t x_1 \right)$$

satisfait

$$\phi_t = \text{id}, \quad \forall t \in 2i\pi\mathbb{Z}; \quad \phi_t \in \Sigma^2, \quad \forall t \notin 2i\pi\mathbb{Z}.$$

Lemme 2.63. — Le flot du champ

$$\chi = \frac{x_0 x_1 + x_0}{x_1 + b} \frac{\partial}{\partial x_0} + x_1 \frac{\partial}{\partial x_1}, \quad b \in \mathbb{C}$$

est dans Bir_2 si et seulement si $b = \frac{1}{2}$ auquel cas

$$\left(x_0 e^{2t} \left(\frac{x_1 + 1/2}{e^t x_1 + 1/2} \right), e^t x_1 \right).$$

Remarque 2.64. — Soit ϕ_t le flot donné par

$$\phi_t = \left(x_0 e^{2t} \left(\frac{x_1 + 1/2}{e^t x_1 + 1/2} \right), e^t x_1 \right).$$

On remarque que

$$\phi_t = \text{id} \quad \forall t \in 2i\pi\mathbb{Z} \quad \phi_t \in \Sigma^2 \quad \forall t \notin 2i\pi\mathbb{Z}.$$

Démonstration. — En effet par calcul direct on obtient

– lorsque $b = 0$ le flot s'écrit

$$\left(e^t x_0 \exp\left(\frac{tx_1 - e^{-t}}{x_1}\right) \exp\left(\frac{1 - e^{-t}}{x_1}\right), e^t x_1 \right)$$

et n'est pas rationnellement intégrable ;

– lorsque $b \neq 0$ on a

$$\phi_t = \left(x_0 e^{t/b} \left(\frac{e^t x_1 + b}{x_1 + b} \right)^{1-1/b}, e^t x_1 \right).$$

□

On en déduit le

Lemme 2.65. — *Le flot du champ*

$$\chi = \frac{x_0 x_1 + x_0 + x_1^2}{x_1 + b} \frac{\partial}{\partial x_0} + x_1 \frac{\partial}{\partial x_1}, \quad b \in \mathbb{C}$$

appartient à Bir_2 si et seulement si $b = \frac{1}{2}$ auquel cas

$$\phi_t = \left(\frac{(2tx_1^2 + x_0(2x_1 + 1))e^{2t}}{2e^t x_1 + 1}, e^t x_1 \right).$$

Démonstration. — Le champ

$$\frac{x_0 x_1 + x_0 + \mu x_1^2}{x_1 + b} \frac{\partial}{\partial x_0} + x_1 \frac{\partial}{\partial x_1}$$

est linéairement conjugué à

$$X_\varepsilon = \frac{x_0 x_1 + x_0 + \varepsilon x_1^2}{x_1 + b} \frac{\partial}{\partial x_0} + x_1 \frac{\partial}{\partial x_1}.$$

Or d'après le Lemme 2.63 le flot de X_0 appartient à Bir_2 si et seulement si $b = \frac{1}{2}$; ainsi pour que le flot de χ soit birationnel quadratique il faut que $b = \frac{1}{2}$. Par intégration directe on obtient pour $b = \frac{1}{2}$

$$\phi_t = \left(\frac{(2tx_1^2 + x_0(2x_1 + 1))e^{2t}}{2e^t x_1 + 1}, e^t x_1 \right)$$

d'où le résultat. □

Remarque 2.66. — On constate que

$$\phi_t = \left(\frac{(2tx_1^2 + x_0(2x_1 + 1))e^{2t}}{2e^t x_1 + 1}, e^t x_1 \right)$$

vérifie

$$\phi_0 = \text{id}, \quad \phi_t \in \Sigma^1 \quad \forall t \in 2i\pi\mathbb{Z} \setminus \{0\}, \quad \phi_t \in \Sigma^2 \quad \forall t \in 2i\mathbb{Z}.$$

Pour finir on a le

Lemme 2.67. — *Le champ*

$$\chi = \frac{x_0x_1 + x_0 + p_1x_1 + p_2x_1^2}{x_1 + 1} \frac{\partial}{\partial x_0} + x_1 \frac{\partial}{\partial x_1}$$

est rationnellement intégrable si et seulement si $p_1 = p_2$ auquel cas il est linéaire.

Démonstration. — Un calcul montre que le flot de χ s'écrit

$$\phi_t = \left(x_0 + p_1tx_1 + (p_2 - p_1)x_1 \ln \left(\frac{e^t x_1 + 1}{x_1 + 1} \right), e^t x_1 \right).$$

□

2.2.4. Récapitulatif. —

Rappelons qu'à conjugaison linéaire près les champs linéaires et leur flot sont en carte affine du type suivant :

champ de vecteurs	flot associé
$\frac{\partial}{\partial x_1}$	$(x_0, x_1 + t)$
$x_0 \frac{\partial}{\partial x_0} + \frac{\partial}{\partial x_1}$	$(x_0 e^t, x_1 + t)$
$(x_1 + 1) \frac{\partial}{\partial x_0} + \alpha x_1 \frac{\partial}{\partial x_1}$	$(x_0 + x_1(e^t - 1) + t, e^{\alpha t} x_1)$
$\alpha_1 x_0 \frac{\partial}{\partial x_0} + \alpha_2 x_1 \frac{\partial}{\partial x_1}$	$(x_0 e^{\alpha_1 t}, x_1 e^{\alpha_2 t})$
$(\alpha x_0 + x_1) \frac{\partial}{\partial x_0} + \alpha x_1 \frac{\partial}{\partial x_1}$	$((x_0 + tx_1) e^{\alpha t}, x_1 e^{\alpha t})$
$x_1 \frac{\partial}{\partial x_0} + \frac{\partial}{\partial x_1}$	$(x_0 + tx_1 + \frac{t^2}{2}, x_1 + t)$

On dira que le flot ϕ_t appartient à Σ^i si c'est le cas pour t générique. Lorsque la seconde composante du flot est du type homothétie nous avons, pour simplifier la présentation, fait une renormalisation homothétique dans le temps de sorte que la seconde composante du générateur infinitésimal χ soit $x_1 \frac{\partial}{\partial x_1}$. Les tableaux qui suivent donnent la liste des flots dans Bir_2 ; pour chaque flot sont mentionnés le générateur infinitésimal, une symétrie forte et une intégrale première. Leur lecture doit donc être comprise à conjugaison linéaire et renormalisation près; au niveau des champs χ cela se traduit par une lecture à conjugaison linéaire près et multiplication scalaire près.

Dans ce qui suit certaines valeurs des paramètres produisent des flots linéaires; nous ne les avons pas mentionnées.

	champ de vecteurs	flot associé	symétrie forte	IP
Σ^1	$\frac{P(x_1)}{x_1} \frac{\partial}{\partial x_0}$	$(x_0 + t \frac{P(x_1)}{x_1}, x_1)$	$\frac{\partial}{\partial x_0}$	x_1
	$\frac{\alpha x_0 x_1 + 1}{x_1} \frac{\partial}{\partial x_0}$	$(-\frac{1}{\alpha x_1} + e^{\alpha t} (x_0 + \frac{1}{\alpha x_1}), x_1)$	$\frac{1}{x_1} \frac{\partial}{\partial x_0} + \alpha x_1 \frac{\partial}{\partial x_1}$	x_1
	$(\alpha x_0 + x_1^2) \frac{\partial}{\partial x_0}, \alpha \neq 0$	$(x_0 e^{\alpha t} + \frac{x_1^2}{\alpha} (e^{\alpha t} - 1), x_1)$	$-2x_1 \frac{\partial}{\partial x_0} + \alpha \frac{\partial}{\partial x_1}$	x_1
	$(\alpha + x_1^2) \frac{\partial}{\partial x_0}$	$(x_0 + t(\alpha + x_1^2), x_1)$	$\frac{\partial}{\partial x_0}$	x_1
	$(\alpha x_0 + x_1^2) \frac{\partial}{\partial x_0} + \frac{\partial}{\partial x_1}, \alpha \neq 0$	ψ_1	$(1 + \alpha x_1 + \frac{\alpha^2 x_1^2}{2} + \frac{\alpha^3 x_0}{2}) \frac{\partial}{\partial x_0}$	$(x_0 + \frac{2}{\alpha^3} + \frac{2x_1}{\alpha^2} + \frac{x_1^2}{\alpha}) e^{-\alpha x_1}$
	$(\alpha + x_1^2) \frac{\partial}{\partial x_0} + \frac{\partial}{\partial x_1}$	$(x_0 + t(\alpha + x_1^2) + t^2 x_1 + \frac{t^3}{3}, x_1 + t)$	$\frac{\partial}{\partial x_0}$	$\alpha x_1 + \frac{x_1^3}{3} - x_0$
	$(1 + x_1^2) \frac{\partial}{\partial x_0} + x_1 \frac{\partial}{\partial x_1},$	$(x_0 - \frac{x_1^2}{2} + t + \frac{x_1^2 e^{2t}}{2}, e^t x_1)$	$\frac{\partial}{\partial x_0}$	$x_1 \exp(\frac{x_1^2}{2} - x_0)$
	$\frac{1}{x_1} \frac{\partial}{\partial x_0} + x_1 \frac{\partial}{\partial x_1},$	$(x_0 + \frac{1}{x_1} - \frac{e^{-t}}{x_1}, e^t x_1)$	$\frac{\partial}{\partial x_0}$	$-\frac{1}{x_1} - x_0$

$$\psi_1 = (x_0 e^{\alpha t} + (\frac{2}{\alpha^3} + \frac{2x_1}{\alpha^2} + \frac{x_1^2}{\alpha})(e^{\alpha t} - 1) - (\frac{2x_1 t}{\alpha} + \frac{t^2}{\alpha} + \frac{2t}{\alpha^2}), x_1 + t)$$

	champ de vecteurs	flot associé	symétrie forte	IP
Σ^1	$\frac{1+x_1}{x_1} \frac{\partial}{\partial x_0} + x_1 \frac{\partial}{\partial x_1},$	$\left(x_0 + \frac{1}{x_1} + t - \frac{e^{-t}}{x_1}, e^t x_1\right)$	$\frac{\partial}{\partial x_0}$	$x_1 \exp\left(-\frac{1}{x_1} - x_0\right)$
	$\frac{\alpha x_0 x_1 + 1}{x_1} \frac{\partial}{\partial x_0} + x_1 \frac{\partial}{\partial x_1}, \alpha \neq -1$	$\left(\left(x_0 + \frac{(1-e^{-(\alpha+1)t})}{(\alpha+1)x_1}\right) e^{\alpha t}, e^t x_1\right)$	$\frac{1+(1+\alpha)x_0 x_1}{x_1} \frac{\partial}{\partial x_0}$	$\frac{x_1^{1+\alpha}}{1+(1+\alpha)x_0 x_1}$
	$\frac{1-x_0 x_1}{x_1} \frac{\partial}{\partial x_0} + x_1 \frac{\partial}{\partial x_1}$	$\left(\left(\frac{t}{x_1} + x_0\right) e^{-t}, e^t x_1\right)$	$\frac{1}{x_1} \frac{\partial}{\partial x_0}$	$x_1 e^{-x_0 x_1}$
	$(1+x_1^2) \frac{\partial}{\partial x_0} + x_1 \frac{\partial}{\partial x_1},$	$(x_0 + t + \frac{x_1^2}{2}(e^{2t} - 1), x_1 e^t)$	$\frac{\partial}{\partial x_0}$	$x_1 \exp\left(\frac{x_1^2}{2} - x_0\right)$
	$x_1^2 \frac{\partial}{\partial x_0} + x_1 \frac{\partial}{\partial x_1},$	$(x_0 + \frac{x_1^2}{2}(e^{2t} - 1), x_1 e^t)$	$\frac{\partial}{\partial x_0}$	$\frac{x_1^2}{2} - x_0$
	$(\alpha x_0 + x_1^2) \frac{\partial}{\partial x_0} + x_1 \frac{\partial}{\partial x_1}, \alpha \notin \{1, 2\}$	$(x_0 e^{\alpha t} + \frac{x_1^2}{2-\alpha}(e^{2t} - e^{\alpha t}), x_1 e^t)$	$(x_1^2 + (\alpha - 2)x_0) \frac{\partial}{\partial x_0}$	$\frac{x_1^\alpha}{x_1^2 + (\alpha - 2)x_0}$
	$(x_0 + x_1 + x_1^2) \frac{\partial}{\partial x_0} + x_1 \frac{\partial}{\partial x_1},$	$(x_0 e^t + x_1 t e^t + x_1^2(e^{2t} - e^t), x_1 e^t)$	$x_1 \frac{\partial}{\partial x_0}$	$x_1 \exp\left(x_1 - \frac{x_0}{x_1}\right)$
	$(x_0 + x_1^2) \frac{\partial}{\partial x_0} + x_1 \frac{\partial}{\partial x_1},$	$(x_0 e^t + x_1^2(e^{2t} - e^t), x_1 e^t)$	$x_1 \frac{\partial}{\partial x_0}$	$x_1 - \frac{x_0}{x_1}$
$(2x_0 + x_1^2) \frac{\partial}{\partial x_0} + x_1 \frac{\partial}{\partial x_1}$	$(x_0 e^{2t} + x_1^2 t e^{2t}, x_1 e^t)$	$x_1^2 \frac{\partial}{\partial x_0}$	$\frac{1}{x_1} \exp\left(\frac{x_0}{x_1^2}\right)$	

	champ de vecteurs	flot associé	symétrie forte	IP
Σ^2	$x_0^2 \frac{\partial}{\partial x_0}$	$\left(\frac{x_0}{1-tx_0}, x_1 \right)$	$\frac{x_0^2}{x_1} \frac{\partial}{\partial x_0}$	x_1
	$\frac{x_0^2}{x_1} \frac{\partial}{\partial x_0}$	$\left(\frac{x_0 x_1}{x_1 - tx_0}, x_1 \right)$	$x_0^2 \frac{\partial}{\partial x_0}$	x_1
	$\frac{-x_0}{x_1+1} \frac{\partial}{\partial x_0} + x_1 \frac{\partial}{\partial x_1}$	$\left(\frac{x_0(e^t x_1 + 1)}{(x_1 + 1)e^t}, e^t x_1 \right)$	$x_0 \frac{\partial}{\partial x_0}$	$\frac{x_0 x_1}{x_1 + 1}$
	$-\frac{x_0}{x_1} \frac{\partial}{\partial x_0} + \frac{\partial}{\partial x_1}$	$\left(\frac{x_0 x_1}{x_1 + t}, x_1 + t \right)$	$x_0 \frac{\partial}{\partial x_0}$	$x_0 x_1$
	$\frac{x_0}{x_1} \frac{\partial}{\partial x_0} + \frac{\partial}{\partial x_1}$	$\left(\frac{x_0}{x_1} (x_1 + t), x_1 + t \right)$	$(x_0 + x_1) \frac{\partial}{\partial x_0}$	$\frac{x_0}{x_1}$
	$\frac{x_0 + x_1^2}{x_1} \frac{\partial}{\partial x_0} + \frac{\partial}{\partial x_1}$	$\left(x_0 + \frac{x_0 t}{x_1} + t^2 + x_1 t, x_1 + t \right)$	$x_1 \frac{\partial}{\partial x_0}$	$x_1 - \frac{x_0}{x_1}$
	$\frac{x_1^2 - x_0}{x_1} \frac{\partial}{\partial x_0} + \frac{\partial}{\partial x_1}$	$\left(\frac{x_1^2 t + x_1 t^2 + x_0 x_1 + t^3 / 3}{x_1 + t}, x_1 + t \right)$	$\frac{1}{x_1} \frac{\partial}{\partial x_0}$	$\frac{x_1^3}{3} - x_0 x_1$
	$x_0^2 \frac{\partial}{\partial x_0} + \frac{\partial}{\partial x_1}$	$\left(\frac{x_0}{1-tx_0}, x_1 + t \right)$	$\frac{\partial}{\partial x_1}$	$x_1 + \frac{1}{x_0}$
	$\frac{\alpha^2 x_0 x_1}{\alpha x_1 + 1} \frac{\partial}{\partial x_0} + \frac{\partial}{\partial x_1}$	$\left(x_0 e^{\alpha t} \left(\frac{\alpha x_1 + 1}{\alpha x_1 + \alpha t + 1} \right), x_1 + t \right)$	$x_0 \frac{\partial}{\partial x_0}$	$\frac{\alpha e^{\alpha x_1}}{x_0 (\alpha x_1 + 1)}$
	$\frac{\alpha^2 x_0 x_1}{\alpha x_1 - 1} \frac{\partial}{\partial x_0} + \frac{\partial}{\partial x_1}$	$\left(x_0 e^{\alpha t} \left(\frac{\alpha x_1 + \alpha t - 1}{\alpha x_1 - 1} \right), x_1 + t \right)$	$x_0 \frac{\partial}{\partial x_0}$	$\frac{(\alpha x_1 - 1) e^{\alpha x_1}}{\alpha x_0}$

	champ de vecteurs	flot associé	symétrie forte	IP
Σ^2	$(x_0^2 - \alpha^2) \frac{\partial}{\partial x_0} + \frac{\partial}{\partial x_1}, \alpha \neq 0$	$\left(\frac{\alpha(e^{-2\alpha} + 1)x_0 + \alpha^2(e^{-2\alpha} - 1)}{(e^{-2\alpha} - 1)x_0 + \alpha(e^{-2\alpha} + 1)}, x_1 + t \right)$	$\frac{\partial}{\partial x_1}$	$e^{2\alpha x_1} \left(\frac{x_0 + \alpha}{x_0 - \alpha} \right)$
	$\frac{\alpha^2 x_0 x_1 + \alpha}{\alpha x_1 + 1} \frac{\partial}{\partial x_0} + \frac{\partial}{\partial x_1}$	$\left(\left(x_0 \left(x_1 + \frac{1}{\alpha} \right) + \frac{1}{\alpha} - \frac{e^{-\alpha}}{\alpha} \right) \frac{\alpha e^{\alpha t}}{\alpha x_1 + 1 + \alpha t}, x_1 + t \right)$	$\frac{1 + x_0 + \alpha x_0 x_1}{1 + \alpha x_1} \frac{\partial}{\partial x_0}$	$e^{-\alpha x_1} (1 + x_0 + \alpha x_0 x_1)$
	$\frac{(\alpha + 1)x_0 x_1 + \alpha x_0}{x_1 + 1} \frac{\partial}{\partial x_0} + x_1 \frac{\partial}{\partial x_1}$	$\left(\frac{(e^t x_1 + 1)e^{\alpha t}}{x_1 + 1} x_0, e^t x_1 \right)$	$x_0 \frac{\partial}{\partial x_0}$	$\frac{x_1^\alpha (x_1 + 1)}{x_0}$
	$\frac{x_0}{x_1 + 1} \frac{\partial}{\partial x_0} + x_1 \frac{\partial}{\partial x_1}$	$\left(\frac{x_0(x_1 + 1)e^t}{(e^t x_1 + 1)}, e^t x_1 \right)$	$x_0 \frac{\partial}{\partial x_0}$	$\frac{x_1}{x_0(x_1 + 1)}$
	$\frac{x_0^2 - 1/4}{x_1 + 1} \frac{\partial}{\partial x_0} + x_1 \frac{\partial}{\partial x_1}$	$\left(\frac{e^t(4x_0 x_1 + 2x_0 - 1) + 2x_0 + 1}{2(e^t(2x_1 + 1 - 2x_0) + 1 + 2x_0)}, e^t x_1 \right)$	$(1 - 4x_0^2) \frac{\partial}{\partial x_0}$	$\frac{x_1(1 + 2x_0)}{(x_1 + 1)(1 - 2x_0)}$
	$\frac{x_0^2}{x_1} \frac{\partial}{\partial x_0} + x_1 \frac{\partial}{\partial x_1}$	$\left(\frac{x_0 x_1}{x_1 - x_0 + e^{-t} x_0}, e^t x_1 \right)$	$x_0 \frac{\partial}{\partial x_0} + x_1 \frac{\partial}{\partial x_1}$	$\frac{x_0 x_1}{x_1 - x_0}$
	$(x_0^2 - \alpha^2) \frac{\partial}{\partial x_0} + x_1 \frac{\partial}{\partial x_1}, \alpha \neq 0$	$\left(\alpha \frac{(e^{-2\alpha} + 1)x_0 + \alpha(e^{-2\alpha} - 1)}{(e^{-2\alpha} - 1)x_0 + \alpha(e^{-2\alpha} + 1)}, e^t x_1 \right)$	$x_1 \frac{\partial}{\partial x_1}$	$x_1^{2\alpha} \left(\frac{x_0 + \alpha}{x_0 - \alpha} \right)$
	$x_0^2 \frac{\partial}{\partial x_0} + x_1 \frac{\partial}{\partial x_1}$	$\left(\frac{x_0}{1 - t x_0}, e^t x_1 \right)$	$x_0^2 \frac{\partial}{\partial x_0}$	$x_1 \exp\left(\frac{1}{x_0}\right)$
	$\frac{\alpha - x_0 x_1}{x_1 + 1} \frac{\partial}{\partial x_0} + x_1 \frac{\partial}{\partial x_1},$	$\left(\frac{\alpha + x_0(x_1 + 1)}{e^t x_1 + 1}, e^t x_1 \right)$	$\frac{1}{x_1 + 1} \frac{\partial}{\partial x_0}$	$\frac{\exp(x_0(x_1 + 1))}{x_1^\alpha}$
	$\frac{(\beta - 1)x_0 x_1 + \beta x_0 + \alpha}{x_1 + 1} \frac{\partial}{\partial x_0} + x_1 \frac{\partial}{\partial x_1}, \alpha \beta \neq 0$	$\left(\frac{\beta x_0(x_1 + 1) + \alpha - \alpha e^{-\beta t}}{\beta(e^t x_1 + 1)} e^{\beta t}, e^t x_1 \right)$	$\frac{\alpha/\beta + x_0 + x_0 x_1}{x_1 + 1} \frac{\partial}{\partial x_0}$	$\frac{\alpha + \beta x_0 + \beta x_0 x_1}{x_1^\beta}$
$\frac{x_0}{x_1 + 1} \frac{\partial}{\partial x_0} + x_1 \frac{\partial}{\partial x_1}$	$\left(\frac{x_0 + x_0 x_1}{e^t x_1 + 1}, e^t x_1 \right)$	$x_0 \frac{\partial}{\partial x_0}$	$\frac{(x_1 + 1)x_0}{x_1}$	

	champ de vecteurs	flot associé	symétrie forte	IP
Σ^2	$\frac{x_0+x_1^2}{x_1+1} \frac{\partial}{\partial x_0} + x_1 \frac{\partial}{\partial x_1}$	$\left(\frac{x_0+x_0x_1-x_1^2+x_1^2e^t}{e^t x_1+1} e^t, e^t x_1 \right)$	$(x_0 - x_1) \frac{\partial}{\partial x_0}$	$\frac{(x_1+1)(x_0-x_1)}{x_1}$
	$\frac{x_0^2+\beta x_1^2}{x_1} \frac{\partial}{\partial x_0} + x_1 \frac{\partial}{\partial x_1}, \beta \notin \{0, \frac{1}{4}\}$	Ψ_3	$x_0 \frac{\partial}{\partial x_0} + x_1 \frac{\partial}{\partial x_1}$	$x_1 \left(\frac{\sqrt{4\beta-1-i} \left(\frac{2\beta x_1}{x_0} - 1 \right)}{\sqrt{4\beta-1+i} \left(\frac{2\beta x_1}{x_0} - 1 \right)} \right)^{\frac{i}{\sqrt{4\beta-1}}}$
	$\frac{x_0^2+\frac{x_1^2}{4}}{x_1} \frac{\partial}{\partial x_0} + x_1 \frac{\partial}{\partial x_1}$	$\left(\frac{e^t x_1 (2tx_0 - 4x_0 - tx_1)}{2(2tx_0 - tx_1 - 2x_1)}, e^t x_1 \right)$	$x_0 \frac{\partial}{\partial x_0} + x_1 \frac{\partial}{\partial x_1}$	$x_1 \exp\left(\frac{4x_0}{2x_0-x_1}\right)$
	$\frac{x_0+x_1+\mu x_1^2}{x_1+1} \frac{\partial}{\partial x_0} + x_1 \frac{\partial}{\partial x_1}$	$\left(\frac{(x_1(t+\mu e^t x_1)+x_0(x_1+1)-\mu x_1^2)e^t}{e^t x_1+1}, e^t x_1 \right)$	$\frac{x_1}{x_1+1} \frac{\partial}{\partial x_0}$	$x_1 \exp\left(\frac{\mu x_1^2 - x_0 - x_0 x_1}{x_1}\right)$
	$\frac{x_0 x_1}{x_1+b} \frac{\partial}{\partial x_0} + x_1 \frac{\partial}{\partial x_1}$	$\left(\frac{x_0(e^t x_1+b)}{x_1+b}, e^t x_1 \right)$	$x_0 \frac{\partial}{\partial x_0}$	$\frac{x_1+b}{x_0}$
	$\frac{x_0 x_1+x_0}{x_1+1/2} \frac{\partial}{\partial x_0} + x_1 \frac{\partial}{\partial x_1}$	$\left(x_0 e^{2t} \left(\frac{x_1+1/2}{e^t x_1+1/2} \right), e^t x_1 \right)$	$x_0 \frac{\partial}{\partial x_0}$	$\frac{x_0(x_1+\frac{1}{2})}{x_1^2}$
$\frac{x_0 x_1+x_0+x_1^2}{x_1+1/2} \frac{\partial}{\partial x_0} + x_1 \frac{\partial}{\partial x_1}$	$\left(\frac{(2tx_1^2+x_0(2x_1+1))e^{2t}}{2e^t x_1+1}, e^t x_1 \right)$	$\frac{x_1^2}{2x_1+1} \frac{\partial}{\partial x_0}$	$\frac{1}{x_1^2} \exp\left(\frac{(2x_1+1)x_0}{x_1^2}\right)$	

$$\Psi_3 = \left(-\frac{e^{-(1+\alpha)t/2} (x_0(1+\alpha) - 2\beta x_1) + e^{((\alpha-1)t/2)} (x_0(\alpha-1) + 2\beta x_1)}{e^{-(1+\alpha)t/2} (x_1(1-\alpha) - 2x_0) + e^{((\alpha-1)t/2)} (2x_0 - x_1(1+\alpha))} x_1 e^t, x_1 e^t \right) \text{ et } \alpha = \sqrt{1-4\beta}$$

	champ de vecteurs	flot associé	symétrie forte	IP
Σ^3	$\frac{x_0^2 - \frac{1}{4}}{x_1} \frac{\partial}{\partial x_0} + \frac{\partial}{\partial x_1}$	$\left(\frac{(t+2x_1)x_0 - \frac{t}{2}}{-2tx_0 + t + 2x_1}, x_1 + t \right)$	$(x_0^2 - \frac{1}{4}) \frac{\partial}{\partial x_0}$	$\frac{2x_0 - 1}{x_1(2x_0 + 1)}$
	$\frac{x_0^2 - 1/4 + \alpha x_1^2}{x_1} \frac{\partial}{\partial x_0} + \frac{\partial}{\partial x_1}, \alpha \neq 0$	Ψ_2	$\frac{x_0 - 1/2}{x_1} \frac{\partial}{\partial x_0} + \frac{\partial}{\partial x_1}$	$\frac{2x_0 - 1 + 2i\sqrt{\alpha}x_1}{2x_0 - 1 - 2i\sqrt{\alpha}x_1} \exp(2i\sqrt{\alpha}x_1)$
	$\frac{x_0^2 + \frac{x_1}{2} + \frac{x_1^2}{4}}{x_1 + 1} \frac{\partial}{\partial x_0} + x_1 \frac{\partial}{\partial x_1}$	$\left(\frac{(2e^t tx_0 x_1 - e^t tx_1^2 - 4e^t x_0 x_1 - 2e^t x_1 - 4x_0 + 2x_1)}{2(-2x_1 - 2 + 2tx_0 - tx_1)}, e^t x_1 \right)$	$\frac{-x_0^2 - \frac{x_1^2}{4} + x_0 x_1}{x_1 + 1} \frac{\partial}{\partial x_0}$	$x_1 \exp\left(\frac{2(x_1 + 1)}{2x_0 - x_1}\right)$
$\frac{x_0^2 - \frac{1}{4} + \alpha(x_1 + 1)^2}{x_1 + 1} \frac{\partial}{\partial x_0} + x_1 \frac{\partial}{\partial x_1},$ $\alpha \notin \{0, \frac{1}{4}\}$	Ψ_4	$\frac{(x_0 + \frac{1}{2})x_1}{x_1 + 1} \frac{\partial}{\partial x_0} + x_1 \frac{\partial}{\partial x_1}$	$\frac{2\beta(x_1 + 1) - i(2x_0 - x_1)}{2\beta(x_1 + 1) + i(2x_0 - x_1)} x_1^{2i\beta},$ $\beta = \sqrt{4\alpha - 1}/2$	

avec

$$\Psi_2 = \left(\frac{2\sqrt{\alpha} \cos(\sqrt{\alpha}t)(2tx_0 - t + 2x_1x_0) + \sin(\sqrt{\alpha}t)(1 - 2x_0 + 4\alpha tx_1 + 4\alpha x_1^2)}{2(2x_1\sqrt{\alpha} \cos(\sqrt{\alpha}t) + \sin(\sqrt{\alpha}t)(1 - 2x_0))}, x_1 + t \right),$$

$$\Psi_4 = \left(\frac{\sin(\beta t)(e^t x_1(x_1 - 2x_0) + 4\beta^2(x_1 + 1)(e^t x_1 + 1)) + 2\beta \cos(\beta t)((e^t - 1)x_1 + 2(e^t x_1 + 1)x_0)}{2(2\beta \cos(\beta t)(x_1 + 1) + \sin(\beta t)(x_1 - 2x_0))}, e^t x_1 \right), \quad \beta = \sqrt{4\alpha - 1}/2.$$

L'examen au cas par cas de tous les modèles de flots birationnels quadratiques (*c.f.* tableaux) montre que la dimension de l'espace des symétries fortes est supérieure ou égale à 2. Nous pouvons donc maintenant préciser l'énoncé 2.11.

Théorème 2.68. — Soit ϕ_t un flot birationnel quadratique de générateur infinitésimal χ . Alors la dimension de $G(\chi)$ est supérieure ou égale à 2.

Remarques 2.69. —

- Ceci généralise le fait suivant : les groupes abéliens maximaux de $\mathrm{PGL}_3(\mathbb{C})$ sont de dimension 2.
- Il y a des exemples où $\dim G(\chi) \geq 3$, par exemple pour $\chi = x_1^2 \frac{\partial}{\partial x_0}$.
- L'éventualité *i.* du Théorème 2.11 ne se présente donc pas. Toutefois l'alternative a été utilisée dans les preuves.

Remarque 2.70. — On constate en fait a posteriori que si ϕ_t est un germe de flot alors pour (x_0, x_1) générique fixé, l'application $t \mapsto \phi_t(x_0, x_1)$ est une fonction méromorphe globale.

Remarque 2.71. — On vérifie sur chaque exemple que si m_t est un point d'indétermination mobile alors m_t paramètre une feuille de \mathcal{F}_χ . En fait soit \mathcal{D}_0 une droite telle que $\phi_{-t}(\mathcal{D}_0) = m_t$ et fixons une valeur t_0 de t ; on a $m_t = \phi_{-t}(\mathcal{D}_0) = \phi_{t_0-t}(m_0)$ ce qui confirme l'affirmation ci-dessus.

Remarque 2.72. — Les configurations de droites contractées et points éclatés qu'on a rencontrées sont les suivantes (chaque configuration est précisée avec un exemple)

- une droite immobile, un point immobile

$$((tx_2^2 + x_0x_1)e^{-t} : e^t x_1^2 : x_1x_2);$$

- une droite immobile, une droite mobile, deux points immobiles

$$(x_0x_2 : x_1(x_2 - tx_0) : x_2(x_2 - tx_0));$$

- une droite immobile, une droite mobile, un point immobile, un point mobile

$$(x_0x_1 : (x_1 + tx_2)^2 : x_2(x_1 + tx_2));$$

- une droite immobile, deux droites mobiles, deux points immobiles, un point mobile

$$(e^t(4x_0x_1 + 2x_0x_2 - x_2^2) + x_2(2x_0 + x_2) : 2e^t x_1 P : 2x_2 P),$$

$$\text{avec } P = e^t(2x_1 + x_2 - 2x_0) + x_2 + 2x_0.$$

Remarque 2.73. — Soit f une transformation birationnelle quadratique non périodique telle que, pour tout n dans \mathbb{N} , l'élément f^n soit encore dans Bir_2 . Alors $G = \overline{\langle f^{\bullet n} \rangle}^Z$ est un groupe algébrique abélien non dénombrable. Le groupe G a un nombre fini de composantes connexes. Comme dans un groupe de LIE abélien connexe l'application exponentielle est surjective, il y a un itéré f^ℓ de f qui se plonge dans un flot ; par suite f^ℓ préserve une fibration en droites.

Problème. L'adhérence dans $\overline{\text{Bir}}_2$ de l'ensemble des flots birationnels quadratiques forme une variété algébrique singulière invariante sous l'action dynamique de $\text{PGL}_3(\mathbb{C})$. On peut s'interroger sur la nature de cette variété.

CHAPITRE 3

TRANSFORMATIONS RATIONNELLES, FEUILLETAGES, CONJUGAISON DANS LES Σ^i

3.1. Généralités

Un feuilletage de degré v sur $\mathbb{P}^2(\mathbb{C})$ est donné par une 1-forme différentielle homogène

$$\omega = F_0 dx_0 + F_1 dx_1 + F_2 dx_2,$$

les F_i désignant des éléments de $\mathbb{C}[x_0, x_1, x_2]_{v+1}$ satisfaisant

$$\text{pgcd}(F_0, F_1, F_2) = 1 \quad \text{et} \quad x_0 F_0 + x_1 F_1 + x_2 F_2 = 0 \text{ (identité d'EULER).}$$

Le lieu singulier $\text{Sing } \mathcal{F}_\omega$ du feuilletage \mathcal{F}_ω associé à ω est le projectivisé de

$$\text{Sing } \omega := \{F_0 = F_1 = F_2 = 0\}.$$

L'identité d'EULER montre que cet ensemble est toujours non vide ; plus précisément

$$\# \text{Sing } \mathcal{F}_\omega = v^2 + v + 1,$$

chaque point singulier étant compté avec multiplicité ([Sai76]).

Remarquons que le théorème de division de DE RHAM-SAITO ([Sai76]) sous sa version la plus élémentaire implique l'existence de polynômes homogènes G_0 , G_1 et G_2 de degré v tels que l'on ait avec des notations évidentes

$$\begin{bmatrix} F_0 \\ F_1 \\ F_2 \end{bmatrix} = \begin{bmatrix} x_0 \\ x_1 \\ x_2 \end{bmatrix} \wedge \begin{bmatrix} G_0 \\ G_1 \\ G_2 \end{bmatrix}.$$

Évidemment les coefficients de la 2-forme $d\omega$ produisent en fait directement ces G_i .

Une courbe C d'équation réduite $h = 0$ est dite invariante par le feuilletage \mathcal{F}_ω si la 2-forme $\omega \wedge dh$ est divisible par h .

On note \mathcal{F}_v le projectivisé de l'espace vectoriel des formes ω satisfaisant l'identité d'EULER

$$\mathcal{F}_v = \mathbb{P}\{\omega = F_0 dx_0 + F_1 dx_1 + F_2 dx_2 \mid x_0 F_0 + x_1 F_1 + x_2 F_2 = 0, \deg F_i = v + 1\}.$$

À chaque élément de \mathcal{F}_v on peut associer un feuilletage de degré inférieur ou égal à v défini par $\frac{\omega}{\text{pgcd}(F_0, F_1, F_2)}$. L'espace des feuilletages de degré inférieur ou égal à v est noté \mathcal{F}_v^\bullet ; les

feuilletages de degré précisément v correspondent aux formes ω telles que $\text{pgcd}(F_0, F_1, F_2) = 1$. Il s'agit donc d'un ouvert de ZARISKI noté $\overset{\circ}{\mathcal{F}}_v$. L'application naturelle

$$\overset{\circ}{\mathcal{F}}_v \rightarrow \mathcal{F}_v^\bullet$$

est injective ce qui permettra des abus de langage.

À toute transformation rationnelle f on peut associer un feuilletage $\mathcal{F}(f)$ de la façon suivante

$$f = (f_0 : f_1 : f_2) \mapsto \mathcal{F}(f) = (x_1 f_2 - x_2 f_1) dx_0 + (x_2 f_0 - x_0 f_2) dx_1 + (x_0 f_1 - x_1 f_0) dx_2$$

Proposition 3.1. — Soient f une transformation de CREMONA et $\mathcal{F}(f)$ le feuilletage associé. Si A est un automorphisme de $\mathbb{P}^2(\mathbb{C})$, alors $\mathcal{F}(A^{-1}fA) = A^*\mathcal{F}(f)$.

Démonstration. — Le feuilletage $\mathcal{F}(f)$ est déterminé par les champs de vecteurs associés à id et f ; son conjugué $A^*\mathcal{F}(f)$ est donc donné par $A^{-1}\text{id}A = \text{id}$ et $A^{-1}fA$. Or ces deux champs sont tangents au feuilletage $\mathcal{F}(A^{-1}fA)$ d'où le résultat. \square

Soit f un élément du groupe de CREMONA; un **point fixe** de f est un point p tel que p n'appartienne pas à $\text{Ind } f \cup \text{Ind } f^{-1}$ et $f(p) = p$. On note $\text{Fix } f$ l'ensemble des points fixes de f . Si f est un endomorphisme de $\mathbb{P}^2(\mathbb{C})$, *i.e.* une application rationnelle dont l'ensemble d'indétermination est vide, $\text{Fix } f$ est l'ensemble des points fixes au sens usuel, *i.e.*

$$\text{Fix } f = \{m \in \mathbb{P}^2(\mathbb{C}) \mid f(m) = m\}.$$

Exemple. — La transformation $f = (x_0^2 : x_1^2 : x_2^2)$ définit un endomorphisme quadratique du plan projectif complexe ayant sept points fixes, qui sont exactement les points singuliers de son feuilletage associé $\mathcal{F}(f)$.

Par suite ce phénomène persiste pour une transformation rationnelle générique.

Exemple. — L'involution de CREMONA compte trois points d'indétermination

$$(1 : 0 : 0), \quad (0 : 1 : 0), \quad (0 : 0 : 1)$$

et quatre points fixes

$$(1 : 1 : 1), \quad (1 : -1 : 1), \quad (-1 : 1 : 1), \quad (1 : 1 : -1).$$

Le feuilletage associé $\mathcal{F}(\sigma)$ est donné par la forme

$$\begin{aligned} & x_0(x_2^2 - x_1^2)dx_0 + x_1(x_0^2 - x_2^2)dx_1 + x_2(x_1^2 - x_0^2)dx_2 \\ &= \frac{1}{2}(x_0^2, x_1^2, x_2^2)^*((x_2 - x_1)dx_0 + (x_0 - x_2)dx_1 + (x_1 - x_0)dx_2). \end{aligned}$$

On en déduit qu'il possède l'intégrale première $\frac{x_0^2 - x_2^2}{x_1^2 - x_2^2}$. Le feuilletage associé $\mathcal{F}(\sigma)$ est de degré 2; il possède 7 points singuliers qui sont exactement les points fixes et les points d'indétermination de σ . On en déduit la :

Proposition 3.2. — *Si f est une transformation birationnelle quadratique générique $\mathcal{F}(f)$ possède 7 points singuliers distincts ; quatre sont des points fixes de f , les trois autres sont des points d'indétermination.*

Exemple. — Considérons maintenant l'involution f de Σ^3 donnée par $f = (x_0x_2 : x_1x_2 : x_0x_1)$. On a

$$\text{Ind } f = \text{Ind } f^{-1} = \{(1 : 0 : 0), (0 : 1 : 0), (0 : 0 : 1)\}.$$

L'ensemble des points fixes de f est précisément la conique $\{x_2^2 - x_0x_1 = 0\}$ privée des deux points $(1 : 0 : 0)$ et $(0 : 1 : 0)$ qui sont d'indétermination. En fait f est bien défini en restriction à la conique $\overline{\text{Fix } f}$ sur laquelle elle coïncide avec l'identité.

Dans une telle situation nous dirons que f possède une *courbe de points fixes*.

Notons que le feuilletage $\mathcal{F}(f)$ est ici le feuilletage en droites $\frac{x_1}{x_0} = \text{cte}$ dont la seule singularité est le point $(0 : 0 : 1)$.

Proposition 3.3. — *Soient f un élément du groupe de CREMONA et $\mathcal{F}(f)$ le feuilletage associé à f . La transformation f a une courbe de points fixes si et seulement si $\deg \mathcal{F}(f) < \deg f$.*

Si C est une courbe de points fixes de f alors $\deg C \leq 2$.

Démonstration. — On écrit f sous la forme $(f_0 : f_1 : f_2)$; dire que $\deg \mathcal{F}(f) < \deg f$ c'est dire que la 1-forme

$$\omega = (x_1f_2 - x_2f_1)dx_0 + (x_2f_0 - x_0f_2)dx_1 + (x_0f_1 - x_1f_0)dx_2$$

est divisible par un polynôme homogène φ de degré strictement supérieur à 1. La courbe $\varphi = 0$ est visiblement une courbe de points fixes (un calcul immédiat montre que $\varphi = 0$ ne peut pas être contractée).

On peut écrire $\omega = \varphi\omega'$, la forme ω' s'annulant sur un ensemble de codimension 2 (une union de droites). Comme ω et donc ω' annulent le champ radial on a $1 \leq \deg \varphi \leq 2$. \square

Les points fixes peuvent être de multiplicité strictement supérieure à 1 : ainsi la transformation $(x_0^2 + x_1x_2 : x_1^2 + x_0x_2 : x_2^2 - x_0x_1)$ compte trois points d'indétermination

$$(1 : 1 : -1), \quad \left(1 - i\sqrt{3} : 1 + i\sqrt{3} : 2\right), \quad \left(1 + i\sqrt{3} : 1 - i\sqrt{3} : 2\right),$$

et trois points fixes $(1 : 0 : 0)$, $(0 : 1 : 0)$, $(0 : 0 : 1)$; on peut vérifier que $(0 : 0 : 1)$ est double. La transformation

$$f = (x_0(x_2 - x_1) : x_1(x_2 - x_0) : x_2^2 + \alpha x_1x_2 + \beta x_0x_2 - (1 + \alpha + \beta)x_0x_1)$$

satisfait

$$\text{Ind } f = \{(1 : 0 : 0), (0 : 1 : 0), (1 : 1 : 1)\}, \quad \text{Fix } f = \{(0 : 0 : 1)\}$$

et $(0 : 0 : 1)$ est de multiplicité 4. Les droites d'équation $x_0 = x_2$, $x_1 = x_2$ et $x_1 = x_0 - x_2$ sont contractées et celles d'équation $x_0 = 0$, $x_1 = 0$ et $x_1 = x_0$ sont invariantes. On peut vérifier qu'un point fixe peut aussi être de multiplicité 3.

En général un élément f du groupe de CREMONA ne préserve pas son feuilletage associé ; il en est ainsi pour l'involution de CREMONA. Ceci signifie en un certain sens qu'il n'y a pas de lien dynamique entre f et $\mathcal{F}(f)$. Il y a quelque cas spéciaux intéressants. Supposons que f préserve une fibration ℓ en droites fibre à fibre, *i.e.* $\ell \circ f = \ell$; on peut se ramener à $\ell = \frac{x_1}{x_0}$. Alors f s'écrit

$$f = (x_0\varphi : x_1\varphi : \psi), \quad \deg \psi = \deg \varphi + 1.$$

Un calcul élémentaire montre que $\mathcal{F}(f)$ est la fibration $\frac{x_1}{x_0} = \text{cte}$, et dans ce cas f préserve le feuilletage $\mathcal{F}(f)$. On peut démontrer (c'est long et fastidieux) que dans le cas quadratique c'est la seule possibilité : si $f \in \mathring{\text{Bir}}_2$ laisse $\mathcal{F}(f)$ invariant f préserve une fibration en droites fibre à fibre.

Toutefois certains invariants de $\mathcal{F}(f)$, en particulier aux points singuliers, vont posséder une traduction naturelle pour f .

3.2. Transformations birationnelles quadratiques et feuilletages

Lorsque $n = 2$ on a $\text{Rat}_2 \simeq \mathbb{P}^{17}(\mathbb{C})$ et $\mathcal{F}_2 \simeq \mathbb{P}^{14}(\mathbb{C})$; ainsi l'application $f \mapsto \mathcal{F}(f)$ induit une application linéaire notée encore $\mathcal{F}(\cdot)$ de $\mathbb{P}^{17}(\mathbb{C})$ dans $\mathbb{P}^{14}(\mathbb{C})$. Nous allons démontrer que l'application $\mathcal{F}(\cdot)$ est dominante en restriction à Bir_2 .

Pour cela on se donne un feuilletage \mathcal{F} générique au sens où son ensemble singulier $\text{Sing } \mathcal{F}$ est constitué de 7 points en position générale (pas d'alignement 3 à 3). Comme on l'a dit on peut trouver une transformation quadratique $F = (F_0 : F_1 : F_2)$ telle que \mathcal{F} soit défini par

$$(x_1F_2 - x_2F_1)dx_0 + (x_2F_0 - x_0F_2)dx_1 + (x_0F_1 - x_1F_0)dx_2;$$

l'ensemble $\text{Sing } \mathcal{F}$ est alors précisément l'ensemble des points m pour lesquels il existe η dans \mathbb{C} tels que $F(m) = \eta m$. Choisissons trois points m_1, m_2 et m_3 dans $\text{Sing } \mathcal{F}$. Comme les m_i ne sont pas alignés on peut trouver ℓ une forme linéaire telle qu'avec les notations ci-dessus $\ell(m_i) = -\eta_i$; l'application $f = F + \ell \text{id}$ satisfait $\mathcal{F}(f) = \mathcal{F}(F) = \mathcal{F}$ et les points m_i sont d'indétermination pour f . En particulier f est birationnelle. On en déduit que la restriction de $\mathcal{F}(\cdot)$ à Bir_2 est dominante et par suite à fibre générique finie puisque $\dim \text{Bir}_2 = \dim \mathcal{F}_2$.

On sait d'après [GMK89] qu'un feuilletage de degré 2 est déterminé par la position de ses 7 points singuliers et que toute configuration générique est réalisée. On hérite d'une propriété analogue pour les éléments de Σ^3 .

Proposition 3.4. — *Une transformation birationnelle quadratique générique est déterminée par la position de ses points d'indétermination et de ses points fixes.*

Démonstration. — Si Q_1 et Q_2 ont trois points d'indétermination communs on peut supposer qu'elles sont du type $A_1\sigma$ et $A_2\sigma$; si de plus elles ont les mêmes points fixes, on a, puisque les sept points sont en position générale, $\mathcal{F}(Q_1) = \mathcal{F}(Q_2)$. Il existe donc η dans \mathbb{C} et ℓ une forme linéaire tels que $(A_1 - \eta A_2)\sigma = \ell \cdot \text{id}$. Un calcul direct montre que $\ell = 0$ et donc $Q_1 = Q_2$. \square

On en déduit que la fibre générique de l'application

$$\mathcal{F}(\cdot)|_{\text{Bir}_2} : \text{Bir}_2 \rightarrow \mathcal{F}_2$$

a exactement $35 = C_7^3$ points ; il s'agit en effet de désigner parmi 7 points 3 points d'indétermination.

Remarquons que $\mathcal{F}(\cdot)$ a des fibres non finies. Par exemple si $\tilde{\mathcal{F}}$ est le feuilletage donné par $x_1 dx_0 - x_0 dx_1$ qui définit la fibration $x_1/x_0 = \text{cte}$, toutes les transformations qui laissent invariante fibre à fibre cette fibration sont dans $\mathcal{F}^{-1}(\tilde{\mathcal{F}})$; en particulier toutes les transformations $A\sigma$ de la forme

$$(*x_1x_2 + *x_0x_2 : *x_1x_2 + *x_0x_2 : *x_1x_2 + *x_0x_2 + *x_0x_1)$$

sont dans cette fibre.

Il y a aussi des fibres multiples *i.e.* ayant moins de 35 points. C'est le cas de $\mathcal{F}^{-1}(\mathcal{F}(\sigma))$ que nous allons déterminer. Remarquons qu'un élément de $\mathcal{F}^{-1}(\mathcal{F}(\sigma))$ est nécessairement dans Σ^3 , *i.e.* du type $A\sigma B$. Ainsi les éléments Q_i de $\mathcal{F}^{-1}(\mathcal{F}(\sigma))$ sont du type

$$Q_i = A_i\sigma B_i = \sigma + (x_0\ell_i : x_1\ell_i : x_2\ell_i), \quad A_i, B_i \in \text{PGL}_3(\mathbb{C}), \ell_i \text{ forme linéaire.}$$

On obtient donc la :

Proposition 3.5. — *L'ensemble $\mathcal{F}^{-1}(\mathcal{F}(\sigma))$ est constitué des transformations birationnelles quadratiques suivantes*

$$Q_0 = \sigma, \quad Q_1 = \sigma + (x_0 + x_1 + x_2)\text{id}, \quad Q_2 = \sigma + (x_0 - x_1 - x_2)\text{id},$$

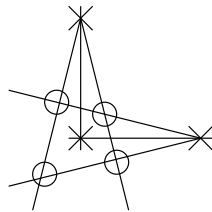
$$Q_3 = \sigma + (-x_0 - x_1 + x_2)\text{id}, \quad Q_4 = \sigma + (-x_0 + x_1 - x_2)\text{id}.$$

Remarquons que les Q_i sont conjugués entre eux par des éléments qui commutent avec σ

$$Q_2 = (-x_0 : x_1 : x_2)Q_1(-x_0 : x_1 : x_2), \quad Q_3 = (x_0 : x_1 : -x_2)Q_1(x_0 : x_1 : -x_2),$$

$$Q_4 = (x_0 : -x_1 : x_2)Q_1(x_0 : -x_1 : x_2).$$

La configuration des points fixes et d'indétermination de σ est schématisée par la figure suivante :



où les croix représentent les points d'indétermination et les cercles les points fixes.

Remarque 3.6. — Soit f dans Bir_2 telle que $\deg \mathcal{F}(f) = 2$. Supposons que trois points fixes de f soient alignés, par exemple situés sur la droite $x_2 = 0$; alors $\mathcal{F}(f)$ a trois points singuliers sur $x_2 = 0$ qui est donc invariante par $\mathcal{F}(f)$. Ceci implique que $x_2 = 0$ est aussi invariante par f ; la restriction de f à $x_2 = 0$ s'identifie à une transformation de MÖBIUS avec trois points fixes c'est donc l'identité. Par suite la droite $x_2 = 0$ est une courbe de points fixes de f .

Revenons à la figure ci-dessus. Si f est un élément de $\mathcal{F}^{-1}(\mathcal{F}(\sigma))$ alors

$$\text{Fix } f \cup \text{Ind } f = \text{Fix } \sigma \cup \text{Ind } \sigma$$

avec les contraintes suivantes : trois points de $\text{Ind } f$ (resp. $\text{Fix } f$) ne peuvent être alignés. On retrouve ainsi $\#\mathcal{F}^{-1}(\mathcal{F}(\sigma)) = 5$.

Des arguments du même ordre montrent que $\#\mathcal{F}^{-1}(\mathcal{F}(\rho)) = 15$. Notons que dans $\mathcal{F}^{-1}(\mathcal{F}(\tau))$ on trouve à la fois des éléments de Σ^1 (par exemple τ , $\tau - x_2 \text{id}$, $\tau + x_2 \text{id}$) et des éléments de Σ^2 comme $\tau + (-2x_1 + x_2) \text{id}$. Ainsi la donnée du feuilletage $\mathcal{F}(f)$ ne permet pas la détermination de l'orbite g.d. de f .

3.3. Relations de type LEFSCHETZ, BAUM-BOTT

Certains invariants de conjugaison initialement introduits pour les feuilletages s'adaptent aux transformations birationnelles. En 2004 GUILLOT a montré le :

Théorème 3.7 ([Gui04]). — Soit B un polynôme sur l'espace des transformations linéaires de \mathbb{C}^n , homogène de degré $v \leq n$ et invariant par conjugaison. Soit $f : \mathbb{P}^n(\mathbb{C}) \rightarrow \mathbb{P}^n(\mathbb{C})$ une fonction rationnelle de degré algébrique $d \geq 2$ définie en tout point et dont les points fixes sont isolés et simples. Alors

$$\sum_{x \in \text{Fix } f} \frac{B(Df_{(x)} - \text{id})}{\det(Df_{(x)} - \text{id})}$$

est un complexe qui ne dépend que du polynôme B et des entiers n et d .

Lorsque $B = 1$ on retrouve un cas particulier du théorème de LEFSCHETZ suivant.

Théorème 3.8 ([Lef37, GH94]). — Soient M une variété complexe compacte de dimension n et f une application holomorphe de M dans elle-même dont les points fixes sont simples et isolés. Alors

$$\sum_{x \in \text{Fix } f} \frac{1}{\det(Df_{(x)} - \text{id})} = (-1)^n L(f, 0)$$

où $L(f, 0)$ est le nombre de LEFSCHETZ qui ne dépend que de l'action de f sur la cohomologie de DOLBEAULT de M .

Pour un endomorphisme f de $\mathbb{P}^n(\mathbb{C})$ vérifiant les hypothèses précédentes, la quantité $(-1)^n L(f, 0)$ vaut $(-1)^n$ (voir [GH94]).

Comme l'indique GUILLOT le théorème s'adapte aux transformations birationnelles ayant des points d'indétermination simples pourvu que le degré de B soit inférieur ou égal à 1. En effet en un tel point on peut considérer les valeurs propres comme infinies. On obtient en particulier le :

Théorème 3.9. — Soit f un élément de Σ^3 ayant quatre points fixes en position générale ; alors

$$(3.3.1) \quad \sum_{x \in \text{Fix} f} \frac{\text{tr}(Df_{(x)} - \text{id})}{\det(Df_{(x)} - \text{id})} = -4 \quad \text{et} \quad \sum_{x \in \text{Fix} f} \frac{1}{\det(Df_{(x)} - \text{id})} = 1.$$

Démonstration. — Il suffit de le vérifier pour l'involution σ de CREMONA. \square

Remarque 3.10. — Si f satisfait les hypothèses du théorème, en chaque point fixe m , on a deux valeurs propres $\delta_1(m)$, $\delta_2(m)$ pour $Df_{(m)}$. Il y a donc en tout 8 valeurs propres qui sont reliées par les relations (3.3.1). Ces valeurs propres sont invariantes par conjugaison dynamique et on sait que l'orbite dynamique d'un élément générique de Σ^3 est de codimension 6 (voir Chapitre 1). Nous verrons que la donnée de trois couples de valeurs propres génériques peut être réalisée (démonstration du Théorème 3.21).

De plus on a le :

Théorème 3.11 ([Gui07]). — Les relations (3.3.1) sont « les seules relations » entre les valeurs propres aux points fixes d'un élément générique de Σ^3 .

La multiplicité des points fixes d'une transformation birationnelle se lit sur celle du feuilletage associé. Par exemple on a la proposition suivante dont la preuve est élémentaire.

Proposition 3.12. — Soient f une transformation birationnelle de $\mathbb{P}^2(\mathbb{C})$ et m un point fixe de f . On note δ_1 et δ_2 les valeurs propres de la partie linéaire de f en m . Si les δ_i sont distinctes de 1, le point m est une singularité non dégénérée (i.e. de multiplicité 1) du feuilletage $\mathcal{F}(f)$ associé à f .

En appliquant le Théorème 3.7 pour $B = \text{tr}$, on obtient le :

Corollaire 3.13. — Soit f une transformation de Σ^3 ayant quatre points fixes distincts. Les valeurs propres de la partie linéaire de f aux points fixes ne peuvent pas toutes être de module strictement inférieur à 1; autrement dit les points fixes ne peuvent pas tous être des attracteurs.

Démonstration. — D'après le Théorème 3.9, on a

$$(3.3.2) \quad \sum_{m \in \text{Fix} f} \frac{\text{tr}(Df_{(m)} - \text{id})}{\det(Df_{(m)} - \text{id})} = -4$$

Notons $\delta_1(m)$, $\delta_2(m)$ les valeurs propres de $Df_{(m)}$; on remarque que (3.3.2) se réécrit

$$(3.3.3) \quad \sum_{m \in \text{Fix } f} \frac{1}{1 - \delta_1(m)} + \frac{1}{1 - \delta_2(m)} = 4.$$

Pour $j = 1, 2$ posons $\eta_j(m) := (1 - \delta_j(m))^{-1}$ puis $\eta_j(m) = y_j(m) + iz_j(m)$. L'égalité (3.3.3) est équivalente à

$$\sum_{m \in \text{Fix } f} \sum_{j=1}^2 y_j(m) = 4, \quad \sum_{m \in \text{Fix } f} \sum_{j=1}^2 z_j(m) = 0$$

Supposons que pour tout point fixe m de f on ait $|\delta_1(m)|, |\delta_2(m)| \leq 1$; les $1 - \delta_j(m)$ sont alors dans le disque de rayon 1 centré en 1. Par l'application $w \mapsto 1/w$ ce disque est transformé en le demi-plan $\text{Re } w \geq 1/2$. De sorte que

$$y_1(m) \geq \frac{1}{2}, \quad y_2(m) \geq \frac{1}{2}, \quad \forall m \in \text{Fix } f;$$

il en résulte que $|\delta_1(m)| = |\delta_2(m)| = 1$ pour tout point fixe m de f . \square

Par contre on peut produire des exemples où les points fixes sont soit contractants, soit dilatants (*i.e.* aucun des points fixes n'est hyperbolique). De même il existe des exemples où toutes les valeurs propres sont de module 1.

Soit \mathcal{F} un feuilletage sur $\mathbb{P}^2(\mathbb{C})$. Plaçons-nous dans \mathbb{C}^2 , carte affine de $\mathbb{P}^2(\mathbb{C})$; on désigne par χ un champ polynomial définissant \mathcal{F} et par m un point singulier de \mathcal{F} . La matrice jacobienne de χ au point m , notée $\text{jac } \chi(m)$, appartient à $M_2(\mathbb{C})$ et admet 2 valeurs propres $\eta_1(m)$ et $\eta_2(m)$. La quantité

$$\text{BB}(\mathcal{F}(m)) = \frac{\text{tr}^2(\text{jac } \chi(m))}{\det(\text{jac } \chi(m))} = \frac{\eta_1(m)}{\eta_2(m)} + \frac{\eta_2(m)}{\eta_1(m)} + 2$$

ne dépend pas du choix du champ ([GMI97]); c'est l'**indice de BAUM-BOTT** de \mathcal{F} au point m (voir [BB72]).

Lemme 3.14. — Soient f, g deux transformations rationnelles quadratiques génériques et $\mathcal{F}(f)$, $\mathcal{F}(g)$ les feuilletages induits par f et g . Soit m (resp. p) un point fixe pour f (resp. g). Supposons que $f_{,m}$ et $g_{,p}$ soient holomorphiquement conjugués; alors

$$\text{BB}(\mathcal{F}(f)(m)) = \text{BB}(\mathcal{F}(g)(p)).$$

La condition de généralité est en particulier nécessaire pour que les indices de BAUM-BOTT soient bien définis.

Démonstration. — C'est un calcul immédiat. Quitte à faire une translation on peut supposer que $m = p = (0 : 0 : 1)$. Dans la carte affine $x_2 = 1$, la transformation f s'écrit

$$(a_0x_0 + a_1x_1, b_0x_0 + b_1x_1) + \text{termes de plus haut degré}$$

ce qui en d'autres termes dit que f est du type suivant

$$(x_2^{n-1}(a_0x_0 + a_1x_1) + x_2^{n-2}q_2 + \dots + q_n : x_2^{n-1}(b_0x_0 + b_1x_1) + x_2^{n-2}r_2 + \dots + r_n : x_2^n + x_2^{n-1}s_1 + \dots + s_n)$$

avec q_i, r_i, s_i dans $\mathbb{C}[x_0, x_1]_i$.

Ainsi

$$\mathrm{tr}(\mathrm{jac} f_{(0)}) = a_0 + a_1, \quad \det(\mathrm{jac} f_{(0)}) = a_0 b_1 - a_1 b_0.$$

Le feuilletage $\mathcal{F}(f)$ est décrit dans la carte affine $x_2 = 1$ par

$$\omega = (x_1 - b_0 x_0 - b_1 x_1) dx_0 + (a_0 x_0 + a_1 x_1 - x_0) dx_1 + \text{termes de plus haut degré.}$$

Ici encore intervient la condition de généralité : si $\omega = a dx_0 + b dx_1$ alors $\mathrm{pgcd}(a, b) = 1$. Il en résulte que

$$\begin{aligned} \mathrm{BB}(\mathcal{F}(f)(0)) &= \frac{(a_0 + b_1 - 2)^2}{(a_0 - 1)(b_1 - 1) - a_1 b_0} \\ &= (\mathrm{tr}(\mathrm{jac} f_{(0)}) - 2)^2 (\det(\mathrm{jac} f_{(0)}) - \mathrm{tr}(\mathrm{jac} f_{(0)}) + 1)^{-1}. \end{aligned}$$

Puisque $f_{,0}$ et $g_{,0}$ sont holomorphiquement conjugués, on a les égalités

$$\mathrm{tr}(\mathrm{jac} f_{(0)}) = \mathrm{tr}(\mathrm{jac} g_{(0)}), \quad \det(\mathrm{jac} f_{(0)}) = \det(\mathrm{jac} g_{(0)});$$

par suite $\mathrm{BB}(\mathcal{F}(f)(0)) = \mathrm{BB}(\mathcal{F}(g)(0))$. □

Pour tout feuilletage générique \mathcal{F} de degré d sur $\mathbb{P}^2(\mathbb{C})$, on a ([**BB72**])

$$\sum_{m \in \mathrm{Sing} \mathcal{F}} \mathrm{BB}(\mathcal{F}(m)) = (d + 2)^2.$$

On en déduit une formule pour tout Q générique dans Rat_2 tel que $\deg \mathcal{F}(Q) = 2$

$$(3.3.4) \quad \sum_{m \in \Omega} \frac{\mathrm{tr}^2(\mathrm{jac} \chi_Q(m))}{\det(\mathrm{jac} \chi_Q(m))} = 16$$

où $\Omega = \mathrm{Ind} Q \cup \mathrm{Fix} Q$ et χ_Q désigne un champ local définissant le feuilletage $\mathcal{F}(Q)$ en m .

De la même manière que précédemment cette formule est valable pour tout élément générique de Σ^3 .

Remarque 3.15. — La formule (3.3.4) n'est pas valable pour les éléments Q de Σ^2 et Σ^1 : au point base m de multiplicité strictement supérieure à 1, la quantité $\frac{\mathrm{tr}^2(\mathrm{jac} \chi_Q(m))}{\det(\mathrm{jac} \chi_Q(m))}$ n'est pas bien définie.

3.4. Conjugaison birationnelle entre éléments de $\mathrm{PGL}_3(\mathbb{C})$

Le problème de la classification des automorphismes de $\mathbb{P}^2(\mathbb{C})$ modulo conjugaison birationnelle est traité dans [**Bla06**]; l'auteur y démontre que tout automorphisme de $\mathbb{P}^2(\mathbb{C})$ est birationnellement conjugué à une transformation diagonale $(\alpha_0 x_0 : \alpha_1 x_1 : \alpha_2 x_2)$ ou presque

diagonale $(x_0 : x_0 + x_1 : \alpha x_2)$. Il montre par exemple que deux transformations diagonales birationnellement conjuguées le sont par une **transformation monomiale**, i.e. une transformation de la forme

$$(\gamma x_0^p x_1^q, \delta x_0^r x_1^s), \quad \gamma, \delta \in \mathbb{C}^*, \quad \begin{bmatrix} p & q \\ r & s \end{bmatrix} \in \mathrm{GL}_2(\mathbb{Z}).$$

Voici un cas spécial (générique).

Proposition 3.16. — Soit A un automorphisme diagonal de $\mathbb{P}^2(\mathbb{C})$; on suppose que

$$\overline{\langle A \rangle}^Z = \{(\alpha x_0, \beta x_1) \mid \alpha, \beta \in \mathbb{C}^*\}.$$

Soit B un automorphisme de $\mathbb{P}^2(\mathbb{C})$ birationnellement conjugué à A . Alors

- B est linéairement conjugué à un élément diagonal (cx_0, dx_1) ;
- A et (cx_0, dx_1) sont conjugués via une transformation monomiale.

Démonstration. — Écrivons A sous la forme (ax_0, bx_1) . Il suffit d'étudier les cas où

$$B = (cx_0, dx_1) \quad \text{et} \quad B = (cx_0, x_0 + cx_1).$$

Supposons que $B = (cx_0, dx_1)$; soit $f = (f_1, f_2)$ une transformation birationnelle conjuguant A à B . On a

$$(f_1, f_2)(a^n x_0, b^n x_1) = (c^n f_1, d^n f_2), \quad \forall n \in \mathbb{Z}.$$

Puisque $\overline{\langle A \rangle}^Z = \{(\alpha x_0, \beta x_1) \mid \alpha, \beta \in \mathbb{C}^*\}$, on a

$$(f_1, f_2)(\alpha x_0, \beta x_1) = (\eta(\alpha, \beta) f_1, \zeta(\alpha, \beta) f_2), \quad \forall \alpha, \beta \in \mathbb{C}^*.$$

Un calcul élémentaire (du même type que celui qui suit) montre que

$$(f_1, f_2) = (\gamma x_0^p x_1^q, \delta x_0^r x_1^s), \quad \gamma, \delta \in \mathbb{C}^*, \quad \begin{bmatrix} p & q \\ r & s \end{bmatrix} \in \mathrm{GL}_2(\mathbb{Z}).$$

Reste à considérer le cas où $B = (cx_0, cx_1 + x_0)$. Comme l'adhérence de ZARISKI $\overline{\langle A \rangle}^Z$ est de dimension 2 l'égalité $f \circ B^n = A^n \circ f$ implique que l'adhérence de ZARISKI $\overline{\langle B \rangle}^Z$ est aussi de dimension 2. Il en résulte que

$$\overline{\langle B \rangle}^Z = \{(sx_0, sx_0 + tx_1) \mid s \in \mathbb{C}^*, t \in \mathbb{C}\};$$

par suite on a

$$f(sx_0, sx_1 + tx_0) = (\alpha(s, t)x_0, \beta(s, t)x_1)\phi, \quad \forall s \in \mathbb{C}^*, t \in \mathbb{C}.$$

Considérons la première composante

$$(3.4.1) \quad f_1(sx_0, sx_1 + tx_0) = \alpha(s, t)f_1(x_0, x_1);$$

comme le membre de gauche est dérivable par rapport à s celui de droite aussi. On obtient en dérivant par rapport à s et en évaluant en $(s, t) = (1, 0)$

$$x_0 \frac{\partial f_1}{\partial x_0} + x_1 \frac{\partial f_1}{\partial x_1} = \frac{\partial \alpha}{\partial s} f_1;$$

il s'en suit que f_1 est homogène. Dérivons (3.4.1) par rapport à t

$$x_0 \frac{\partial f_1}{\partial x_1}(sx_0, sx_1 + tx_0) = \frac{\partial \alpha}{\partial t}(s, t) f_1(x_0, x_1).$$

Puisque f_1 est homogène on a pour $t = 0$

$$x_0 \frac{\partial f_1}{\partial x_1}(sx_0, sx_1) = s^v x_0 \frac{\partial f_1}{\partial x_1}(x_0, x_1) = \frac{\partial \alpha}{\partial t}(s, 0) f_1(x_0, x_1)$$

autrement dit

$$\frac{\partial f_1 / \partial x_1}{f_1} = \frac{\text{cte}}{x_0}.$$

On constate alors que nécessairement $\partial f_1 / \partial x_1 \equiv 0$, i.e. $f_1 = f_1(x_0)$. Un raisonnement analogue conduit à $f_2 = f_2(x_0)$ autrement dit $f = f(x_0)$ ce qui est impossible. \square

Dans [Serre] Serre établit un résultat analogue en toute dimension.

Théorème 3.17 ([Serre]). — Soient A et B deux parties du tore T de $\text{PGL}_{n+1}(\mathbb{C})$ et soit f un élément de $\text{Bir}(\mathbb{P}^n(\mathbb{C}))$ tel que $fA f^{-1} = B$. Alors A et B sont conjuguées via une transformation monomiale.

3.5. Conjugaison birationnelle entre éléments de Σ^3

Évidemment deux transformations birationnellement conjuguées ne sont pas nécessairement linéairement conjuguées. Par exemple

$$Q_1 = (2(x_0 + x_1)x_2 : x_1(x_2 - x_0) : (x_0 + x_1)(x_2 - x_0)) \quad \text{et} \quad Q_2 = (x_0 - x_2 : 2(x_1 + x_0) : 2x_0)$$

sont birationnellement conjuguées par σ ; par contre elles ne peuvent pas l'être via un automorphisme de $\mathbb{P}^2(\mathbb{C})$ (elles n'ont pas même degré).

Néanmoins les transformations $A\sigma$ et σA sont birationnellement conjuguées via σ et linéairement conjuguées via A^{-1} . Ainsi pour tout élément Q de Σ^3 il existe une transformation de Σ^3 , en général distincte de Q , birationnellement conjuguée à Q par une transformation quadratique mais aussi par un automorphisme de $\mathbb{P}^2(\mathbb{C})$.

Proposition 3.18. — Soient A et B deux automorphismes de $\mathbb{P}^2(\mathbb{C})$ tels que les transformations $A\sigma$ et $B\sigma$ aient quatre points fixes en position générale. Supposons que $A\sigma$ (resp. $B\sigma$) ne laisse pas de courbe rationnelle invariante. Si $A\sigma$ et $B\sigma$ sont birationnellement conjugués par φ , alors φ est un difféomorphisme local holomorphe en chaque point fixe de $A\sigma$. De plus, à conjugaison linéaire près, on a

- $\text{Fix}(A\sigma) = \text{Fix}(B\sigma)$;
- $\varphi|_{\text{Fix}(A\sigma)=\text{Fix}(B\sigma)} = \text{id}$;

– et pour tout point fixe m de $A\sigma$

$$\mathrm{tr}(\mathrm{jac}(A\sigma)_{(m)}) = \mathrm{tr}(\mathrm{jac}(B\sigma)_{(m)}), \quad \det(\mathrm{jac}(A\sigma)_{(m)}) = \det(\mathrm{jac}(B\sigma)_{(m)}).$$

Remarque 3.19. — En particulier si chaque matrice A et B a ses coefficients \mathbb{Q} -algébriquement indépendants, alors, comme nous le verrons au Chapitre 4, les transformations $A\sigma$ et $B\sigma$ satisfont les conclusions de la Proposition 3.18.

Démonstration. — Soit m un point fixe pour $A\sigma$; alors $\varphi(m) = B\sigma\varphi(m)$. Par hypothèse $B\sigma$ ne fixe pas de courbe rationnelle ; il en résulte que m n'est pas d'indétermination pour φ . En particulier φ est holomorphe en chaque point fixe de $A\sigma$ et l'image par φ d'un point fixe de $A\sigma$ est un point fixe de $B\sigma$. De même φ^{-1} est holomorphe aux points fixes de $B\sigma$. Par suite

$$\varphi(\mathrm{Fix}(A\sigma)) = \mathrm{Fix}(B\sigma)$$

et φ est un difféomorphisme local en chaque point de $\mathrm{Fix}(A\sigma)$. Comme deux quadruplets de points en position générale s'échangent par un automorphisme, on obtient le résultat annoncé. \square

Pour une transformation de type $A\sigma$ ayant quatre points fixes en position générale on obtient, en normalisant la position des points fixes, des formes normales qui s'avèrent utiles.

Proposition 3.20. — Soit A un automorphisme de $\mathbb{P}^2(\mathbb{C})$ tel que les points fixes et les points d'indétermination de $A\sigma$ soient en position générale. Alors $A\sigma$ est linéairement conjugué à une transformation de la forme

$$(x_0^2 + A_0x_1x_2 + B_0x_0x_2 + C_0x_0x_1 : x_1^2 + A_1x_1x_2 + B_1x_0x_2 + C_1x_0x_1 : x_2^2 + A_2x_1x_2 + B_2x_0x_2 + C_2x_0x_1)$$

les A_i, B_i, C_i étant des éléments de \mathbb{C} satisfaisant

$$A_1B_0 - A_0B_1 \neq 0, \quad A_2 = \frac{B_0 - A_0C_1}{A_1B_0 - A_0B_1}, \quad B_2 = \frac{A_1 - B_1C_0}{A_1B_0 - A_0B_1}, \quad C_2 = \frac{1 - C_0C_1}{A_1B_0 - A_0B_1}.$$

Démonstration. — Soit f une transformation linéairement conjuguée à $A\sigma$ de sorte que

$$(1 : 0 : 0), (0 : 1 : 0), (0 : 0 : 1) \in \mathrm{Fix} f;$$

alors f est du type $(Q_0 : Q_1 : Q_2)$ où

$$Q_0 = \eta_0x_0^2 + A_0x_1x_2 + B_0x_0x_2 + C_0x_0x_1, \quad Q_1 = \eta_1x_1^2 + A_1x_1x_2 + B_1x_0x_2 + C_1x_0x_1,$$

$$Q_2 = \eta_2x_2^2 + A_2x_1x_2 + B_2x_0x_2 + C_2x_0x_1.$$

Comme les points fixes sont distincts, $\eta_0\eta_1\eta_2$ est non nul et, à conjugaison par homothétie près, on peut supposer que $\eta_0 = \eta_1 = \eta_2 = 1$. Considérons l'intersection C des deux coniques $Q_0 = 0$ et $Q_1 = 0$; on remarque que C contient le point $(0 : 0 : 1)$ et les trois points d'indétermination p_1, p_2 et p_3 de f . Comme ces quatre points sont en position générale les deux coniques sont

transversales. Par suite si P est un polynôme homogène de degré v s'annulant sur C , alors P s'écrit

$$D_0Q_0 + D_1Q_1, \quad D_i \in \mathbb{C}[x_0, x_1, x_2]_{v-2}.$$

On remarque que x_0Q_2 s'annule en $(0 : 0 : 1)$ et en les p_i ; il en résulte que x_0Q_2 s'écrit

$$(\alpha_0x_0 + \beta_0x_1 + \gamma_0x_2)Q_0 + (\alpha_1x_0 + \beta_1x_1 + \gamma_1x_2)Q_1.$$

Remarquons que (A_0, B_0) est non nul : si A_0 et B_0 étaient nuls, l'intersection de $Q_0 = 0$ et $Q_1 = 0$ en $(0 : 0 : 1)$ serait multiple ce qui contredirait l'hypothèse sur les points fixes ; de même $(A_1, B_1) \neq (0, 0)$. Ainsi $B_0A_1 - B_1A_0 = 0$ si et seulement s'il existe t dans \mathbb{C}^* tel que $(A_1, B_1) = t(A_0, B_0)$; si tel était le cas l'intersection de $tQ_0 - Q_1 = 0$ et $Q_1 = 0$ en $(0 : 0 : 1)$ serait multiple. Il s'en suit que $B_0A_1 - B_1A_0 \neq 0$.

À partir de

$$(\alpha_0x_0 + \beta_0x_1 + \gamma_0x_2)Q_0 + (\alpha_1x_0 + \beta_1x_1 + \gamma_1x_2)Q_1 = x_2^2 + A_2x_1x_2 + B_2x_0x_2 + C_2x_0x_1$$

on obtient

$$A_2 = \delta(B_0 - A_0C_1), \quad B_2 = \delta(A_1 - B_1C_0), \quad C_2 = \delta(1 - C_0C_1)$$

avec $\delta = (B_0A_1 - B_1A_0)^{-1}$ d'où la forme normale annoncée. \square

L'énoncé suivant est un résultat de rigidité ; il dit que deux transformations quadratiques génériques birationnellement conjuguées sont linéairement conjuguées.

Théorème 3.21. — *Il existe une hypersurface \mathcal{H} dans Σ^3 ayant la propriété suivante : soient f et g deux éléments de $\Sigma^3 \setminus \mathcal{H}$ sans courbe invariante et ayant leurs sept points spéciaux en position générale ; si f et g sont birationnellement conjugués ils le sont linéairement.*

Démonstration. — D'après la Proposition 3.18 les traces et déterminants des matrices jacobiniennes de f et g aux quatre points fixes correspondants coïncident. La Proposition 3.20 nous permet d'écrire f sous la forme normale

$$(x_0^2 + A_0x_1x_2 + B_0x_0x_2 + C_0x_0x_1 : x_1^2 + A_1x_1x_2 + B_1x_0x_2 + C_1x_0x_1 : x_2^2 + \eta(B_0 - A_0C_1)x_1x_2 + \eta(A_1 - B_1C_0)x_0x_2 + \eta(1 - C_0C_1)x_0x_1)$$

avec $\eta = (B_0A_1 - B_1A_0)^{-1}$. Les points $(1 : 0 : 0)$, $(0 : 1 : 0)$ et $(0 : 0 : 1)$ appartiennent à $\text{Fix } f$; notons m le quatrième point fixe de f . Pour démontrer le théorème il suffit d'établir que f est uniquement déterminé par la connaissance des traces et déterminants aux quatre points fixes.

Posons

$$\begin{aligned} t_1 &:= \text{tr}(\text{jac } f_{(0:0:1)}) = B_0 + A_1, & \delta_1 &:= \det(\text{jac } f_{(0:0:1)}) = 1/\eta, \\ t_2 &:= \text{tr}(\text{jac } f_{(0:1:0)}) = C_0 + \eta(B_0 - A_0C_1), & \delta_2 &:= \det(\text{jac } f_{(0:1:0)}) = \eta(C_0B_0 - A_0), \\ t_3 &:= \text{tr}(\text{jac } f_{(1:0:0)}) = C_1 + \eta(A_1 - B_1C_0), & \delta_3 &:= \det(\text{jac } f_{(1:0:0)}) = \eta(C_1A_1 - B_1), \\ t_4 &:= \text{tr}(\text{jac } f_{(m)}), & \delta_4 &:= \det(\text{jac } f_{(m)}). \end{aligned}$$

Considérons l'application Θ définie par

$$\Theta : \mathbb{C}^6 \rightarrow \mathbb{C}^6, \quad (A_0, A_1, B_0, B_1, C_0, C_1) \mapsto (t_1, \delta_1, t_2, \delta_2, t_3, \delta_3).$$

Le calcul de $\Theta^{-1}(\alpha, \beta, \gamma, \varepsilon, \mu, \zeta)$ se ramène à résoudre le système constitué des équations suivantes

$$\begin{aligned} B_0 + A_1 &= \alpha, & B_0 A_1 - B_1 A_0 &= \beta, & C_0 \beta + B_0 - A_0 C_1 &= \gamma, \\ C_0 B_0 - A_0 &= \varepsilon, & C_0 \beta + A_1 - B_1 C_0 &= \mu, & C_1 A_1 - B_1 &= \zeta. \end{aligned}$$

À l'aide de Maple, on obtient

$$\begin{aligned} A_0 &= \frac{-\alpha\beta^2 + \beta(\alpha^2 + \varepsilon + \beta)A_1 - \alpha(2\beta + \varepsilon)A_1^2 + (\varepsilon + \beta)A_1^3}{-\alpha\beta\zeta + (\beta\zeta - \beta + \alpha\mu)A_1 - \mu A_1^2}, \\ B_0 &= -A_1 + \alpha, & B_1 &= \frac{-\alpha\beta\zeta + (\beta\zeta - \beta + \alpha\mu)A_1 - \mu A_1^2}{\alpha\beta - (\beta + \varepsilon)A_1}, \\ C_0 &= \frac{-\beta(\zeta\varepsilon + \beta) + (\alpha\beta + \mu\varepsilon)A_1 - (\varepsilon + \beta)A_1^2}{-\alpha\beta\zeta + (\beta\zeta - \beta + \alpha\mu)A_1 - \mu A_1^2}, & C_1 &= \frac{\mu\alpha - \beta - \varepsilon\zeta - \mu A_1}{\alpha\beta - (\beta + \varepsilon)A_1}. \end{aligned}$$

Quant à A_1 il satisfait l'équation quadratique

$$\begin{aligned} \beta(-\beta\zeta\varepsilon + \mu\alpha - \beta + \alpha\gamma\zeta - \beta^2 - \zeta\varepsilon) + (\alpha\beta^2 + \beta\mu\varepsilon + 2\beta\alpha\zeta - \beta\gamma\zeta - \alpha\gamma\mu - \beta\mu - \alpha^2\beta\zeta + \beta\gamma + \alpha\zeta\varepsilon)A_1 \\ + (\gamma\mu - \beta\zeta - \varepsilon\zeta - \beta\varepsilon - \beta^2)A_1^2 = 0. \end{aligned}$$

Ceci montre en particulier que pour $\chi = (\alpha, \beta, \gamma, \varepsilon, \mu, \zeta)$ générique dans l'image de Θ , la fibre $\Theta^{-1}(\chi)$ contient exactement deux points χ_1, χ_2 : c'est cette condition qui détermine l'hypersurface $\mathcal{H} = \{\chi \mid \#\Theta^{-1}(\chi) \neq 2\}$. Pour conclure il suffit de trouver une valeur explicite de χ pour laquelle on aura $t_4(\chi_1) \neq t_4(\chi_2)$.

Un calcul conduit à

$$\Theta^{-1}(0, 1, 1, 1, -1, 2) = \left(-\frac{\xi}{3}, \xi, -\xi, -\frac{1}{2} - \frac{\xi}{2}, \frac{7\xi}{6} + \frac{1}{2}, -\frac{7\xi}{4} - \frac{3}{4} \right)$$

où

$$\xi \in \left\{ \xi_1 = \frac{-1 + i\sqrt{167}}{14}, \xi_2 = -\frac{1 + i\sqrt{167}}{14} \right\}.$$

On constate que $t_4(\chi_1)$ (correspondant au choix $\xi = \xi_1$) et $t_4(\chi_2)$ sont distincts :

$$t_4(\chi_1) \sim 3.67 + 0.16 \cdot 10^{-8}i \neq t_4(\chi_2) \sim 3.67 - 0.16 \cdot 10^{-8}i.$$

□

Remarques 3.22. — L'hypersurface \mathcal{H} n'est pas explicite dans notre énoncé ; un examen plus précis de l'application Θ permettrait sans doute d'affiner notre résultat.

La démonstration précédente montre deux choses

- si l'on se donne trois couples (ξ_j, μ_j) génériques, on peut les réaliser comme valeurs propres en 3 points fixes p_j d'une certaine transformation quadratique. Par exemple les ξ_j, μ_j peuvent être des complexes de module 1 génériques.
- soit $g = A\sigma$ générique, m_i ses points fixes, $i = 1, \dots, 4$. On note $t(g, m_i)$ et $\delta(g, m_i)$ les traces et déterminants de la matrice jacobienne de $A\sigma$ en m_i . Si un élément f de Σ^3 a quatre points fixes p_i en lesquels

$$\delta(f, p_i) = \delta(g, m_i), \quad t(f, p_i) = t(g, m_i)$$

alors f et g sont dynamiquement conjugués via un automorphisme de $\mathbb{P}^2(\mathbb{C})$. En effet comme f est dans Σ^3 il ne peut avoir trois points fixes alignés donc les p_i peuvent être envoyés sur les m_i par un automorphisme et on conclut aisément.

3.6. Conjugaison birationnelle entre automorphismes de HÉNON

Ce qui suit étend le Théorème 3.21 aux transformations de HÉNON.

Proposition 3.23. — *Soient f et g deux automorphismes de HÉNON quadratiques. Si f et g sont birationnellement conjugués, ils le sont linéairement.*

Démonstration. — À conjugaison linéaire près f est du type $(1 + x_1 - ax_0^2, bx_0)$ et g de la forme $(1 + x_1 - \alpha x_0^2, \beta x_0)$. Notons φ la conjuguant birationnelle. Soit m un point fixe de f ; on a $\varphi(m) = g\varphi(m)$. Puisqu'un automorphisme de type HÉNON ne fixe pas de courbe, m n'est pas d'indétermination pour φ . Par conséquent φ est holomorphe au voisinage de m et

$$\varphi(\text{Fix } f) = \text{Fix } g.$$

Le même argument montre que φ^{-1} est holomorphe en $\varphi(m)$. Ainsi puisque $D\varphi_{(\varphi(m))}^{-1}D\varphi_{(m)} = \text{id}$, la transformation φ est un difféomorphisme local aux points fixes p_1 et p_2 de f . Si les $q_j = \varphi(p_j)$ sont les points fixes de g on a

$$(3.6.1) \quad (\det(\text{jac } f_{(p_j)}), \text{tr}(\text{jac } f_{(p_j)})) = (\det(\text{jac } g_{(q_j)}), \text{tr}(\text{jac } g_{(q_j)})).$$

Or un calcul immédiat montre que

$$\begin{aligned} \text{jac } f_{(p_1)} &= \begin{bmatrix} 1 - b - \delta & 1 \\ b & 0 \end{bmatrix}, & \text{jac } f_{(p_2)} &= \begin{bmatrix} 1 - b + \delta & 1 \\ b & 0 \end{bmatrix}, & \delta &= \sqrt{(1 - b)^2 + 4a}, \\ \text{jac } g_{(q_1)} &= \begin{bmatrix} 1 - \beta - \tilde{\delta} & 1 \\ \beta & 0 \end{bmatrix}, & \text{jac } g_{(q_2)} &= \begin{bmatrix} 1 - \beta + \tilde{\delta} & 1 \\ \beta & 0 \end{bmatrix}, & \tilde{\delta} &= \sqrt{(1 - \beta)^2 + 4\alpha}. \end{aligned}$$

À partir de (3.6.1) on obtient $b = \beta$ et

$$(3.6.2) \quad (1 - \beta - \tilde{\delta})(1 - \beta + \tilde{\delta}) = (1 - b - \delta)(1 - b + \delta)$$

soit $(a, b) = (\alpha, \beta)$. Remarquons que δ et $\tilde{\delta}$ sont définis à ± 1 près mais les produits (3.6.2) sont eux bien définis. \square

CHAPITRE 4

QUELQUES PROPRIÉTÉS DYNAMIQUES DES TRANSFORMATIONS BIRATIONNELLES QUADRATIQUES

4.1. Stabilité algébrique

Rappelons une notion introduite dans [FS95] et reprise dans [DF01]. La transformation f est dite **algébriquement stable** s'il n'existe pas de courbe C dans S telle que $f^k(C)$ appartienne à $\text{Ind } f$ pour un certain entier $k \geq 0$. Dit autrement une transformation est algébriquement stable si la situation suivante n'arrive pas

$$\left. \begin{array}{ccccccc} & f & & f & & f & \dots & & f & & f \\ & \rightarrow & \cdot & \rightarrow & \cdot & \rightarrow & \dots & \rightarrow & \cdot & \rightarrow & \cdot & \rightarrow \end{array} \right\} \\ C$$

Théorème 4.1 ([DF01]). — Soit f un élément du groupe de CREMONA ; f n'est pas algébriquement stable si et seulement s'il existe un entier k pour lequel $\deg f^k < (\deg f)^k$.

Démonstration. — Nous ne démontrons que l'implication facile. Soit k le plus petit entier pour lequel $\deg f^k < (\deg f)^k$; il existe alors h une transformation birationnelle de degré $\deg h$ strictement inférieur à $(\deg f)^{k+1}$ et φ un polynôme homogène tels que en tant que triplet de formes homogènes $f^{k+1} = \varphi h$. On constate que l'image par f^k de tout point de la courbe d'équation $\varphi = 0$ est d'indétermination pour f .

L'autre implication figure dans [DF01]. □

Il y a d'autres façons de caractériser la stabilité algébrique ([DJS07]).

Introduisons un invariant birationnel pour les transformations de CREMONA. Si f et g désignent deux éléments de $\text{Bir}(\mathbb{P}^2(\mathbb{C}))$ alors en général $\deg(gfg^{-1}) \neq \deg f$; par contre il existe deux constantes positives α et β telles que pour tout entier n on ait ([DF01], Proposition 1.15)

$$\alpha \deg f^n \leq \deg(gf^n g^{-1}) \leq \beta \deg f^n.$$

Le « taux de croissance des degrés » est donc un invariant birationnel : on appelle *premier degré dynamique* de f la quantité

$$\lambda(f) := \liminf(\deg f^n)^{1/n}.$$

On peut aussi définir cette notion pour une transformation birationnelle d'une surface complexe compacte kählérienne ([DF01]).

Lorsque f est algébriquement stable, on a $\lambda(f) = \deg f$. En particulier pour $f = A\sigma$ avec A générique on a $\lambda(A\sigma) = 2$; ceci est précisé ci-après.

Dans [DF01] DILLER et FAVRE montrent que toute transformation birationnelle d'une surface complexe compacte est, à conjugaison birationnelle près, algébriquement stable. Nous n'utiliserons pas vraiment ce résultat important parce que l'on souhaite travailler à degré fixé ce qui interdit la plupart des conjugaisons birationnelles.

Soient $A = (a_0x_0 + b_0x_1 + c_0x_2 : a_1x_0 + b_1x_1 + c_1x_2 : a_2x_0 + b_2x_1 + c_2x_2)$ un automorphisme de $\mathbb{P}^2(\mathbb{C})$ et C une courbe contractée par $(A\sigma)^{p+1}$ sur un point q , l'entier p étant minimal. La courbe $\tilde{C} = (A\sigma)^p(C)$ est contractée par $A\sigma$; par suite \tilde{C} est l'une des droites de Exc σ , disons $x_2 = 0$, et donc $q = (c_0 : c_1 : c_2)$. Supposons qu'il existe un entier k tel que q soit éclaté par $(A\sigma)^{k+1}$ (avec k minimal) dit autrement $(A\sigma)^k(q)$ est un point d'indétermination de σ , i.e. deux des composantes de $(A\sigma)^k(q)$ sont nulles. Écrivons $(A\sigma)^k$ sous la forme $(P_0 : P_1 : P_2)$; visiblement les P_i sont des polynômes en (x_0, x_1, x_2) dont les coefficients sont eux-mêmes des polynômes universels à coefficients entiers positifs en les variables $a_0, b_0, c_0, a_1, b_1, c_1, a_2, b_2, c_2$. Ceci permet de produire des exemples explicites de transformations $A\sigma$ algébriquement stables ; en effet si A est une matrice à coefficients réels tous strictement positifs les $P_i(c_0, c_1, c_2)$ sont strictement positifs. On obtient donc la :

Proposition 4.2. — *Soit A un automorphisme de $\mathbb{P}^2(\mathbb{C})$ dont les coefficients sont des nombres réels strictement positifs ; la transformation $A\sigma$ (resp. $A\rho$) est algébriquement stable.*

Remarque 4.3. — C'est la « positivité des coefficients » de σ et ρ qui permet d'obtenir l'énoncé 4.2. Dans la transformation τ on trouve des coefficients de signes contraires ce qui ne permet pas d'obtenir de façon rapide un énoncé de type 4.2. Voici comment on peut l'obtenir. Si l'élément h de Σ^1 est un automorphisme de HÉNON, $\deg h^n = 2^n = (\deg h)^n$ de sorte que h est algébriquement stable ; c'est par exemple le cas si h est de la forme $(y, y^2 + x)$. Alors pour A linéaire générique Ah est algébriquement stable de sorte qu'un élément générique de Σ^1 est aussi algébriquement stable.

Définition. — Nous dirons qu'un automorphisme de $\mathbb{P}^2(\mathbb{C})$ a ses *coefficients algébriquement indépendants sur \mathbb{Q}* s'il possède un représentant A dans $GL_3(\mathbb{C})$ dont les coefficients sont algébriquement indépendants sur \mathbb{Q} .

Remarque 4.4. — La condition ci-dessus est invariante sous l'action des automorphismes du corps \mathbb{C} . En fait deux automorphismes de $\mathbb{P}^2(\mathbb{C})$ à coefficients algébriquement indépendants sont échangés par un automorphisme du corps \mathbb{C} ; en particulier toutes leurs propriétés de nature « algébriques » sont conservées. Par contre la condition d'indépendance des coefficients

ne résiste pas à la conjugaison dynamique. En effet si $A\sigma$ a ses coefficients rationnellement indépendants sur \mathbb{Q} elle possède quatre points fixes distincts tous situés en dehors de $x_0x_1x_2 = 0$. En conjuguant par une homothétie ad-hoc $(\alpha_0x_0 : \alpha_1x_1 : \alpha_2x_2)$ on peut supposer par exemple que $(1 : 1 : 1)$ est point fixe : on obtient ainsi une nouvelle transformation $\tilde{A}\sigma$ conjuguée à la précédente mais dont les coefficients ne sont plus rationnellement indépendants.

Notons $\text{Aut}(\mathbb{C}, +, \cdot)$ l'ensemble des automorphismes du corps \mathbb{C} . Si A appartient à $\text{PGL}_3(\mathbb{C})$ et κ à $\text{Aut}(\mathbb{C}, +, \cdot)$ on note A^κ l'élément obtenu en faisant agir κ sur les coefficients de A .

Corollaire 4.5. — *Soit A un automorphisme de $\mathbb{P}^2(\mathbb{C})$ dont les coefficients sont algébriquement indépendants sur \mathbb{Q} ; alors $A\sigma$ et $(A\sigma)^{-1}$ sont algébriquement stables.*

Démonstration. — Soit B un élément de $\text{GL}_3(\mathbb{C})$ dont tous les coefficients sont réels positifs et algébriquement indépendants sur \mathbb{Q} . Les coefficients de B font partie d'une base de transcendance de \mathbb{C} sur \mathbb{Q} . Donnons-nous un élément A de $\text{GL}_3(\mathbb{C})$ dont les coefficients sont algébriquement indépendants sur \mathbb{Q} ; il existe un automorphisme κ du corps \mathbb{C} tel que $A = B^\kappa$. Alors $A\sigma = (B\sigma)^\kappa$ est algébriquement stable puisque $B\sigma$ l'est.

Comme une transformation birationnelle f d'une surface S dans elle-même est algébriquement stable si et seulement si f^{-1} l'est ([Jac05]) l'inverse de $A\sigma$ est algébriquement stable. \square

Remarque 4.6. — On a un énoncé analogue lorsqu'on remplace $A\sigma$ par $A\rho$ ou $A\tau$.

Sous les mêmes hypothèses $(A\sigma)^n$ (resp. $(A\rho)^n$, resp. $(A\tau)^n$) est algébriquement stable.

4.2. Feuilletages et courbes invariants pour des transformations du type $A\sigma$

4.2.1. Feuilletages invariants. —

Dans l'introduction nous avons mentionné que tout automorphisme de $\mathbb{P}^2(\mathbb{C})$ possède des feuilletages invariants ; nous avons d'autre part rencontré des transformations birationnelles qui préservent une fibration rationnelle. Comme l'indique l'exemple suivant il existe des transformations birationnelles qui laissent invariant un feuilletage ne définissant pas une fibration. Considérons dans la carte affine $x_2 = 1$ la transformation f de degré 3 définie par

$$f(x_0, x_1) = (x_0^2x_1, x_0x_1).$$

L'élément f préserve les feuilletages associés aux formes différentielles

$$\omega_\eta = x_1 dx_0 + \eta x_0 dx_1, \quad \eta = \frac{-1 \pm \sqrt{5}}{2}$$

dont les feuilles sont transcendantales ; par ailleurs un calcul facile assure que les seuls feuilletages invariants par f sont les deux précédents.

La Proposition qui suit montre que la présence de feuilletages invariants est rare.

Proposition 4.7. — *Un élément générique de Bir_2 ne possède pas de fibration invariante. Plus précisément un élément générique de Bir_2 ne possède pas de feuilletage algébrique invariant.*

Démonstration. — Les notations étant celles du Chapitre 3, dans le produit $\mathbb{P}\mathcal{F}_n \times \text{Bir}_2$ on considère le sous-ensemble fermé

$$\Lambda_n = \{([\omega], \phi) \in \mathbb{P}\mathcal{F}_n \times \text{Bir}_2 \mid \phi^* \omega \wedge \omega = 0\}.$$

Si $([\omega], \phi)$ appartient à Λ_n , le feuilletage associé à ω est invariant par ϕ . Soit π_2 la projection de $\mathbb{P}\mathcal{F}_n \times \text{Bir}_2$ sur Bir_2 . La projection de Λ_n par π_2 est un fermé car les fibres de π_2 sont compactes. Par suite $\pi_2(\Lambda_n)$ est fermé algébrique dans Bir_2 . Dans [Bru99] BRUNELLA montre qu'un automorphisme quadratique de HÉNON ne possède pas de feuilletage invariant ; le complément \mathcal{B}_n de $\pi_2(\Lambda_n)$ est donc un ouvert de ZARISKI non vide dans Bir_2 . En réinvokant qu'un automorphisme de HÉNON n'a pas de feuilletage invariant et que Bir_2 est irréductible, on obtient que l'intersection $\cap \mathcal{B}_n$ est non vide, d'où le résultat. \square

Remarque 4.8. — Il semble raisonnable de penser que si les coefficients de la matrice A sont indépendants sur \mathbb{Q} alors $f = A\sigma$ ne possède pas de feuilletage invariant ; mais l'élimination directe de ω dans l'identité $f^* \omega \wedge \omega = 0$ s'avère pénible. Le Corollaire 4.10 qui établit ce fait est conséquence de la remarque qui suit.

Remarque 4.9. — Dans la Proposition 4.7 le terme « générique » signifie dans le complément d'une union dénombrable d'ensembles algébriques propres de Bir_2 , en fait de chaque Σ^i (pour $i = 1, 2, 3$). En particulier pour A dans le complément d'une union dénombrable d'ensembles algébriques propres de $\text{GL}_3(\mathbb{C})$ la transformation $A\sigma$ ne possède pas de feuilletage invariant. Puisqu'on ne peut écrire $\text{PGL}_3(\mathbb{C})$ comme une union dénombrable d'ensembles algébriques propres il existe des matrices A_0 à coefficients indépendants sur \mathbb{Q} telles que $A_0\sigma$ n'ait pas de feuilletage invariant. Mais alors (toujours en utilisant un automorphisme de corps ad hoc) pour toute matrice A à coefficients indépendants sur \mathbb{Q} on a la même propriété d'où l'énoncé suggéré dans la Remarque 4.8.

Corollaire 4.10. — Soit A un automorphisme de $\mathbb{P}^2(\mathbb{C})$ dont les coefficients sont \mathbb{Q} -algébriquement indépendants ; $A\sigma$ ne possède pas de feuilletage invariant.

Problème. Classifier les transformations birationnelles quadratiques possédant un feuilletage invariant.

4.2.2. Courbes invariantes. —

Nous allons prouver qu'une transformation quadratique générique de type $A\sigma$ ne possède pas de courbe invariante. Cet énoncé fait partie du folklore, mais il n'y a pas de référence connue des auteurs. Nous proposons deux démarches. La première ne concerne que les courbes invariantes irréductibles ; elle donne une classification des transformations ayant certains types de courbes invariantes. On pourrait penser procéder comme nous l'avons fait dans le cas des feuilletages, par dégénérescence sur un automorphisme de HÉNON, applications pour lesquelles cet énoncé est connu. Plus précisément soit $(h_\varepsilon)_\varepsilon$ une famille analytique de transformations birationnelles telle que $h_{\varepsilon=0} = h_0$ soit un automorphisme de HÉNON ; si C_ε est la courbe invariante par h_ε la famille $(C_\varepsilon)_\varepsilon$ produit une courbe limite C_0 a priori invariante par h_0 mais rien ne dit que C_0 n'est pas la courbe exceptionnelle de h_0 .

Pour la première approche nous allons invoquer des arguments de nature dynamique. La seconde, qui s'appuie sur la première, traite des courbes non irréductibles (*i.e.* des courbes invariantes par les itérés) et invoque des arguments d'indépendance algébrique et de points fixes. Avant toute chose il faut rappeler qu'une courbe contractée par une transformation birationnelle est une courbe rationnelle, autrement dit de genre arithmétique 0. C'est une conséquence directe du théorème de NETHER.

De nombreux auteurs se sont intéressés au problème des courbes invariantes. Dans sa thèse JACKSON décrit les transformations birationnelles quadratiques f qui préservent une courbe C et qui satisfont $\text{Ind } f \cup \text{Ind } f^{-1} \subset C$ (voir [Jac05]).

Comme une surface de RIEMANN compacte de genre $g \geq 2$ ne possède qu'un nombre fini d'automorphismes, on devine que pour une transformation birationnelle le fait de posséder une courbe invariante de genre $g \geq 2$ est très restrictif ; ceci est précisé par la :

Remarque 4.11. — Soit C une courbe de genre arithmétique supérieur ou égal à 2. Si f est une transformation birationnelle laissant C invariante alors $f|_C$ est un automorphisme de C , en particulier il existe un itéré f^n de f tel que C soit une courbe de points fixes de f^n .

Commençons par mentionner un cas particulier d'un résultat de DILLER, JACKSON et SOMMESE.

Théorème 4.12 ([DJS07]). — Soit f une transformation de CREMONA algébriquement stable telle que $\lambda(f) > 1$. Si C est une courbe invariante par f , alors le genre (arithmétique) de C est 0 ou 1.

Ce résultat est précisé par PAN dans [Pan05].

Théorème 4.13 ([Pan05]). — Soit C une courbe irréductible de $\mathbb{P}^2(\mathbb{C})$ de genre (arithmétique) strictement plus grand que 1. Soit f une transformation de CREMONA qui préserve C . On a

- $\lambda(f) = 1$ et la suite $(\deg f^n)_n$ croît au plus linéairement ;
- si f est conjugué à un automorphisme d'une surface rationnelle (lisse), f est d'ordre fini ;
- si la normalisation de C n'est pas hyperelliptique, f est d'ordre fini.

Définition. — Soit $M \in \text{GL}_2(\mathbb{C})$ une matrice 2×2 . On dit que les valeurs propres η_1, η_2 de M sont résonnantes s'il existe des entiers m_1 et m_2 non tous deux nuls tels que $\eta_1^{m_1} \eta_2^{m_2} = 1$. Un point fixe p d'une transformation birationnelle f sera dit **résonnant** si $Df_{(p)}$ a ses valeurs propres résonnantes.

Proposition 4.14. — Soit A un automorphisme de $\mathbb{P}^2(\mathbb{C})$ dont les coefficients sont \mathbb{Q} -algébriquement indépendants. Les points fixes de $A\sigma$ sont non résonnants.

Démonstration. — On constate que

$$\{B\sigma \mid B \in \text{PGL}_3(\mathbb{C})\} = \overline{\{A^\kappa \sigma \mid \kappa \in \text{Aut}(\mathbb{C}, +, \cdot)\}}$$

où l'adhérence est prise au sens ordinaire. Remarquons que les points fixes de $A\sigma$ sont en position générale ; en effet si trois d'entre eux étaient alignés, alors cette propriété, invariante par action d'un automorphisme de corps sur A , serait vérifiée par tous les $B\sigma$ ce qui est absurde. Soit C un automorphisme de $\mathbb{P}^2(\mathbb{C})$ tel que les points fixes de $g := CA\sigma C^{-1}$ soient

$$(0 : 0 : 1), \quad (0 : 1 : 0), \quad (1 : 0 : 0) \quad \text{et} \quad (1 : 1 : 1).$$

On note Ω l'ensemble des éléments de Bir_2 fixant ces 4 points ; l'orbite de g sous l'action de $\text{Aut}(\mathbb{C}, +, \cdot)$ est dense dans Ω . Supposons que $A\sigma$ possède un point fixe résonnant ; alors g et g^κ , avec κ dans $\text{Aut}(\mathbb{C}, +, \cdot)$, aussi. Il s'en suit que tout élément de Ω est résonnant en ce point ce qui n'est pas correct. \square

Proposition 4.15. — *Soit A un automorphisme de $\mathbb{P}^2(\mathbb{C})$ dont les coefficients sont algébriquement indépendants sur \mathbb{Q} . La transformation $(A\sigma)^n$ n'a pas de courbe de points fixes pour chaque n dans $\mathbb{Z} \setminus \{0\}$.*

Démonstration. — Supposons que C soit une courbe de points fixes pour $(A\sigma)^n$; si d est le degré de C , pour tout κ dans $\text{Aut}(\mathbb{C}, +, \cdot)$, l'itéré n -ième de $A^\kappa\sigma$ a une courbe de points fixes de degré d . En passant à l'adhérence de ZARISKI on obtient que pour tout f dans Σ^3 l'itéré n -ième de f admet une courbe de points fixes de degré d ; puisque Σ^3 est dense dans Bir_2 on en déduit que toute transformation birationnelle quadratique, et en particulier tout automorphisme de HÉNON, vérifie une telle propriété ce qui est faux ([Bru99]). \square

Remarque 4.16. — Tous ces énoncés se généralisent aux transformations du type $(A\rho)^n$ et $(A\tau)^n$.

Remarque 4.17. — L'hypothèse d'indépendance sur les coefficients de A est indispensable : on remarque par exemple que si A est du type

$$(\alpha x_0 - \alpha x_1 + x_2 : \beta x_0 - \beta x_1 + x_2 : \delta x_0 + (1 - \delta)x_1), \quad \alpha \neq \beta$$

l'élément $A\sigma$ laisse la droite $x_0 = x_1$ invariante.

Proposition 4.18. — *Soit $f = A\sigma$ une transformation birationnelle quadratique laissant une courbe rationnelle C invariante. Supposons que f soit algébriquement stable et que les itérés de f n'aient ni courbe de points fixes, ni point fixe résonnant ; alors C est une droite, une conique lisse ou une cubique à point double.*

Démonstration. — Si C est lisse, la formule d'HURWITZ assure que C est une droite ou une conique lisse.

Supposons désormais que C soit non lisse et que p soit un point singulier de C .

Montrons que $A\sigma$ est un difféomorphisme local en p , i.e. que p n'est pas dans $\text{Exc } \sigma \cup \text{Ind } \sigma$. D'après [DJS07] le point p n'est pas d'indétermination pour σ . Si p appartient à $\text{Exc } \sigma \setminus \text{Ind } \sigma$ alors $A\sigma(p)$ est un point d'indétermination de $(A\sigma)^{-1}$. Le germe de $A\sigma_p$ est du type

$$(u, v) \mapsto (u, uv)$$

à conjugaison locale g.d. près. En particulier il envoie courbe singulière irréductible sur courbe singulière ; $A\sigma(p)$ est donc un point d'indétermination de $(A\sigma)^{-1}$ mais aussi un point singulier

ce qui est exclu (toujours d'après [DJS07]). Ainsi $A\sigma$ est un difféomorphisme local en p et $A\sigma(C, p)$ est singulière.

Si $\pi : \tilde{C} \rightarrow C$ est la normalisation de C et $\tilde{A}\sigma$ le relevé à \tilde{C} de la restriction $A\sigma|_C$, on note

$$\Lambda = \pi^{-1}(\text{Sing}(C)) = \{p_1, \dots, p_s\}.$$

Comme $A\sigma$ est un difféomorphisme local en chaque point singulier de C , l'ensemble Λ est invariant par $\tilde{A}\sigma$. Puisque \tilde{C} est isomorphe à $\mathbb{P}^1(\mathbb{C})$, $\tilde{A}\sigma$ est conjugué à une translation ou une homothétie ; on en déduit que Λ compte au maximum deux points. En effet si $\#\Lambda \geq 3$, la transformation $A\sigma$ est périodique en restriction à C ; il existe alors un entier n tel que $C \subset \text{Fix}(A\sigma)^n$ ce qui est exclu d'après l'hypothèse. Notons qu'à chaque branche locale de C, p correspond un p_i ; par suite on a l'alternative suivante

- C a un seul point singulier p (qui est donc fixe) et C a au plus deux branches en p ;
- C a deux points singuliers distincts q_1, q_2 et C, q_1, C, q_2 sont irréductibles.

Étudions ces différentes possibilités.

Remarquons que si un germe de difféomorphismes holomorphe de $\mathbb{C}^2, 0$ fixe une courbe singulière irréductible ou bien deux courbes lisses tangentes ce point fixe est résonnant.

- Puisque les valeurs propres de la partie linéaire de $A\sigma$ en p ne peuvent être résonnantes, C a un unique point singulier et C, p est un croisement ordinaire ; la formule du genre assure que C est une cubique à point double.
- On remarque que $(A\sigma)^2$ fixe les points q_1 et q_2 ; comme C, q_1 est irréductible non lisse, les valeurs propres de la partie linéaire de $(A\sigma)^2$ en q_1 (resp. q_2) sont alors résonnantes ce qui est impossible.

□

Comme toujours il y a un énoncé analogue pour les transformations génériques de Σ^2 et Σ^1 .

Comme on le voit les cubiques cuspidales n'apparaissent pas dans la Proposition 4.18. Certaines transformations quadratiques possèdent de telles cubiques invariantes ; dans [BK] BEDFORD et KIM étudient la famille de transformations de CREMONA définie par

$$g_{a,b} : \mathbb{P}^2(\mathbb{C}) \dashrightarrow \mathbb{P}^2(\mathbb{C}), \quad (x_0 : x_1 : x_2) \mapsto (x_0(x_1 + bx_0) : x_2(x_1 + bx_0) : x_0(x_2 + ax_0)),$$

famille dont nous reparlerons au Chapitre 6. Notons que les $g_{a,b}$ ne sont pas algébriquement stables : la droite $x_0 = 0$ est contractée par $g_{a,b}$ sur $(0 : 1 : 0)$, point qui est éclaté par $g_{a,b}$ sur la droite $x_2 = 0$.

Cette famille possède, pour certains paramètres, une cubique cuspidale invariante. Posons

$$\varphi(t) = \left(\frac{t - t^3 - t^4}{(1+t)^2}, \frac{1 - t^5}{t^2(1+t)} \right).$$

BEDFORD et KIM établissent en particulier le :

Théorème 4.19 ([BK]). — Soit t dans $\mathbb{C} \setminus \{0, 1, -1, j, j^2\}$. Il existe un polynôme P dans $\mathbb{C}[x_0, x_1, x_2]_3$ satisfaisant

$$P \circ g_{a,b} = t \det(\text{jac } g_{a,b}) P$$

si et seulement si $(a, b) = \varphi(t)$.

Le polynôme P est donné par

$$\begin{aligned} P_{t,a,b}(x_0, x_1, x_2) &= a(t-1)t^4x_0^3 + t(t-1)x_1x_2(tx_1 + x_2) \\ &\quad + x_0(2bt^3x_1x_2 + t^3(t-1)x_1^2 + (t-1)(1+bt)x_2^2) \\ &\quad + t^3(t-1)x_0^2(a(x_1 + tx_2) + t(x_1 + (t-2b)x_2)) \end{aligned}$$

Supposons que (a, b) coïncide avec $\varphi(t)$ pour un certain t dans $\mathbb{C} \setminus \{0, 1, -1, j, j^2\}$. La cubique irréductible d'équation $P_{t,a,b} = 0$ invariante par $g_{a,b}$ contient les deux points fixes de $g_{a,b}$

$$p_1 = \left(\frac{t^3}{1+t}, \frac{t^3}{1+t} \right) \quad \text{et} \quad p_2 = \left(\frac{-1+t^2+t^3}{t^2(1+t)}, \frac{-1+t^2+t^3}{t^2(1+t)} \right)$$

et a son cusp en p_1 .

Proposition 4.20. — Soit $f = A\sigma$ une transformation birationnelle quadratique laissant invariante une courbe irréductible C de genre arithmétique 1. Supposons que f soit algébriquement stable et que les itérés de f n'aient pas courbe de points fixes ; alors C est une cubique lisse.

Démonstration. — En utilisant des arguments de la démonstration de la Proposition 4.18 on montre que C est lisse. La restriction de f à C induit un automorphisme de la normalisée qui laisse invariant le relevé de l'ensemble singulier de C (puisque $A\sigma$ est un difféomorphisme local en chaque point singulier de C). Mais sur une courbe elliptique un automorphisme qui possède une orbite finie est d'ordre fini, ce qui est exclu par hypothèse ; ainsi C est une courbe elliptique lisse de $\mathbb{P}^2(\mathbb{C})$ donc une cubique lisse. \square

Nous allons dans un premier temps nous intéresser aux transformations birationnelles quadratiques préservant une cubique lisse.

Lemme 4.21. — Soit C une cubique lisse. On suppose que $C' = \sigma(C)$ est aussi une cubique lisse ; alors C passe par les trois points d'indétermination de σ .

Démonstration. — Soient h et h' dans $\mathbb{C}[x_0, x_1, x_2]_3$ définissant respectivement C et C' ; l'hypothèse implique que

$$h \circ \sigma = x_0^\alpha x_1^\beta x_2^\gamma h', \quad \alpha, \beta, \gamma \in \mathbb{N}, \quad \alpha + \beta + \gamma = 3.$$

À permutation des coordonnées près le triplet (α, β, γ) prend les valeurs $(3, 0, 0)$, $(2, 1, 0)$ ou $(1, 1, 1)$. Dans le premier cas un calcul direct montre que C est l'union de trois droites et dans le second que C est singulière. On vérifie, dans la dernière éventualité, que h est du type

$$ax_0^2x_1 + bx_0^2x_2 + cx_0x_1^2 + dx_0x_2^2 + ex_1^2x_2 + fx_1x_2^2 + gx_0x_1x_2.$$

\square

Notons que si C et C' sont comme dans l'énoncé σ réalise un automorphisme entre C et C' de sorte que ces deux cubiques ont même invariant j ; on en déduit l'existence d'un automorphisme de $\mathbb{P}^2(\mathbb{C})$ échangeant C et C' (voir [Har95]).

Soit \mathcal{T} l'espace des polynômes homogènes de degré 3 s'annulant aux trois points d'indétermination de σ . L'application σ induit un isomorphisme linéaire $\tilde{\sigma} : \mathcal{T} \rightarrow \mathcal{T}$ défini dans la base $\{x_0^2x_1, x_0^2x_2, x_0x_1^2, x_0x_2^2, x_1^2x_2, x_1x_2^2, x_0x_1x_2\}$ par

$$\tilde{\sigma} : (a, b, c, d, e, f, g) \mapsto (f, e, d, c, b, a, g).$$

Les cubiques invariantes par σ correspondent à l'espace linéaire $\text{Fix } \tilde{\sigma}$ qui est de dimension projective 3.

Soient C une cubique lisse associée à un élément de \mathcal{T} et $C' = \sigma(C)$. Soit A un isomorphisme linéaire tel que $A(C') = C$; la cubique C est alors invariante par $A\sigma$. Notons qu'il existe un nombre fini de tels isomorphismes. L'ensemble des éléments A de $\text{PGL}_3(\mathbb{C})$ tels que $A\sigma$ laisse une cubique lisse invariante est d'adhérence une variété algébrique définie sur \mathbb{Q} de dimension $\dim \mathbb{P}\mathcal{T} = 6$.

Plus généralement soit C une cubique lisse; donnons-nous trois points p_1, p_2 et p_3 non alignés sur C . À ce triplet de points $p = (p_1, p_2, p_3)$ on peut associer σ_p une transformation quadratique de CREMONA telle que $\text{Ind } \sigma_p = \{p_1, p_2, p_3\}$. L'image de C par σ_p est encore une cubique isomorphe à C et il existe une application linéaire A_p (en fait il en existe un nombre fini) telle que $A_p\sigma_p(C) = C$. Nous noterons ϕ_p les transformations $A_p\sigma_p$. L'espace des cubiques lisses est de dimension 9, celui des triplets de points sur une cubique de dimension 3; ainsi l'espace des éléments de Σ^3 qui laissent invariante une cubique lisse est de dimension $9 + 3 = 12$.

En particulier on obtient le :

Corollaire 4.22. — *Génériquement une transformation de Σ^3 ne possède pas de courbe invariante de genre arithmétique 1.*

Soit A un automorphisme de $\mathbb{P}^2(\mathbb{C})$; si les coefficients de A sont indépendants sur \mathbb{Q} alors $A\sigma$ ne préserve pas de telle courbe.

Démonstration. — Le premier point résulte des considérations de dimension qui précèdent.

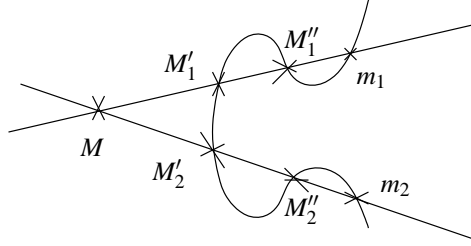
Pour le second, si $A\sigma$ possédait une courbe elliptique invariante il en serait de même pour $A^\kappa\sigma$ et ce pour chaque κ dans $\text{Aut}(\mathbb{C}, +, \cdot)$; comme les orbites dynamiques des $A^\kappa\sigma$ sont denses dans Σ^3 ceci contredit les calculs de dimensions ci-dessus. \square

Dans [Pan07b] PAN a démontré que le groupe $\text{Bir}(C)$ des transformations birationnelles qui laissent invariante la cubique lisse C est engendré par les transformations $\phi_p = A_p\sigma_p$.

Montrons que tout automorphisme abstrait de C est la restriction ou bien d'un ϕ_p , ou bien d'un isomorphisme linéaire. On note $\text{Aut}(C)$ le groupe des automorphismes de C vue comme courbe elliptique abstraite \mathbb{C}/Λ . En suivant une idée de PAN ([Pan07a]) nous allons montrer que le morphisme de restriction

$$\text{Bir}(C) \rightarrow \text{Aut}(C)$$

est surjectif. Pour cela fixons deux points génériques m_1, m_2 de C et T un élément de $\text{Aut}(C)$. Soit M un point générique du plan projectif complexe; on note m_1, M'_1 et M''_1 (respectivement m_2, M'_2 et M''_2) les points d'intersection de la droite (Mm_1) (resp. (Mm_2)) avec la cubique C



Les couples de points $T(M'_i)$ et $T(M''_i)$ déterminent deux droites dont l'intersection est notée $\tilde{T}(M)$. L'application \tilde{T} coïncide avec T sur C et est visiblement birationnelle puisque \tilde{T}^{-1} inverse \tilde{T} , d'où la surjectivité de l'application de restriction : $\text{Bir}(C) \rightarrow \text{Aut}(C)$.

Revenons aux transformations quadratiques φ_p . En fait chaque triplet p produit un nombre fini de telles applications, autant qu'il y a d'automorphismes de $\mathbb{P}^2(\mathbb{C})$ qui fixent C . L'application $R : p \mapsto \varphi_{p|_C}$ peut donc être vue comme une application algébrique multivaluée de l'espace des triplets de points distincts de C dans $\text{Aut}(C)$. En général $\text{Aut}(C)$ s'identifie topologiquement à l'union de deux exemplaires C_0 et C_- de C (sauf pour les cubiques spéciales $\mathbb{C}/\mathbb{Z}[i]$ et $\mathbb{C}/\mathbb{Z}[j]$)

$$C_0 \simeq \{z + a \mid a \in \mathbb{C}/\Lambda\} \quad \text{et} \quad C_- \simeq \{-z + a \mid a \in \mathbb{C}/\Lambda\}.$$

Si on écrit C sous forme normale de WEIERSTRASS $x_1^2 = x_0(x_0 - 1)(x_0 - \eta)$ on constate que l'automorphisme $\ell : (x_0, x_1) \mapsto (x_0, -x_1)$ laisse C invariante et sa restriction $\ell|_C$ est dans la composante C_- ; l'image de R intersecte donc C_0 et C_- .

Remarquons que R est non constante en tant qu'application multivaluée ; si elle l'était $\{\varphi_{p|_C}\}$ engendrerait un groupe dénombrable dans $\text{Aut}(C)$ ce qui contredirait la surjectivité de

$$\text{Bir}(C) \rightarrow \text{Aut}(C)$$

puisque $\text{Bir}(C)$ est engendré par les φ_p .

Il en résulte, dans le cas des cubiques génériques, que l'image de R évite au plus un nombre fini d'éléments de $\text{Aut}(C)$ (en particulier l'identité). Ainsi tout automorphisme de C , sauf peut-être un nombre fini, est restriction d'un certain φ_p .

Remarque 4.23. — Soient $p = (p_1, p_2, p_3)$ un triplet de points distincts et a un élément de la cubique C que l'on considère avec sa structure de groupe. Alors, pour chaque a , l'application φ_{p+a} , avec $p+a = (p_1+a, p_2+a, p_3+a)$, est bien définie. Comme C est compacte l'application $a \mapsto \varphi_{p+a|_C}$ est constante (sinon φ_p serait surjective).

Nous passons maintenant à l'étude des transformations birationnelles de type $A\sigma$ laissant une courbe de genre nul invariante.

Proposition 4.24. — Soit A un automorphisme de $\mathbb{P}^2(\mathbb{C})$ défini par

$$(a_0x_0 + b_0x_1 + c_0x_2 : a_1x_0 + b_1x_1 + c_1x_2 : a_2x_0 + b_2x_1 + c_2x_2).$$

La transformation $A\sigma$ laisse une droite invariante \mathcal{D} si, à conjugaison dynamique par une permutation de coordonnées près, on a

$$a_0c_1^2 + c_0c_1(b_0 - a_1) - b_1c_0^2 = 0.$$

Démonstration. — Remarquons que \mathcal{D} passe nécessairement par un des points de $\text{Ind } \sigma$, par exemple $(0 : 0 : 1)$. Plaçons-nous dans la carte $x_2 = 1$ et supposons que \mathcal{D} soit paramétrée par $x_0 \mapsto (x_0, tx_0)$; en écrivant l'invariance de \mathcal{D} on obtient

$$x_0(a_0t^2 + t(b_0 - a_1) - b_1) + tx_0^2(tc_0 - c_1) = 0.$$

Comme t ne peut être nul ($x_1 = 0$ est une droite contractée par $A\sigma$) on constate que $c_1 = tc_0$ d'où l'alternative

- $c_0 = c_1 = 0$ et $a_0t^2 + (b_0 - a_1)t - b_1 = 0$;
- $t = c_1/c_0$; en substituant cette valeur de t dans $(a_0t^2 + t(b_0 - a_1) - b_1)$ on obtient

$$a_0c_1^2 + c_0c_1(b_0 - a_1) - b_1c_0^2 = 0.$$

Dans les deux cas la condition annoncée est satisfaite. \square

Remarque 4.25. — Le cas $c_0 = c_1 = 0$, qui apparaît en cours de preuve, correspond aux transformations de type $A\sigma$ qui laissent la fibration x_1/x_0 invariante.

Remarquons aussi que si une transformation $A\sigma$ laisse invariante une fibration en droites, alors, à permutation près des coordonnées, il s'agit de la fibration $x_1/x_0 = \text{cte}$. Les A conve-nables sont du type

$$(a_0x_0 + b_0x_1 : a_1x_0 + b_1x_1 : a_2x_0 + b_2x_1 + c_2x_2);$$

ces transformations forment un groupe.

Remarque 4.26. — Les éléments de Bir_2 possédant une droite invariante forment un ensemble algébrique dont la trace sur Σ^3 est une hypersurface.

Passons maintenant à l'étude des transformations préservant une conique. Soit C une conique lisse; $\sigma(C)$ est une conique lisse si et seulement si, à permutation près des coordonnées, C est du type suivant

$$C_{ab} : x_2^2 + ax_1x_2 + bx_0x_2 + x_0x_1 = 0, \quad a, b \in \mathbb{C}, 2ab - 1 \neq 0.$$

L'image par σ de C_{ab} est la conique C_{ba} de sorte que la permutation

$$P : (x_0 : x_1 : x_2) \mapsto (x_1 : x_0 : x_2)$$

échange ces deux coniques. Soit $f = A\sigma$ une transformation laissant invariante une conique C . À permutation près des coordonnées C est de type C_{ab} ; de $C_{ab} = A\sigma(C_{ab}) = A(C_{ba}) = AP(C_{ab})$ on déduit la :

Proposition 4.27. — Soient $f = A\sigma$ laissant une conique lisse invariante et P l'involution définie par $(x_1 : x_0 : x_2)$. À permutation près des coordonnées C est donnée par

$$x_2^2 + ax_1x_2 + bx_0x_2 + x_0x_1 = 0$$

et AP appartient au groupe orthogonal $\mathbf{O}(x_2^2 + ax_1x_2 + bx_0x_2 + x_0x_1)$.

Remarque 4.28. — Lorsque $a = b$ l'involution σ laisse C_{aa} invariante et dans ce cas A est dans le groupe orthogonal $\mathbf{O}(C_{aa})$.

Pour terminer le cas des courbes rationnelles apparaissant dans la Proposition 4.18, étudions les cubiques à point double. L'image par σ d'une cubique à point double \mathcal{C} d'équation

$$(4.2.1) \quad ax_0^2x_1 + bx_0^2x_2 + cx_0x_1^2 + dx_0x_2^2 + ex_1^2x_2 + gx_1x_2^2 + hx_0x_1x_2 = 0$$

est encore une cubique à point double (il s'agit ici de cubiques passant par les trois points d'indétermination de σ). Mais il y a d'autres formes normales ayant la même propriété (correspondant à d'autres choix que $(1, 1, 1)$ pour le triplet (α, β, γ) apparaissant dans la démonstration du Lemme 4.21). Ainsi la cubique d'équation

$$(4.2.2) \quad ax_2^3 + bx_0x_1^2 + cx_0x_2^2 + dx_1^2x_2 + ex_1x_2^2 + gx_0x_1x_2 = 0$$

est envoyée par σ sur

$$ax_0x_1^2 + bx_2^3 + cx_1^2x_2 + dx_0x_2^2 + ex_0x_1x_2 + gx_1x_2^2 = 0$$

(induisant d'ailleurs l'application $(a, b, c, d, e, g) \mapsto (b, a, d, c, g, e)$). Pour des valeurs génériques de a, b, c, d, e, g la cubique correspondante possède un point double en $(1 : 0 : 0)$ qui est précisément d'indétermination pour σ .

On vérifie facilement que les cubiques données par (4.2.1) et (4.2.2) sont, à permutation de coordonnées près, les seules cubiques à point double ayant leur image par σ encore cubique.

Soit $f = A\sigma$ une transformation birationnelle quadratique laissant invariante une cubique à point double \mathcal{C} ; alors $\sigma(\mathcal{C})$ est encore une cubique à point double. Comme à conjugaison linéaire près toutes les cubiques à point double sont les mêmes, il existe A_0 dans $\mathrm{PGL}_3(\mathbb{C})$ tel que $\sigma(\mathcal{C}) = A_0(\mathcal{C})$ de sorte que $\mathcal{C} = AA_0(\mathcal{C})$. Le groupe des transformations linéaires qui laissent invariante une cubique à point double est fini. Par exemple si \mathcal{C}_0 est la cubique de WEIERSTRASS : $x_1^2x_2 = x_0^2(x_0 - x_2)$; on vérifie que ce groupe est formé des transformations

$$\begin{aligned} \mathrm{id}, & \quad (4\alpha x_0 + 4x_1 : 4x_0 - 4\alpha x_1 : 9\alpha x_0 + 3x_1 - 8\alpha x_2), \\ (x_0 : -x_1 : x_2), & \quad (4\alpha x_0 - 4x_1 : 4x_0 + 4\alpha x_1 : 9\alpha x_0 - 3x_1 - 8\alpha x_2) \end{aligned}$$

où α satisfait $3\alpha^2 = 1$.

Pour résumer nous obtenons la :

Proposition 4.29. — *Soit \mathcal{C} une cubique à point double. L'ensemble des transformations $A\sigma$ qui laissent invariante \mathcal{C} est fini.*

Remarque 4.30. — Puisque deux cubiques à point double dans $\mathbb{P}^2(\mathbb{C})$ sont linéairement conjuguées une telle cubique est invariante par une infinité de transformations quadratiques de Σ^3 ; on peut préciser cela par un argument essentiellement identique à celui des cubiques lisses (choix des triplets (p_1, p_2, p_3) l'un des p_i pouvant être au point double).

De la même façon on établit que génériquement un élément de Σ^3 ne possède pas de cubique à point double invariante.

Finalement on en déduit la :

Proposition 4.31. — Soit A un automorphisme de $\mathbb{P}^2(\mathbb{C})$ dont les coefficients sont algébriquement indépendants sur \mathbb{Q} . La transformation quadratique $A\sigma$ ne possède pas de courbe irréductible invariante.

En utilisant ce fait nous allons montrer un résultat plus général.

Théorème 4.32. — Soit A un automorphisme de $\mathbb{P}^2(\mathbb{C})$ dont les coefficients sont \mathbb{Q} -algébriquement indépendants. La transformation quadratique $A\sigma$ ne possède pas de courbe (éventuellement non irréductible) invariante.

Démonstration. — Raisonnons par l'absurde ; nous réutilisons ici les notations f pour l'application quadratique de \mathbb{C}^3 dans \mathbb{C}^3 et f^\bullet pour l'application induite sur l'espace projectif $\mathbb{P}^2(\mathbb{C})$. Soient Γ une courbe invariante par $f^\bullet = A^\bullet\sigma^\bullet$ et

$$\Gamma = \Gamma_1 \cup \dots \cup \Gamma_s$$

la décomposition de Γ en facteurs irréductibles, chaque Γ_i étant décrit par une équation irréductible $h_i = 0$. Bien sûr la surface $h_i = 0$ est invariante par l'application polynomiale f . Les coefficients de A étant algébriquement indépendants sur \mathbb{Q} , la transformation f^\bullet est algébriquement stable ; il s'en suit que

$$(4.2.3) \quad \forall i \in \{1, \dots, s\}, \quad \exists \ell \in \{1, \dots, s\} \quad \text{tel que} \quad f^\bullet(\Gamma_i) = \Gamma_\ell.$$

Écrivons que Γ est invariante par f^\bullet

$$h \circ f = h\eta \quad \text{avec} \quad h = h_1 \dots h_s;$$

notons que le théorème de la fonction implicite, appliqué en un point générique de Γ , assure que η n'est pas divisible par les h_i . Remarquons que $\eta = 0$ est formé de branches de

$$\text{Exc } f^\bullet = \{x_0 = 0, x_1 = 0, x_2 = 0\}.$$

En effet supposons que γ soit une branche des zéros de η , alors $h(f(\gamma)) = 0$. Si γ n'est pas contractée par f^\bullet alors $f^\bullet(\gamma)$ coïncide avec l'un des Γ_k ; d'après (4.2.3) il existe $1 \leq i \leq s$ tel que $f^\bullet(\gamma) = f^\bullet(\Gamma_i)$ ce qui n'est pas possible. L'invariance de Γ se réécrit donc

$$h(A\sigma) = \mu h x_0^p x_1^q x_2^r, \quad (p, q, r) \in \mathbb{N}^3 \setminus \{0\}, \quad \mu \in \mathbb{C}^*.$$

Puisque A est générique f^\bullet a quatre points fixes en position générale. Après une conjugaison dynamique du type $(\alpha x_0 : \beta x_1 : \gamma x_2)$ le point $(1 : 1 : 1)$ est fixe par $f = A\sigma : \mathbb{C}^3 \rightarrow \mathbb{C}^3$. Ceci

revient à supposer que la matrice $A = \begin{bmatrix} a_0 & b_0 & c_0 \\ a_1 & b_1 & c_1 \\ a_2 & b_2 & c_2 \end{bmatrix}$ est stochastique

$$(4.2.4) \quad a_i + b_i + c_i = 1, \quad i = 0, 1, 2.$$

Évidemment cette conjugaison détruit l'hypothèse de \mathbb{Q} -indépendance des coefficients de A mais puisque cette modification est faite par conjugaison on garde par exemple la propriété qu'il n'y a pas de courbe irréductible invariante. À partir de

$$h \circ f = \mu(x_0^p x_1^q x_2^r)h$$

on obtient

$$h(1, 1, 1) = \mu h(1, 1, 1).$$

Si $h(1, 1, 1)$ est nul, f laisse invariante la composante irréductible de $h = 0$ passant par $(1, 1, 1)$ ce qui implique que f^\bullet préserve une courbe irréductible, cas exclu par généralité. Il en résulte que $h(1, 1, 1)$ est non nul et que μ vaut 1. Comme l'un des entiers p, q, r est non nul, nous allons supposer que $r \neq 0$. Considérons maintenant la transformation $\tilde{f} = \tilde{A}\sigma$ définie par

$$(a_0(x_1 - x_0)x_2 + x_0x_1, a_1(x_1 - x_0)x_2 + x_0x_1, a_2(x_1 - x_0)x_2 + x_0x_2).$$

Pour a_0, a_1 et a_2 génériques \tilde{f} induit une transformation birationnelle et on constate que

$$\tilde{f}(1, 1, 1) = (1, 1, 1), \quad \tilde{f}(1, 1, 2) = (1, 1, 2).$$

On remarque que le point $(1, 1, 2)$ n'est pas sur la surface $x_0^p x_1^q x_2^r = 1$. En particulier parmi les transformations $g = B\sigma$ satisfaisant (4.2.4) la propriété suivante est générique

$$(4.2.5) \quad g \text{ possède un point fixe } m \text{ situé en dehors de } x_0^p x_1^q x_2^r = 1.$$

Il en est donc ainsi pour f ; en effet si ce n'était pas le cas, alors, pour tout automorphisme de corps κ , les éléments $f^\kappa = A^\kappa\sigma$ auraient tous leurs points fixes sur $x_0^p x_1^q x_2^r = 1$ ce qui contredirait la propriété (4.2.5). Pour un tel point fixe m on a

$$h(m) = h(f(m)) = (x_0^p x_1^q x_2^r)(m)h(m),$$

égalité qui conduit à $h(m) = 0$. Le même raisonnement que précédemment assure que f préserve la composante de $h = 0$ passant par m et donc que f^\bullet a une courbe irréductible invariante : contradiction avec la Proposition 4.31. \square

Théorème 4.33. — Soit $A\sigma$ une transformation de $\mathring{\text{Bir}}_2$ algébriquement stable. Supposons que $\Gamma_1, \dots, \Gamma_s$ soient des courbes (irréductibles ou non) invariantes par $A\sigma$. Dès que $s \geq 5$, l'élément $A\sigma$ préserve une fibration.

Démonstration. — Chaque Γ_i est donné par une équation réduite $h_i = 0$; l'invariance de Γ_i par la transformation $f = A\sigma$ se traduit par

$$h_i \circ f = \mu_i x_0^{p_i} x_1^{q_i} x_2^{r_i} h_i, \quad \mu_i \in \mathbb{C}^*, (p_i, q_i, r_i) \in \mathbb{N}^3 \setminus \{0\}.$$

On en déduit pour tous les entiers n_1, \dots, n_s l'égalité

$$h_1^{n_1} \dots h_s^{n_s} \circ f = \mu_1^{n_1} \dots \mu_s^{n_s} h_1^{n_1} \dots h_s^{n_s} x_0^{\sum_{i=1}^s n_i p_i} x_1^{\sum_{i=1}^s n_i q_i} x_2^{\sum_{i=1}^s n_i r_i}.$$

Dès que $s \geq 5$ on peut trouver des entiers n_i dans \mathbb{Z} non triviaux tels que

$$\sum_{i=1}^s n_i \begin{bmatrix} \deg h_i \\ p_i \\ q_i \\ r_i \end{bmatrix} = 0.$$

L'élément f préserve alors la fibration définie par $h_1^{n_1} \dots h_s^{n_s}$. \square

En faisant un raisonnement analogue sur les branches de $\det(\text{jac } f)$ pour une transformation birationnelle f de degré quelconque on obtient le :

Théorème 4.34. — Soit f une transformation de CREMONA algébriquement stable de degré v . Il existe un entier $N(v)$ tel que : dès que f possède plus de $N(v)$ courbes invariantes f préserve une fibration.

4.3. Exemples de transformations quadratiques préservant une fibration rationnelle

Donnons quelques exemples de transformations birationnelles préservant des fibrations rationnelles qui peuvent être des fibrations en coniques, en cubiques à point double, en cubiques cuspidales, etc. Ces exemples proviennent de la classification des flots (voir Chapitre 2).

- Soit β un rationnel ; la famille de transformations

$$g_\beta = \left(\left(x_0 + \frac{1 - e^{-(\beta+1)t}}{(\beta+1)x_1} \right) e^{\beta t}, e^t x_1 \right)$$

préserve la fibration rationnelle donnée par $\frac{x_1^{1+\beta}}{1+(1+\beta)x_0x_1} = \text{cte}$ fibre à fibre. Elle préserve aussi $x_1 = \text{cte}$ mais en déplaçant les fibres. On constate que g_2 laisse une fibration en cubiques à point double invariante : dans la carte $x_0 = 1$ la famille des courbes invariantes est donnée par $\alpha x_1^3 - x_2^3 - 3x_1x_2 = 0$. Pour $1 + \beta = n$ entier cela donne la fibration

$$\alpha x_1^n - x_2^n - nx_1x_2^{n-2} = 0.$$

- Pour tout β rationnel la famille $\left(\beta \frac{(e^{-2\beta t} + 1)x_0 + \beta(e^{-2\beta t} - 1)}{(e^{-2\beta t} - 1)x_0 + \beta(e^{-2\beta t} + 1)}, e^t x_1 \right)$ préserve la fibration rationnelle $x_1^{2\beta} \frac{(x_0 + \beta)}{(x_0 - \beta)} = \text{cte}$ fibre à fibre ; lorsque β vaut 1 c'est une fibration en cubiques à point double.
- On constate que les transformations $\left(\frac{x_1^2 t + x_1 t^2 + x_0 x_1 + \frac{t^3}{3}}{x_1 + t}, x_1 + t \right)$ laissent invariante la fibration en cubiques à point double $x_1^3 - 3x_0x_1 = \text{cte}$ fibre à fibre.
- La famille de transformations $\left(\frac{x_0(e^t x_1 + 1)}{(x_1 + 1)e^t}, e^t x_1 \right)$ laisse la fibration en coniques $\frac{x_0 x_1}{x_1 + 1} = \text{cte}$ invariante fibre à fibre ; dans la carte $x_1 = 1$, elle est donnée par $\frac{x_0}{x_2(1+x_2)} = \text{cte}$ qui est une famille de paraboles tangentes.
- L'élément $\left(x_0 + t(\beta + x_1^2) + t^2 x_1 + \frac{t^3}{3}, x_1 + t \right)$ de Bir_2 préserve la fibration en cubiques cuspidales $3\beta x_1 + x_1^3 - 3x_0 = \text{cte}$ (se placer dans la carte affine $x_0 = 1$).
- Soit β dans $\mathbb{Q} \setminus \{2\}$; on note que $\left(x_0 e^{\beta t} + \frac{x_1^2}{2-\beta} (e^{2t} - e^{\beta t}), x_1 e^t \right)$ préserve la fibration rationnelle $\frac{x_1^\beta}{x_1^2 + (\beta-2)x_0} = \text{cte}$ fibre à fibre.

– Les transformations

$$\left(\frac{x_0(x_1+1)e^t}{(e^t x_1+1)}, e^t x_1 \right), \quad \text{resp.} \quad \left(\frac{e^t(4x_0x_1+2x_0-1)+2x_0+1}{2(e^t(2x_1+1-2x_0)+1+2x_0)}, e^t x_1 \right), \quad \text{resp.} \quad \left(\frac{x_0x_1}{x_1-x_0+e^{-t}x_0}, e^t x_1 \right)$$

préservent fibre à fibre les fibrations en coniques

$$\frac{x_1}{x_0(x_1+1)} = \text{cte}, \quad \text{resp.} \quad \frac{x_1(1+2x_0)}{(x_1+1)(1-2x_0)} = \text{cte}, \quad \text{resp.} \quad \frac{x_0x_1}{x_1-x_0} = \text{cte}.$$

4.4. Transformations ayant une courbe de points fixes

Dans ce paragraphe nous examinons les différentes courbes de points fixes possibles pour une transformation quadratique.

Comme on l'a vu au Lemme 4.15 dès que A est un automorphisme de $\mathbb{P}^2(\mathbb{C})$ dont les coefficients sont algébriquement indépendants sur \mathbb{Q} , la transformation $(A\sigma)^n$ (resp. $(A\rho)^n$) n'a pas de courbe de points fixes, phénomène que l'on observe déjà pour les automorphismes. Commençons par énoncer le :

Théorème 4.35 ([Pan07b], **Théorème 1.3.**, [BPV08], **Théorème 1.1.**)

Soient C une courbe algébrique irréductible dans $\mathbb{P}^2(\mathbb{C})$ et f une transformation de CREMONA non linéaire laissant C invariante.

- Si C est lisse de genre plus grand ou égal à 1, alors C est une cubique lisse.
- Si le genre de C est supérieur ou égal à 2 et si f est l'identité sur C , alors ou bien f est conjuguée à une transformation de DE JONQUIÈRES, ou bien f est périodique de période inférieure ou égale à 3.

Exemple. — Soit P un polynôme de degré $2d+2$ sans racine multiple ; la transformation définie par $\left(\frac{x_0+P(x_1)}{x_0+1}, x_1 \right)$ laisse la courbe hyperelliptique $x_0^2 = P(x_1)$ invariante.

Rappelons qu'une courbe invariante point par point par une transformation birationnelle quadratique est nécessairement de degré inférieur ou égal à 2 (Proposition 3.3). En fait dans [Bla08] BLANC montre le :

Théorème 4.36 ([Bla08]). — Soient C une cubique plane lisse et G le groupe des transformations birationnelles qui fixent C point par point. Un élément non trivial de G est de degré au moins 3.

De plus les éléments de degré 3 de G engendrent G .

On décrit maintenant les transformations quadratiques qui ont une courbe de points fixes ; les trois énoncés qui suivent s'obtiennent par des calculs élémentaires.

Comme on l'a déjà dit pour que l'image d'une droite par σ soit encore une droite il faut qu'elle passe par l'un des trois points d'indétermination de σ et soit distincte de $x_0 = 0$, $x_1 = 0$ et $x_2 = 0$; de même l'image par σ d'une conique C est encore une conique si C passe par deux des points d'indétermination de σ . D'où la :

Proposition 4.37. — À conjugaison dynamique par permutation et homothéties près on a
– les transformations $A\sigma$ qui possèdent une droite de points fixes s'écrivent

$$(\alpha(x_1 - x_0)x_2 + x_0x_1 : (x_1 - x_0)x_2 + x_0x_1 : \gamma(x_1 - x_0)x_2 + x_0x_2), \quad \alpha, \gamma \in \mathbb{C} \setminus \{1\}, \alpha \neq \gamma$$

(ici la droite de points fixes est la droite d'équation $x_0 = x_1$);

– la transformation $A\sigma$ a une conique lisse de points fixes si elle est du type

$$(x_0x_1 : \alpha x_1x_2 - x_0x_2 + \beta x_0x_1 : x_1x_2), \quad \alpha, \beta \in \mathbb{C}, \alpha\beta \neq 1.$$

La conique de points fixes est alors donnée par : $x_1^2 - \alpha x_1x_2 + x_0x_2 - \beta x_0x_1 = 0$. Cette conique dégénère en deux droites lorsque $\alpha\beta = 1$.

Remarque 4.38. — On constate que l'élément $(x_0x_1 : \alpha x_1x_2 - x_0x_2 + \beta x_0x_1 : x_1x_2)$ préserve la fibration $x_0/x_2 = \text{cte}$ fibre à fibre et ceci montre que tout élément de Σ^3 ayant une conique de points fixes préserve fibre à fibre une fibration en droites. En fait en utilisant les deux propositions qui suivent nous allons voir que toute transformation birationnelle quadratique ayant une conique lisse de points fixes préserve une fibration en droites fibre à fibre.

La caractérisation des droites (resp. coniques) qui sont transformées par ρ en des droites (resp. coniques) permet d'établir la :

Proposition 4.39. — La transformation $A\rho$ a une droite de points fixes si elle s'écrit

$$(a_0x_0x_1 + b_0x_2^2 + c_0x_1x_2 : a_1x_0x_1 + b_1x_2^2 + c_1x_1x_2 : a_2x_0x_1 + b_2x_2^2 + c_2x_1x_2),$$

avec

$$b_1a_2^2 + a_2a_1c_1 - a_1a_2b_2 - a_1^2c_2 = 0 \quad \text{ou} \quad a_0b_0b_2 + c_0b_2^2 - a_2b_0^2 - b_0b_2c_2 = 0.$$

La transformation $A\rho$ a deux droites distinctes de points fixes si elle est de l'une des formes suivantes

$$(\alpha x_0x_1 + x_1x_2 : \beta x_0x_1 + \gamma x_2^2 + \delta x_1x_2 : \epsilon x_0x_1 + \eta x_1x_2), \quad (\eta - \alpha)^2 + 4\epsilon \neq 0;$$

$$(\alpha x_0x_1 + \beta x_2^2 + \gamma x_1x_2 : x_2^2 + \delta x_1x_2 : \epsilon x_2^2 + \eta x_1x_2), \quad (\epsilon - \delta)^2 + 4\eta \neq 0.$$

Enfin la transformation $A\rho$ possède une conique lisse de points fixes si elle est de l'un des types suivants

$$(x_0x_1 : -x_0x_1 - x_2^2 - \beta x_1x_2 : x_1x_2), \quad (x_0x_1 + \alpha x_2^2 + \alpha x_1x_2 : x_1x_2 : x_2^2), \quad \beta \in \mathbb{C}, \quad \alpha \in \mathbb{C}^*.$$

Dans le premier cas la conique est donnée par $x_0x_1 + x_2^2 + \beta x_1x_2 = 0$, dans le second par $x_0x_1 + \alpha x_2^2 + \alpha x_1x_2 - x_0x_2 = 0$.

En ce qui concerne les transformations de Σ^1 on a la :

Proposition 4.40. — Soit $A = (a_0x_0 + b_0x_1 + c_0x_2 : a_1x_0 + b_1x_1 + c_1x_2 : a_2x_0 + b_2x_1 + c_2x_2)$ un automorphisme de $\mathbb{P}^2(\mathbb{C})$.

La transformation $A\tau$ possède une droite de points fixes si $a_0c_0c_1 + b_0c_1^2 - a_1c_0^2 - b_1c_0c_1 = 0$.

La transformation $A\tau$ a une conique lisse de points fixes si $A\tau$ est de la forme

$$(2x_0^2 : 2x_0x_1 : \alpha x_0^2 + \beta x_0x_1 - x_1^2 + x_0x_2), \quad \alpha, \beta \in \mathbb{C};$$

la conique en question a pour équation $x_0x_2 - \alpha x_0^2 - \beta x_0x_1 + x_1^2 = 0$.

Remarque 4.41. — Les itérés de $(2x_0^2 : 2x_0x_1 : \alpha x_0^2 + \beta x_0x_1 - x_1^2 + x_0x_2)$ sont dans Bir_2 . En effet dans la carte $x_0 = 1$ cette application induit la transformation polynomiale

$$\left(x_1, x_2 + \frac{\alpha}{2} + \frac{\beta}{2}x_1 - x_1^2 \right).$$

4.5. Points d'indétermination des itérés, points périodiques

4.5.1. Points d'indétermination, ensembles exceptionnels. —

Soit f un élément du groupe de CREMONA. On note $\text{Ind}^+ f = \bigcup_{n \geq 1} \text{Ind} f^n$ l'union des ensembles d'indétermination des itérés positifs de f . De même on introduit $\text{Ind}^- f = \bigcup_{n \geq 1} \text{Ind} f^{-n}$.

De façon similaire on définit $\text{Exc}^+ f = \bigcup_{n \geq 1} \text{Exc} f^n$ l'ensemble des courbes contractées par les itérés positifs de f ainsi que $\text{Exc}^- f = \bigcup_{n \geq 1} \text{Exc} f^{-n}$.

Soit A un automorphisme de $\mathbb{P}^2(\mathbb{C})$ dont les coefficients sont algébriquement indépendants sur \mathbb{Q} . La transformation $A\sigma$ est alors algébriquement stable ; soit p_1, p_2 et p_3 les points d'indétermination de $A\sigma$. On remarque que pour n dans \mathbb{N} les $(A\sigma)^{-n}(p_i)$ sont des points d'indétermination de $(A\sigma)^{n+1}$. En particulier la \mathbb{Q} -indépendance implique que l'ensemble $\text{Ind}^+(A\sigma)$ est infini ; il en est de même pour $\text{Ind}^-(A\sigma)$.

Théorème 4.42. — Soit A un automorphisme de $\mathbb{P}^2(\mathbb{C})$ dont les coefficients sont algébriquement indépendants sur \mathbb{Q} . Alors $\text{Ind}^-(A\sigma)$ est ZARISKI dense.

Nous proposons deux façons d'établir ce résultat.

Démonstration. — Supposons que $\text{Ind}^-(A\sigma)$ soit contenu dans un sous-ensemble algébrique propre Γ de $\mathbb{P}^2(\mathbb{C})$. Alors il en est de même pour $\text{Ind}^-(A^\kappa\sigma)$ pour tout automorphisme κ du corps \mathbb{C} . Par densité il en est encore de même pour tout élément de Σ^3 . Or nous donnons par la suite des exemples du type

$$\left(\frac{ax_1 + b}{cx_1 + d}, \frac{\alpha x_2 + \beta}{\gamma x_2 + \delta} \right)$$

pour lesquels ce n'est pas vrai donc $\text{Ind}^-(A\sigma)$ est ZARISKI dense.

La deuxième approche est la suivante. Soit $\overline{\text{Ind}^-(A\sigma)}^Z$ l'adhérence de ZARISKI de $\text{Ind}^-(A\sigma)$. Notons que $\overline{\text{Ind}^-(A\sigma)}^Z$ est invariant par $A\sigma$. Supposons que $\overline{\text{Ind}^-(A\sigma)}^Z$ soit strictement contenu dans $\mathbb{P}^2(\mathbb{C})$; comme il est infini on a

$$\overline{\text{Ind}^-(A\sigma)}^Z = \Gamma \cup \{p_1, \dots, p_s\}$$

où Γ désigne une courbe algébrique et les p_i des points de $\mathbb{P}^2(\mathbb{C})$ non situés sur Γ . La \mathbb{Q} -dépendance fait que Γ n'est pas contractée par $A\sigma$. On constate alors que Γ est invariante par $A\sigma$; or génériquement une transformation du type $A\sigma$ ne laisse pas de courbe invariante (Théorème 4.32) : contradiction. \square

Comme le montre la remarque qui suit on ne peut espérer sous les seules hypothèses de la \mathbb{Q} -indépendance obtenir la densité (au sens ordinaire) des points d'indétermination.

Remarque 4.43. — Soit A un automorphisme de $\mathbb{P}^2(\mathbb{C})$ dont les coefficients sont algébriquement indépendants sur \mathbb{Q} . Supposons que $A\sigma$ ait un point fixe m tel que les valeurs propres de la partie linéaire de f en m soient de module 1 mais génériques; $A\sigma$ est alors linéarisable au voisinage de ce point. En particulier il existe un ouvert (polydisque) invariant par $A\sigma$; pour tout n les éléments de $\text{Ind}(A\sigma)^n$ et $\text{Exc}(A\sigma)^n$ ne peuvent rencontrer cet ouvert.

Si A est un élément de $\text{SL}_3(\mathbb{Z})$ (resp. $\text{SL}_3(\mathbb{R})$) les points d'indétermination des $(A\sigma)^n$ sont rationnels (resp. réels). En particulier les $(A\sigma)^n$ sont holomorphes dans le complément de $\mathbb{P}^2(\mathbb{R})$ dans $\mathbb{P}^2(\mathbb{C})$; mais cet ensemble n'est pas invariant puisque les courbes contractées, qui l'intersectent évidemment, le sont sur des points réels. Par contre le complément des courbes contractées privé de $\mathbb{P}^2(\mathbb{R})$ est invariant.

On se convainc facilement qu'il n'est pas aisé de décrire les ensembles Exc^\pm et Ind^\pm ; c'est possible dans des situations très spéciales non génériques en général. Un des exemples les plus simples est le suivant

$$h = (h_1, h_2) = \left(\frac{ax_1 + b}{cx_1 + d}, \frac{\alpha x_2 + \beta}{\gamma x_2 + \delta} \right).$$

On note que h fait partie d'un sous-groupe de Bir_2 ici $\text{PGL}_2(\mathbb{C}) \times \text{PGL}_2(\mathbb{C})$ et peut être vu comme automorphisme mais sur $\mathbb{P}^1(\mathbb{C}) \times \mathbb{P}^1(\mathbb{C})$. On constate déjà dans cette situation des phénomènes « intéressants ».

Si les points fixes de chaque h_i sont distincts de 0 et ∞ dans $\mathbb{P}^1(\mathbb{C})$ alors h est dans Σ^3 , les trois droites contractées par h étant $x_1 = -\frac{d}{c}$, $x_2 = -\frac{\delta}{\gamma}$ et la droite à l'infini $x_0 = 0$. Supposons que chaque h_i soit une rotation irrationnelle; alors les adhérences (ordinaires)

$$\overline{\left\{ h_1^{-n} \left(-\frac{d}{c} \right) \mid n \in \mathbb{N} \right\}} \quad \text{et} \quad \overline{\left\{ h_2^{-n} \left(-\frac{\delta}{\gamma} \right) \mid n \in \mathbb{N} \right\}}$$

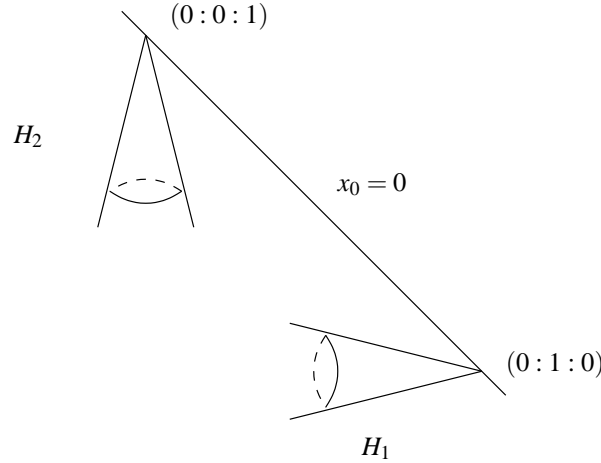
sont des cercles. Il en résulte que

$$\overline{\text{Exc}^+ h} = \bigcup_{n \in \mathbb{N}} \overline{\text{Exc} h^n},$$

qui est aussi dans ce cas

$$\overline{\text{Exc}^- h} = \overline{\bigcup_{n \in \mathbb{N}} \text{Exc} h^{-n}},$$

est l'union de deux cônes réels quadratiques H_1 et H_2 dans $\mathbb{P}^2(\mathbb{C})$ et de la droite à l'infini $x_0 = 0$



L'intersection des deux droites $x_1 = h_1^{-n}(-\frac{d}{c})$ et $x_2 = h_2^{-n}(-\frac{\delta}{\gamma})$ contractées par h^n est un point d'indétermination de h^n (les deux autres étant $(0:1:0)$ et $(0:0:1)$). Par suite l'adhérence

$$\overline{\text{Ind}^+ h} = \overline{\bigcup_{n \in \mathbb{N}} \text{Ind} h^n} = \overline{\text{Ind}^- h} = \overline{\bigcup_{n \in \mathbb{N}} \text{Ind} h^{-n}}$$

est constituée des points $(0:1:0)$, $(0:0:1)$ et de l'intersection des quadriques réelles H_1 et H_2 ; c'est une surface quartique réelle qui est topologiquement un tore $\mathbb{S}^1 \times \mathbb{S}^1$.

On peut bien sûr décrire sans difficulté les $\overline{\text{Exc}^\pm h}$ et $\overline{\text{Ind}^\pm h}$ pour n'importe quelles valeurs des paramètres $a, b, c, d, \alpha, \dots$

Voici quelques exemples tirés de la classification des flots quadratiques qui permettent de visualiser quelques configurations d'ensembles Ind et Exc.

– On considère

$$\phi_t = ((2x_1 + tx_2)x_0 - \frac{t}{2}x_2^2 : (x_1 + tx_2)(-2tx_0 + 2x_1 + tx_2) : x_2(-2tx_0 + 2x_1 + tx_2))$$

Un calcul montre que

$$\text{Exc} \phi_t^n = \text{Exc} \phi_{nt} = \{x_1 = 0, x_1 + nt x_2 = 0, -2nt x_0 + 2x_1 + nt x_2 = 0\}$$

et

$$\text{Ind} \phi_t^n = \text{Ind} \phi_{nt} = \{(1:0:0), (1:0:2), (1:2nt:-2)\}$$

ce qui permet une description immédiate des ensembles Ind^\pm et Exc^\pm .

– Pour le flot ϕ_t donné par

$$(2e^t(t-2)x_0x_1 - e^ttx_1^2 + 2(1-e^t)x_1x_2 - 4x_0x_2 : 2e^tx_1(2tx_0 - (2+t)x_1 - 2x_2) : 2x_2(2tx_0 - (2+t)x_1 - 2x_2))$$

on a

$$\text{Exc } \phi_t^n = \text{Exc } \phi_{nt} = \{x_1 + x_2 = 0, e^{nt}x_1 + x_2 = 0, 2ntx_0 - (2+nt)x_1 - 2x_2 = 0\}$$

et

$$\text{Ind } \phi_t^n = \{(1 : 0 : 0), (1 : 2 : -2), (2 + nt - 2e^{nt} : 2nt : -2nte^{nt})\}$$

Rappelons que pour cet exemple ϕ_t appartient à Σ^3 sauf pour $t \in 2i\pi\mathbb{Z}$ où ϕ_t est soit l'identité, soit dans Σ^2 . Remarquer que suivant les valeurs de t choisies la description des ensembles Ind^\pm n'est pas si simple.

4.5.2. Points périodiques. —

Soit f un élément du groupe de CREMONA. Un point *périodique* de f est un point p tel que les germes f_p^n soient holomorphes et $O^+(f) = \{p, f(p), \dots, f^n(p), \dots\}$ soit un ensemble fini qui ne rencontre pas $\text{Ind } f \cup \text{Ind } f^{-1}$. La période de p est par définition le cardinal de $O^+(f)$.

Remarque 4.44. — Un point fixe p de f^n n'est pas nécessairement un point périodique de f ; il se pourrait en effet que pour un certain $k < n$, l'itéré k -ième de p par f soit d'indétermination pour f^{-1} par exemple.

Un point périodique p de période k est *hyperbolique* si les valeurs propres $\delta_1(p)$ et $\delta_2(p)$ de $Df_{(p)}^k$ satisfont

$$|\delta_1(p)| < 1 < |\delta_2(p)|.$$

L'ensemble des points périodiques hyperboliques d'un automorphisme quadratique f de HÉNON est ZARISKI dense. En effet suivant [FM89] c'est un ensemble infini dans \mathbb{C}^2 c'est-à-dire dans $\mathbb{P}^2(\mathbb{C})$; s'il n'était pas ZARISKI dense f laisserait une courbe invariante ce qui est impossible. Considérons $t \mapsto f_t$ une famille analytique de transformations birationnelles telle que

- f_0 soit une transformation de HÉNON,
- pour tout t non nul f_t appartienne à Σ^3 .

Soit p_0 un point périodique hyperbolique de période N pour f_0 . Fixons D un polydisque centré en p tel que D ne rencontre pas la droite à l'infini. En particulier

$$D \cap \text{Exc } f_0^n = D \cap \text{Ind } f_0^n = \emptyset, \quad \forall 1 \leq n \leq N.$$

Si N est fixé et $|t|$ suffisamment petit, $\text{Exc } f_t^N$ et $\text{Ind } f_t^N$ ne rencontrent pas D . En appliquant le théorème de stabilité des points fixes hyperboliques à la famille de difféomorphismes holomorphes $f_t^N|_D$ on constate qu'il existe une application analytique $p \mapsto p(t)$ telle que pour $|t|$ suffisamment petit $p(t)$ soit un point fixe hyperbolique de f_t de période N .

Soit A un automorphisme de $\mathbb{P}^2(\mathbb{C})$ à coefficients algébriquement indépendants sur \mathbb{Q} . Puisque $\{A^\kappa \mid \kappa \in \text{Aut}(\mathbb{C}, +, \cdot)\}$ est topologiquement dense, si n est fixé, il existe un automorphisme κ du corps \mathbb{C} tel qu'un conjugué linéaire g de $A^\kappa \sigma$ soit très proche de f_0 ; par suite g^n est proche

de f_0^n et possède au moins autant de points fixes que f_0^n a de points fixes hyperboliques (ou plus généralement de points fixes simples). Il en est de même pour $(A^\kappa\sigma)^n$. Cette construction produit donc pour $A\sigma$ au moins autant de points périodiques de période n (pas nécessairement tous hyperboliques) que f_0 a de points périodiques simples. On peut évidemment faire cela pour tout n .

Théorème 4.45. — *Soit A un automorphisme de $\mathbb{P}^2(\mathbb{C})$ dont les coefficients sont algébriquement indépendants sur \mathbb{Q} . L'ensemble des points périodiques de $A\sigma$ est ZARISKI dense.*

Démonstration. — Posons $f = A\sigma$. D'après ce qui précède f a une infinité de points périodiques. Notons $\text{Per}(f)$ l'ensemble des points périodiques de f . L'idée est toujours la même. Si l'adhérence de ZARISKI $\overline{\text{Per}(f)}^Z$ de $\text{Per}(f)$ est strictement contenue dans $\mathbb{P}^2(\mathbb{C})$, alors $\overline{\text{Per}(f)}^Z$ s'écrit comme l'union d'une courbe algébrique Γ et de points p_i de $\mathbb{P}^2(\mathbb{C})$ non situés sur Γ

$$\overline{\text{Per}(f)}^Z = \Gamma \cup \{p_1, \dots, p_s\}.$$

Puisque $f(\text{Per}(f))$ est contenu dans $\text{Per}(f)$, la courbe Γ est invariante par f ce qui n'est pas possible en vertu du Théorème 4.32. Il en résulte que $\text{Per}(f)$ est ZARISKI dense. \square

Remarque 4.46. — On peut aussi procéder comme suit.

Posons $f = A\sigma$. D'après ce qui précède f a une infinité de points périodiques et une infinité de périodes distinctes apparaît (ceci est vrai pour les applications de HÉNON). Notons $\text{Per}(f)$ l'ensemble des points périodiques de f . Si $\text{Per}(f)$ est contenu dans un sous-ensemble algébrique propre Γ , alors Γ est du type

$$\Gamma = \Gamma_1 \cup \dots \cup \Gamma_n \cup \{p_1, \dots, p_s\}$$

où les p_i sont des points isolés et les Γ_i des courbes irréductibles. On en déduit l'existence d'entiers j et k tels que $f^j(\Gamma_k) = \Gamma_k$ et l'itéré f^j a une infinité de points périodiques avec une infinité de périodes distinctes ; ceci implique que la normalisée de Γ_k est $\mathbb{P}^1(\mathbb{C})$. Comme un élément de $\text{PGL}_2(\mathbb{C})$ ne peut posséder une infinité de points périodiques avec périodes distinctes, on obtient une contradiction.

Dans [Fav98] FAVRE donne une estimation du nombre de points périodiques d'un élément générique du groupe de CREMONA de degré $d \geq 2$; puis il montre, avec DILLER, un résultat sur les transformations biméromorphes d'une surface de KÄHLER compacte que nous énonçons dans le cas particulier de $\mathbb{P}^2(\mathbb{C})$.

Théorème 4.47 ([DF01]). — *Soit f une transformation de CREMONA non linéaire algébriquement stable telle que $\lambda(f) > 1$. Supposons que f n'ait pas de courbe de points périodiques. Notons Per_k le nombre de points périodiques de période (divisant) k . Il existe une constante $C > 0$ telle que pour tout $k \geq 0$ on ait*

$$|\text{Per}_k - \lambda(f)^k| \leq C.$$

Remarquons que les Corollaire 4.5 et Lemme 4.15 permettent d'appliquer ce Théorème à toute transformation $A\sigma$ avec A automorphisme générique de $\mathbb{P}^2(\mathbb{C})$.

Remarque 4.48. — Il y a des transformations birationnelles de degré 2 dans Σ^3 qui sont algébriquement stable avec un nombre fini de points périodiques ; par exemple pour α, β génériques les applications $f_{\alpha,\beta}^2$, où

$$f_{\alpha,\beta} = \left(\frac{\alpha x_0 + x_1}{x_0 + 1}, \beta x_1 \right)$$

avec α, β deux complexes génériques de module 1, sont de ce type. Leur degré dynamique vaut 1.

La transformation f vérifie la **condition de BEDFORD et DILLER** (voir [BD05]) si

$$\sum_{n \geq 0} \frac{1}{\lambda(f)^n} |\log(\text{dist}(f^n(\text{Ind } f^{-1}), \text{Ind } f))| < \infty.$$

Cette condition implique la stabilité algébrique.

Le théorème qui suit est très important ; il montre l'abondance de points périodiques hyperboliques. Nous l'énonçons dans le cadre restreint de $\mathbb{P}^2(\mathbb{C})$.

Théorème 4.49 ([BD05, Duj06]). — *Soit f un élément non linéaire du groupe de CREMONA. Supposons que f vérifie la condition de BEDFORD et DILLER. Alors f possède une infinité de points périodiques hyperboliques qui s'équidistribuent suivant une mesure de probabilité f -invariante.*

Nous allons en déduire la :

Proposition 4.50. — *Soit A un automorphisme de $\mathbb{P}^2(\mathbb{C})$ à coefficients réels strictement positifs. La transformation birationnelle quadratique $A\sigma$ vérifie la condition de BEDFORD et DILLER ; en particulier $A\sigma$ possède une infinité de points périodiques hyperboliques.*

Démonstration. — On note $f = A\sigma$ et $A = \begin{bmatrix} a_0 & b_0 & c_0 \\ a_1 & b_1 & c_1 \\ a_2 & b_2 & c_2 \end{bmatrix}$. Les points d'indétermination a, b

et c de f^{-1} sont donnés par les colonnes de A

$$a = (a_0 : a_1 : a_2), \quad b = (b_0 : b_1 : b_2), \quad c = (c_0 : c_1 : c_2).$$

Dans la carte affine $x_2 = 1$, on note Θ l'ensemble réel défini par

$$\Theta := \{x_0 \geq 0, x_1 \geq 0\}.$$

On remarque que σ laisse invariant Θ . Comme les coefficients de A sont positifs on a l'inclusion $A(\Theta) \subset \Theta$; par suite $f(\Theta) \subset \Theta$. En fait $f(\Theta)$ est le triangle de sommets a, b et c . Il en résulte que $f^n(\text{Ind } f^{-1}) \subset \Theta$ pour tout $n \geq 0$. Soit dist la métrique de FUBINI-STUDY de diamètre 1 et $0 < \varepsilon < 1$ la distance de $f(\Theta)$ à

$$\text{Ind } f = \{(1 : 0 : 0), (0 : 1 : 0), (0 : 0 : 1)\};$$

on a

$$\text{dist}(f^n(\text{Ind } f^{-1}), \text{Ind } f) \leq \text{dist}(f(\Theta), \text{Ind } f) = \varepsilon.$$

Comme la série

$$\sum_{n \geq 0} \frac{1}{\lambda(f)^n} |\log(\text{dist}(f^n(\text{Ind } f^{-1}), \text{Ind } f))| \leq |\log \varepsilon| \sum_{n \geq 0} \frac{1}{2^n}$$

est convergente on peut appliquer le Théorème 4.49. \square

Suite à une discussion avec Romain DUJARDIN, que nous remercions, nous avons établi le :

Théorème 4.51. — *L'ensemble des éléments de Bir_2 possédant une infinité de points périodiques hyperboliques est dense dans Bir_2 .*

Démonstration. — L'ensemble des transformations de Bir_2 qui vérifient la condition de BEDFORD et DILLER est le complément d'un ensemble « pluri-polaire » ([BD05]). Lorsque A est à coefficients réels strictement positifs $A\sigma$ satisfait cette condition, on en déduit que cet ensemble est non vide et donc dense : c'est une propriété des ensembles pluri-polaires. \square

Remarque 4.52. — On peut démontrer la densité des transformations de Bir_2 possédant une infinité de points périodiques en partant d'une transformation $A\sigma$ avec A dans $\text{PGL}_3(\mathbb{R})$ à coefficients algébriquement indépendants et en faisant agir $\text{Aut}(\mathbb{C}, +, \cdot)$. Mais cette démarche ne contrôle pas l'hyperbolicité.

4.6. Transformations birationnelles quadratiques de carré quadratiques

On note que pour toute transformation de CREMONA f telle que

$$\deg f^n = 2 \quad \forall n \geq 1$$

il existe un entier k tel que f^k se plonge dans un flot. En effet $\overline{\langle f^n \rangle}^Z$ est un sous-ensemble algébrique de $\mathbb{P}^{17}(\mathbb{C})$ et $\overline{\langle f^n \rangle}^Z \cap \text{Bir}_2$ est un groupe algébrique. Par suite $\overline{\langle f^n \rangle}^Z \cap \text{Bir}_2$ a un nombre fini de composantes connexes ; une puissance de f est dans la composante connexe de l'identité et cette puissance se plonge dans un flot.

Nous avons vu que la non stabilité algébrique était reliée à une baisse du degré des itérés. Dans cet ordre d'idée nous allons décrire les transformations quadratiques de Σ^3 (resp. Σ^2 , resp. Σ^1) dont le carré est encore dans Bir_2 . Ceci se ramène à chercher les automorphismes A de $\mathbb{P}^2(\mathbb{C})$ pour lesquels $(A\sigma)^2$ (resp. $(A\rho)^2$, resp. $(A\tau)^2$) est encore dans Bir_2 ; cela produit des exemples de familles de transformations birationnelles non algébriquement stables. Les flots rencontrés au Chapitre 2 sont comme cela.

Commençons par un exemple. La famille des transformations birationnelles $f_{\alpha,\beta}$ définie par

$$f_{\alpha,\beta} = \left(\frac{\alpha x_0 + x_1}{x_0 + 1}, \beta x_1 \right)$$

où α, β désignent des nombres complexes a été étudiée dans [Dés08]

$$\deg f_{\alpha,\beta}^2 = 2, \deg f_{\alpha,\beta}^3 = 3, \deg f_{\alpha,\beta}^4 = 3, \deg f_{\alpha,\beta}^5 = 4, \deg f_{\alpha,\beta}^6 = 4, \deg f_{\alpha,\beta}^7 = 5, \dots$$

Lorsque α et β sont de la forme $\exp(2i\pi\eta)$ et $\exp(2i\pi\tilde{\eta})$ avec $\eta, \tilde{\eta}$ dans $\mathbb{R} \setminus \mathbb{Z}$, cette famille a une dynamique curieuse ([Dés08]) que nous rappellerons brièvement au Chapitre 6. Cette famille montre que la condition $\deg f^2 = 2$ n'est pas suffisante pour que tous les itérés soient de degré 2.

Examinons de plus près les éléments de Σ^3 dont le carré est quadratique. La transformation $(B\sigma C)^2$ est quadratique si et seulement si $\sigma C B \sigma$ l'est ; on se ramène donc à déterminer les éléments A de $\text{PGL}_3(\mathbb{C})$ tels que $\sigma A \sigma$ soit quadratique.

Proposition 4.53. — Les éléments A de $\text{PGL}_3(\mathbb{C})$ tels que $\deg \sigma A \sigma \leq 2$ s'écrivent $f \ell g$ avec

$$\ell = (x_0 : \alpha x_0 + \beta x_1 : \gamma x_0 + \delta x_2), \quad \alpha, \gamma \in \mathbb{C}, \beta, \delta \in \mathbb{C}^* \quad f, g \in \mathcal{S}_6.$$

Démonstration. — Posons $A\sigma := (F_0 : F_1 : F_2)$. La transformation $\sigma A \sigma$ est de degré inférieur ou égal à 2 si et seulement si il existe ψ et q_i dans $\mathbb{C}[x_0, x_1, x_2]_2$ tels que

$$(F_1 F_2 : F_0 F_2 : F_0 F_1) = \psi(q_0 : q_1 : q_2).$$

Si ψ était irréductible, ψ diviserait deux F_i distincts ; $A\sigma$ ne serait alors pas inversible ce qui est absurde. Ainsi ψ s'écrit $\psi_0 \psi_1$, les ψ_i désignant des formes linéaires.

Si ψ_0 et ψ_1 coïncident à multiplication près par un scalaire, alors ou bien deux des composants de $A\sigma$ sont multiples l'une de l'autre, ou bien $A\sigma$ est linéaire ; ces deux éventualités étant exclues, ψ_0 et ψ_1 ne sont pas multiples l'une de l'autre.

Quitte à réindicer les ψ_i on peut supposer que ψ_0 divise l'un des F_i et ψ_1 les deux autres. À permutation près on a

$$F_0 = \psi_0 f_0, \quad F_1 = \psi_1 f_1, \quad F_2 = \psi_1 f_2,$$

les f_i étant des formes linéaires. On obtient alors

$$\sigma A \sigma = (\psi_1 f_1 f_2 : \psi_0 f_0 f_2 : \psi_1 f_0 f_1);$$

cette transformation est de degré inférieur ou égal à 2 si l'un des facteurs de la i -ème composante divise les autres. Étudions par exemple le cas où f_1 divise $\psi_0 f_0 f_2$ et $\psi_1 f_0 f_1$. Remarquons que si f_1 divise ψ_0 alors $A\sigma$ est linéaire donc f_1 divise $f_0 f_2$. Considérons par exemple l'éventualité : f_1 divise f_0 ; alors

$$\sigma A \sigma = (\psi_1 f_2 : \psi_0 f_2 : \psi_1 f_1), \quad A \sigma = (\psi_0 f_0 : \psi_1 f_0 : \psi_0 f_2).$$

Par définition les F_i sont du type $*x_1 x_2 + *x_0 x_2 + *x_0 x_1$: ceci impose des conditions sur les ψ_i et f_i . Si ψ_0 est de la forme $B_0 x_0 + C_0 x_1$ avec $B_0 C_0 \neq 0$, nécessairement

$$f_0 = c_0 x_2, \quad f_2 = c_2 x_2 \quad \text{et} \quad \psi_1 = B_1 x_0 + C_1 x_1;$$

la transformation $A\sigma$ est alors linéaire ce qui est impossible. Si ψ_0 est du type $B_0 x_0$, alors

$$f_0 = b_0 x_1 + c_0 x_2 \quad \text{et} \quad f_2 = b_2 x_1 + c_2 x_2.$$

Lorsque $b_0 c_0 \neq 0$, on constate que $\psi_1 = B_1 x_0$ et $A\sigma$ est linéaire. Si b_0 est nul, $\psi_1 = B_1 x_0 + C_1 x_1$ et

$$\deg A \sigma \leq 2, \quad A = (x_1 : \beta x_0 + \gamma x_1 : \delta x_1 + \epsilon x_2).$$

De même quand $c_0 = 0$ on obtient que $A\sigma$ est de degré inférieur ou égal à 2 et A est du type

$$(x_2 : \beta x_0 + \gamma x_2 : \delta x_1 + \varepsilon x_2).$$

En examinant tous les cas possibles on a le résultat annoncé. \square

L'énoncé précédent conduit avec les mêmes notations à la :

Proposition 4.54. — Soit Q une transformation de Σ^3 . Si $\deg Q^2 \leq 2$, alors Q est, à conjugaison linéaire dynamique près, de l'un des types suivants

$$\begin{aligned} Q_1 &= \left(\frac{ax_1 + 1}{x_1}, \frac{cx_2 + 1}{x_2} \right), & Q_2 &= \left(a + bx_1, \frac{cx_2 + x_1}{x_2} \right), \\ Q_3 &= \left(\frac{ax_2 + 1}{x_2}, \frac{cx_1 + d}{x_1} \right), & Q_4 &= \left(a + x_2, \frac{cx_1 + x_2}{x_1} \right), \end{aligned}$$

où a, b, c et d sont des nombres complexes satisfaisant $bd \neq 0$.

Remarques 4.55. —

- Les transformations Q_1 et Q_3 sont des automorphismes de $\mathbb{P}^1(\mathbb{C}) \times \mathbb{P}^1(\mathbb{C})$; tous leurs itérés sont de degré 2.
- On obtient des transformations f de Σ^3 dont le carré est dans Σ^2 ; par exemple Q_1 lorsque a ou c est nul.
- Les transformations étudiées par BEDFORD et KIM ([BK]) sont à conjugaison dynamique près de la forme Q_4 .

En général Q_2 et Q_4 ne sont pas de cube quadratique.

Proposition 4.56. — La transformation $Q_2 = \left(a + bx_1, \frac{cx_2 + x_1}{x_2} \right)$ est de cube quadratique si et seulement si nous sommes dans l'un des deux cas suivants

- $c = 0$;
- $c \neq 0, b = -1$ et $c^2 + a = 0$.

Dans les deux cas les itérés de Q_2 sont tous quadratiques.

Démonstration. — Un calcul montre que Q_2^3 s'écrit

$$\left(a + ab + ab^2 + b^3x_1, \frac{c(c^2 + 2a + ab)x_2 + (c^2 + ab + a)x_1 + bc(1 + b)x_1x_2 + b^2x_1^2}{(c^2 + a)x_2 + cx_1 + bx_1x_2} \right).$$

Le dénominateur de la seconde composante ne peut être linéaire ($b \neq 0$) donc Q_2^3 est quadratique si et seulement si le dénominateur de la seconde composante de Q_2^3 divise le numérateur de celle-ci; cette simplification a lieu si $(c^2 + a)x_2 + cx_1 + bx_1x_2$ est un produit. C'est le cas si et seulement si $bc(c^2 + a) = 0$ et comme b est nécessairement non nul on doit étudier les cas $c = 0$ et $c^2 + a = 0$.

Si $c = 0$ on a

$$Q_2^3 = \left(a + ab + ab^2 + b^3x_1, \frac{ab + a + bx_1^2}{bx_2} \right);$$

on remarque que Q_2^3 est à conjugaison dynamique près du même type que Q_2 . Ainsi tous les itérés de Q_2 sont de degré 2.

Si $c \neq 0$ et $c^2 + a = 0$ on a

$$Q_2^3 = \left(a + ab + ab^2 + b^3x_1, \frac{ac(1+b)x_2 + abx_1 + bc(1+b)x_1x_2 + b^2x_1^2}{x_1(c + bx_2)} \right)$$

Comme b est non nul on constate que Q_2^3 est quadratique si et seulement si $a(b+1) = 0$, ce qui conduit à $b = -1$ puisque $a \neq 0$. On remarque qu'alors $Q_2^4 = \text{id}$. \square

Par un calcul élémentaire on démontre la :

Proposition 4.57. — *La transformation $Q_4 = \left(a + x_2, \frac{cx_1 + dx_2}{x_1} \right)$ est de cube quadratique si et seulement si a et c sont nuls ; dans ce cas Q_4 est dynamiquement conjugué à $\left(x_2, \frac{x_2}{x_1} \right)$ qui est périodique de période 6. Tous ses itérés sont quadratiques.*

Les calculs qui suivent vont nous permettre de distinguer les différentes classes de conjugaison des transformations quadratiques de carré quadratique. Soient Q dans Bir_2 et m un point du plan projectif complexe ; on notera $\mu_Q(m)$ la multiplicité en m du feuilletage défini par Q . Nous allons montrer comment on calcule les différentes multiplicités par exemple pour les éléments

$$f_{\alpha,\beta} = \left(\frac{\alpha x_0 + x_1}{x_0 + 1}, \beta x_1 \right) ;$$

ces transformations comptent trois points d'indétermination

$$(1 : 0 : 0), \quad (0 : 1 : 0), \quad (-1 : \alpha : 1)$$

et deux points fixes $(0 : 0 : 1)$ et $(\alpha - 1 : 0 : 1)$. Le feuilletage associé à $f_{\alpha,\beta}$ est donné par la 1-forme

$$(1 - \beta)x_1x_2(x_0 + x_2)dx_0 + x_2(x_2(\alpha x_0 + x_1) - x_0(x_0 + x_2))dx_1 + x_1(\beta x_0(x_0 + x_2) - x_2(\alpha x_0 + x_1))dx_2.$$

Plaçons-nous dans la carte $x_1 = 1$ pour calculer $\mu_{f_{\alpha,\beta}}(0 : 1 : 0)$; le feuilletage associé à $f_{\alpha,\beta}$ est donné par

$$(1 - \beta)x_2(x_0 + x_2)dx_0 + (\beta x_0(x_0 + x_2) - x_2(\alpha x_0 + 1))dx_2.$$

La quantité $(1 - \beta)x_2(x_0 + x_2)$ est nulle si et seulement si $x_2 = 0$ ou $x_0 = -x_2$. Lorsque $x_2 = 0$ (resp. $x_0 = -x_2$) on a

$$\beta x_0(x_0 + x_2) - x_2(\alpha x_0 + 1) = \beta x_0^2$$

(resp. $\beta x_0(x_0 + x_2) - x_2(\alpha x_0 + 1) = -(\alpha x_0 + 1)x_0$) ; il s'en suit que $\mu_{f_{\alpha,\beta}}(0 : 1 : 0) = 2 + 1 = 3$. De même on obtient

$$\mu_{f_{\alpha,\beta}}(1 : 0 : 0) = \mu_{f_{\alpha,\beta}}(0 : 0 : 1) = \mu_{f_{\alpha,\beta}}(\alpha - 1 : 0 : 1) = \mu_{f_{\alpha,\beta}}(1 : -\alpha : 1) = 1.$$

On a la :

Proposition 4.58. — Soit Q un élément de Σ^3 dont le carré est de degré inférieur ou égal à 2. On suppose que $\deg \mathcal{F}(Q) = 2$. Notons p_1 , p_2 et p_3 les points d'indétermination de Q . Le tableau suivant donne les multiplicités aux points d'indétermination.

valeurs de $(\mu_Q(p_1), \mu_Q(p_2), \mu_Q(p_3))$ à permutation près	Q est dynamiquement conjugué à
(1, 1, 1)	$\left(a + \frac{1}{x_1}, c + \frac{1}{x_2}\right)$
(1, 1, 3)	$\left(1 + bx_1, c + \frac{x_1}{x_2}\right), b \notin \{0, 1\}$
(1, 5, 1)	$\left(1 + x_1, c + \frac{x_1}{x_2}\right)$
(2, 3, 1)	$\left(bx_1, 1 + \frac{x_1}{x_2}\right), b \notin \{0, 1\}$
(2, 3, 1)	$\left(\frac{b}{x_2}, 1 + \frac{1}{x_1}\right), b \notin \{0, 1\}$
(3, 3, 1)	$\left(bx_1, \frac{x_1}{x_2}\right), b \notin \{0, 1\}$
(1, 2, 2)	$\left(\frac{x_2+b}{x_2}, 1 + \frac{d}{x_1}\right), bd \neq 0$
(1, 2, 2)	$\left(1 + x_2, c + \frac{dx_2}{x_1}\right), d \neq 0$
(1, 2, 4)	$\left(\frac{1}{x_2}, 1 + \frac{1}{x_1}\right)$
(2, 2, 2)	$\left(x_2, c + \frac{x_2}{x_1}\right), c \neq -1$
(3, 2, 2)	$\left(x_2, \frac{x_2}{x_1} - 1\right)$

Remarque 4.59. — La condition $\deg \mathcal{F}(Q) = 2$ impose que les paramètres a , b , c et d ci-dessus prennent des valeurs génériques. Lorsque les triplets de multiplicité de deux transformations sont distincts elles ne peuvent être dynamiquement conjuguées.

Remarques 4.60. —

- On constate que les deux modèles $\left(bx_1, 1 + \frac{x_1}{x_2}\right)$ et $\left(\frac{b}{x_2}, 1 + \frac{1}{x_1}\right)$ ont, à permutation près, même multiplicité aux points d'indétermination mais ne sont pas dynamiquement conjugués ; en effet $\left(bx_1, 1 + \frac{x_1}{x_2}\right)$ laisse la fibration $x_1 = \text{cte}$ invariante alors qu'un calcul montre que $\left(\frac{b}{x_2}, 1 + \frac{1}{x_1}\right)$ ne préserve pas de fibration en droites.
- On note que $\left(\frac{x_2+b}{x_2}, 1 + \frac{d}{x_1}\right)^2$ préserve deux fibrations en droites alors que $\left(1 + x_2, c + \frac{dx_2}{x_1}\right)^2$ n'en préserve qu'une ; par suite $\left(\frac{x_2+b}{x_2}, 1 + \frac{d}{x_1}\right)$ et $\left(1 + x_2, c + \frac{dx_2}{x_1}\right)$ ne sont pas dynamiquement conjugués.
- Chaque fois que la somme des multiplicités aux points d'indétermination vaut 7 la transformation correspondante n'a pas de point fixe.

4.6.1. Cas non génériques. —

Pour classifier les éléments de Σ^2 de carré quadratique on s'intéresse aux éléments A de $\text{PGL}_3(\mathbb{C})$ tels que $\rho A \rho$ appartienne à Bir_2 .

Proposition 4.61. — *Tout élément A de $\text{PGL}_3(\mathbb{C})$ tel que $\rho A \rho$ soit de degré inférieur ou égal à 2 est de l'un des trois types suivants*

$$\begin{aligned} (\alpha x_0 + \beta x_1 + \delta x_2 : x_1 : \varepsilon x_1 + \gamma x_2), & \quad (\alpha x_1 + \beta x_2 : \gamma x_0 + \delta x_2 : x_2), \\ (\alpha x_0 + \beta x_2 : \gamma x_1 + \delta x_2 : x_2), & \quad \beta, \delta, \varepsilon \in \mathbb{C}, \alpha, \gamma \in \mathbb{C}^*. \end{aligned}$$

Démonstration. — On reprend la démarche qui nous a permis d'établir la Proposition 4.53.

Écrivons $A\rho$ sous la forme $(F_0 : F_1 : F_2)$. La transformation $\rho A \rho$ est dans Bir_2 si et seulement s'il existe ψ et q_i dans $\mathbb{C}[x_0, x_1, x_2]_2$ satisfaisant

$$(4.6.1) \quad (F_0 F_1 : F_2^2 : F_1 F_2) = \psi(q_0 : q_1 : q_2).$$

Si ψ était irréductible, ψ coïnciderait, à multiplication par un scalaire près, avec deux F_i distincts ; $A\rho$ ne serait alors pas inversible ce qui est absurde. Il en résulte que ψ s'écrit comme le produit de deux formes linéaires que nous noterons ψ_0 et ψ_1 .

Si $\psi_0 = \alpha \psi_1$ avec α dans \mathbb{C}^* on a l'alternative suivante

- $q_1 = \ell_1^2$ et $F_2 = \ell_1 \psi_0$ où ℓ_1 désigne une forme linéaire non proportionnelle à ψ_0 ;
- $q_1 = \psi_0^2$ et $F_2 = \psi_0^2$.

Nous allons considérer ces deux éventualités au cas par cas.

- L'égalité (4.6.1) entraîne que

$$F_1 = \psi_0^2 \quad \text{et} \quad F_2 = \ell_1 \psi_0.$$

Le fait que chaque F_i soit du type $*x_0 x_1 + *x_2^2 + *x_1 x_2$ implique que

$$F_0 = \alpha x_0 x_1 + \beta x_2^2 + \delta x_1 x_2, \quad F_1 = x_2^2, \quad F_2 = \varepsilon x_2^2 + \gamma x_1 x_2,$$

autrement dit

$$A = \begin{bmatrix} \alpha & \beta & \delta \\ 0 & 1 & 0 \\ 0 & \varepsilon & \gamma \end{bmatrix}, \quad \alpha \gamma \neq 0.$$

- L'égalité (4.6.1) conduit à $F_0 q_2 = \psi_0^2 q_0$. On sait que ψ_0^2 ne divise pas F_0 (si c'était le cas F_0 et F_2 seraient égales à multiplication par un scalaire près et $A\rho$ ne serait pas inversible !) Si ψ_0 ne divisait pas F_0 , on aurait $q_0 = \psi_0^2$ et F_1, F_2 seraient multiples l'une de l'autre ce qui est impossible. Ainsi F_0 est du type $\psi_0 \ell$ avec ℓ forme linéaire non proportionnelle à ψ_0 ; en réécrivant (4.6.1) on obtient $\ell q_2 = \psi_0 q_0$ d'où : ψ_0 divise q_2 . Par suite ψ_0 divise chaque F_i ce qui est impossible.

Finalement étudions le cas où les ψ_i ne sont pas multiples l'une de l'autre. Il s'en suit que $q_1 = F_2 = \psi_0 \psi_1$. À partir de (4.6.1) on a

$$F_0 q_2 = \psi_0 \psi_1 q_0, \quad F_1 = q_2.$$

Puisque les F_i ne sont pas proportionnels on a à réindexation près

$$F_0 = \psi_0 \ell, \quad F_1 = \psi_1 \tilde{\ell}, \quad F_2 = \psi_0 \psi_1$$

où $\ell, \tilde{\ell}$ désignent deux formes linéaires telles que ψ_1 et ℓ (resp. ψ_0 et $\tilde{\ell}$) ne soient pas proportionnelles.

Les F_i étant de la forme $*x_0 x_1 + *x_2^2 + *x_1 x_2$ un calcul montre que A est de l'un des types suivants

$$\begin{bmatrix} 0 & \gamma & \beta \\ \alpha & 0 & \delta \\ 0 & 0 & 1 \end{bmatrix}, \quad \begin{bmatrix} \alpha & 0 & \beta \\ 0 & \gamma & \delta \\ 0 & 0 & 1 \end{bmatrix}, \quad \alpha\gamma \neq 0.$$

□

Cette proposition technique permet d'obtenir le :

Corollaire 4.62. — Soit Q une transformation de Σ^2 . Si $\deg Q^2 \leq 2$, alors Q est, à conjugaison linéaire dynamique près, de l'un des types suivants

$$\begin{aligned} \mathcal{Q}_1 &= \left(\frac{\alpha x_0 x_1 + \gamma x_1 + \beta}{1 + \delta x_1}, \frac{1}{1 + \delta x_1} \right), & \mathcal{Q}_2 &= \left(\frac{\alpha x_0 x_1 + x_1 + \beta}{x_1}, \frac{1}{x_1} \right), \\ \mathcal{Q}_3 &= \left(\frac{\alpha}{x_1} + 1, \gamma x_0 + 1 \right), & \mathcal{Q}_4 &= \left(\frac{\alpha}{x_1}, \gamma x_0 \right), \\ \mathcal{Q}_5 &= \left(\frac{\alpha}{x_1} + 1, x_0 \right), & \mathcal{Q}_6 &= \left(\frac{\alpha}{x_1}, x_0 + 1 \right), \\ \mathcal{Q}_7 &= \left(\alpha x_0 + 1, \frac{\gamma}{x_1} + 1 \right), & \mathcal{Q}_8 &= \left(\alpha x_0, \frac{\gamma}{x_1} + 1 \right), \\ \mathcal{Q}_9 &= \left(\alpha x_0 + 1, \frac{1}{x_1} \right), & \mathcal{Q}_{10} &= \left(\alpha x_0, \frac{1}{x_1} \right). \end{aligned}$$

Remarque 4.63. — On remarque que $\deg \mathcal{Q}_i^n \leq 2$ pour tout n .

Toute transformation appartenant à Σ^1 s'écrit $B\tau C$; elle est de carré quadratique si et seulement si $\tau C B \tau$ l'est. On s'intéresse donc aux éléments A de $\text{PGL}_3(\mathbb{C})$ tels que $\tau A \tau$ appartienne à Bir_2 .

En suivant la démarche utilisée pour la Proposition 4.53 on obtient la :

Proposition 4.64. — *Tout automorphisme A de $\mathbb{P}^2(\mathbb{C})$ tel que $\tau A \tau$ soit de degré inférieur ou égal à 2 est du type*

$$(x_0 : \alpha x_0 + \beta x_1 : \gamma x_0 + \delta x_1 + \varepsilon x_2), \quad \alpha, \gamma, \delta \in \mathbb{C}, \beta, \varepsilon \in \mathbb{C}^*.$$

Démonstration. — On reprend l'idée de la démonstration de la Proposition 4.53.

Notons F_0, F_1 et F_2 les composantes de $A\tau$. La transformation $\tau A \tau$ est dans Bir_2 si et seulement si

$$(4.6.2) \quad (F_0^2 : F_0 F_1 : F_1^2 - F_0 F_2) = \psi(q_0 : q_1 : q_2), \quad q_i, \psi \in \mathbb{C}[x_0, x_1, x_2]_2.$$

Si ψ était inversible, ψ diviserait F_0 et F_1 autrement dit $A\tau$ ne serait pas inversible ce qui est impossible ; ψ s'écrit donc $\psi_0 \psi_1$ avec ψ_i forme linéaire.

Supposons que ψ_0 et ψ_1 soient multiples l'une de l'autre ; (4.6.2) se réécrit alors

$$F_0^2 = \psi_0^2 q_0, \quad F_0 F_1 = \psi_0^2 q_1, \quad F_1^2 - F_0 F_2 = \psi_0^2 q_2$$

d'où l'alternative

- il existe une forme linéaire ℓ non proportionnelle à ψ_0 telle que $q_0 = \ell^2$ et $F_0 = \ell \psi_0$;
- $q_0 = F_0 = \psi_0^2$.

Traitons chacune de ces éventualités.

- Commençons par supposer que $q_0 = \ell^2$ et $F_0 = \ell \psi_0$. L'égalité (4.6.2) conduit à

$$\ell F_1 = \psi_0 q_1, \quad F_1^2 = \psi_0^2 q_2 + \ell \psi_0 F_2.$$

La première égalité entraîne, puisque ℓ et ψ_0 ne sont pas proportionnelles, que ψ_0 divise F_1 ; par suite ψ_0^2 divise F_1^2 . La seconde égalité assure alors que ψ_0 divise F_2 ce qui est impossible.

- Finalement supposons que $F_0 = q_0 = \psi_0^2$. À partir de (4.6.2) on a

$$F_1 = q_1, \quad F_1^2 = \psi_0^2 (q_2 + F_2);$$

il en résulte que ψ_0^2 divise F_1^2 . Comme F_0 et F_1 ne sont pas proportionnelles il existe une forme linéaire ℓ non proportionnelle à ψ_0 telle que $F_1 = \ell \psi_0$. Chaque F_i étant du type $*x_0^2 + *x_0 x_1 + *(x_1^2 - x_0 x_2)$ on obtient

$$F_0 = x_0^2, \quad F_1 = x_0(\beta x_0 + \alpha x_1), \quad \alpha \neq 0;$$

autrement dit

$$A = \begin{bmatrix} 1 & 0 & 0 \\ \beta & \alpha & 0 \\ \delta & \varepsilon & \gamma \end{bmatrix}, \quad \alpha \gamma \neq 0.$$

Pour finir supposons que les formes linéaires ψ_0 et ψ_1 ne soient pas proportionnelles. On en déduit que F_0 s'écrit $\psi_0 \psi_1$; de (4.6.2) on tire

$$F_1 = q_1, \quad q_1^2 = \psi_0 \psi_1 (q_2 + F_2).$$

Par suite $\psi_0 \psi_1$ divise q_1^2 ; puisque ψ_0 et ψ_1 ne sont pas multiples l'une de l'autre, q_1 est de la forme $\alpha \psi_0 \psi_1$. En particulier F_0 et F_1 sont proportionnelles ce qui est impossible. \square

Corollaire 4.65. — Soit Q une transformation de Σ^1 . Si Q^2 est de degré inférieur ou égal à 2, alors Q est, à conjugaison linéaire dynamique près, de la forme

$$(\alpha + \beta x_0, \gamma + \delta x_0 + x_0^2 - \varepsilon x_1), \quad \alpha, \gamma, \delta \in \mathbb{C}, \beta, \varepsilon \in \mathbb{C}^*.$$

N'importe quel itéré d'une telle transformation est toujours quadratique.

On a donc le :

Corollaire 4.66. — Soit q une transformation de Σ^2 ou Σ^1 ; dès que le carré de q est quadratique, tous les itérés le sont.

Comme on l'a signalé ceci n'est pas vrai pour les éléments de Σ^3 (par exemple pour les $f_{\alpha,\beta}$).

CHAPITRE 5

DES PROPRIÉTÉS ALGÈBRIQUES DU GROUPE DE CREMONA

5.1. Le groupe de CREMONA ne se plonge pas dans un $GL_n(\mathbb{k})$

Bien que $\text{Bir}(\mathbb{P}^2(\mathbb{C}))$ possède de nombreuses propriétés des groupes linéaires on a la :

Proposition 5.1. — *Le groupe de CREMONA ne se plonge pas dans $GL_n(\mathbb{k})$ où \mathbb{k} désigne un corps de caractéristique nulle.*

Avant de démontrer ce résultat rappelons l'énoncé suivant dû à BIRKHOFF.

Lemme 5.2 ([Bir36]). — *Soient \mathbb{k} un corps de caractéristique nulle et A, B, C trois éléments de $GL_n(\mathbb{k})$ satisfaisant $[A, B] = C$, $[A, C] = [B, C] = \text{id}$ et C d'ordre p premier ; alors $p \leq n$.*

Démonstration de la Proposition 5.1. — Supposons qu'il existe un morphisme injectif ζ du groupe de CREMONA dans $GL_n(\mathbb{k})$. Pour tout nombre premier p considérons, dans la carte affine $x_2 = 1$, le groupe

$$\left\langle \left(\exp \left(-\frac{2i\pi}{p} \right) x_0, x_1 \right), (x_0, x_0 x_1), \left(x_0, \exp \left(\frac{2i\pi}{p} \right) x_1 \right) \right\rangle.$$

Les images par ζ des trois générateurs satisfont le lemme de BIRKHOFF donc $p \leq n$; ceci étant valable pour tout premier p , nous obtenons le résultat annoncé. \square

Toutefois le groupe de CREMONA possède de « nombreux sous-groupes linéaires ». Il contient, outre les groupes $PGL_3(\mathbb{C})$ et $PGL_2(\mathbb{C}) \times PGL_2(\mathbb{C})$, le sous-groupe du groupe de DE JONQUIÈRES préservant la fibration $x_1 = \text{cte}$ fibre à fibre qui s'identifie à $PGL_2(\mathbb{C}(x_1))$.

5.2. Centralisateur d'une transformation $A\sigma$ générique

Dans [Can06] CANTAT montre l'énoncé suivant :

Théorème 5.3 ([Can06], théorème B). — *Soit f une transformation birationnelle d'une surface complexe compacte S dont le premier degré dynamique est strictement plus grand que 1.*

Si g est une transformation birationnelle de S qui commute avec f il existe m dans \mathbb{N}^* et n dans \mathbb{Z} tels que $g^m = f^n$.

Nous allons démontrer, seulement pour les transformations birationnelles du type $A\sigma$, avec A générique, un résultat un peu plus précis.

Proposition 5.4. — Soit A un élément de $\mathrm{PGL}_3(\mathbb{C})$ dont les coefficients sont rationnellement indépendants ; le centralisateur de $A\sigma$ dans $\mathrm{Bir}(\mathbb{P}^2(\mathbb{C}))$ s'identifie à \mathbb{Z} .

Pour ce faire commençons par établir le :

Lemme 5.5. — Soit A un élément de $\mathrm{PGL}_3(\mathbb{C})$ dont les coefficients sont \mathbb{Q} -algébriquement indépendants ; le centralisateur de $A\sigma$ dans $\mathrm{Bir}(\mathbb{P}^2(\mathbb{C}))$ est abélien.

Démonstration. — Notons m_1, m_2, m_3 et p les points fixes de $A\sigma$. Puisque A est générique, les valeurs propres de la partie linéaire de $A\sigma$ en les m_i sont « indépendantes », celles au point p dépendant des six autres. Désignons par $\mathrm{Cent}(A\sigma)$ le centralisateur de $A\sigma$ dans $\mathrm{Bir}(\mathbb{P}^2(\mathbb{C}))$

$$\mathrm{Cent}(A\sigma) = \{f \in \mathrm{Bir}(\mathbb{P}^2(\mathbb{C})) \mid fA\sigma = A\sigma f\}.$$

Soit f un élément de $\mathrm{Cent}(A\sigma)$.

Montrons que nécessairement f est holomorphe en tout point de $\mathrm{Fix}(A\sigma)$. Supposons par l'absurde que f ne soit pas holomorphe, par exemple, en m_1 ; alors m_1 est un point d'indétermination de f dont nous noterons Γ l'image. Puisque $A\sigma$ est holomorphe en m_1 on constate que Γ est invariante par $A\sigma$. Or d'après le Théorème 4.32 la transformation $A\sigma$ n'admet pas de courbe invariante ; f est donc holomorphe en m_1 .

Puisque f est holomorphe en tout point de $\mathrm{Fix}(A\sigma)$, elle permute les points de $\mathrm{Fix}(A\sigma)$. « L'indépendance » des couples de valeurs propres de la partie linéaire de $A\sigma$ en les m_i assure que f fixe au moins deux des m_i , le troisième pouvant être a priori permuté avec p (on peut penser que cela n'arrive pas génériquement). Supposons, à réindexation près, que m_1 soit fixé par f . Par généralité il existe un germe de difféomorphisme φ défini au voisinage de m_1 tel que

$$\varphi A\sigma_{,m_1} \varphi^{-1} = (\delta x_0, \eta x_1)$$

où δ, η sont les valeurs propres de la différentielle de $A\sigma$ en m_1 . Un calcul élémentaire montre, puisque δ et η sont non résonnants, que $\varphi f_{,m_1} \varphi^{-1}$ est linéaire de la forme (ax_0, bx_1) . Le centralisateur de $A\sigma$ est donc abélien. \square

Lemme 5.6. — Soient A un automorphisme de $\mathbb{P}^2(\mathbb{C})$ générique et p_1, p_2, p_3 les points d'indétermination de $A\sigma$. Alors pour tout $n \geq 1$ et tout i dans $\{1, 2, 3\}$ l'image de p_i par $(A\sigma)^n$ est une courbe.

Démonstration. — Supposons que ce ne soit pas le cas, par exemple pour le point $p = (1 : 0 : 0)$. Il existe alors un entier positif ℓ que l'on choisit minimal tel que $(A\sigma)^\ell(p)$ soit de nouveau un point noté q . Alors pour tout automorphisme de corps κ il en est de même pour $A^\kappa\sigma$

$$(A^\kappa\sigma)^\ell(1 : 0 : 0) = q^\kappa, \quad \forall \kappa \in \mathrm{Aut}(\mathbb{C}, +, \cdot).$$

Par densité il en est de même pour tout $B\sigma$

$$(B\sigma)^\ell(1 : 0 : 0) = m_B, \quad \forall B \in \mathrm{PGL}_3(\mathbb{C}),$$

m_B désignant un point du plan projectif complexe. Maintenant considérons la transformation

$$f = (x_1x_2 + x_0x_2 : x_0x_2 : x_0x_1) = (x_0 + x_1 : x_1 : x_2)\sigma.$$

On constate que l'image de $(1 : 0 : 0)$ par f est la droite d'équation $x_1 = x_0$ et que l'image de cette droite par f^ℓ est une droite pour tout entier ℓ : contradiction. \square

Remarque 5.7. — Le Lemme 5.6 implique que si A est un automorphisme de $\mathbb{P}^2(\mathbb{C})$ à coefficients algébriquement indépendants sur \mathbb{Q} et si $\mathrm{Ind} A\sigma = \{p_1, p_2, p_3\}$ alors pour tout $n \geq 1$ et tout i dans $\{1, 2, 3\}$ l'image de p_i par $(A\sigma)^n$ est une courbe.

Démonstration de la Proposition 5.4. — On reprend une idée de [Dés08].

Soit g un élément du groupe de CREMONA qui commute à $A\sigma$. Notons p_i les points d'indétermination de $A\sigma$. D'après la Remarque 5.7 l'orbite positive de p_i sous l'action de $A\sigma$ est constituée de courbes. Ou bien p_i est d'indétermination pour g ; sinon puisque $\mathrm{Exc} g$ est fini, il existe un entier positif k (choisi minimal) tel que $(A\sigma)^k(p_i)$ ne soit pas contenu dans $\mathrm{Exc} g$. Quitte à remplacer g par $\tilde{g} := g(A\sigma)^k$ on constate que $\tilde{g}(p_i)$ est un point d'indétermination de $A\sigma$; on a : $\tilde{g}^3(p_i) = p_i$ pour tout i .

Comme l'orbite négative de p_i par $A\sigma$ est ZARISKI dense (Théorème 4.42), \tilde{g}^3 coïncide avec l'identité et g^3 est une puissance de $A\sigma$. Le centralisateur de $A\sigma$ dans $\mathrm{Bir}(\mathbb{P}^2(\mathbb{C}))$ s'identifie donc à $\mathbb{Z} \times \mathbb{Z}/p\mathbb{Z}$ avec $p \leq 3$.

Supposons que p soit supérieur ou égal à 2. Il existe alors une transformation birationnelle non triviale φ qui commute à $A\sigma$ et telle que $\varphi^p = \mathrm{id}$; c'est donc le cas pour les éléments de la forme $B\sigma$ avec $B = A^\kappa$, κ automorphisme du corps \mathbb{C} , puis par densité pour tout élément de type $B\sigma$ avec B dans $\mathrm{PGL}_3(\mathbb{C})$ (remarquons qu'une famille à un paramètre φ_s de transformations birationnelles périodiques telle que $\varphi_0 = \mathrm{id}$ est constamment l'identité). Le centralisateur de la transformation

$$\begin{aligned} f_{\alpha,\beta} &= (x_0 + \alpha x_1 : \beta(\alpha x_1 + x_2) : x_1)\sigma(x_0 + x_2 : x_1 - \alpha x_2 : x_2) \\ &= ((\alpha x_0 + x_1)x_2 : \beta x_1(x_0 + x_2) : x_2(x_0 + x_2)) \end{aligned}$$

s'identifie, pour α, β génériques, à \mathbb{Z} (voir [Dés08]); la démonstration est analogue à celle qu'on vient de présenter pour une transformation $A\sigma$ avec A à coefficients algébriquement indépendants sur \mathbb{Q} . L'absence du facteur $\mathbb{Z}/p\mathbb{Z}$ s'explique par le fait qu'on peut distinguer les orbites des points d'indétermination de $f_{\alpha,\beta}$

$$\begin{array}{c} x_2 = 0 \\ \left. \begin{array}{c} \curvearrowright \\ \times \\ \curvearrowleft \end{array} \right\} \\ (0 : 1 : 0) \end{array}$$

$$\begin{array}{ccc} & x_0 = -x_2 & x_2 = 0 \\ \chi & \longrightarrow \left. \vphantom{\chi} \right) & \longrightarrow \chi \left(\begin{array}{c} \longrightarrow \\ \longleftarrow \end{array} \right) \\ (1 : 0 : 0) & & (0 : 1 : 0) \end{array}$$

$$\begin{array}{ccccccc} & & x_1 = \alpha\beta & & & & \\ \chi & \longrightarrow \left. \vphantom{\chi} \right) & \longrightarrow \left. \vphantom{\chi} \right) & \longrightarrow \left. \vphantom{\chi} \right) & \longrightarrow & \dots & \\ (-1 : \alpha : 1) & & & & & & \end{array}$$

Le résultat découle du fait qu'à conjugaison près $f_{\alpha,\beta}$ est du type $B\sigma$. □

Remarque 5.8. — Il y a toutefois des transformations de la forme $A\sigma$ qui possèdent un « gros » centralisateur ; les flots quadratiques génériques décrits dans le Chapitre 2 fournissent de tels exemples.

5.3. Construction de sous-groupes libres

En général le groupe engendré par un nombre fini de transformations birationnelles quadratiques est libre.

Proposition 5.9. — Soient A_1, \dots, A_n des automorphismes génériques de $\mathbb{P}^2(\mathbb{C})$. Le groupe $\langle A_1, \dots, A_n, \sigma \rangle$ engendré par les A_i et σ est le produit libre

$$\overbrace{\mathbb{Z} * \dots * \mathbb{Z}}^n * (\mathbb{Z}/2\mathbb{Z}).$$

En particulier le groupe engendré par les transformations quadratiques $A_1\sigma, \dots, A_n\sigma$ est libre.

Démonstration. — On va démontrer la Proposition pour $n = 1$, le même argument permettant de conclure pour n quelconque.

Par un argument de BAIRE il suffit de trouver un exemple satisfaisant l'énoncé. Considérons une transformation A du type suivant

$$A = (\alpha x_0 + \beta x_1 : \gamma x_0 + \delta x_1 : x_2).$$

Comme le pinceau de droites $x_0 = tx_1$ est invariant par les deux transformations A et σ on hérite d'une représentation

$$\langle A, \sigma \rangle \rightarrow \text{PGL}_2(\mathbb{C}), \quad A : t \mapsto \frac{\alpha t + \beta}{\gamma t + \delta}, \quad \sigma : t \mapsto \frac{1}{t}.$$

Dans $\mathrm{PGL}_2(\mathbb{C})$ le sous-groupe engendré par les matrices

$$\begin{bmatrix} \alpha & \beta \\ \gamma & \delta \end{bmatrix} \quad \text{et} \quad \begin{bmatrix} 0 & 1 \\ 1 & 0 \end{bmatrix}$$

est génériquement isomorphe à $\mathbb{Z} * (\mathbb{Z}/2\mathbb{Z})$; c'est le cas par exemple pour $\begin{bmatrix} 1 & \varepsilon \\ 0 & 1 \end{bmatrix}$ et $\begin{bmatrix} 0 & 1 \\ 1 & 0 \end{bmatrix}$ lorsque ε est générique. Ceci implique que $\langle (x_0 + \varepsilon x_1 : x_1 : x_2), \sigma \rangle$ est isomorphe à $\mathbb{Z} * \mathbb{Z}/2\mathbb{Z}$. \square

Remarque 5.10. — La preuve ci-dessus montre que la dynamique du groupe engendré par σ et $A = (\alpha x_0 + \beta x_1 : \gamma x_0 + \delta x_1 : x_2)$ est plus ou moins triviale, au sens où elle se réduit à la dimension 1. En effet A et σ se relèvent par l'application de l'éclatement de l'origine dans la carte affine $x_2 = 1$ en les applications

$$\tilde{A} : (t, x_1) \mapsto \left(\frac{\alpha t + \beta}{\gamma t + \delta}, x_1 \right), \quad \tilde{\sigma} : (t, x_1) \mapsto \left(\frac{1}{t}, x_1 \right).$$

Notons que le groupe engendré par A et σ est l'exemple d'un groupe qui se relève en un groupe d'automorphismes d'une surface rationnelle.

5.4. Au sujet de la simplicité

On ne sait pas si le groupe de CREMONA est simple. Soient G un groupe et f un élément de G . On notera $N(f, G)$ le *sous-groupe normal de G engendré par f*

$$N(f, G) = \langle h f h^{-1}, h f^{-1} h^{-1} \mid h \in G \rangle.$$

Nous nous proposons de calculer quelques $N(f, G)$ pour quelques transformations de CREMONA f particulières.

5.4.1. Premiers calculs de $N(f, \mathrm{Bir}(\mathbb{P}^2(\mathbb{C})))$ et conséquences. —

Le groupe $\mathrm{PGL}_3(\mathbb{C})$ est simple par suite tout élément non trivial A de $\mathrm{PGL}_3(\mathbb{C})$ satisfait

$$N(A, \mathrm{PGL}_3(\mathbb{C})) = \mathrm{PGL}_3(\mathbb{C}).$$

On en déduit la :

Proposition 5.11. — *Le sous-groupe normal engendré par σ dans le groupe de CREMONA est le groupe de CREMONA tout entier :*

$$N(\sigma, \mathrm{Bir}(\mathbb{P}^2(\mathbb{C}))) = \mathrm{Bir}(\mathbb{P}^2(\mathbb{C})).$$

Démonstration. — Soit f une transformation de CREMONA. Le Théorème de NETHER permet d'écrire f sous la forme

$$f = (A_1)\sigma A_2\sigma A_3 \dots A_n(\sigma), \quad A_i \in \mathrm{PGL}_3(\mathbb{C}).$$

Puisque $\mathrm{PGL}_3(\mathbb{C})$ est simple on a

$$N((-x_0, -x_1), \mathrm{PGL}_3(\mathbb{C})) = \mathrm{PGL}_3(\mathbb{C})$$

et tout A_i possède une écriture de la forme

$$h_1(-x_0, -x_1)h_1^{-1}h_2(-x_0, -x_1)h_2^{-1} \dots h_n(-x_0, -x_1)h_n^{-1}, \quad h_i \in \mathrm{PGL}_3(\mathbb{C}).$$

Or l'involution $(-x_0, -x_1)$ est conjuguée⁽¹⁾ à $\left(\frac{1}{x_0}, \frac{1}{x_1}\right)$; on en déduit que tout élément du groupe de CREMONA s'écrit comme un produit de conjugués de $\sigma = \left(\frac{1}{x_0}, \frac{1}{x_1}\right)$. \square

Ceci implique le :

Corollaire 5.12. — *Toute transformation de CREMONA s'écrit comme une composée d'involutions toutes conjuguées.*

Nous donnerons plus loin (Chapitre 5, §5.5) une version un peu plus forte du Corollaire 5.12.

En ce qui concerne le groupe normal engendré par un automorphisme de $\mathbb{P}^2(\mathbb{C})$ nous avons la :

Proposition 5.13. — *Soit A un automorphisme non trivial de $\mathbb{P}^2(\mathbb{C})$; alors*

$$N(A, \mathrm{Bir}(\mathbb{P}^2(\mathbb{C}))) = \mathrm{Bir}(\mathbb{P}^2(\mathbb{C})).$$

Démonstration. — Comme $N(A, \mathrm{PGL}_3(\mathbb{C})) = \mathrm{PGL}_3(\mathbb{C})$ l'involution $(-x_0, -x_1)$ s'écrit comme un produit de conjugués de A . Il en résulte, puisque $(-x_0, -x_1)$ et σ sont conjugués, que

$$\sigma = h_1Ah_1^{-1}h_2Ah_2^{-1} \dots h_nAh_n^{-1}, \quad h_i \in \mathrm{Bir}(\mathbb{P}^2(\mathbb{C}));$$

d'où l'inclusion $N(\sigma, \mathrm{Bir}(\mathbb{P}^2(\mathbb{C}))) \subset N(A, \mathrm{Bir}(\mathbb{P}^2(\mathbb{C})))$. L'égalité

$$N(\sigma, \mathrm{Bir}(\mathbb{P}^2(\mathbb{C}))) = \mathrm{Bir}(\mathbb{P}^2(\mathbb{C}))$$

permet de conclure. \square

Comme ρ et τ sont birationnellement conjuguées à des involutions de $\mathrm{PGL}_3(\mathbb{C})$ on a une propriété analogue pour ces transformations.

Corollaire 5.14. — *On a*

$$N(\rho, \mathrm{Bir}(\mathbb{P}^2(\mathbb{C}))) = \mathrm{Bir}(\mathbb{P}^2(\mathbb{C})) \quad \text{et} \quad N(\tau, \mathrm{Bir}(\mathbb{P}^2(\mathbb{C}))) = \mathrm{Bir}(\mathbb{P}^2(\mathbb{C})).$$

À partir de la Proposition 5.13 et de

$$N(A, \mathrm{PGL}_3(\mathbb{C})) = \mathrm{PGL}_3(\mathbb{C}), \quad \forall A \in \mathrm{PGL}_3(\mathbb{C})$$

on obtient le :

Corollaire 5.15. — *Toute transformation de CREMONA s'écrit comme un produit de conjugués de la translation $(x_0, x_1 + 1)$.*

Puisque la translation $(x_0, x_1 + 1) = [(x_0, 3x_1), (x_0, \frac{x_1+1}{2})]$ est un commutateur, le Corollaire 5.15 entraîne le :

⁽¹⁾ via l'élément $\left(\frac{x_0+1}{x_0-1}, \frac{x_1+1}{x_1-1}\right)$ de $\mathrm{PGL}_2(\mathbb{C}) \times \mathrm{PGL}_2(\mathbb{C})$

Corollaire 5.16. — *Le groupe de CREMONA est parfait, i.e. le groupe dérivé de $\text{Bir}(\mathbb{P}^2(\mathbb{C}))$ est le groupe $\text{Bir}(\mathbb{P}^2(\mathbb{C}))$ entier*

$$[\text{Bir}(\mathbb{P}^2(\mathbb{C})), \text{Bir}(\mathbb{P}^2(\mathbb{C}))] = \text{Bir}(\mathbb{P}^2(\mathbb{C})).$$

5.4.2. Description du sous-groupe normal de $\text{Bir}(\mathbb{P}^2(\mathbb{C}))$ engendré par une transformation birationnelle quadratique. —

Proposition 5.17. — *Soit A un automorphisme de $\mathbb{P}^2(\mathbb{C})$; on a*

$$N(A\sigma, \text{Bir}(\mathbb{P}^2(\mathbb{C}))) = \text{Bir}(\mathbb{P}^2(\mathbb{C})).$$

Démonstration. — Supposons que $A^2 \neq \text{id}$. La transformation $A\sigma$ est conjuguée à σA via σ ; ainsi σA appartient à $N(A\sigma, \text{Bir}(\mathbb{P}^2(\mathbb{C})))$. On constate alors que $A^2 = (A\sigma)(\sigma A)$ est aussi dans $N(A\sigma, \text{Bir}(\mathbb{P}^2(\mathbb{C})))$; or la Proposition 5.13 assure que

$$N(A^2, \text{Bir}(\mathbb{P}^2(\mathbb{C}))) = \text{Bir}(\mathbb{P}^2(\mathbb{C}))$$

donc $N(A\sigma, \text{Bir}(\mathbb{P}^2(\mathbb{C}))) = \text{Bir}(\mathbb{P}^2(\mathbb{C}))$.

Supposons que A soit de carré trivial. Soit B l'élément de $\text{PGL}_3(\mathbb{C})$ donné par $(\alpha x_0 : \beta x_1 : \gamma x_2)$; on a $N(A\sigma, \text{Bir}(\mathbb{P}^2(\mathbb{C}))) = N(BA\sigma B^{-1}, \text{Bir}(\mathbb{P}^2(\mathbb{C})))$. Notons que $BA\sigma B^{-1} = BAB\sigma$. Un calcul montre qu'il existe α, β et γ tels que $(BAB)^2$ soit distinct de l'identité; ce qui précède permet de conclure. \square

Proposition 5.18. — *Si A désigne un automorphisme de $\mathbb{P}^2(\mathbb{C})$, alors*

$$N(A\rho, \text{Bir}(\mathbb{P}^2(\mathbb{C}))) = \text{Bir}(\mathbb{P}^2(\mathbb{C})).$$

Démonstration. — Lorsque $A^2 \neq \text{id}$, on peut reprendre l'idée de la Proposition 5.17.

Supposons que $A^2 = \text{id}$. Soit B l'automorphisme de $\mathbb{P}^2(\mathbb{C})$ donné par $(x_0 : \alpha x_1 : x_2)$; par définition $N(A\rho, \text{Bir}(\mathbb{P}^2(\mathbb{C}))) = N(BA\rho B^{-1}, \text{Bir}(\mathbb{P}^2(\mathbb{C})))$. Remarquons que $BA\rho B^{-1} = BAB\rho$ d'où

$$N(A\rho, \text{Bir}(\mathbb{P}^2(\mathbb{C}))) = N(BAB\rho, \text{Bir}(\mathbb{P}^2(\mathbb{C}))).$$

Un calcul assure l'existence d'un complexe α tel que $(BAB)^2$ ne soit pas trivial. Ce qui précède entraîne donc $N(A\rho, \text{Bir}(\mathbb{P}^2(\mathbb{C}))) = \text{Bir}(\mathbb{P}^2(\mathbb{C}))$. \square

Proposition 5.19. — *Si A désigne un élément de $\text{PGL}_3(\mathbb{C})$, on a*

$$N(A\tau, \text{Bir}(\mathbb{P}^2(\mathbb{C}))) = \text{Bir}(\mathbb{P}^2(\mathbb{C})).$$

Démonstration. — Si A^2 est non trivial, on reprend la démonstration de la Proposition 5.17.

Si $A^2 = \text{id}$, on considère l'élément B de $\text{PGL}_3(\mathbb{C})$ du type

$$(b^2 x_0 : ax_0 + bcx_1 : dx_0 + ex_1 + c^2 x_2), \quad b, c \in \mathbb{C}^*, a, d, e \in \mathbb{C}.$$

On a

$$N(A\tau, \text{Bir}(\mathbb{P}^2(\mathbb{C}))) = N(BA\tau B^{-1}, \text{Bir}(\mathbb{P}^2(\mathbb{C})));$$

de plus τB^{-1} s'écrit aussi $C\tau$ où C désigne l'élément de $\text{PGL}_3(\mathbb{C})$ donné par

$$(b^4 x_0 : ab^2 x_0 + b^3 c x_1 : (a^2 - b^2 d)x_0 + b(2ac - be)x_1 + b^2 c^2 x_2).$$

En particulier $BA\tau B^{-1} = BAC\tau$. Dès que A n'est pas de la forme $(x_0 : x_1 : \alpha x_0 + \beta x_1 - x_2)$ on peut trouver a, b, c, d et e tels que $(BAC)^2 \neq \text{id}$; on peut alors conclure comme précédemment. Reste à traiter l'éventualité où A est du type $(x_0 : x_1 : \alpha x_0 + \beta x_1 - x_2)$. Soit B l'automorphisme de $\mathbb{P}^2(\mathbb{C})$ défini par $B = (x_0 : 2x_1 : -4x_2)$. Un calcul montre que la transformation $A\tau B A\tau B^{-1}$ de $\text{N}(A\tau, \text{Bir}(\mathbb{P}^2(\mathbb{C})))$ s'écrit

$$(x_0 : x_1 : -3\alpha x_0 - \beta x_1 + x_2).$$

D'après ce qui précède $\text{Bir}(\mathbb{P}^2(\mathbb{C})) = \text{N}(A\tau B A\tau B^{-1}, \text{Bir}(\mathbb{P}^2(\mathbb{C})))$; l'inclusion

$$\text{N}(A\tau B A\tau B^{-1}, \text{Bir}(\mathbb{P}^2(\mathbb{C}))) \subset \text{N}(A\tau, \text{Bir}(\mathbb{P}^2(\mathbb{C})))$$

conduit à $\text{N}(A\tau, \text{Bir}(\mathbb{P}^2(\mathbb{C}))) = \text{Bir}(\mathbb{P}^2(\mathbb{C}))$. □

Les Propositions 5.17, 5.18 et 5.19 impliquent le :

Théorème 5.20. — *Pour tout élément f de Bir_2 on a*

$$\text{N}(f, \text{Bir}(\mathbb{P}^2(\mathbb{C}))) = \text{Bir}(\mathbb{P}^2(\mathbb{C})).$$

5.4.3. Calculs de $\text{N}(f, \text{Bir}(\mathbb{P}^2(\mathbb{C})))$ dans un cadre un peu plus général. —

Le groupe $\text{PGL}_2(\mathbb{C}(x_1))$ est simple

$$\text{N}(f, \text{PGL}_2(\mathbb{C}(x_1))) = \text{PGL}_2(\mathbb{C}(x_1)), \quad \forall f \in \text{PGL}_2(\mathbb{C}(x_1)).$$

Soit f une transformation de CREMONA préservant la fibration rationnelle $x_1 = \text{cte}$ fibre à fibre. Alors f s'écrit

$$\left(\frac{a(x_1)x_0 + b(x_1)}{c(x_1)x_0 + d(x_1)}, x_1 \right),$$

i.e. s'identifie à un élément de $\text{PGL}_2(\mathbb{C}(x_1))$. On écrit alors abusivement : f est dans $\text{PGL}_2(\mathbb{C}(x_1))$.

Proposition 5.21. — *Pour tout élément f dans $\text{PGL}_2(\mathbb{C}(x_1))$ on a*

$$\text{N}(f, \text{Bir}(\mathbb{P}^2(\mathbb{C}))) = \text{Bir}(\mathbb{P}^2(\mathbb{C})).$$

Démonstration. — Considérons un élément f de $\text{PGL}_2(\mathbb{C}(x_1))$; puisque $\text{PGL}_2(\mathbb{C}(x_1))$ est simple l'involution $(-x_0, x_1)$ s'écrit comme un produit de conjugués de f . Comme

$$\text{N}(A, \text{Bir}(\mathbb{P}^2(\mathbb{C}))) = \text{Bir}(\mathbb{P}^2(\mathbb{C})), \quad \forall A \in \text{PGL}_3(\mathbb{C})$$

on a le résultat annoncé. □

On obtient comme conséquence la :

Proposition 5.22. — *Soit f un élément du groupe de DE JONQUIÈRES ; alors*

$$\text{N}(f, \text{Bir}(\mathbb{P}^2(\mathbb{C}))) = \text{Bir}(\mathbb{P}^2(\mathbb{C})).$$

Démonstration. — À conjugaison près on peut écrire f sous la forme $(f_1(x_0, x_1), \gamma(x_1))$ où γ est une homothétie ou bien une translation. Soit $h = (h_1(x_0, x_1), x_1)$ un élément de $\mathrm{PGL}_2(\mathbb{C}(x_1))$ alors $g = [f, h]$ appartient à $\mathrm{N}(f, \mathrm{Bir}(\mathbb{P}^2(\mathbb{C}))) \cap \mathrm{PGL}_2(\mathbb{C}(x_1))$. Pour h bien choisi g est différent de l'identité. La Proposition 5.21 permet de conclure. \square

Corollaire 5.23. — *Soit f un élément de $\mathrm{Bir}(\mathbb{P}^2(\mathbb{C}))$. S'il existe une transformation de CREMONA h telle que $[f, h]$ préserve une fibration rationnelle, alors*

$$\mathrm{N}(f, \mathrm{Bir}(\mathbb{P}^2(\mathbb{C}))) = \mathrm{Bir}(\mathbb{P}^2(\mathbb{C})).$$

On en déduit la :

Proposition 5.24. — *Soit $f = (x_1, P(x_1) - \delta x_0)$, $\delta \in \mathbb{C}^*$, $P \in \mathbb{C}[x_1]$, $\deg P \geq 2$, un automorphisme de HÉNON ; on a*

$$\mathrm{N}(f, \mathrm{Bir}(\mathbb{P}^2(\mathbb{C}))) = \mathrm{Bir}(\mathbb{P}^2(\mathbb{C})).$$

Démonstration. — Posons $g = (x_0, 2x_1)$; le commutateur $[f, g]$ de f et g préserve la fibration rationnelle $x_0 = \text{cte}$. Le Corollaire 5.23 implique le résultat. \square

5.5. Une version un peu plus forte du Théorème de NØETHER

Théorème 5.25. — *Toute transformation birationnelle de $\mathbb{P}^2(\mathbb{C})$ dans lui-même s'écrit comme un produit d'involutions standards*

$$A_0 \sigma A_0^{-1} A_1 \sigma A_1^{-1} \dots A_p \sigma A_p^{-1}, \quad A_i \in \mathrm{PGL}_3(\mathbb{C}).$$

Démonstration. — Soit f dans le groupe de CREMONA. À conjugaison près par σ et/ou un élément de $\mathrm{PGL}_3(\mathbb{C})$ on a l'alternative suivante

- ou bien f est un automorphisme de $\mathbb{P}^2(\mathbb{C})$;
- ou bien f s'écrit

$$\sigma A_0 \dots A_{p-1} \sigma A_p, \quad A_i \in \mathrm{PGL}_3(\mathbb{C}).$$

Introduisons l'ensemble G défini par

$$G = \{A_0 \sigma A_0^{-1} \dots A_p \sigma A_p^{-1} \mid A_i \in \mathrm{PGL}_3(\mathbb{C}), p \in \mathbb{N}\}.$$

Remarquons que G est un groupe qui contient σ et sur lequel $\mathrm{PGL}_3(\mathbb{C})$ agit par conjugaison.

Notons que si D est un automorphisme diagonal, *i.e.* D est du type $(\alpha x_0 : \beta x_1 : \gamma x_2)$ avec $\alpha\beta\gamma$ non nul, alors

$$D \sigma D^{-1} = D^2 \sigma = \sigma D^{-2}.$$

Considérons un élément de G du type $A \sigma A^{-1} D_1 \sigma D_1^{-1} D_2 \sigma D_2^{-1}$ où A (resp. D_i) désigne un élément de $\mathrm{PGL}_3(\mathbb{C})$ (resp. un élément diagonal de $\mathrm{PGL}_3(\mathbb{C})$). On constate que

$$A \sigma A^{-1} D_1 \sigma D_1^{-1} D_2 \sigma D_2^{-1} = A \sigma A^{-1} D_1^2 D_2^{-2}$$

donc $A \sigma A^{-1} D_1^2 D_2^{-2}$ est dans G . Puisque $\mathrm{PGL}_3(\mathbb{C})$ agit par conjugaison sur G , la transformation $\sigma A^{-1} D A$ appartient à G pour tout A dans $\mathrm{PGL}_3(\mathbb{C})$ et tout D diagonal. Dit autrement si B est un automorphisme de $\mathbb{P}^2(\mathbb{C})$ diagonalisable, σB est dans G ; ce qui implique, puisque σ est dans G ,

que B est dans G . Maintenant soit C un élément quelconque de $\mathrm{PGL}_3(\mathbb{C})$. On peut écrire C sous la forme NTN^{-1} où T est triangulaire. Pour tout automorphisme D de $\mathbb{P}^2(\mathbb{C})$ on a

$$C = NTN^{-1} = NTN^{-1}NDN^{-1}ND^{-1}N^{-1} = (N(TD)N^{-1})(ND^{-1}N^{-1}).$$

En choisissant D diagonal convenable, on constate que C s'écrit comme produit de matrices diagonalisables, et donc est dans G .

Finalement σ et $\mathrm{PGL}_3(\mathbb{C})$ sont dans G ; on conclut en appliquant le théorème de NETHER. □

CHAPITRE 6

EXPÉRIENCES (ORBITES ET ENSEMBLES DE TYPE JULIA)

Ce Chapitre est disponible sur
<http://perso.univ-rennes1.fr/dominique.cerveau/> et
<http://people.math.jussieu.fr/~deserti/publications>.

CHAPTER 7

TRANSFORMATIONS BIRATIONNELLES DE DEGRÉ 3

Il s'agit dans ce chapitre d'établir la classification g.d. des transformations cubiques. Alors que dans le cas quadratique on distingue trois orbites de degré 2 pur, ici il y a une infinité d'orbites. L'espace quotient est en fait de dimension 2.

7.1. Généralités

Commençons par un énoncé élémentaire valable en tout degré.

Lemme 7.1. — Soit f un élément du groupe de CREMONA; on a l'inclusion: $\text{Ind } f \subset \text{Exc } f$.

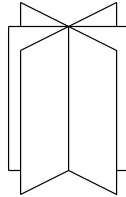
Démonstration. — D'après la Proposition 1.4 il suffit de vérifier que si m est d'indétermination pour $f = (f_0 : f_1 : f_2)$ alors $\det(\text{jac } f_{(m)}) = 0$. On travaille dans \mathbb{C}^3 ; soit m dans $\text{Ind } f$ alors

$$f_0(m) = f_1(m) = f_2(m) = 0.$$

Comme les hypersurfaces d'équation $f_i = 0$ sont invariantes par le champ radial

$$E = x_0 \frac{\partial}{\partial x_0} + x_1 \frac{\partial}{\partial x_1} + x_2 \frac{\partial}{\partial x_2}$$

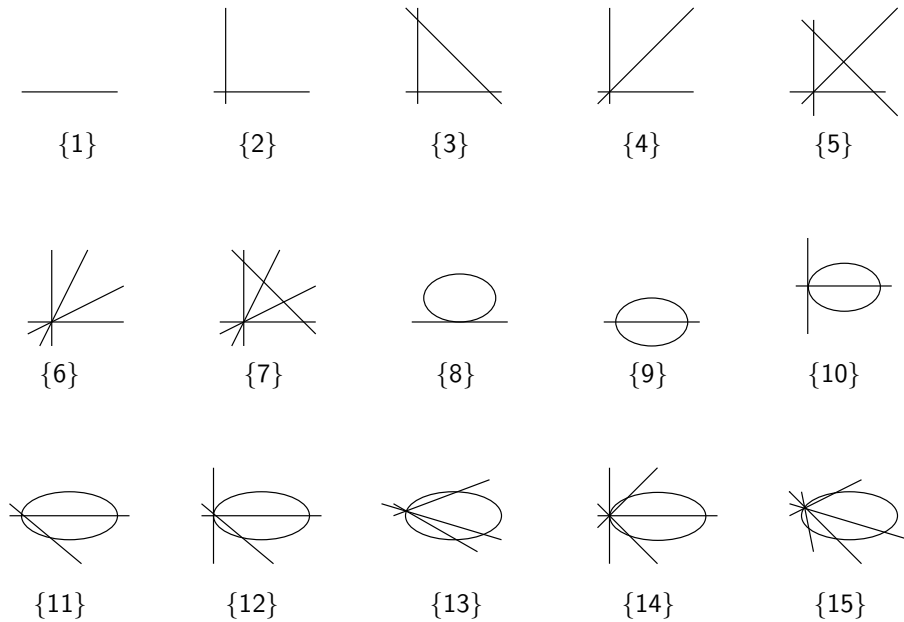
il existe des coordonnées locales (u, v, w) en m telles que E soit le champ $\frac{\partial}{\partial w}$ et les hypersurfaces d'équation $f_i = 0$ soient données par $g_i(u, v) = 0$ les g_i étant holomorphes:



Localement f_i s'écrit donc $U_i g_i(u, v)$, avec U_i holomorphes, et ceci implique que $\det(\text{jac } f_{(m)}) = 0$.

□

Si f est une transformation birationnelle purement cubique, $\det(\text{jac } f)$ est un polynôme homogène de degré 6 dont les zéros sont contractés par f . Il est immédiat de constater que les composantes irréductibles de $\det(\text{jac } f)$ sont toutes de degré inférieur ou égal à 2. En effet si la courbe irréductible C d'équation $P = 0$ est contractée par exemple sur $(0 : 0 : 1)$ alors les deux premières composantes f_0 et f_1 de f sont divisibles par P ; par suite $\deg P \leq 3$. Si $\deg P = 3$ les composantes f_0 et f_1 sont \mathbb{C} -colinéaires, ceci conduisant à la dégénérescence de f ; on en déduit que les courbes contractées par f forment un arrangement de droites et de coniques. Nous verrons que seules les configurations suivantes peuvent arriver:



Avant de justifier ceci mentionnons le fait suivant qui s'avère important.

Fait. Soit f une transformation de CREMONA. Puisque $\text{Ind } f \subset \text{Exc } f$ la restriction de l'application f à $\mathbb{P}^2(\mathbb{C}) \setminus \text{Exc } f$ est bien définie et holomorphe sur $\mathbb{P}^2(\mathbb{C}) \setminus \text{Exc } f$. Comme il en est de même pour f^{-1} on en déduit que f induit un biholomorphisme de $\mathbb{P}^2(\mathbb{C}) \setminus \text{Exc } f$ sur $\mathbb{P}^2(\mathbb{C}) \setminus \text{Exc } f^{-1}$.

Soit $\Gamma = \Gamma_1 \cup \dots \cup \Gamma_n$ une courbe plane dont les composantes irréductibles Γ_i sont de degré d_i . On note $\Sigma = \mathbb{P}^2(\mathbb{C}) \setminus \Gamma$ le complément de Γ . Le premier groupe d'homologie $H^1(\Sigma, \mathbb{Z})$ s'identifie au groupe $\mathbb{Z}^n / (d_1, \dots, d_n)$; lorsque la courbe Γ est à singularités ordinaires le groupe fondamental $\pi_1(\Sigma, *)$ est abélien encore égal à $\mathbb{Z}^n / (d_1, \dots, d_n)$ (théorème de DELIGNE-FULTON, voir [Del81]).

Une conséquence immédiate est la suivante valable en tout degré.

Proposition 7.2. — Soit f un élément du groupe de CREMONA. Les ensembles $\text{Exc } f$ et $\text{Exc } f^{-1}$ ont le même nombre de composantes irréductibles.

Remarque 7.3. — On note Inv l’application qui à une transformation birationnelle associe son inverse: $\text{Inv}(f) = f^{-1}$. L’involution Inv respecte la “filtration” par le degré

$$\deg(\text{Inv}(f)) = \deg f.$$

En effet, soient \mathcal{D} et \mathcal{D}' deux droites génériques de $\mathbb{P}^2(\mathbb{C})$; puisque

$$f_*, f^*: H^{1,1}(\mathbb{P}^2(\mathbb{C})) \rightarrow H^{1,1}(\mathbb{P}^2(\mathbb{C}))$$

sont auto-adjointes on a

$$\deg f = \deg(f^* \mathcal{D}) = (f^* \mathcal{D}) \mathcal{D}' = \mathcal{D}(f_* \mathcal{D}') = \deg(f_* \mathcal{D}') = \deg f^{-1}.$$

7.2. “Classification” des transformations birationnelles cubiques

La classification repose en grande partie sur la description de l’ensemble des courbes contractées.

7.2.1. Le lieu exceptionnel contient une conique. —

Comme on l’a dit nous allons examiner au cas par cas les différentes configurations de ces arrangements de droites et coniques. Dans ce qui suit on dira qu’une conique est *réduite* si elle est ou bien lisse, ou bien constituée de deux droites distinctes. Lorsque la conique C est constituée de deux droites \mathcal{D}_1 et \mathcal{D}_2 distinctes nous dirons que C est contractée si les deux droites \mathcal{D}_1 et \mathcal{D}_2 le sont sur un même point. Modulo cette convention on a le:

Lemme 7.4. — *Un élément f de $\mathring{\text{Bir}}_3$ ne peut pas contracter deux coniques réduites distinctes.*

Démonstration. — Soit f une transformation birationnelle purement cubique contractant les deux coniques $Q_1 = 0$ et $Q_2 = 0$. Remarquons que si les deux coniques ont une branche commune alors f contracte trois droites sur un même point ce qui est impossible. Notons que f ne peut contracter $Q_1 = 0$ et $Q_2 = 0$ sur un même point. On se ramène donc au cas où $Q_1 = 0$ est contracté sur $(1 : 0 : 0)$ et $Q_2 = 0$ sur $(0 : 1 : 0)$; on constate alors que la troisième composante de f est divisible par le produit $Q_1 Q_2$ ce qui est absurde. \square

Il en résulte que $\text{Exc } f$ est une courbe de degré 6 constituée de droites et d’au plus une conique réduite.

Dans le même ordre d’idée on a le:

Lemme 7.5. — *Soit f une transformation birationnelle purement cubique; le lieu exceptionnel de f ne peut être réduit à une conique lisse.*

Démonstration. — Raisonnons par l’absurde: supposons que $\text{Exc } f$ soit réduit à une conique C d’équation $P = 0$. À conjugaison près on peut supposer que C est contractée par f sur $(1 : 0 : 0)$. Il s’en suit que f est de la forme $(f_0 : \ell_1 P : \ell_2 P)$, les ℓ_i désignant des formes linéaires nécessairement indépendantes. À conjugaison g.d. près on peut supposer que $\ell_1 = x_0$ et $\ell_2 = x_1$. La

transformation f étant birationnelle la Proposition 1.4 assure que

$$\det(\text{jac } f) = P \left(-x_0 \frac{\partial f_0}{\partial x_0} \frac{\partial P}{\partial x_2} - x_1 \frac{\partial f_0}{\partial x_1} \frac{\partial P}{\partial x_2} + \frac{\partial f_0}{\partial x_2} \left(x_0 \frac{\partial P}{\partial x_0} + x_1 \frac{\partial P}{\partial x_1} + P \right) \right)$$

est divisible par P^3 . Par ailleurs on a d'après l'identité d'EULER

$$\begin{aligned} \det(\text{jac } f) &= P \left(\frac{\partial P}{\partial x_2} \left(-3f_0 + x_2 \frac{\partial f_0}{\partial x_2} \right) + \frac{\partial f_0}{\partial x_2} \left(3P - x_2 \frac{\partial P}{\partial x_2} \right) \right) \\ &= 3P \left(P \frac{\partial f_0}{\partial x_2} - f_0 \frac{\partial P}{\partial x_2} \right). \end{aligned}$$

On en déduit que f_0 est divisible par P ; la transformation f est alors de degré inférieur à 3. \square

Lemme 7.6. — Soit f dans $\mathring{\text{Bir}}_3$ contractant une conique lisse C . Supposons que f contracte deux droites \mathcal{D}_1 et \mathcal{D}_2 (au moins); alors $\mathcal{D}_1 \cap \mathcal{D}_2$ appartient à C .

En particulier si f contracte $\mathcal{D}_1, \dots, \mathcal{D}_k$, toutes ces droites sont concourantes avec point d'intersection sur C .

Démonstration. — On peut se ramener à $\mathcal{D}_1 : (x_0 = 0)$, $\mathcal{D}_2 : (x_1 = 0)$. On peut aussi supposer que $C : (P = 0)$ est contractée sur $(1 : 0 : 0)$, \mathcal{D}_1 sur $(0 : 1 : 0)$; ces conditions étant satisfaites la transformation f est du type suivant $(x_0 q : \ell P : x_0 P)$ avec q forme quadratique et ℓ forme linéaire. La droite \mathcal{D}_2 est alors contractée, à conjugaison près, sur $(0 : 0 : 1)$ ou bien sur $(A : B : 0)$. Si \mathcal{D}_2 est contractée sur $(A : B : 0)$, alors P est divisible par x_1 ce qui contredit l'irréductibilité. Ainsi \mathcal{D}_2 est contractée sur $(0 : 0 : 1)$ et $f = (x_0 x_1 \ell : x_1 P : x_0 P)$. On pose

$$\ell := ax_0 + bx_1 + cx_2, \quad P := \alpha x_0^2 + \beta x_1^2 + \gamma x_2^2 + \delta x_0 x_1 + \varepsilon x_0 x_2 + \mu x_1 x_2$$

et on veut montrer que $\mathcal{D}_1 \cap \mathcal{D}_2$ appartient à C , i.e. que $\gamma = 0$.

On va utiliser la birationalité de f que l'on écrit dans la carte affine $x_2 = 1$

$$f(x_0, x_1) = \left(\frac{x_1(ax_0 + bx_1 + c)}{\alpha x_0^2 + \beta x_1^2 + \gamma + \delta x_0 x_1 + \varepsilon x_0 + \mu x_1}, \frac{x_1}{x_0} \right).$$

On doit exprimer les conditions sur les coefficients pour que $f(x_0, x_1) = (u, v)$ ait génériquement une seule solution. On obtient $x_1 = vx_0$ et

$$(7.2.1) \quad vx_0(ax_0 + bvx_0 + c) = u(\alpha x_0^2 + \beta v^2 x_0^2 + \gamma + \delta vx_0^2 + \varepsilon x_0 + \mu vx_0).$$

On remarque que si le discriminant de l'équation (7.2.1) est identiquement nul et $\gamma \neq 0$ alors $a = b = c = 0$, cas exclu. Donc pour que cette équation quadratique en x_0 ait génériquement une unique solution il faut que le trinôme ci-dessus possède une racine $x_0 = \eta$ indépendante de (u, v) . C'est le cas par exemple si $\gamma = 0$ ($\eta = 0$). Une autre possibilité immédiate est

$$a = b = \alpha = \beta = \delta = 0;$$

mais dans ce cas on vérifie que P est divisible par x_2 ce qui contredit le fait que C soit irréductible.

Supposons que $x_0 = \eta \neq 0$ soit solution de (7.2.1). On peut voir

$$\eta^2(av + bv^2 - u(\alpha + \beta v^2 + \delta v)) + \eta(vc - u\varepsilon - \mu v u) - u\gamma = 0$$

comme un polynôme en u, v identiquement nul; on obtient

$$b = \beta = 0, \quad \mu = -\eta\delta, \quad c = -\eta a, \quad \gamma = -\eta^2\alpha - \eta\varepsilon$$

de sorte que

$$f = (ax_0x_1 : x_1(\alpha(x_0 + \eta x_2) + \varepsilon x_2 + \delta x_1) : x_0(\alpha(x_0 + \eta x_2) + \varepsilon x_2 + \delta x_1))$$

qui s'avère alors quadratique.

Finalement seule la solution $\gamma = 0$ convient. \square

Remarques 7.7. —

- Soit f une transformation rationnelle purement cubique. La preuve ci-dessus montre que si f contracte une conique lisse et deux droites qui se coupent sur la conique, alors f est birationnelle; de plus on dispose de la forme normale

$$(x_0x_1L_3 : x_1(x_0L_1 + x_1L_2) : x_0(x_0L_1 + x_1L_2)),$$

les L_i désignant des formes linéaires (satisfaisant des conditions génériques évidentes).

- Soit f une transformation birationnelle purement cubique donnée par la forme normale ci-dessus. On peut voir que, génériquement sur f , il y a deux autres droites contractées nécessairement du type $x_1 = \eta x_0$. Pour cela on évalue f dans la carte affine $x_2 = 1$; sur la droite $x_1 = \eta x_0$ on a en reprenant les notations de la démonstration du Lemme 7.6

$$f(x_0, \eta x_0) = \left(\frac{\eta(a + b\eta)x_0 + \eta c}{(\alpha + \beta\eta^2 + \delta\eta)x_0 + \varepsilon + \mu\eta}, \eta x_0 \right).$$

On cherche alors les η pour lesquels la première composante est une constante en x_0 , *i.e.* les η pour lesquels

$$\begin{vmatrix} a + b\eta & c \\ \alpha + \beta\eta^2 + \delta\eta & \varepsilon + \mu\eta \end{vmatrix} = (b\mu - c\beta)\eta^2 + (a\mu + b\varepsilon - c\delta)\eta + (a\varepsilon - c\alpha)$$

est nul; génériquement il y a deux solutions.

Proposition 7.8. — Soit f une transformation birationnelle purement cubique qui contracte une conique lisse; f a alors au plus 5 points d'indétermination distincts.

Démonstration. — Si f contracte une conique C , alors $\text{Exc } f$ n'est pas réduit à C (Lemme 7.5) et les autres courbes contractées par f sont nécessairement des droites (Lemme 7.4). Désignons par $\mathcal{D}_1, \dots, \mathcal{D}_k$ les droites contractées par f ; puisque $\det(\text{jac } f)$ est de degré 6, l'entier k est majoré par 4. De sorte que $\text{Exc } f$ a au plus 5 composantes et d'après la Proposition 7.2 l'ensemble $\text{Exc } f^{-1}$ aussi. Mais les courbes exceptionnelles de f^{-1} sont contractées sur les points d'indétermination de f . \square

D'après les Lemmes 7.4 et 7.5 une transformation birationnelle cubique qui contracte une conique lisse contracte au moins une droite. On a l'énoncé de forme normale suivant.

Lemme 7.9. — Soit f une transformation birationnelle purement cubique qui contracte une conique lisse (et donc au moins une droite). Il existe a, b dans \mathbb{C} et L_1, L_2, L_3 trois formes linéaires tels qu'on ait à conjugaison gauche-droite près

$$f = (x_1(ax_0 + bx_1)L_3 : x_0(x_0L_1 + x_1L_2) : x_1(x_0L_1 + x_1L_2)).$$

Démonstration. — Notons f_0, f_1 et f_2 les composantes de f . Soit $P = 0$ l'équation de la conique lisse C que l'on peut supposer être contractée sur $(1 : 0 : 0)$. On en déduit que l'existence de deux formes linéaires indépendantes α_1 et α_2 telles que $f = (f_0 : \alpha_1P : \alpha_2P)$. Soit $\ell_1 = 0$ l'équation d'une droite \mathcal{D}_1 contractée par f . Si \mathcal{D}_1 était contractée sur le point $(1 : 0 : 0)$, les formes linéaires α_i seraient multiples et f serait dégénérée; on peut donc supposer, à conjugaison g.d. près, que \mathcal{D}_1 est contractée sur le point $(0 : 1 : 0)$. Il s'en suit que α_2 coïncide, à multiplication par un scalaire près, avec ℓ_1 et qu'il existe une forme quadratique q telle que $f_0 = \alpha_2q$

$$f = (\alpha_2q : \alpha_1P : \alpha_2P).$$

Comme α_1 et α_2 sont indépendantes f s'écrit à conjugaison g.d. près $(x_1q : x_0P : x_1P)$, soit $\left(\frac{q}{P}, \frac{x_0}{x_1}\right)$ dans la carte affine $x_2 = 1$. La transformation f est birationnelle si pour tous ζ, μ le système

$$\begin{cases} q - \zeta P = 0 \\ x_0 - \mu x_1 = 0 \end{cases}$$

a une unique solution en dehors des points d'indétermination. Dit autrement tout élément du pinceau de coniques défini par $q - \zeta P = 0$ doit couper les éléments du pinceau de droites $x_0 - \mu x_1 = 0$ en un unique point en dehors de $\text{Ind } f$. Puisque génériquement une droite coupe une conique en deux points chaque conique du pinceau $q - \zeta P = 0$ passe par $(0, 0)$, i.e. q et P s'annulent en $(0, 0)$; ainsi f est du type

$$(x_1(x_0\ell_1 + x_1\ell_2) : x_0(x_0L_1 + x_1L_2) : x_1(x_0L_1 + x_1L_2)).$$

Le pinceau défini par $\eta(x_0\ell_1 + x_1\ell_2) + \nu(x_0L_1 + x_1L_2) = 0$ contient une conique dégénérée; C étant lisse, cette dégénérescence n'a pas lieu lorsque η est nul et il existe ν tel que

$$x_0\ell_1 + x_1\ell_2 + \nu(x_0L_1 + x_1L_2) = (ax_0 + bx_1)L_3.$$

Il en résulte qu'à conjugaison g.d. près f est de la forme

$$(x_1(ax_0 + bx_1)L_3 : x_0(x_0L_1 + x_1L_2) : x_1(x_0L_1 + x_1L_2)).$$

□

Ce Lemme s'avère utile pour établir la:

Proposition 7.10. — Soit f un élément de Bir_3 . Supposons que $\text{Exc } f$ soit constitué d'une seule droite et d'une conique lisse. À conjugaison gauche-droite près on a

– lorsque la droite est tangente à la conique, f est de la forme

$$(x_0(x_0^2 + x_1x_2) : x_1^3 : x_1(x_0^2 + x_1x_2)) \quad \{8\};$$

– lorsque la droite n'est pas tangente à la conique, f est du type suivant

$$(x_1^2 x_2 : x_0(x_0 x_2 + x_1^2) : x_1(x_0 x_2 + x_1^2)) \quad \{9\}.$$

La notation $\{k\}$ signifie que l'ensemble exceptionnel de la transformation considérée présente la configuration $\{k\}$ (voir Chapitre 7, §7.1).

Démonstration. — D'après le Lemme 7.9 et sa démonstration la transformation f est, à conjugaison g.d. près, du type $(x_1(ax_0 + bx_1)L_3 : x_0(x_0L_1 + x_1L_2) : x_1(x_0L_1 + x_1L_2))$, la conique contractée étant définie par $x_0L_1 + x_1L_2 = 0$ et la droite contractée par $x_1 = 0$. Un calcul montre que

$$\det(\text{jac } f) = 3(x_0L_1 + x_1L_2)x_1(ax_0 + bx_1) \left((x_0L_1 + x_1L_2) \frac{\partial L_3}{\partial x_2} - L_3 \frac{\partial(x_0L_1 + x_1L_2)}{\partial x_2} \right).$$

Puisque $\det(\text{jac } f)$ s'annule uniquement sur les courbes contractées et que C est lisse, le coefficient a est nul. De plus

$$(x_0L_1 + x_1L_2) \frac{\partial L_3}{\partial x_2} - L_3 \frac{\partial(x_0L_1 + x_1L_2)}{\partial x_2}$$

est un multiple de $x_1^p(x_0L_1 + x_1L_2)^q$, le couple (p, q) appartenant à $\{(2, 0), (1, 1)\}$. Posons

$$L_i := a_i x_0 + b_i x_1 + c_i x_2.$$

Si $p = 2$, alors ou bien $(a_1, a_2) = \left(\frac{c_1 a_3}{c_3}, \frac{b_3 c_1 + a_3 c_2 - c_3 b_1}{c_3} \right)$, ou bien $c_1 = a_3 = c_3 = 0$. Dans le premier cas, c_3 est non nul et on peut supposer que $L_3 = x_2$; on obtient pour modèle à conjugaison g.d. près

$$(x_1^2 x_2 : x_0(x_1^2 + x_0 x_2) : x_1(x_1^2 + x_0 x_2)).$$

La configuration des courbes contractées est donnée par:

$$x_1^2 + x_0 x_2 = 0$$


On constate que les points d'indétermination de f sont les points d'intersection de la droite $x_1 = 0$ avec la conique $x_1^2 + x_0 x_2 = 0$.

La seconde éventualité conduit à conjugaison g.d. près à

$$(x_1^3 : x_0 P : x_1 P), \quad P = a_1 x_0^2 + (b_1 + a_2) x_0 x_1 + b_2 x_1^2 + c_2 x_1 x_2;$$

à conjugaison g.d. près on obtient

$$(x_0(x_0^2 + x_1 x_2) : x_1^3 : x_1(x_0^2 + x_1 x_2));$$

la configuration des courbes contractées est alors donnée par:

$$x_0^2 + x_1x_2 = 0$$


The diagram shows a horizontal line labeled $x_1 = 0$ on the right. Above the line, an ellipse representing a conic curve is drawn, which is tangent to the line at its top point. The equation $x_0^2 + x_1x_2 = 0$ is written above the ellipse.

Notons que l'unique point d'indétermination de f est le point de tangence entre la droite $x_1 = 0$ et la conique $x_0^2 + x_1x_2 = 0$.

Lorsque $q = 1$, on note que c_1 et c_2 sont nuls d'où le modèle suivant

$$(x_1^2(a_3x_0 + b_3x_1 + c_3x_2) : x_0P : x_1P), \quad P = a_1x_0^2 + (b_1 + a_2)x_0x_1 + b_2x_1^2$$

auquel cas C n'est pas lisse. □

Remarque 7.11. —

– L'inverse de $f = (x_0(x_0^2 + x_1x_2) : x_1^3 : x_1(x_0^2 + x_1x_2))$ est

$$(x_0x_1x_2 : x_1x_2^2 : x_2^3 - x_0^2x_1);$$

on constate que $\text{Exc } f^{-1} = \{x_1 = 0, x_2 = 0\}$. Les lieux exceptionnels de f et f^{-1} “ne sont donc pas de même nature”: f contracte une conique et une droite tangente à cette conique et f^{-1} deux droites. Ce phénomène n'arrive pas en degré deux où dans ce cas les configurations de $\text{Exc } f$ et $\text{Exc } f^{-1}$ sont linéairement les mêmes. Remarquons, comme l'indique l'énoncé 7.2, que les groupes fondamentaux des compléments des deux ensembles exceptionnels sont isomorphes.

– L'inverse de $f = (x_1^2x_2 : x_0(x_0x_2 + x_1^2) : x_1(x_0x_2 + x_1^2))$ est

$$(x_1(x_2^2 - x_0x_1) : x_2(x_2^2 - x_0x_1) : x_0x_2^2);$$

on remarque que $\text{Exc } f^{-1} = \{x_2 = 0, x_2^2 - x_0x_1 = 0\}$, dit autrement f et f^{-1} contractent une conique et une droite non tangente à la conique.

Remarque 7.12. — Soit f une transformation birationnelle purement cubique dont le lieu exceptionnel contient une conique réduite $P = 0$ et au moins deux autres droites. Ces courbes ne peuvent pas être contractées sur 3 points distincts alignés. En effet à conjugaison g.d. près on peut supposer que $\text{Exc } f = \{x_0 = 0, x_1 = 0, P = 0\}$. Raisonnons par l'absurde: supposons que $P = 0, x_0 = 0, x_1 = 0$ soient respectivement contractés sur les points $(0 : 0 : 1)$, $(0 : 1 : 0)$ et $(0 : 1 : 1)$. On constate que la première composante de f est divisible par x_0x_1P : ce qui n'est pas possible.

Le lemme qui suit est l'argument fondamental de la classification des transformations birationnelles cubiques.

Lemme 7.13. — Soit f une transformation birationnelle purement cubique. On suppose que f contracte une conique réduite C et au moins deux droites distinctes. Alors f est, à conjugaison gauche-droite près, de l'un des types suivants

- (a) $(x_0(\alpha x_0^2 + \beta x_1^2 + \gamma x_0 x_1 + \delta x_0 x_2 + \varepsilon x_1 x_2) : x_1(\alpha x_0^2 + \beta x_1^2 + \gamma x_0 x_1 + \delta x_0 x_2 + \varepsilon x_1 x_2) : x_0 x_1 x_2)$;
- (b) $(x_0(\alpha x_0^2 + \beta x_1^2 + \gamma x_0 x_1 + \delta x_0 x_2 + \varepsilon x_1 x_2) : x_1(\alpha x_0^2 + \beta x_1^2 + \gamma x_0 x_1 + \delta x_0 x_2 + \varepsilon x_1 x_2) : x_0 x_1^2)$;
- (c) $(x_0(x_0^2 + x_1 x_2 + \gamma x_0 x_2) : x_1(x_0^2 + x_1 x_2 + \gamma x_0 x_2) : x_0 x_1(x_0 - x_1))$;
- (d) $(x_0 x_2(x_1 + \gamma x_0) : x_1 x_2(x_1 + \gamma x_0) : x_0 x_1(x_0 - x_1))$.

Tous ces modèles sont birationnels dès qu'ils sont purement cubiques.

Démonstration. — Supposons que les deux droites contractées aient pour équation $x_0 = 0$, resp. $x_1 = 0$ et que C soit donnée par $P = 0$. On se ramène, grâce au Lemme 7.4 et à la Remarque 7.12, au cas où $x_0 = 0$, $x_1 = 0$ et C sont contractées sur

$$(0 : 1 : 0), \quad (1 : 0 : 0) \quad \text{et} \quad (0 : 0 : 1)$$

respectivement. Il existe alors une forme linéaire ℓ telle que $f = (x_0 P : x_1 P : x_0 x_1 \ell)$. À conjugaison près on peut supposer que ℓ est l'une des trois formes linéaires x_2 , $x_1 - x_0$, x_1 . Écrivons P sous la forme

$$P = ax_0^2 + bx_1^2 + cx_0 x_1 + dx_0 x_2 + ex_1 x_2 + \varepsilon x_2^2.$$

Puisque f est purement cubique P n'est pas divisible par x_0 , resp. x_1 ; dans la carte affine $x_0 = 1$ la transformation f s'écrit

$$f(x_1, x_2) = \left(x_1, \frac{x_2}{a + bx_1^2 + cx_1 + dx_2 + ex_1 x_2 + \varepsilon x_2^2} \right).$$

La birationnalité de f implique que les équations $f(x_1, x_2) = (u, v)$ possèdent génériquement une seule solution; on démontre alors sans difficulté que $\varepsilon = 0$. Lorsque $\ell = x_2$ (resp. $\ell = x_1$) on obtient la première (resp. deuxième) forme normale. Supposons que $\ell = x_1 - x_0$. Observons que d et e ne peuvent pas être simultanément nuls; comme x_0 et x_1 jouent un rôle symétrique on peut supposer que

$$e = 1 \quad \text{et} \quad P = ax_0^2 + bx_1^2 + cx_0 x_1 + dx_0 x_2 + x_1 x_2$$

À composition à droite près par $(x_0 : x_1 : x_2 - (c - bd)x_0 - bx_1)$ la transformation f s'écrit

$$(x_0(\alpha x_0^2 + x_1 x_2 + \gamma x_0 x_2) : x_1(\alpha x_0^2 + x_1 x_2 + \gamma x_0 x_2) : x_0 x_1(x_0 - x_1)).$$

On note que α et γ ne sont pas simultanément nuls. Si α est non nul on se ramène à la forme normale

$$(x_0(x_0^2 + x_1 x_2 + \gamma x_0 x_2) : x_1(x_0^2 + x_1 x_2 + \gamma x_0 x_2) : x_0 x_1(x_0 - x_1)), \quad (\text{c})$$

qui contracte la conique lisse $x_0^2 + x_1 x_2 + \gamma x_0 x_2 = 0$ et les droites

$$x_0 = 0, \quad x_1 = 0, \quad x_1 = x_0, \quad x_1 = -\gamma x_0.$$

Ces droites sont au nombre de quatre si $\gamma \notin \{0, 1\}$; de plus la droite $x_1 = -\gamma x_0$ est tangente à la conique lisse d'équation $x_0^2 + x_1 x_2 + \gamma x_0 x_2 = 0$. Lorsque α est nul, on obtient la forme normale

$$(x_0 x_2(x_1 + \gamma x_0) : x_1 x_2(x_1 + \gamma x_0) : x_0 x_1(x_0 - x_1)), \quad (\text{d})$$

qui contracte les cinq droites $x_0 = 0$, $x_1 = 0$, $x_1 = x_0$, $x_1 + \gamma x_0 = 0$, $x_2 = 0$. □

Dans l'Appendice A on réduit le nombre de paramètres apparaissant dans les différents modèles du Lemme 7.13 à conjugaison g.d. près (§A.1). On compare ensuite les modèles possédant la même configuration de courbes contractées; on constate en utilisant les configurations de $\text{Ind } f^{-1}$ que certains sont g.d. conjugués, d'autres non (§A.2). Cette étude conduit à la:

Proposition 7.14. — *Soit f un élément de $\mathring{\text{Bir}}_3$. On suppose que f contracte une conique réduite C et au moins deux droites distinctes. Alors f est, à conjugaison gauche-droite près, de l'une des formes suivantes*

1. $(x_0(x_0 + x_1)(x_1 + x_2) : x_1(x_0 + x_1)(x_1 + x_2) : x_0x_1x_2), \{5\};$
2. $(x_0(x_0 + x_1 + x_2)(x_0 + x_1) : x_1(x_0 + x_1 + x_2)(x_0 + x_1) : x_0x_1x_2), \{5\};$
3. $(x_0x_2(x_0 + x_1) : x_1x_2(x_0 + x_1) : x_0x_1^2), \{5\};$
4. $(x_0(x_0^2 + x_1^2 + \gamma x_0x_1) : x_1(x_0^2 + x_1^2 + \gamma x_0x_1) : x_0x_1x_2), \gamma^2 \neq 4, \{6\};$
5. $(x_0x_2(x_1 + x_0) : x_1x_2(x_1 + x_0) : x_0x_1(x_0 - x_1)), \{7\};$
6. $(x_0(x_0^2 + x_1^2 + \gamma x_0x_1 + \gamma_+ x_0x_2 + x_1x_2) : x_1(x_0^2 + x_1^2 + \gamma x_0x_1 + \gamma_+ x_0x_2 + x_1x_2) : x_0x_1x_2),$
 $\gamma^2 \neq 4, \gamma_{\pm} = \frac{\gamma \pm \sqrt{\gamma^2 - 4}}{2}, \{7\};$
7. $(x_0(x_1^2 + x_0x_2) : x_1(x_1^2 + x_0x_2) : x_0x_1x_2), \{10\};$
8. $(x_0(x_1^2 + x_0x_2) : x_1(x_1^2 + x_0x_2) : x_0x_1^2), \{10\};$
9. $(x_0(x_0^2 + x_1x_2) : x_1(x_0^2 + x_1x_2) : x_0x_1^2), \{10\};$
10. $(x_0(x_0^2 + x_1x_2 + x_0x_2) : x_1(x_0^2 + x_1x_2 + x_0x_2) : x_0x_1x_2), \{11\};$
11. $(x_0(x_0x_1 + x_0x_2 + x_1x_2) : x_1(x_0x_1 + x_0x_2 + x_1x_2) : x_0x_1x_2), \{11\};$
12. $(x_0(x_0^2 + x_1x_2) : x_1(x_0^2 + x_1x_2) : x_0x_1(x_0 - x_1)), \{12\};$
13. $(x_0(x_0^2 + x_0x_1 + x_1x_2) : x_1(x_0^2 + x_0x_1 + x_1x_2) : x_0x_1x_2), \{12\};$
14. $(x_0(x_1^2 + \gamma x_0x_1 + x_1x_2 + x_0x_2) : x_1(x_1^2 + \gamma x_0x_1 + x_1x_2 + x_0x_2) : x_0x_1x_2), \gamma \notin \{0, 1\}, \{13\};$
15. $(x_0(x_0^2 + x_1^2 + \gamma x_0x_1 + x_0x_2) : x_1(x_0^2 + x_1^2 + \gamma x_0x_1 + x_0x_2) : x_0x_1x_2), \gamma^2 \neq 4, \{14\};$
16. $(x_0(x_0^2 + x_1x_2 + x_0x_2) : x_1(x_0^2 + x_1x_2 + x_0x_2) : x_0x_1(x_0 - x_1)), \{14\};$
17. $(x_0(x_0^2 + x_1^2 + \gamma x_0x_1 + \delta x_0x_2 + x_1x_2) : x_1(x_0^2 + x_1^2 + \gamma x_0x_1 + \delta x_0x_2 + x_1x_2) : x_0x_1x_2),$
 $\gamma^2 \neq 4, \delta \notin \left\{ \frac{\gamma \pm \sqrt{\gamma^2 - 4}}{2} \right\}, \{15\}$

Remarque 7.15. — Considérons la transformation f de la Proposition 7.14 définie par

$$(x_0x_2(x_1 + x_0) : x_1x_2(x_1 + x_0) : x_0x_1(x_0 - x_1)), \{7\};$$

On vérifie que

$$\text{Exc } f = \{x_2 = 0, x_1 = 0, x_0 = 0, x_1 + x_0 = 0, x_0 = x_1\};$$

$$\text{Ind } f = \{(0 : 1 : 0), (0 : 0 : 1), (1 : 0 : 0), (1 : 1 : 0)\}.$$

On constate en particulier que le nombre de points d'indétermination diffère du nombre de courbes contractées ce qui n'arrive pas en degré 2; la raison est la suivante: les droites $x_2 = 0$ et $x_1 + x_0 = 0$ sont contractées sur un même point, le point $(0 : 0 : 1)$.

Puisque f est une involution, son inverse présente la même configuration. En éclatant le point $(0 : 0 : 1)$ on constate que le diviseur exceptionnel est envoyé sur $x_2 = 0$ et sur ce diviseur exceptionnel il y a encore un point d'indétermination qui lui est envoyé sur $x_0 + x_1 = 0$.

Le degré 3 est le premier degré où l'on constate ce phénomène: un point d'indétermination est éclaté sur plusieurs courbes.

Mentionnons un autre élément f du groupe de CREMONA pour lequel un point d'indétermination est éclaté sur plusieurs courbes et pour lequel le comportement de f^{-1} diffère de celui de f (voir [BKT⁺08])

$$\begin{aligned} & ((x_0x_1 - x_0^2)^n x_2 : x_0^{n-1}(x_1 - x_0)^{n+1}(x_0 + x_2) + x_2 \sum_{j=0}^n a_j (x_0x_1 - x_0^2)^{n-j} (x_2^2 - x_0x_1 - x_1x_2)^j : \\ & x_2(x_0x_1 - x_0^2)^{n-1} (x_2^2 - x_0x_1 - x_1x_2)). \end{aligned}$$

Cette transformation a quatre courbes exceptionnelles

$$x_0 = 0, \quad x_0 = x_1, \quad x_2 = 0, \quad -x_2^2 + x_0x_1 + x_1x_2 = 0;$$

les trois premières sont contractées sur le point $(0 : 1 : 0)$. Les composantes de f^{-1} sont données par

$$\begin{aligned} & x_0^n x_2 \left(\sum_{j=0}^n a_j x_0^{n-j} x_2^j - x_0^{n-1} (x_0 + x_1) \right), \\ & (x_0 + x_2) \left(\sum_{j=0}^n a_j x_0^{n-j} x_2^j - x_0^{n-1} x_2^j - x_0^{n-1} (x_0 + x_1) \right)^2, \\ & x_0^{n-1} x_2 \left(x_0^{n-1} (x_2^2 + x_0x_1 + x_1x_2) - (x_0 + x_2) \sum_{j=0}^n a_j x_0^{n-j} x_2^j \right); \end{aligned}$$

son ensemble exceptionnel est formé de

$$x_0 = 0, \quad x_2 = 0, \quad x_0^n + x_0^{n-1} x_1 - \sum_{j=0}^n a_j x_0^{n-j} x_2^j = 0, \quad x_0^{n+1} - (x_0 + x_2) (x_0^n + x_0^{n-1} x_1 - \sum_{j=0}^n a_j x_0^{n-j} x_2^j) = 0$$

Les deux premières courbes sont contractées sur $(0 : 1 : 0)$, la troisième sur $(0 : 0 : 1)$ et la dernière sur $(1 : 1 : 0)$.

7.2.2. Le lieu exceptionnel ne contient pas de conique. —

Nous continuons la classification en étudiant les transformations cubiques dont l'ensemble exceptionnel est un arrangement de droites.

7.2.2.1. *Le lieu exceptionnel est réduit à une droite.* —

Soit f une transformation birationnelle qui contracte exactement une droite que l'on supposera être $x_2 = 0$. On a

$$H^1(\mathbb{P}^2(\mathbb{C}) \setminus \{x_2 = 0\}, \mathbb{Z}) = H^1(\mathbb{P}^2(\mathbb{C}) \setminus \text{Exc } f^{-1}, \mathbb{Z}) = 0$$

ce qui implique que $\text{Exc } f^{-1}$ est aussi une droite. À conjugaison g.d. près on se ramène à

$$\text{Exc } f = \text{Exc } f^{-1} = \{x_2 = 0\}$$

de sorte que f induit un automorphisme polynomial de degré 3 dans la carte $\mathbb{C}^2 = (x_2 = 1)$.

Proposition 7.16. — *Soit f une transformation birationnelle purement cubique contractant exactement une droite; f est gauche-droite conjuguée à la transformation*

$$(x_0x_2^2 + x_1^3 : x_1x_2^2 : x_2^3), \quad \{1\}.$$

En particulier ces transformations forment une seule orbite sous l'action gauche-droite.

La démonstration de cette proposition utilise le:

Lemme 7.17 ([MM80]). — *Soit f un germe de fonction holomorphe à l'origine de \mathbb{C}^n ; écrivons f sous la forme $f_1^{n_1} \dots f_p^{n_p}$. On suppose que les f_i sont irréductibles et que les n_i sont premiers entre eux, i.e. f n'est pas une puissance. Soit g un germe de fonction holomorphe satisfaisant $df \wedge dg = 0$. Il existe un germe de fonction holomorphe ℓ à l'origine de \mathbb{C} telle que $g = \ell \circ f$.*

Remarque 7.18. — Si f et g sont de plus des polynômes homogènes, sous les hypothèses du Lemme 7.17 on obtient $g = \varepsilon f^s$ avec ε dans \mathbb{C} et s dans \mathbb{N} .

Démonstration de la Proposition 7.16. — D'après ce qui précède on peut supposer que f induit un automorphisme polynomial dans la carte $x_2 = 1$. On écrit f sous la forme

$$f = (P, Q) = (P_0 + P_1 + P_2 + P_3, Q_0 + Q_1 + Q_2 + Q_3)$$

les P_i et Q_i appartenant à $\mathbb{C}[x_0, x_1]_i$. À conjugaison g.d. près on peut supposer que $P_0 = Q_0 = 0$ et que P_3 est non identiquement nul. Comme f est un automorphisme polynomial, il existe un complexe non nul η tel que $dP \wedge dQ = \eta dx_0 \wedge dx_1$. Si P_3 n'est pas une puissance le Lemme 7.17 assure que $Q_3 = \eta P_3$; à conjugaison g.d. près, on se ramène à $Q_3 = 0$ puis à $Q_1 = Q_2 = 0$ ce qui est impossible. De sorte que P_3 est une puissance et la seule possibilité à conjugaison linéaire près est $P_3 = x_1^3$; on peut ici encore se ramener à $Q_3 = 0$ et $Q_2 = \varepsilon x_1^2$.

Si ε est nul, f s'écrit $(P_1 + P_2 + x_1^3, Q_1)$ et nécessairement $Q_1 = \mu x_1$ ce qui fait qu'à conjugaison g.d. près on se ramène à $(x_0 + x_1^3, x_1)$.

Reste à s'assurer que $\varepsilon = 0$; si ce n'est pas le cas on peut supposer que ε vaut 1. Toujours en exploitant $dP \wedge dQ = \eta dx_0 \wedge dx_1$, il vient $dP_2 \wedge dx_1^2 + dx_1^3 \wedge dQ_1 = 0$ qui conduit à

$$d(2P_2 - 3x_1Q_1) \wedge dx_1 = 0$$

de sorte que $P_2 = \frac{3x_1Q_1}{2} + \beta x_1^2$. À conjugaison g.d. près f est du type

$$\left(P_1 + \frac{3x_1Q_1}{2} + \beta x_1^3, Q_1 + x_1^2 \right)$$

avec la condition $(3Q_1^2/4 - 2P_1x_1) \wedge dx_1 = 0$; celle-ci implique que Q_1 est divisible par x_1 et empêche que f soit un automorphisme. \square

7.2.2.2. *Le lieu exceptionnel est constitué de deux droites.* —

Soit f un élément de $\mathring{\text{Bir}}_3$ qui contracte exactement deux droites. Comme $\text{Exc } f$ a deux composantes, il en est de même pour $\text{Exc } f^{-1}$. Les arguments topologiques précédents nous indiquent que $\text{Exc } f^{-1}$ est constitué soit de deux droites distinctes, soit d'une conique lisse et d'une droite tangente à la conique. Rappelons que le complément de ces deux types de courbes dans $\mathbb{P}^2(\mathbb{C})$ sont biholomorphes. Quoiqu'il en soit on peut supposer, à conjugaison g.d. près, que $\text{Exc } f = \{x_0 = 0, x_2 = 0\}$ et que $\text{Exc } f^{-1}$ est de l'un des deux types suivants

- $\text{Exc } f^{-1} = \{x_0 = 0, x_2 = 0\}$;
- $\text{Exc } f^{-1} = \{x_2 = 0, x_1^2 - x_0x_2 = 0\}$.

Traitons la première possibilité; f induit un biholomorphisme de $\mathbb{C}^2 \setminus \{x_0 = 0\}$ dans lui-même. Si on écrit $f = (f_0, f_1)$ dans cette carte, on note que f_0 et f_1 n'ont pas de pôle en dehors de $x_0 = 0$ et que f_0 n'y a pas de zéro. Par suite il existe p, q dans \mathbb{Z} et g_1 dans $\mathbb{C}[x_0, x_1]$ tels que

$$f_0(x_0, x_1) = x_0^p, \quad f_1(x_0, x_1) = x_0^q g_1(x_0, x_1).$$

Mais le déterminant jacobien de f est $px_0^{p-1} \frac{\partial g_1}{\partial x_1}(x_0, x_1)$; comme f est un automorphisme de $\mathbb{C}^2 \setminus \{x_0 = 0\}$, on a $\frac{\partial g_1}{\partial x_1}(x_0, x_1) = ax_0^n$. Ainsi à conjugaison linéaire près

$$f = (x_0^p, x_0^{n+q}x_1 + x_0^q\psi(x_0)), \quad \psi \in \mathbb{C}[x_0].$$

Visiblement p vaut ± 1 ; il nous reste à lister $q, n+q$ et ψ pour lesquels ce type de transformations est de degré 3 exactement. On obtient, à conjugaison g.d. près, les modèles suivants

$$\begin{aligned} (x_0x_2^2 : x_0^2x_1 : x_2^3), & & (x_0x_2^2 : x_0^3 + x_0x_1x_2 : x_2^3), \\ (x_0^2x_2 : x_0^3 + x_2^3 + x_0x_1x_2 : x_0x_2^2), & & (x_0^2x_2 : x_0^2x_1 + x_2^3 : x_0x_2^2). \end{aligned}$$

Considérons pour finir la seconde éventualité: $\text{Exc } f^{-1} = \{x_1 = 0, x_1^2 - x_0x_2 = 0\}$. La Proposition 7.10 donne la description de f^{-1}

$$(x_1^3 : x_0(\alpha x_0^2 + \beta x_0x_1 + \gamma x_1^2 + \delta x_1x_2) : x_1(\alpha x_0^2 + \beta x_0x_1 + \gamma x_1^2 + \delta x_1x_2))$$

soit à conjugaison g.d. près $(x_0(x_0^2 + x_1x_2) : x_1^3 : x_1(x_0^2 + x_1x_2))$; l'inverse de cette transformation est donné par $(x_0x_1x_2 : x_1x_2^2 : x_2^3 - x_0^2x_1)$.

Il s'en suit la:

Proposition 7.19. — *Soit f une transformation birationnelle purement cubique qui contracte exactement deux droites ($\{2\}$). Alors f est à conjugaison gauche-droite près de l'une des*

formes suivantes

$$(x_0x_2^2 : x_0^2x_1 : x_2^3); \quad (x_0x_2^2 : x_0^3 + x_0x_1x_2 : x_2^3); \quad (x_0^2x_2 : x_0^3 + x_2^3 + x_0x_1x_2 : x_0x_2^2);$$

$$(x_0^2x_2 : x_0^2x_1 + x_2^3 : x_0x_2^2); \quad (x_0x_1x_2 : x_1x_2^2 : x_2^3 - x_0^2x_1).$$

7.2.2.3. *Le lieu exceptionnel est constitué de trois droites.* —

On procède plus ou moins comme précédemment. Soit f un élément de $\mathring{\text{Bir}}_3$ qui contracte exactement trois droites. Ces trois droites sont

- ou bien concourantes;
- ou bien en position générale.

Nous allons traiter ces deux éventualités l'une après l'autre.

- Supposons que $\text{Exc } f$ soit constitué de trois droites concourantes. Comme $\text{Exc } f$ et $\text{Exc } f^{-1}$ ont même nombre de composantes et ont leurs compléments difféomorphes, on a les deux possibilités suivantes

- $\text{Exc } f^{-1}$ est formé d'une conique lisse et de deux droites réalisant la configuration $\{11\}$. En inversant les modèles réalisant cette configuration (10. et 11. dans la Proposition 7.14) on constate que cette situation n'arrive pas.
- $\text{Exc } f^{-1}$ est formé de trois droites qui sont nécessairement concourantes. Dans ce cas on peut supposer, à conjugaison g.d. près, que $\text{Exc } f = \text{Exc } f^{-1}$.

Proposition 7.20. — *Soit f un élément de $\mathring{\text{Bir}}_3$ dont le lieu exceptionnel est constitué de trois droites concourantes ($\{4\}$). Alors, à conjugaison gauche-droite près, f est de l'un des types suivants*

$$(x_0^3 : x_0^2x_1 : (x_0 - x_1)x_1x_2); \quad (x_0^2(x_0 - x_1) : x_0x_1(x_0 - x_1) : x_0x_1x_2 + x_1^3).$$

Dans les deux cas les ensembles $\text{Exc } f^{-1}$ sont aussi formés de trois droites concourantes.

Démonstration. — D'après ce qui précède il suffit d'examiner le cas où

$$\text{Exc } f = \text{Exc } f^{-1} = \{x_0x_1(x_0 - x_1) = 0\}.$$

Sous cette hypothèse f respecte la fibration $x_1/x_0 = \text{cte}$. En effet considérons une droite $x_1 = \beta x_0$ avec $\beta \notin \{0, 1, \infty\}$; introduisons l'application holomorphe

$$\psi : \mathbb{C} \rightarrow \mathbb{C}^2 \setminus \{x_0x_1(x_0 - x_1) = 0\} \subset \mathbb{P}^2(\mathbb{C}) \setminus \{x_0x_1(x_0 - x_1) = 0\}$$

définie par $t \mapsto (e^t, \beta e^t)$. Comme f est par hypothèse un automorphisme de $\mathbb{P}^2(\mathbb{C}) \setminus \{x_0x_1(x_0 - x_1) = 0\}$, l'application $\varphi = f \circ \psi$ est une application holomorphe de \mathbb{C} à valeurs dans $\mathbb{P}^2(\mathbb{C}) \setminus \{x_0x_1(x_0 - x_1) = 0\} \simeq \mathbb{C} \setminus \{0, 1\} \times \mathbb{C}$. Une application directe du théorème de PICARD dit que φ est à valeurs dans une droite $x_1 = \beta' x_0$ et ceci pour tout β ; d'où l'affirmation. Par conséquent f s'écrit en coordonnées homogènes

$$f = ((cx_0 + dx_1)Q : (ax_0 + bx_1)Q : C), \quad ad - bc \neq 0,$$

avec Q quadratique et C cubique. Comme Q est contracté par f on peut supposer que $Q = x_0\ell$ où ℓ est l'une des formes linéaires x_0 ou $x_0 - x_1$. Finalement à conjugaison g.d. près on se ramène à

$$f = (x_0^2\ell : x_0x_1\ell : C), \quad \deg C = 3.$$

Mais le calcul explicite de $\det(\text{jac } f)$ conduit à

$$C = x_2C_1(x_0, x_1) + C_2(x_0, x_1).$$

En écrivant que $x_1 = 0$ est contractée on constate que $C_1(x_0, 0) = 0$ et

$$f = (x_0^2\ell : x_0x_1\ell : x_1x_2L(x_0, x_2) + C_2(x_0, x_1))$$

avec L linéaire et $\ell = x_0$ ou $\ell = x_0 - x_1$. Un tel f contracte effectivement les droites $x_0 = 0$ et $x_1 = 0$.

Maintenant si $\ell = x_0$, la droite $x_0 = x_1$ sera contractée si et seulement si $L(x_0, x_0) = 0$. À conjugaison g.d. près on aura

$$f = (x_0^3 : x_0^2x_1 : (x_0 - x_1)x_1x_2 + C_2(x_0, x_1)), \quad \deg C_2 = 3$$

qui définit bien une transformation birationnelle cubique contractant exactement trois droites. On se ramène alors à conjugaison g.d. près au premier modèle annoncé

$$(x_0^3 : x_0^2x_1 : (x_0 - x_1)x_1x_2).$$

Lorsque $\ell = x_0 - x_1$ l'application f est du type

$$f = (x_0^2(x_0 - x_1) : x_0x_1(x_0 - x_1) : x_1x_2L(x_0, x_1) + C_2(x_0, x_1)).$$

Pour que la droite $x_1 = 0$ soit contractée il faut que $L = \text{cte } x_0$, la constante pouvant être supposée égale à 1. On se ramène alors par conjugaison gauche-droite à

$$f = (x_0^2(x_0 - x_1) : x_0x_1(x_0 - x_1) : x_0x_1x_2 + x_1^3).$$

Les transformations

$$(x_0^3 : x_0^2x_1 : (x_0 - x_1)x_1x_2)$$

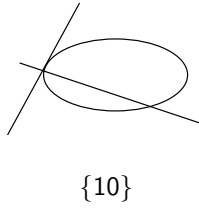
et

$$(x_0^2(x_0 - x_1) : x_0x_1(x_0 - x_1) : (x_0 - x_1)x_1x_2 + x_1^3)$$

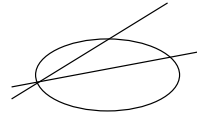
ne sont pas g.d. conjuguées: contrairement à la seconde la première contracte une droite avec multiplicité 4. \square

- Supposons que $\text{Exc } f$ soit formé de trois droites en position générale. Il y a deux possibilités suivant que $\text{Exc } f^{-1}$ contienne ou non une conique lisse.

Lorsque $\text{Exc } f^{-1}$ contient une conique lisse $\text{Exc } f^{-1}$ contient aussi deux droites; on est donc dans l'une des configurations $\{10\}$ ou $\{11\}$



{10}



{11}

Le complément de la configuration $\{10\}$ dans $\mathbb{P}^2(\mathbb{C})$ est difféomorphe au complément de trois droites en position générale. Un calcul explicite montre que les trois modèles f de la Proposition 7.14 présentant la configuration $\{10\}$ satisfont: $\text{Exc } f^{-1}$ est l'union de trois droites en position générale (configuration $\{3\}$). Pour ce qui est de la possibilité $\{11\}$ ou bien on remarque que le complément de $\{11\}$ n'est pas difféomorphe au complément de $\{3\}$ (les groupes fondamentaux sont différents), ou bien on inverse les deux modèles f de la Proposition 7.14 présentant la configuration $\{11\}$ pour constater que $\text{Exc } f^{-1}$ est encore de type $\{11\}$. Cette dernière situation est donc à exclure.

Proposition 7.21. — *Soit f un élément de $\mathring{\text{Bir}}_3$ qui contracte trois droites en position générale ($\{3\}$). Si $\text{Exc } f^{-1}$ contient une conique lisse, il contient deux droites dont l'une est tangente à la conique; de plus f est à conjugaison gauche-droite près de l'une des formes suivantes*

$$\begin{aligned} & (x_0^2(x_1 - x_2) : x_0x_1(x_1 - x_2) : x_1^2x_2); & (x_0^2x_2 : x_0x_1x_2 : x_0x_1^2 - x_1^2x_2); \\ & (x_0x_1x_2 : x_1^2x_2 : x_0(x_1^2 - x_0x_2)). \end{aligned}$$

Le cas restant est celui où $\text{Exc } f^{-1}$ est lui aussi formé de trois droites en position générale. À conjugaison gauche-droite près nous pouvons supposer que

$$\text{Exc } f = \text{Exc } f^{-1} = \{x_0x_1x_2 = 0\}.$$

Dans la carte affine $\mathbb{C}^2 = (x_2 = 1)$ la transformation f induit un automorphisme du complément de $x_0x_1 = 0$. On en déduit que f s'écrit $(x_0^p x_1^q, x_0^r x_1^s)$ avec $\begin{bmatrix} p & q \\ r & s \end{bmatrix} \in \text{GL}_2(\mathbb{Z})$. Lorsque l'on homogénéise f on trouve une expression du type

$$(x_0^{p_0} x_1^{q_0} x_2^{r_0} : x_0^{p_1} x_1^{q_1} x_2^{r_1} : x_0^{p_2} x_1^{q_2} x_2^{r_2})$$

où les sommes $p_i + q_i + r_i$ valent 3 et les produits $p_0p_1p_2$, $q_0q_1q_2$, $r_0r_1r_2$ sont nuls. Le déterminant jacobien de f vaut, à multiplication près par une constante,

$$x_0^{(\sum p_i)-1} x_1^{(\sum q_i)-1} x_2^{(\sum r_i)-1};$$

puisque $\text{Exc } f$ est constitué de trois droites il faut que

$$\sum p_i > 1, \quad \sum q_i > 1, \quad \sum r_i > 1.$$

Comme la transformation f s'écrit $(x_0^{p_0-p_2}x_1^{q_0-q_2}, x_0^{p_1-p_2}x_1^{q_1-q_2})$ dans la carte affine $x_2 = 1$, on a de plus

$$\det \begin{bmatrix} p_0 - p_2 & q_0 - q_2 \\ p_1 - p_2 & q_1 - q_2 \end{bmatrix} = \pm 1.$$

L'examen de toutes les éventualités nous conduit à la:

Proposition 7.22. — Soit f une transformation birationnelle purement cubique telle que les lieux exceptionnels de f et f^{-1} soient formés de trois droites en position générale ($\{3\}$). Alors f est, à conjugaison gauche-droite près, du type suivant

$$(x_0^3 : x_1^2 x_2 : x_0 x_1 x_2).$$

7.2.2.4. Le lieu exceptionnel est formé de quatre droites ou plus. —

Lemme 7.23. — Soit f un élément de $\mathring{\text{Bir}}_3$. On suppose qu'à conjugaison gauche-droite près f contracte les droites $x_0 = 0$, $x_1 = 0$ et $x_2 = 0$ sur trois points distincts p_1 , p_2 et p_3 ; on suppose en outre que f contracte une quatrième droite $\ell = 0$. Alors les p_i ne sont pas alignés.

Démonstration. — Supposons que f contracte $x_0 = 0$, $x_1 = 0$, $x_2 = 0$ sur $(1 : 0 : 0)$, resp. $(1 : 0 : 1)$, resp. $(0 : 0 : 1)$. Il existe q_0 et q_2 dans $\mathbb{C}[x_0, x_1, x_2]_2$ tels que

$$f = (x_2 q_0 : x_0 x_1 x_2 : x_0 q_2) \quad \text{avec} \quad x_2 q_0(x_0, 0, x_2) = x_0 q_2(x_0, 0, x_2).$$

La droite $\ell = 0$ est contractée sur un point p qui ne peut être aligné avec les trois précédents (sinon $x_0 x_1 x_2$ serait divisible par ℓ). Par suite on peut supposer que $p = (0 : 1 : 0)$; la transformation f est donc de la forme $(x_2 \ell_0 : x_0 x_1 x_2 : x_0 \ell_2)$, les ℓ_i étant linéaires. Mais en se souvenant que $x_1 = 0$ est contractée sur $(1 : 0 : 1)$, on constate que ℓ_0 et ℓ_2 sont du type suivant

$$\ell_0 = \alpha x_0 + \beta x_1, \quad \ell_2 = \alpha x_2 + \gamma x_1, \quad \alpha \beta \gamma \neq 0.$$

On se ramène alors par homothétie à $\alpha = \beta = \gamma = 1$ et

$$f = (x_2(x_0 + x_1)(Ax_0 + Bx_1 + Cx_2) : x_0 x_1 x_2 : x_0(x_1 + x_2)(Ax_0 + Bx_1 + Cx_2))$$

qui dans la carte affine $x_1 = 1$ s'écrit

$$\left(\frac{x_0 + 1}{x_0} (Ax_0 + B + Cx_2), \frac{x_2 + 1}{x_2} (Ax_0 + B + Cx_2) \right).$$

En composant par $\psi = \left(\frac{1}{x_0-1}, \frac{1}{x_2-1} \right)$ on obtient

$$f \circ \psi = \left(x_0 \left(\frac{A}{x_0-1} + B + \frac{C}{x_2-1} \right), x_2 \left(\frac{A}{x_0-1} + B + \frac{C}{x_2-1} \right) \right)$$

qui est injective en même temps que

$$\left(x_0 \left(\frac{A}{x_0-1} + B + \frac{C}{x_2-1} \right), \frac{x_2}{x_0} \right)$$

Si cette dernière application est injective génériquement alors $A = C = 0$ ce qui implique que f est quadratique: contradiction. \square

Avec les mêmes techniques on en déduit la:

Proposition 7.24. — *Une transformation birationnelle purement cubique f ne peut pas contracter quatre droites en position générale.*

Démonstration. — Raisonnons par l'absurde: supposons que f contracte les droites

$$x_0 = 0, \quad x_1 = 0, \quad x_2 = 0 \quad \text{et} \quad x_2 = x_0 + x_1$$

sur p_0, p_1, p_2 et p_3 respectivement.

Si les p_i sont distincts, on peut se ramener, d'après le Lemme 7.23, au cas où

$$p_0 = (1 : 0 : 0), \quad p_1 = (0 : 1 : 0), \quad p_2 = (0 : 0 : 1), \quad p_3 = (1 : 1 : 1).$$

Un calcul direct montre que f est du type suivant

$$(x_1x_2(a(x_0 + x_1 - x_2) + x_2 - x_1) : x_0x_2(b(x_0 + x_1 - x_2) + x_2 - x_0) : x_0x_1(c(x_0 + x_1 - x_2) + x_2)).$$

On remarque que si l'une des conditions $a = 1, b = 1, c = 0$ est satisfaite alors f est quadratique. En carte affine $x_2 = 1$, la transformation f s'écrit

$$\left(\frac{a(x_0 + x_1 - 1) + 1 - x_1}{x_0(c(x_0 + x_1 - 1) + 1)}, \frac{b(x_0 + x_1 - 1) + 1 - x_0}{x_1(c(x_0 + x_1 - 1) + 1)} \right).$$

On doit exprimer l'injectivité de f ; pour cela on regarde les équations $f = (u, v)$ qui conduisent à

$$\begin{aligned} a(x_0 + x_1 - 1) + 1 - x_1 &= ux_0(c(x_0 + x_1 - 1) + 1), \\ b(x_0 + x_1 - 1) + 1 - x_0 &= vx_1(c(x_0 + x_1 - 1) + 1). \end{aligned}$$

Après élimination on obtient que

$$x_1 = -\frac{cux_0^2 + (u(1-c) - a)x_0 + (a-1)}{ucx_0 + 1 - a}$$

et

$$(7.2.2) \quad \begin{aligned} &c^2u(v-u)x_0^3 + c(u^2c^2 + 2u(a-1) - av + uv(2-a-c))x_0^2 \\ &+ (a(2-a-b) + b-1 + u(2c-b)(1-a) - v(a^2+c+a-ac) + uv(a-1)(c-1))x_0 \\ &+ (a-1)^2(1-v) = 0. \end{aligned}$$

Pour qu'il n'y ait qu'une solution générique, cette équation doit se factoriser de la façon suivante

$$(x_0 - x_0(u, v))(x_0 - \eta_1)(x_0 - \eta_2)(x_0 - \eta_3) = 0$$

les η_i étant des constantes. Soit $x_0 = \eta$ une solution de (7.2.2) indépendante de u, v . Le coefficient de u^2 est $\eta^2c^2(c-1)$; comme c est non nul, $\eta^2c^2(c-1) = 0$ si et seulement si $c = 1$ ou $\eta = 0$. Si $\eta \neq 0$, alors $c = 1$ et on constate que $\eta = a = 1$; dans ce cas f est quadratique. Si $\eta = 0$; à partir de $(a-1)^2(1-v) = 0$ on obtient que a vaut 1 et que f est quadratique.

Supposons que les p_i ne soient pas distincts; d'après le Lemme 7.4 il y a au moins parmi ces points trois points distincts. En particulier on peut invoquer la Proposition 7.14; on constate

que l'arrangement de quatre droites contractées en position générale n'apparaît pas dans celle-ci. \square

Les configurations de quatre droites contractées (au moins) contiennent donc au moins trois droites concourantes. Comme on l'a vu si les quatre droites sont contractées par f sur trois points alors f est à équivalence près donnée par la Proposition 7.14. On peut donc supposer que les quatre droites sont contractées sur quatre points distincts et que trois d'entre elles sont les droites $x_0 = 0$, $x_1 = 0$ et $x_1 = x_0$. On considère tour à tour les cas où les droites $x_0 = 0$, $x_1 = 0$ et $x_0 = x_1$ sont contractées sur trois points alignés, respectivement non alignés et distincts.

Proposition 7.25. — *Soit f un élément de $\mathring{\text{Bir}}_3$ qui, à conjugaison gauche-droite près, contracte les droites $x_0 = 0$, resp. $x_1 = 0$, resp. $x_1 = x_0$ sur trois points $(1 : 0 : 0)$, resp. $(0 : 1 : 0)$, resp. $(1 : 1 : 0)$ et (au moins) une quatrième droite. Alors f contracte cinq droites et est, à conjugaison gauche-droite près, le modèle 5. de la Proposition 7.14.*

Démonstration. — La transformation f est de la forme

$$(x_1q + (x_0 - x_1)x_1\ell : x_0q : x_0x_1(x_0 - x_1))$$

où q désigne une forme quadratique et ℓ une forme linéaire. Supposons que f contracte une quatrième droite d'équation $L = 0$. On est ramené à conjugaison près à l'alternative suivante

$$L = x_1 - \beta x_0 \text{ avec } \beta \notin \{0, 1\}, \quad \text{ou} \quad L = x_2.$$

Nous allons voir que nécessairement $L = x_2$; raisonnons par l'absurde *i.e.* supposons que $L = x_1 - \beta x_0$ avec $\beta \notin \{0, 1\}$. Sur $x_1 - \beta x_0 = 0$ on a

$$(\beta x_0 q(x_0, \beta x_0, x_2) + \beta(1 - \beta)x_0^2 \ell(x_0, \beta x_0, x_2) : x_0 q(x_0, \beta x_0, x_2) : \beta(1 - \beta)x_0^3);$$

ainsi $q(x_0, \beta x_0, x_2)$ est divisible par x_0^2 et $\ell(x_0, \beta x_0, x_1)$ est divisible par x_0 . Il s'en suit que q et ℓ ne dépendent pas de x_2 ce qui est impossible.

On suppose donc que $x_2 = 0$ est contractée; sur $x_2 = 0$ on a

$$(x_1q(x_0, x_1, 0) + x_1(x_0 - x_1)\ell(x_0, x_1, 0) : x_0q(x_0, x_1, 0) : x_0x_1(x_0 - x_1));$$

il en résulte que $q(x_0, x_1, 0) = \varepsilon x_1(x_0 - x_1)$ et $\ell(x_0, x_1, 0) = ax_0 - \varepsilon x_1$. Ainsi toujours à conjugaison g.d. près

$$f = (x_1x_2(Ax_0 + Bx_1 + Cx_2 + c(x_0 - x_1)) : x_0x_2(Ax_0 + Bx_1 + Cx_2) : x_0x_1(x_0 - x_1)).$$

Ce modèle est birationnel si $C = Ac = 0$. Or si $C = A = 0$, la transformation est quadratique donc $C = c = 0$ et

$$f = (x_1x_2(Ax_0 + Bx_1) : x_0x_2(Ax_0 + Bx_1) : x_0x_1(x_0 - x_1))$$

qui est le modèle annoncé. \square

On termine en supposant que les droites $x_0 = 0$, $x_1 = 0$ et $x_1 = x_0$ sont contractées respectivement sur $(1 : 0 : 0)$, $(0 : 1 : 0)$ et $(1 : 0 : 1)$.

Lemme 7.26. — Soit f un élément de $\mathring{\text{Bir}}_3$. Supposons qu'à conjugaison gauche-droite près f contracte la droite $x_0 = 0$, resp. $x_1 = 0$, resp. $x_1 = x_0$ sur $(1 : 0 : 0)$, resp. $(0 : 1 : 0)$, resp. $(0 : 0 : 1)$ et (au moins) une quatrième droite de la forme $x_1 = \eta x_0$ avec $\eta \notin \{0, 1\}$. Alors f contracte une conique réduite; en particulier les hypothèses de la Proposition 7.14 sont vérifiées.

Démonstration. — La transformation f est du type

$$(x_1(x_0 - x_1)\ell_0 : x_0(x_0 - x_1)\ell_1 : x_0x_1\ell_2)$$

où les ℓ_i sont linéaires. Comme les trois droites jouent le même rôle et que l'un des ℓ_i doit dépendre effectivement de x_2 , on peut supposer que $\ell_2 = x_2$. En écrivant que la quatrième droite est contractée on obtient que f est du type suivant

$$f = (x_1(x_0 - x_1)(a(x_1 - \eta x_0) + bx_2) : x_0(x_0 - x_1)(\alpha(x_1 - \eta x_0) + \beta x_2) : x_0x_1x_2).$$

Un calcul élémentaire montre que le déterminant jacobien de f s'écrit

$$\det(\text{jac } f) = 3x_0x_1(x_0 - x_1)(x_1 - \eta x_0)(a\alpha(\eta x_0^2 + x_1^2 - (\eta + 1)x_0x_1) - a\beta x_0x_2 + \alpha b x_1x_2).$$

Notons C la conique donnée par $a\alpha(\eta x_0^2 + x_1^2 - (\eta + 1)x_0x_1) - a\beta x_0x_2 + \alpha b x_1x_2 = 0$. On remarque que C est lisse si et seulement si

$$a\alpha(a\beta - b\eta\alpha)(b\alpha - a\beta) \neq 0.$$

Comme cette conique est contractée le Lemme est démontré dans ce cas.

Si a est nul, C est l'union des droites $x_1 = 0$ et $x_2 = 0$ qui sont toutes deux contractées sur $(0 : 1 : 0)$: la conique C est réduite et contractée et f satisfait donc les hypothèses de la Proposition 7.14. On suppose $a \neq 0$; lorsque α est nul alors β ne l'est pas et on constate de même que C est contractée et réduite.

Reste à étudier l'éventualité où $(a\beta - b\eta\alpha)(b\alpha - a\beta) = 0$ avec $a\alpha \neq 0$.

Si $b = 0$ alors $\beta = 0$; la transformation est alors g.d. conjuguée à

$$(x_1(x_0 - x_1)(x_1 - \eta x_0) : x_0(x_0 - x_1)(x_1 - \eta x_0) : x_0x_1x_2).$$

La droite $x_1 - \eta x_0$ est contractée sur $(0 : 0 : 1)$, comme la droite $x_1 = x_0$; ici encore le Lemme est démontré et on se trouve dans la configuration $\{6\}$: le lieu exceptionnel est constitué des quatre droites $x_0 = 0$, $x_1 = 0$, $x_0 = x_1$ et $x_1 = \eta x_0$. On retrouve le modèle 4. de la Proposition 7.14.

Supposons désormais que b soit non nul; C est l'union des deux droites \mathcal{D}_1 , resp. \mathcal{D}_2 d'équation

$$x_1 = \frac{a\beta}{\alpha b}x_0, \quad \text{resp.} \quad \alpha(\alpha b\eta - a\beta\eta - a\beta)x_1 - a\beta^2x_2 + \alpha\alpha\beta\eta x_0 = 0.$$

La droite \mathcal{D}_1 est contractée par f si et seulement si $\eta = \frac{a\beta}{\alpha b}$ ou $a\beta - \alpha b = 0$. Commençons par supposer que $\eta = \frac{a\beta}{\alpha b}$. On constate que la droite \mathcal{D}_1 coïncide avec la droite $x_1 = \eta x_0$ et qu'elle est contractée sur $(a(a\beta - \alpha b) : \alpha(a\beta - \alpha b) : -\alpha\alpha)$; la droite \mathcal{D}_2 , donnée par $ax_1 + bx_2 - ax_0 = 0$, est aussi contractée sur ce point. La conique C est donc réduite et contractée. Si $a\beta - \alpha b = 0$, on remarque que \mathcal{D}_1 coïncide avec la droite $x_1 = x_0$ et que \mathcal{D}_2 , d'équation $\alpha\eta x_0 - \alpha x_1 - ax_2 = 0$,

est contractée si et seulement si $a = \beta$ auquel cas elle l'est sur le point $(0 : 0 : 1)$: la conique C est encore réduite et contractée. \square

Proposition 7.27. — Soit f une transformation birationnelle purement cubique. Supposons qu'à conjugaison gauche-droite près f contracte les droites d'équation $x_0 = 0$, $x_1 = 0$, $x_0 = x_1$ sur $(1 : 0 : 0)$, resp. $(0 : 1 : 0)$, resp. $(0 : 0 : 1)$ et la droite $x_2 = 0$. Alors f appartient à l'orbite sous l'action gauche-droite d'une des transformations suivantes

- modèle 2. de la Proposition 7.14, $\{5\}$;
- $(x_1(x_0 - x_1)(x_0 + x_2) : x_0(x_0 - x_1)(x_2 - x_1) : x_1x_2(x_0 + x_1))$, $\{7\}$.

Remarque 7.28. — Comme nous le verrons dans la démonstration,

$$(x_1(x_0 - x_1)(x_0 + x_2) : x_0(x_0 - x_1)(x_2 - x_1) : x_1x_2(x_0 + x_1))$$

n'est pas g.d. conjugué aux modèles de la Proposition 7.14 présentant la configuration $\{7\}$.

Démonstration. — D'après les hypothèses f est de la forme

$$(x_1(x_0 - x_1)(\alpha x_0 + \beta x_2) : x_0(x_0 - x_1)(\gamma x_1 + \delta x_2) : x_0x_1(\varepsilon(x_0 - x_1) + \mu x_2)).$$

Notons que β , δ et μ ne peuvent être nuls puisque f est purement cubique; on peut donc les supposer égaux à 1. On remarque qu'une transformation du type ci-dessus est birationnelle si et seulement si nous sommes dans l'une des situations suivantes

- $\gamma = \varepsilon = 0$;
- $\alpha = \gamma = 0$;
- $\gamma = -1$, $\varepsilon = \frac{\alpha}{\alpha+1}$.

Dans les deux premiers cas on obtient à conjugaison g.d. près

$$f_1 = (x_1(x_0 - x_1)(x_0 + x_2) : x_0x_2(x_0 - x_1) : x_0x_1x_2), \quad \{5\};$$

la dernière éventualité conduit à

$$(x_1(x_0 - x_1)(\alpha x_0 + x_2) : x_0(x_0 - x_1)(x_2 - x_1) : x_1x_2(\alpha x_0 + x_1))$$

soit à

$$f_2 = (x_1x_2(x_0 - x_1) : x_0(x_0 - x_1)(x_2 - x_1) : x_1^2x_2), \quad \{5\}$$

ou à

$$f_3 = (x_1(x_0 - x_1)(x_0 + x_2) : x_0(x_0 - x_1)(x_2 - x_1) : x_1x_2(x_0 + x_1)), \quad \{7\}$$

suitant que α est nul ou non.

Les éléments f_1 et f_2 sont g.d. conjugués

$$f_2 = (-x_2 : -x_0 : x_1 + x_2)f_1(-x_1 : x_0 - x_1 : x_2).$$

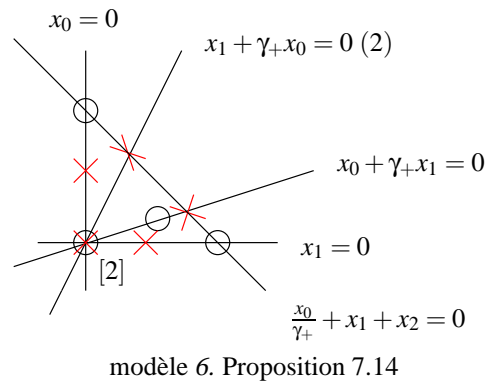
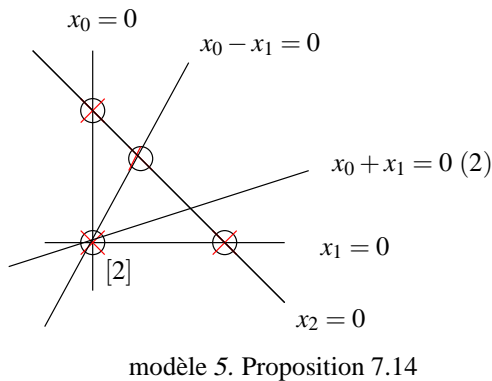
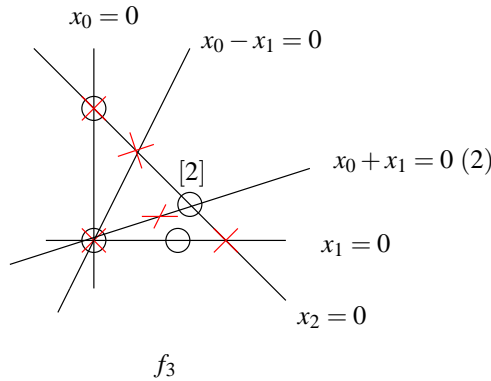
La transformation f_1 est g.d. conjuguée au modèle 2. de la Proposition 7.14 que nous noterons g

$$f_1 = (x_2 : x_0 : x_1)g(x_1 - x_0 : -x_1 : x_0 + x_2).$$

L'élément

$$f_3 = (x_1(x_0 - x_1)(x_0 + x_2) : x_0(x_0 - x_1)(x_2 - x_1) : x_1x_2(x_0 + x_1))$$

n'est pas g.d. conjuguée au modèle 6. de la Proposition 7.14: sur la composante de det jac de multiplicité 2 chacun de ces deux éléments admet deux points d'indétermination dont la position diffère (dans le cas de f_3 ces points ne sont pas nécessairement des points d'intersection avec d'autres courbes de Exc f_3 contrairement à ce qu'il se passe pour le modèle 6.). Elle n'est pas non plus g.d. conjuguée au modèle 5. de cette même Proposition; en effet le modèle 5. possède la propriété suivante que f_3 n'a pas: on peut trouver dans le lieu exceptionnel de cette transformation trois courbes contractées sur trois points distincts alignés. Voici des dessins qui illustrent ce discours; on adopte les notations suivantes. Les droites correspondent aux courbes contractées par la transformation considérée; quand la multiplicité (dans le déterminant jacobien) de l'une d'elle est strictement supérieure à 1 elle est précisée entre parenthèse. Les "cercles" correspondent aux points sur lesquels les éléments du lieu exceptionnel sont contractés; on précise entre crochets le nombre de droites contractées sur un point lorsque celui-ci est strictement supérieur à 1. Les "croix rouges" caractérisent les points d'indétermination de la transformation étudiée.



□

Remarque 7.29. — On constate que certaines configurations, par exemple 5 droites concourantes ou 6 droites, n'arrivent pas; on peut d'ailleurs le prouver de façon directe sans utiliser la classification.

7.2.3. Récapitulatif. —

Le tableau qui suit donne à conjugaison g.d. près les différents modèles de transformations birationnelles purement cubiques; pour chacun d'entre eux on a mentionné la configuration des courbes contractées (deuxième colonne) et la dimension de son orbite sous l'action gauche-droite (troisième colonne). Si γ désigne un complexe, on rappelle que

$$\gamma_+ := \frac{\gamma + \sqrt{\gamma^2 - 4}}{2} \quad \text{et} \quad \gamma_- := \frac{\gamma - \sqrt{\gamma^2 - 4}}{2}$$

sont les deux racines du trinôme $t^2 - \gamma t + 1$.

Rappelons qu'on obtient la dimension de l'orbite d'une transformation birationnelle en déterminant son groupe d'isotropie. Donnons un exemple.

Considérons la transformation $f = (x_0 x_2^2 + x_1^3 : x_1 x_2^2 : x_2^3)$. Cherchons A, B dans $SL_3(\mathbb{C})$ et η dans \mathbb{C}^* tels que $Af = \eta fB$; on obtient que nécessairement

$$A = (\gamma^3 x_0 + \alpha \delta^2 x_1 + \beta \delta^2 x_2 : \gamma \delta^2 x_1 : \delta^3 x_2), \quad B = \left(\frac{\gamma^3}{\delta^2} x_0 + \alpha x_1 + \beta x_2 : \gamma x_1 : \delta x_2 \right)$$

avec $\delta^6 = 1$ et $\gamma^4 = \delta$. La dimension du groupe d'isotropie est donc 2, celle de l'orbite de f sous l'action gauche-droite $16 - 2 = 14$.

$(x_0x_2^2 + x_1^3 : x_1x_2^2 : x_2^3)$	{1}	14
$(x_0x_2^2 : x_0^2x_1 : x_2^3)$	{2}	15
$(x_0x_2^2 : x_0^3 + x_0x_1x_2 : x_2^3)$	{2}	15
$(x_0^2x_2 : x_0^3 + x_2^3 + x_0x_1x_2 : x_0x_2^2)$	{2}	14
$(x_0^2x_2 : x_0^2x_1 + x_2^3 : x_0x_2^2)$	{2}	15
$(x_0x_1x_2 : x_1x_2^2 : x_2^3 - x_0^2x_1)$	{2}	15
$(x_0^3 : x_1^2x_2 : x_0x_1x_2)$	{3}	15
$(x_0^2(x_1 - x_2) : x_0x_1(x_1 - x_2) : x_1^2x_2)$	{3}	15
$(x_0^2x_2 : x_0x_1x_2 : x_1^2(x_0 - x_2))$	{3}	15
$(x_0x_1x_2 : x_1^2x_2 : x_0(x_1^2 - x_0x_2))$	{3}	15
$(x_0^3 : x_0^2x_1 : (x_0 - x_1)x_1x_2)$	{4}	15
$(x_0^2(x_0 - x_1) : x_0x_1(x_0 - x_1) : x_0x_1x_2 + x_1^3)$	{4}	16
$(x_0x_2(x_0 + x_1) : x_1x_2(x_0 + x_1) : x_0x_1^2)$	{5}	16
$(x_0(x_0 + x_1)(x_1 + x_2) : x_1(x_0 + x_1)(x_1 + x_2) : x_0x_1x_2)$	{5}	16
$(x_0(x_0 + x_1 + x_2)(x_0 + x_1) : x_1(x_0 + x_1 + x_2)(x_0 + x_1) : x_0x_1x_2)$	{5}	16
$(x_0(x_0^2 + x_1^2 + \gamma x_0x_1) : x_1(x_0^2 + x_1^2 + \gamma x_0x_1) : x_0x_1x_2), \gamma^2 \neq 4$	{6}	15
$(x_0x_2(x_1 + x_0) : x_1x_2(x_1 + x_0) : x_0x_1(x_0 - x_1))$	{7}	16
$(x_0(x_0^2 + x_1^2 + \gamma x_0x_1 + \gamma_+ x_0x_2 + x_1x_2) : x_1(x_0^2 + x_1^2 + \gamma x_0x_1 + \gamma_+ x_0x_2 + x_1x_2) : x_0x_1x_2)$	{7}	16
$(x_1(x_0 - x_1)(x_0 + x_2) : x_0(x_0 - x_1)(x_2 - x_1) : x_1x_2(x_0 + x_1))$	{7}	16
$(x_0(x_0^2 + x_1x_2) : x_1^3 : x_1(x_0^2 + x_1x_2))$	{8}	16
$(x_1^2x_2 : x_0(x_0x_2 + x_1^2) : x_1(x_0x_2 + x_1^2))$	{9}	15
$(x_0(x_1^2 + x_0x_2) : x_1(x_1^2 + x_0x_2) : x_0x_1x_2)$	{10}	16
$(x_0(x_1^2 + x_0x_2) : x_1(x_1^2 + x_0x_2) : x_0x_1^2)$	{10}	16
$(x_0(x_0^2 + x_1x_2) : x_1(x_0^2 + x_1x_2) : x_0x_1^2)$	{10}	16
$(x_0(x_0x_1 + x_0x_2 + x_1x_2) : x_1(x_0x_1 + x_0x_2 + x_1x_2) : x_0x_1x_2)$	{11}	16
$(x_0(x_0^2 + x_1x_2 + x_0x_2) : x_1(x_0^2 + x_1x_2 + x_0x_2) : x_0x_1x_2)$	{11}	16
$(x_0(x_0^2 + x_0x_1 + x_1x_2) : x_1(x_0^2 + x_0x_1 + x_1x_2) : x_0x_1x_2)$	{12}	16
$(x_0(x_0^2 + x_1x_2) : x_1(x_0^2 + x_1x_2) : x_0x_1(x_0 - x_1))$	{12}	16
$(x_0(x_1^2 + \gamma x_0x_1 + x_1x_2 + x_0x_2) : x_1(x_1^2 + \gamma x_0x_1 + x_1x_2 + x_0x_2) : x_0x_1x_2), \gamma \neq 0, 1$	{13}	16
$(x_0(x_0^2 + x_1^2 + \gamma x_0x_1 + x_0x_2) : x_1(x_0^2 + x_1^2 + \gamma x_0x_1 + x_0x_2) : x_0x_1x_2), \gamma^2 \neq 4,$	{14}	16
$(x_0(x_0^2 + x_1x_2 + x_0x_2) : x_1(x_0^2 + x_1x_2 + x_0x_2) : x_0x_1(x_0 - x_1))$	{14}	16
$(x_0(x_0^2 + x_1^2 + \gamma x_0x_1 + \delta x_0x_2 + x_1x_2) : x_1(x_0^2 + x_1^2 + \gamma x_0x_1 + \delta x_0x_2 + x_1x_2) : x_0x_1x_2), \gamma^2 \neq 4, \delta \neq \gamma_{\pm}$	{15}	16

Parmi ces modèles cinq familles dépendent effectivement de plus de un paramètre. Ces paramètres, attachés à des configurations de courbes contractées, peuvent être reliés à des configurations de points sur la droite projective, précisément 4 ou 5 points suivant qu'il y a un ou deux paramètres. Le lecteur intéressé pourra décrire l'espace des invariants; il y rencontrera l'invariant j des courbes elliptiques.

Remarque 7.30. — Dans le tableau les différents modèles ne sont pas g.d. équivalents. On le vérifie en examinant les invariants: type et nombre de composantes des zéros du déterminant jacobien et leur multiplicité, configuration des points d'indétermination (par exemple alignement ou non) etc.

Remarque 7.31. — Toute transformation birationnelle cubique est donc à conjugaison dynamique près du type Af où A désigne un automorphisme de $\mathbb{P}^2(\mathbb{C})$ et f un élément de la liste donnée ci-dessus.

Comme nous l'avons fait dans le cas quadratique on peut étudier l'espace des relations linéaires associé à une application birationnelle f de $\mathring{\text{Bir}}_3$. Si $f = (f_0, f_1, f_2)$ on introduit l'espace vectoriel

$$\text{RL}(f) := \{L = (L_0, L_1, L_2) \text{ application linéaire} \mid L_0f_0 + L_1f_1 + L_2f_2 = 0\}.$$

En utilisant la classification précédente on vérifie sans peine que pour toute transformation f purement cubique $\dim \text{RL}(f) = 1$. De plus si L est un élément non trivial de $\text{RL}(f)$ alors L est de rang deux. On obtient alors un énoncé semblable au Théorème 7.32.

Théorème 7.32. — Soit f un élément de $\mathring{\text{Bir}}_3$. Il existe une application linéaire $L = (L_0, L_1, L_2)$ et une application quadratique $Q = (Q_0, Q_1, Q_2)$ telles que

$$f = L \wedge Q = (L_1Q_2 - L_2Q_1 : L_2Q_0 - L_0Q_2 : L_0Q_1 - L_1Q_0).$$

En particulier les éléments de $\mathring{\text{Bir}}_3$ sont des applications déterminantielles.

Exemple. — Pour l'élément générique présentant la configuration $\{15\}$ on constate que

$$L = (x_1, -x_0, 0) \quad \text{et} \quad Q = (0, x_0x_2, -(x_0^2 + x_1^2 + \gamma x_0x_1 + \delta x_0x_2 + x_1x_2))$$

conviennent.

Toutefois l'énoncé 3.3.4 est moins complet que le Théorème 7.32; en effet si L est une application linéaire de rang deux et Q une application quadratique, alors $L \wedge Q$ ne définit pas nécessairement une application birationnelle.

7.3. Irréductibilité de $\mathring{\text{Bir}}_3$

Pour $\gamma^2 \neq 4$ et $\delta \neq \gamma_{\pm}$ on note $\xi_{\gamma, \delta}$ la transformation

$$(x_0(x_0^2 + x_1^2 + \gamma x_0x_1 + \delta x_0x_2 + x_1x_2) : x_1(x_0^2 + x_1^2 + \gamma x_0x_1 + \delta x_0x_2 + x_1x_2) : x_0x_1x_2)$$

qui présente la configuration $\{15\}$. Considérons A et B deux automorphismes de $\mathbb{P}^2(\mathbb{C})$ tels que

$$(7.3.1) \quad A\xi_{\gamma,\delta}B = \xi_{\gamma,\delta'}.$$

On constate que $\text{Exc}(A\xi_{\gamma,\delta}B) = B^{-1}(\text{Exc}\xi_{\gamma,\delta}) = \text{Exc}\xi_{\gamma,\delta'}$. Comme

$$\text{Exc}\xi_{\gamma,\delta} = \{x_0 = 0, x_1 = 0, x_0^2 + x_1^2 + \gamma x_0 x_1 + \delta x_0 x_2 + x_1 x_2 = 0, x_0^2 + x_1^2 + \gamma x_0 x_1 = 0\}$$

l'ensemble des automorphismes A et B de $\mathbb{P}^2(\mathbb{C})$ satisfaisant (7.3.1) est fini.

Posons

$$\mathcal{X} := \{A\xi_{\gamma,\delta}B \mid A, B \in \text{PGL}_3(\mathbb{C}), \gamma, \delta \in \mathbb{C}, \gamma^2 \neq 4, \delta \neq \gamma_{\pm}\} \subset \mathring{\text{Bir}}_3.$$

Il s'agit d'une réunion d'orbites gauche-droite qui représentent les transformations dont l'ensemble exceptionnel est constitué d'une conique lisse C et quatre droites non tangentes à C (configuration $\{15\}$).

La Proposition qui suit est conséquence directe de ce qui précède.

Proposition 7.33. — *L'adhérence de \mathcal{X} dans $\text{Rat}_3 \simeq \mathbb{P}^{29}(\mathbb{C})$ est une variété algébrique irréductible de dimension 18.*

Dans les traités anciens on trouve le discours suivant: les courbes du réseau homaloïdal associé à une transformation birationnelle cubique satisfont les équations suivantes ([AC02])

$$\sum \mu_i^2 = 8, \quad \sum \mu_i = 6, \quad \mu_i \in \mathbb{N}$$

où μ_i désigne la multiplicité aux points base (qui rappelons le ne sont pas nécessairement propres) et q le nombre de points base. Ce système d'équations a pour solution, à réindexation près, $(\mu_1, \mu_2, \mu_3, \mu_4, \mu_5) = (2, 1, 1, 1, 1)$. Ces formules sont satisfaites par tout élément "générique" de \mathcal{X} qui compte cinq points d'indétermination dont 1 d'ordre 2 et 4 d'ordre 1.

Proposition 7.34 (Décomposition de NÆTHER des éléments de \mathcal{X})

Soit f un élément de \mathcal{X} ; alors f possède une écriture du type

$$B\sigma A\sigma C, \quad A, B, C \in \text{PGL}_3(\mathbb{C}).$$

Démonstration. — Considérons un automorphisme A de $\mathbb{P}^2(\mathbb{C})$ de la forme spéciale suivante

$$A = (b_0x_1 + c_0x_2 : b_1x_1 + c_1x_2 : a_2x_0 + b_2x_1 + c_2x_2).$$

La transformation $\sigma A \sigma$ s'écrit

$$((b_1x_1 + c_1x_2)Q : (b_0x_1 + c_0x_2)Q : x_0(b_0x_1 + c_0x_2)(b_1x_1 + c_1x_2))$$

avec $Q = a_2x_1x_2 + b_2x_0x_2 + c_2x_0x_1$. On constate qu'elle est cubique pure dès que $a_2b_2c_2$ est non nul, condition qui caractérise la lissité de la conique $Q = 0$. Visiblement les courbes

$$Q = 0, \quad b_0x_1 + c_0x_2 = 0, \quad b_1x_1 + c_1x_2 = 0, \quad x_1 = 0 \quad \text{et} \quad x_2 = 0$$

sont contractées. Ainsi pour des valeurs génériques des paramètres la configuration des courbes contractées par $\sigma A \sigma$ est du type $\{15\}$. Notons que la configuration de $\text{Exc}(\sigma A \sigma)$ détermine les lignes de la matrice A à multiplication scalaire près, ce qui correspond à l'action à gauche du groupe diagonal, et permutation $(x_0 : x_2 : x_1)$ près. On en déduit facilement que l'ensemble des

transformations du type $B\sigma A\sigma C$, avec A comme ci-dessus, est de dimension 18. Par suite aux configurations de type $\{15\}$ est associée une décomposition de la forme

$$B\sigma A\sigma C, \quad A = (b_0x_1 + c_0x_2 : b_1x_1 + c_1x_2 : a_2x_0 + b_2x_1 + c_2x_2), \quad B, C \in \text{PGL}_3(\mathbb{C}).$$

□

Remarque 7.35. — L'énoncé précédent donne une nouvelle justification à l'étude des transformations A telles que le degré de $\sigma A\sigma$ soit anormal c'est-à-dire plus petit ou égal à 3, étude faite au Chapitre 4.

Notons $\mathbb{C}\mathcal{X} = \mathring{\text{Bir}}_3 \setminus \mathcal{X}$; chaque élément de $\mathbb{C}\mathcal{X}$ est g.d. conjugué à l'un des modèles représentant toutes les configurations exceptées $\{15\}$. Comme ces modèles dépendent au plus d'un paramètre, on en déduit que la dimension de l'adhérence de $\mathbb{C}\mathcal{X}$ est en tout point inférieure ou égale à 17.

D'après la Remarque 7.3 et pour des raisons de dimension on a $\text{Inv}(\overline{\mathcal{X}}) = \overline{\mathcal{X}}$, ce que l'on peut voir de façon explicite en inversant les $\xi_{\gamma,\delta}$.

Pour démontrer l'irréductibilité de $\mathring{\text{Bir}}_3$ on procède comme suit; on cherche à joindre tout élément f_0 de $\mathbb{C}\mathcal{X}$ à l'adhérence de \mathcal{X} par un chemin rationnel $s \mapsto f_s$ de sorte que $f_{s=0} = f_0$ et f_s appartient à $\overline{\mathcal{X}}$ pour les valeurs génériques de s . Il est souvent plus commode de travailler avec des formes "prénormales" qui font intervenir "beaucoup" de paramètres, comme celles données dans le Lemme 7.13, plutôt qu'avec les formes finales (par exemple celles de la Proposition 7.14). On procède au cas par cas suivant la nature du lieu exceptionnel.

7.3.1. Le lieu exceptionnel contient une conique. —

Nous allons essayer de joindre les formes prénormales du Lemme 7.13 de type (b) à celles de type (a) qui sont nécessairement dans $\overline{\mathcal{X}}$. Soit

$$f_0 = (x_0Q : x_1Q : x_0x_1^2), \quad Q = \alpha x_0^2 + \beta x_1^2 + \gamma x_0x_1 + \delta x_0x_2 + \varepsilon x_1x_2$$

un élément de type (b). On considère la transformation

$$f_s = (x_0Q : x_1Q : x_0x_1(sx_2 + x_1)).$$

Pour $s = 0$, on atteint la transformation initiale f_0 et pour s non nul f_s est dans \mathcal{X} .

Maintenant on cherche à relier un élément f_0 de type (c)

$$f_0 = (x_0(x_0^2 + \gamma x_0x_2 + x_1x_2) : x_1(x_0^2 + \gamma x_0x_2 + x_1x_2) : x_0x_1(x_0 - x_1))$$

à $\overline{\mathcal{X}}$. On introduit

$$f_s := (x_0(x_0^2 + \gamma x_0x_2 + x_1x_2) : x_1(x_0^2 + \gamma x_0x_2 + x_1x_2) : x_0x_1(sx_2 + x_0 - x_1)).$$

Pour $s = 0$, on obtient la transformation initiale et pour $s \neq 0$ on constate que f_s est dans $\overline{\mathcal{X}}$; en effet $f_s(x_0 : x_1 : \frac{x_2 - x_0 + x_1}{s})$ s'écrit

$$(x_0P : x_1P : x_0x_1x_2), \quad P = \left(1 - \frac{\gamma}{s}\right)x_0^2 + \frac{x_1^2}{s} + \frac{\gamma - 1}{s}x_0x_1 + \frac{\gamma}{s}x_0x_2 + \frac{x_1x_2}{s}$$

Pour les éléments f_0 de type (d)

$$f_0 = (x_0x_2(x_1 + \gamma x_0) : x_1x_2(x_1 + \gamma x_0) : x_0x_1(x_0 - x_1))$$

on peut procéder simplement comme suit. Les transformations

$$f_s = (x_0(sx_0^2 + \gamma x_0x_2 + x_1x_2) : x_1(sx_0^2 + \gamma x_0x_2 + x_1x_2) : x_0x_1(x_0 - x_1))$$

sont conjuguées pour $s \neq 0$ à $f_{s=1}$ que l'on sait être dans $\overline{\mathcal{X}}$ car de la forme (c). Pour $s = 0$, on a l'élément f_0 de type (d).

7.3.2. Le lieu exceptionnel est constitué de plus de 4 droites. —

Il s'agit de montrer que la transformation

$$f = (x_1(x_0 - x_1)(x_0 + x_2) : x_0(x_0 - x_1)(x_2 - x_1) : (x_0 + x_1)x_1x_2)$$

obtenue dans la Proposition 7.27 est dans $\overline{\mathcal{X}}$. On constate que

$$(x_0 + x_1 : x_1 : x_2)f(x_0 - x_1 : x_1 : x_2),$$

qui s'écrit aussi

$$(x_0(x_0^2 + 2x_1^2 - 3x_0x_1 + x_0x_2 - 2x_1x_2) : x_1(x_0^2 + 2x_1^2 - 3x_0x_1 + x_0x_2 - 2x_1x_2) : x_0x_1x_2),$$

est du type (a) à homothétie près donc f appartient bien à $\overline{\mathcal{X}}$.

7.3.3. Le lieu exceptionnel est constitué de trois droites. —

Les éléments de $\mathring{\text{Bir}}_3$ dont le lieu exceptionnel est constitué d'une conique lisse et deux droites appartiennent à $\overline{\mathcal{X}}$; on déduit de l'invariance de $\overline{\mathcal{X}}$ par Inv que les modèles obtenus dans la Proposition 7.21 sont dans l'adhérence de \mathcal{X} .

Considérons une transformation de type (a). Si $\alpha = \varepsilon = 1$ et $\beta = \gamma = \delta = 0$ elle s'écrit

$$f = (x_0(x_0^2 + x_1x_2) : x_1(x_0^2 + x_1x_2) : x_0x_1x_2).$$

Posons

$$g_s := \left(\frac{x_0 - x_2}{s} : x_1 : x_2 \right) f(sx_0 : sx_1 : x_2) = (x_0^3 : x_1(sx_0^2 + x_1x_2) : x_0x_1x_2);$$

on remarque que $g_{s=0} = (x_0^3 : x_1^2x_2 : x_0x_1x_2)$ est le modèle de la Proposition 7.22.

Reste à considérer les deux modèles dont le lieu exceptionnel est constitué de trois droites concourantes. Lorsque $\alpha = \beta = 1$, $\gamma = 2$ et $\delta = \varepsilon = 0$ une transformation du type (a) est de la forme

$$(x_0(x_0 + x_1)^2) : x_1(x_0 + x_1)^2) : x_0x_1x_2);$$

on constate alors que

$$(x_0 + x_1 : x_1 : x_2)(x_0(x_0 + x_1)^2) : x_1(x_0 + x_1)^2) : x_0x_1x_2)(x_0 - x_1 : x_1 : x_2)$$

coïncide avec $(x_0^3 : x_0^2x_1 : x_1x_2(x_0 - x_1))$, l'un des deux modèles de la Proposition 7.20.

Considérons la seconde transformation obtenue dans la Proposition 7.20

$$(x_0^2(x_0 - x_1) : x_0x_1(x_0 - x_1) : x_0x_1x_2 + x_1^3);$$

elle s'écrit dans la carte $x_1 = 1$ comme suit

$$\left(x_0, \frac{x_0x_2 + 1}{x_0(x_0 - 1)}\right).$$

On peut la perturber de la façon suivante

$$\left(x_0, \frac{x_0x_2 + 1}{x_0(x_0 - 1) + \varepsilon x_2}\right), \quad \varepsilon \in \mathbb{C};$$

on remarque que c'est une homographie en x_2 . En homogénéisant on obtient donc l'élément de $\mathring{\text{Bir}}_3$ suivant

$$(x_0(x_0(x_0 - x_1) + \varepsilon x_1x_2) : x_1(x_0(x_0 - x_1) + \varepsilon x_1x_2) : x_0x_1x_2 + x_1^3),$$

élément qui contracte la conique lisse $x_0(x_0 - x_1) + \varepsilon x_1x_2$ dès que ε est non nul; or un tel élément est dans $\overline{\mathcal{X}}$ (voir §7.3.1) donc

$$(x_0^2(x_0 - x_1) : x_0x_1(x_0 - x_1) : x_0x_1x_2 + x_1^3);$$

l'est aussi.

7.3.4. Le lieu exceptionnel est constitué de deux droites. —

Le modèle $(x_0x_1x_2 : x_1x_2^2 : x_2^3 - x_0^2x_1)$ de la Proposition 7.19, dont l'inverse

$$(x_0(x_1x_2 + x_0^2) : x_1^3 : x_1(x_1x_2 + x_0^2))$$

contracte une droite et une conique, est, de part l'invariance de $\overline{\mathcal{X}}$ par Inv, dans $\overline{\mathcal{X}}$.

Voici rapidement comment on procède pour les cas restants. Considérons une transformation de la forme (b) que l'on sait être dans $\overline{\mathcal{X}}$. Après conjugaison dynamique par $(x_1 : x_0 : x_2)$ on obtient lorsque $\beta = \delta = 1$ et $\alpha = \gamma = \varepsilon = 0$ l'élément

$$f = (x_0^3 + x_0x_1x_2 : x_0^2x_1 + x_1^2x_2 : x_0^2x_1).$$

Posons

$$g_s = \left(x_2 : \frac{x_1 - x_2}{s} : x_0\right) f(x_2 : x_0 : sx_1) = (x_0x_2^2 : x_0^2x_1 : x_2^3 + sx_0x_1x_2);$$

alors $g_{s=0} = (x_0x_2^2 : x_0^2x_1 : x_2^3)$ est le modèle obtenu dans la Proposition 7.19.

Partons encore d'une transformation du type (b). Lorsque $\alpha = \beta = \varepsilon = 1$ et $\gamma = \delta = 0$ on a

$$(x_0(x_0^2 + x_1^2 + x_1x_2) : x_1(x_0^2 + x_1^2 + x_1x_2) : x_0x_1^2).$$

Posons

$$g_s := \left(\frac{x_2}{s} : \frac{x_0 - x_2}{s^3} : x_1\right) (x_0(x_0^2 + x_1^2 + x_1x_2) : x_1(x_0^2 + x_1^2 + x_1x_2) : x_0x_1^2)(sx_0 : x_2 : s^2x_1),$$

soit

$$g_s = (x_0x_2^2 : x_0^3 + x_0x_1x_2 : x_2(s^2x_0^2 + x_2^2 + s^2x_1x_2)).$$

On remarque $g_{s=0} = (x_0x_2^2 : x_0^3 + x_0x_1x_2 : x_2^3)$ est un des cas de la Proposition 7.19; il est donc dans $\overline{\mathcal{X}}$.

Le modèle $(x_0^2x_2 : x_0^2x_1 + x_2^3 : x_0x_2^2)$ de la Proposition 7.19 a pour inverse

$$(x_0^3 : x_0x_1x_2 - x_2^3 : x_0^2x_2)$$

et

$$(-x_2 : x_1 : x_0)(x_0^3 : x_0x_1x_2 - x_2^3 : x_0^2x_2)(-x_2 : x_1 : x_0) = (x_0x_2^2 : x_0^3 + x_0x_1x_2 : x_2^3).$$

On vient de voir que $(x_0x_2^2 : x_0^3 + x_0x_1x_2 : x_2^3)$ appartient à $\overline{\mathcal{X}}$; comme $\overline{\mathcal{X}}$ est invariant par Inv la transformation $(x_0^2x_2 : x_0^2x_1 + x_2^3 : x_0x_2^2)$ est dans l'adhérence de \mathcal{X} .

Pour finir prenons la transformation $f = (x_0^2x_2 : x_0^3 + x_2^3 + x_0x_1x_2 : x_0x_2^2)$ de la Proposition 7.19. Soit f_s la transformation birationnelle définie par

$$f_s = (x_0^2x_2 : x_0^3 + x_2^3 + x_0x_1(x_2 - sx_0) : x_0x_2(x_2 - sx_0)).$$

On constate que pour s non nul f_s contracte trois droites donc est dans $\overline{\mathcal{X}}$ et que $f_{s=0} = f$; ceci implique que f appartient aussi à $\overline{\mathcal{X}}$.

7.3.5. Le lieu exceptionnel est constitué d'une droite. —

Considérons le modèle $(x_0x_2^2 : x_0^3 + x_0x_1x_2 : x_2^3)$ qui contracte exactement deux droites. Posons

$$g_s = (x_1 - s^3x_2 : x_0 - sx_2 : x_2)(x_0x_2^2 : x_0^3 + x_0x_1x_2 : x_2^3) \left(x_1 + sx_2 : \frac{x_0}{s} - 3sx_1 : x_2 \right);$$

on constate que $g_s = (x_1^3 + \frac{x_0x_1x_2}{s} + x_0x_2^2 : x_1x_2^2 : x_2^3)$. Lorsque s tend vers $+\infty$, la transformation g_s tend vers $(x_1^3 + x_0x_2^2 : x_1x_2^2 : x_2^3)$; on reconnaît l'élément obtenu dans la Proposition 7.16 qui contracte précisément une droite.

Finalement on obtient le:

Théorème 7.36. — *L'adhérence (ordinaire) de \mathcal{X} dans $\mathring{\text{Bir}}_3$ est $\mathring{\text{Bir}}_3$. En particulier $\mathring{\text{Bir}}_3$ est irréductible.*

7.3.6. Non irréductibilité de Bir_3 en tant que sous-ensemble de $\mathbb{P}^{29}(\mathbb{C})$. —

Alors que Bir_2 est lisse et irréductible, il n'en est pas de même pour Bir_3 (vu comme sous-ensemble de $\mathbb{P}^{29}(\mathbb{C})$); comme nous l'avons vu $\mathring{\text{Bir}}_3$ est irréductible (en fait rationnellement connexe). Considérons un élément de Bir_3 du type suivant $f_0 = \ell A \sigma$ où ℓ est une forme linéaire générique, disons $x_0 + x_1 + x_2$. Il est clair que f_0 en tant que triplet de formes homogènes ne peut être limite de transformations de $\mathring{\text{Bir}}_3$. Ceci résulte du fait qu'aucun élément de $\mathring{\text{Bir}}_3$ ne contracte quatre droites en position générale. Ceci implique que Bir_3 n'est pas irréductible; plus précisément les composantes irréductibles de $\overline{\text{Bir}}_3$ sont $\mathring{\text{Bir}}_3$ et $\overline{\text{Bir}}'_3$ où $\overline{\text{Bir}}'_3$ désigne l'ensemble des transformations de type ℓQ avec ℓ forme linéaire et Q dans $\overline{\text{Bir}}_2$. On note que $\overline{\text{Bir}}'_3$ est de dimension 16. Toutefois chaque élément de Bir_2 se représente dans $\mathring{\text{Bir}}_3$. Plus précisément avec les notations habituelles $\text{Bir}_3^\bullet = (\mathring{\text{Bir}}_3)^\bullet$.

7.4. Décomposition de NETHER

Nous avons vu dans la Proposition 7.34 la décomposition de NETHER des transformations cubiques génériques, *i.e.* les éléments de \mathcal{C} . Dans les Lemmes qui suivent on propose une décomposition de NETHER pour les éléments du tableau obtenu au Chapitre 7, §7.2.3. On prendra garde au fait que ces décompositions ne sont peut-être pas optimales.

Lemme 7.37. — *La décomposition de NETHER d'un élément de $\mathring{\text{Bir}}_3$ ayant la configuration $\{1\}$ fait intervenir au plus huit fois l'involution de CREMONA.*

Démonstration. — On a vu aux Chapitre 7, §7.2.1 et Chapitre 7, §7.2.2 qu'une transformation birationnelle purement cubique possédant la configuration $\{1\}$ s'écrit $(x_0x_2^2 + x_1^3 : x_1x_2^2 : x_2^3)$ à conjugaison g.d. près. Or

$$(x_0x_2^2 + x_1^3 : x_1x_2^2 : x_2^3) = (x_0 : x_2 : x_1)\rho(x_2 : x_1 : x_0)\tau(x_2 : x_1 : -x_0)\rho(x_0 : x_2 : x_1)$$

d'où le résultat. \square

Lemme 7.38. — *Soit f une transformation birationnelle purement cubique dont la configuration est $\{2\}$; la décomposition de NETHER de f fait intervenir au plus huit fois l'involution de CREMONA.*

Démonstration. — À conjugaison g.d. près f est de l'un des types suivants

$$\begin{aligned} (x_0x_2^2 : x_0^2x_1 : x_2^3), & \quad (x_0x_2^2 : x_0^3 + x_0x_1x_2 : x_2^3), & \quad (x_0^2x_2 : x_0^3 + x_2^3 + x_0x_1x_2 : x_0x_2^2), \\ (x_0^2x_2 : x_0^2x_1 + x_2^3 : x_0x_2^2), & \quad (x_0x_1x_2 : x_1x_2^2 : x_2^3 - x_0^2x_1). \end{aligned}$$

L'énoncé résulte des égalités suivantes

$$\begin{aligned} (x_0x_2^2 : x_0^2x_1 : x_2^3) &= ((x_2 : x_1 : x_0)\rho)^2, \\ (x_0x_2^2 : x_0^3 + x_0x_1x_2 : x_2^3) &= (x_2 : x_0 : x_1)\rho(x_2 : x_1 : x_0)\tau(x_2 : x_0 : -x_1), \\ (x_0^2x_2 : x_0^3 + x_2^3 + x_0x_1x_2 : x_0x_2^2) &= (x_1 : x_2 : x_0)\tau(x_1 : x_0 : -x_2)\tau(x_0 : x_2 : -x_1), \\ (x_0^2x_2 : x_0^2x_1 + x_2^3 : x_0x_2^2) &= (x_1 : x_0 : x_2)\rho(x_0 + x_1 : x_0 : x_2)\rho(x_2 : x_1 : x_0)\rho, \\ (x_0x_1x_2 : x_1x_2^2 : x_2^3 - x_0^2x_1) &= (x_1 : x_0 : -x_2)\tau(x_2 : x_0 : x_1)\rho. \end{aligned}$$

\square

Lemme 7.39. — *Les éléments de $\mathring{\text{Bir}}_3$ présentant la configuration $\{3\}$ comptent dans leur décomposition de NETHER au plus cinq fois l'involution de CREMONA.*

Démonstration. — On a vu que toute transformation birationnelle purement cubique possédant la configuration $\{3\}$ est à conjugaison g.d. près de l'une des formes suivantes

$$\begin{aligned} (x_0^3 : x_1^2x_2 : x_0x_1x_2), & \quad (x_0^2(x_1 - x_2) : x_0x_1(x_1 - x_2) : x_1^2x_2), \\ (x_0^2x_2 : x_0x_1x_2 : x_0x_1^2 - x_1^2x_2), & \quad (x_0x_1x_2 : x_1^2x_2 : x_0(x_1^2 - x_0x_2)). \end{aligned}$$

On constate que $(x_0^3 : x_1^2 x_2 : x_0 x_1 x_2) = (\rho(x_1 : x_2 : x_0))^2$ donc toute transformation appartenant à $O_{g.d.}(x_0^3 : x_1^2 x_2 : x_0 x_1 x_2)$ s'écrit $A\rho(x_1 : x_2 : x_0)\rho B$ où A, B désignent deux automorphismes de $\mathbb{P}^2(\mathbb{C})$.

Comme $(x_0^2(x_1 - x_2) : x_0 x_1(x_1 - x_2) : x_1^2 x_2) = (x_0 + x_2 : x_2 : x_1)\rho(-x_0 + x_1 : x_2 - x_1 : x_0)\sigma$ on a l'inclusion

$$O_{g.d.}(x_0^2(x_1 - x_2) : x_0 x_1(x_1 - x_2) : x_1^2 x_2) \subset \{A\rho(-x_0 + x_1 : x_2 - x_1 : x_0)\sigma B \mid A, B \in \text{PGL}_3(\mathbb{C})\}.$$

Puisque $(x_0^2 x_2 : x_0 x_1 x_2 : x_0 x_1^2 - x_1^2 x_2) = (x_1 : x_2 : x_0 + x_2)\rho(-x_0 - x_1 + x_2 : x_0 : x_1)\sigma$, pour toute transformation f de $O_{g.d.}(x_0^2 x_2 : x_0 x_1 x_2 : x_0 x_1^2 - x_1^2 x_2)$ il existe A et B deux automorphismes de $\mathbb{P}^2(\mathbb{C})$ tels que $f = A\rho(-x_0 - x_1 + x_2 : x_0 : x_1)\sigma B$.

Pour finir on note que $(x_0 x_1 x_2 : x_1^2 x_2 : x_0(x_1^2 - x_0 x_2)) = (x_1 : x_0 : -x_2)\tau\sigma$ donc

$$O_{g.d.}(x_0 x_1 x_2 : x_1^2 x_2 : x_0(x_1^2 - x_0 x_2)) \subset \{A\tau\sigma B \mid A, B \in \text{PGL}_3(\mathbb{C})\}.$$

□

Lemme 7.40. — *La décomposition de NETHER d'une transformation birationnelle purement cubique de configuration $\{4\}$ fait intervenir au plus six fois l'involution σ .*

Démonstration. — On a vu au §7.2.2.3 qu'un élément de $\mathring{\text{Bir}}_3$ de configuration $\{4\}$ est de l'un des types suivants

$$(x_0^3 : x_0^2 x_1 : x_1 x_2(x_0 - x_1)); \quad (x_0^2(x_0 - x_1) : x_0 x_1(x_0 - x_1) : x_1(x_0 x_2 + x_1^2)).$$

Or

$$(x_0^3 : x_0^2 x_1 : x_1 x_2(x_0 - x_1)) = (x_0 + x_2 : x_2 : x_1)\sigma(x_0 : x_1 : x_2 - x_0)\rho(x_1 : x_2 : x_0)$$

et $(x_0^2(x_0 - x_1) : x_0 x_1(x_0 - x_1) : x_1(x_0 x_2 + x_1^2))$ s'écrit

$$(x_1 + x_2 : x_2 : x_0 + x_2)\rho(-x_0 + x_1 + x_2 : x_1 : x_0 - x_1)\tau(x_0 : x_1 : -x_2)$$

d'où l'énoncé. □

Lemme 7.41. — *La décomposition de NETHER des transformations de CREMONA cubiques dont la configuration est $\{5\}$ fait intervenir au plus trois fois l'involution de CREMONA.*

Démonstration. — Soit f une telle transformation birationnelle; elle est, à conjugaison g.d. près, de l'un des types suivants

$$\begin{aligned} &(x_0 x_2(x_0 + x_1) : x_1 x_2(x_0 + x_1) : x_0 x_1^2), \\ &(x_0(x_0 + x_1)(x_1 + x_2) : x_1(x_0 + x_1)(x_1 + x_2) : x_0 x_1 x_2), \\ &(x_0(x_0 + x_1 + x_2)(x_0 + x_1) : x_1(x_0 + x_1 + x_2)(x_0 + x_1) : x_0 x_1 x_2). \end{aligned}$$

On constate que

$$\begin{aligned} &(x_0 x_2(x_0 + x_1) : x_1 x_2(x_0 + x_1) : x_0 x_1^2) = (x_1 + x_2 : -x_2 : -x_0 - x_2)\rho(-x_0 - x_1 + x_2 : -x_0 : x_0 + x_1)\sigma, \\ &(x_0(x_0 + x_1)(x_1 + x_2) : x_1(x_0 + x_1)(x_1 + x_2) : x_0 x_1 x_2) = (-x_0 : \beta x_2 : \alpha \beta x_1)\sigma(x_2 : x_0 + \alpha x_1 : x_1 + \beta x_2)\sigma A, \\ &(x_0(x_0 + x_1 + x_2)(x_0 + x_1) : x_1(x_0 + x_1 + x_2)(x_0 + x_1) : x_0 x_1 x_2) = \sigma(x_0 + x_2 : -x_0 + x_2 : 4x_1 + 2x_2)\rho B \end{aligned}$$

avec

$$A = \left(-\frac{x_2}{\alpha\beta} : -\frac{x_1}{\beta} : x_0 + x_1 \right), \quad B = \left(-\frac{x_0}{2} + \frac{x_1}{2} : x_2 : \frac{x_0}{2} + \frac{x_1}{2} \right).$$

On en déduit le résultat annoncé. \square

Lemme 7.42. — Soit f une transformation birationnelle quadratique avec la configuration $\{6\}$; il existe A dans $\mathrm{PGL}_3(\mathbb{C})$ tel qu'à conjugaison g.d. près f s'écrive $\sigma A \sigma$.

Démonstration. — On a vu que f coïncide à conjugaison g.d. près avec

$$(x_0(x_0^2 + x_1^2 + \gamma x_0 x_1) : x_1(x_0^2 + x_1^2 + \gamma x_0 x_1) : x_0 x_1 x_2), \quad \gamma^2 \neq 4.$$

Or lorsque $\gamma^2 \neq 4$ on a $(x_0(x_0^2 + x_1^2 + \gamma x_0 x_1) : x_1(x_0^2 + x_1^2 + \gamma x_0 x_1) : x_0 x_1 x_2) = \sigma A \sigma B$ où

$$B = (x_0 + \gamma_+ x_1 : x_0 + \gamma_- x_1 : x_2), \quad \gamma_{\pm} = \frac{\gamma \pm \delta^{-1}}{2},$$

$$A = (-\delta x_0 + \delta x_1 : \delta \gamma_+ x_0 - \delta \gamma_- x_1 : x_2), \quad \delta = \frac{1}{\sqrt{\gamma^2 - 4}},$$

d'où l'énoncé. \square

Lemme 7.43. — Soit f un élément de $\mathring{\mathrm{Bir}}_3$ dont la configuration est $\{7\}$; on compte dans la décomposition de NETHER de f au plus trois fois l'involution de CREMONA.

Démonstration. — D'après les Chapitre 7, §7.2.1 et Chapitre 7, §7.2.2 la transformation f est à conjugaison g.d. près de l'un des types suivants

$$(x_0(x_0^2 + x_1^2 + \gamma x_0 x_1 + \gamma_+ x_0 x_2 + x_1 x_2) : x_1(x_0^2 + x_1^2 + \gamma x_0 x_1 + \gamma_+ x_0 x_2 + x_1 x_2) : x_0 x_1 x_2), \quad \gamma^2 \neq 4,$$

$$(x_0 x_2 (x_1 + x_0) : x_1 x_2 (x_1 + x_0) : x_0 x_1 (x_0 - x_1)),$$

$$(x_1 (x_0 - x_1) (x_0 + x_2) : x_0 (x_0 - x_1) (x_2 - x_1) : x_1 x_2 (x_0 + x_1)).$$

L'élément $(x_0(x_0^2 + x_1^2 + \gamma x_0 x_1 + \gamma_+ x_0 x_2 + x_1 x_2) : x_1(x_0^2 + x_1^2 + \gamma x_0 x_1 + \gamma_+ x_0 x_2 + x_1 x_2) : x_0 x_1 x_2)$ s'écrit lorsque $\gamma^2 \neq 4$

$$\sigma(\delta \gamma_+ x_0 - \delta \gamma_- x_1 : -\delta x_0 + \delta x_1 : x_1 + x_2) \sigma(\gamma_+ x_0 + x_1 : \gamma_- x_0 + x_1 : x_2)$$

avec $\delta = \frac{1}{\sqrt{\gamma^2 - 4}}$ et $\gamma_{\pm} = \frac{\gamma \pm \delta^{-1}}{2}$.

On remarque que $(x_0 x_2 (x_1 + x_0) : x_1 x_2 (x_1 + x_0) : x_0 x_1 (x_0 - x_1)) = A \rho B \sigma$ où A désigne l'automorphisme de $\mathbb{P}^2(\mathbb{C})$ défini par $(2(x_1 + x_2) : 2(x_1 - x_2) : 2(x_0 + x_2))$ et B celui donné par

$$\left(-\frac{x_0}{2} - \frac{x_1}{2} + x_2 : -\frac{x_0}{2} + \frac{x_1}{2} : \frac{x_0}{2} + \frac{x_1}{2} \right).$$

Pour finir notons que $(x_1 (x_0 - x_1) (x_0 + x_2) : x_0 (x_0 - x_1) (x_2 - x_1) : x_1 x_2 (x_0 + x_1))$ s'écrit aussi

$$(x_0 + x_2 : x_2 - x_0 : x_1 - x_2) \rho(x_0 - x_1 + 2x_2 : -x_0 + x_1 : x_0 + x_1) \sigma.$$

\square

Lemme 7.44. — Soit f un élément de $\mathring{\text{Bir}}_3$ ayant la configuration $\{8\}$; alors à conjugaison gauche-droite près $f = \rho(x_1 : x_2 : x_0)\tau$. Ainsi σ apparaît au plus six fois dans la décomposition de NETHER de f .

Démonstration. — On sait que f s'écrit $(x_0(x_0^2 + x_1x_2) : x_1^3 : x_1(x_0^2 + x_1x_2))$ à conjugaison g.d. près. Or

$$(x_0(x_0^2 + x_1x_2) : x_1^3 : x_1(x_0^2 + x_1x_2)) = \rho(x_1 : x_2 : x_0)\tau(x_1 : x_0 : -x_2)$$

donc f est de la forme $A\rho(x_1 : x_2 : x_0)\tau B$ où A, B désignent deux automorphismes de $\mathbb{P}^2(\mathbb{C})$. \square

Lemme 7.45. — Toute transformation birationnelle purement cubique ayant pour configuration $\{9\}$ s'écrit à conjugaison gauche-droite près

$$\rho(x_0 : x_0 + x_1 : x_2)\rho;$$

en particulier σ apparaît au plus quatre fois dans sa décomposition de NETHER .

Démonstration. — On a vu que toute transformation birationnelle purement cubique dont le lieu exceptionnel est réduit à une conique et une droite non tangente à cette conique s'écrit à conjugaison g.d. près

$$(x_1^2x_2 : x_0(x_0x_2 + x_1^2) : x_1(x_0x_2 + x_1^2)).$$

Or

$$(x_1^2x_2 : x_0(x_0x_2 + x_1^2) : x_1(x_0x_2 + x_1^2)) = (x_1 : x_0 : x_2)\rho(x_0 : x_0 + x_1 : x_2)\rho(x_0 : x_2 : x_1)$$

donc tout élément de $\mathring{\text{Bir}}_3$ possédant la configuration $\{9\}$ est du type

$$A\rho(x_0 : x_0 + x_1 : x_2)\rho B, \quad A, B \in \text{PGL}_3(\mathbb{C}).$$

\square

Lemme 7.46. — La décomposition de NETHER de toute transformation de CREMONA cubique possédant la configuration $\{10\}$ fait intervenir au plus six fois l'involution de CREMONA .

Démonstration. — Une transformation birationnelle cubique dont la configuration est $\{10\}$ est, à conjugaison g.d. près de l'une des formes suivantes

- $(x_0(x_1^2 + x_0x_2) : x_1(x_1^2 + x_0x_2) : x_0x_1x_2)$;
- $(x_0(x_0^2 + x_1x_2) : x_1(x_0^2 + x_1x_2) : x_0x_1x_2)$;
- $(x_0(x_1^2 + x_0x_2) : x_1(x_1^2 + \gamma x_0x_1 + x_0x_2) : x_0x_1^2)$.

On déduit l'énoncé des égalités

$$(x_0(x_1^2 + x_0x_2) : x_1(x_1^2 + x_0x_2) : x_0x_1x_2) = (x_2 : x_0 : x_1)\sigma(x_0 : x_0 + x_1 : x_2)\rho(x_0 : x_2 : x_1),$$

$$(x_0(x_0^2 + x_1x_2) : x_1(x_0^2 + x_1x_2) : x_0x_1x_2) = (x_0 : x_2 : x_1)\sigma(x_0 : x_0 + x_1 : x_2)\rho(x_1 : x_2 : x_0),$$

et

$$(x_0(x_1^2 + x_0x_2) : x_1(x_1^2 + x_0x_2) : x_0x_1^2) = \sigma(x_1 : x_2 : x_0 + x_1)\rho(x_2 : x_0 : x_1).$$

\square

Lemme 7.47. — *La décomposition de NETHER d'un élément de $\mathring{\text{Bir}}_3$ possédant la configuration $\{11\}$ fait intervenir au plus trois fois l'involution de CREMONA.*

Démonstration. — Soit f une transformation birationnelle purement cubique qui contracte exactement deux droites et une conique. On a l'alternative suivante

- l'une des droites est de multiplicité 3, l'autre de multiplicité 1 et f s'écrit à conjugaison g.d. près

$$(x_0(x_0^2 + x_1x_2 + x_0x_2) : x_1(x_0^2 + x_1x_2 + x_0x_2) : x_0x_1x_2);$$

- les deux droites sont toutes deux de multiplicité 2.

Dans les deux cas les éléments présentant cette configuration forment une orbite gauche-droite (voir §7.2.3).

Dans la première éventualité, on constate que la décomposition de NETHER de f fait intervenir au plus trois fois l'involution de CREMONA puisque

$$(x_0(x_0^2 + x_1x_2 + x_0x_2) : x_1(x_0^2 + x_1x_2 + x_0x_2) : x_0x_1x_2) = (x_1 : x_2 : x_0)\sigma A\rho(x_1 : x_2 : x_0).$$

où $A = (x_0 + x_1 + x_2 : x_0 : x_2)$.

Intéressons-nous à la seconde possibilité. Un calcul montre que $\sigma(x_1 : x_2 : x_0 + x_1 + x_2)\sigma$, qui s'écrit aussi

$$(x_1(x_1x_2 + x_0x_2 + x_0x_1) : x_2(x_1x_2 + x_0x_2 + x_0x_1) : x_0x_1x_2),$$

contracte la conique $x_1x_2 + x_0x_2 + x_0x_1 = 0$ et les droites $x_1 = 0$, $x_2 = 0$; on note que chacune de ces droites est de multiplicité 2 dans la décomposition de $\det \text{jac}$. \square

Lemme 7.48. — *La décomposition de NETHER des transformations birationnelles purement cubiques dont le lieu exceptionnel est réduit à une conique, deux droites et une droite tangente à la conique ($\{12\}$) fait intervenir au plus six fois l'involution de CREMONA.*

Démonstration. — À conjugaison g.d. près nous sommes dans l'une des situations suivantes

- la droite tangente à la conique est de multiplicité 2 et

$$f = (x_0(x_0^2 + x_1x_2) : x_1(x_0^2 + x_1x_2) : x_0x_1(x_0 - x_1));$$

- la droite tangente à la conique est de multiplicité 1 et f s'écrit

$$(x_0(x_0^2 + x_0x_1 + x_1x_2) : x_1(x_0^2 + x_0x_1 + x_1x_2) : x_0x_1x_2).$$

Étudions la première éventualité. La décomposition de f compte alors au plus six fois l'involution de CREMONA puisque

$$(x_0(x_0^2 + x_1x_2) : x_1(x_0^2 + x_1x_2) : x_0x_1(x_0 - x_1)) = (x_0 : x_0 - x_1 : x_2)\sigma(x_1 - x_0 : x_1 : x_2)\tau(x_1 : x_0 : -x_2).$$

Supposons que la droite tangente à la conique soit de multiplicité 1. On constate que

$$\sigma(x_1 + x_2 : x_2 : x_0 + x_1 + x_2)\sigma = (x_1(x_1x_2 + x_0x_2 + x_0x_1) : (x_2 + x_1)(x_1x_2 + x_0x_2 + x_0x_1) : x_0x_1(x_2 + x_1))$$

contracte la conique $x_1x_2 + x_0x_2 + x_0x_1 = 0$, les droites $x_1 + x_2 = 0$, $x_2 = 0$ et $x_1 = 0$; cette dernière droite étant de multiplicité 2. \square

Lemme 7.49. — *Pour chaque élément f de $\mathring{\text{Bir}}_3$ possédant la configuration $\{13\}$ il existe A dans $\text{PGL}_3(\mathbb{C})$ tel que $f = \sigma A \sigma$.*

Démonstration. — Une transformation birationnelle purement cubique f de configuration $\{13\}$ est, à conjugaison g.d. près, du type suivant

$$(x_0(x_1^2 + \gamma x_0x_1 + x_0x_2 + x_1x_2) : x_1(x_1^2 + \gamma x_0x_1 + x_0x_2 + x_1x_2) : x_0x_1x_2), \quad \gamma \neq 0, 1.$$

On constate que $(x_0(x_1^2 + \gamma x_0x_1 + x_0x_2 + x_1x_2) : x_1(x_1^2 + \gamma x_0x_1 + x_0x_2 + x_1x_2) : x_0x_1x_2)$ s'écrit aussi

$$\sigma(-\gamma x_2 : x_1 + x_2 : -\gamma^2 x_0 + x_1 + (1 - \gamma)x_2)\sigma \left(x_2 : -\frac{x_1}{\gamma} : x_0 + \frac{x_1}{\gamma} \right).$$

\square

Lemme 7.50. — *Soit f une transformation birationnelle purement cubique de configuration $\{14\}$; la décomposition de NETHER de f fait intervenir au plus trois fois l'involution σ .*

Démonstration. — D'après ce qui précède on a l'alternative

- $f = (x_0(x_0^2 + x_1^2 + \gamma x_0x_1 + x_0x_2) : x_1(x_0^2 + x_1^2 + \gamma x_0x_1 + x_0x_2) : x_0x_1x_2)$, $\gamma^2 \neq 4$;
- $f = (x_0(x_0^2 + x_1x_2 + x_0x_2) : x_1(x_0^2 + x_1x_2 + x_0x_2) : x_0x_1(x_0 - x_1))$.

Dans le premier cas de figure on constate que $f = \sigma A \sigma B$ avec

$$A = (-x_0 - x_1 : \gamma_- x_0 + \gamma_+ x_1 : \gamma_- x_0 + \gamma_+ x_1 + (\gamma^2 - 4)x_2),$$

$$B = (-\delta(x_0 + \gamma_- x_1) : \delta(x_0 + \gamma_+ x_1) : x_2), \quad \delta = \frac{1}{\sqrt{\gamma^2 - 4}}.$$

Dans la seconde éventualité on a $f = \sigma A \rho B$, les automorphismes A et B de $\mathbb{P}^2(\mathbb{C})$ étant donnés par

$$A = (-2x_1 + 4x_2 : 2x_1 + 4x_2 : -4x_0 + x_1 + 4x_2),$$

$$B = \left(\frac{x_0}{4} + \frac{x_1}{4} + x_2 : -\frac{x_0}{4} - \frac{x_1}{4} : -\frac{x_0}{2} + \frac{x_1}{2} \right).$$

\square

On en déduit l'énoncé suivant.

Théorème 7.51. — *La décomposition de NETHER d'une transformation birationnelle cubique fait intervenir au plus huit fois l'involution de CREMONA.*

7.5. Transformations birationnelles cubiques et feuilletages

On mime ce qui a été fait au Chapitre 3 pour le cas quadratique avec des notations analogues. Puisque $\text{Rat}_3 \simeq \mathbb{P}^{29}(\mathbb{C})$ et $\mathcal{F}_3 \simeq \mathbb{P}^{23}(\mathbb{C})$ on a

$$\begin{aligned} \mathcal{F}(\cdot) : \mathbb{P}^{29}(\mathbb{C}) &\rightarrow \mathbb{P}^{23}(\mathbb{C}) \\ f = (f_0 : f_1 : f_2) &\mapsto (x_1 f_2 - x_2 f_1) dx_0 + (x_2 f_0 - x_0 f_2) dx_1 + (x_0 f_1 - x_1 f_0) dx_2 \end{aligned}$$

Soit f dans $\mathring{\text{Bir}}_3$. Lorsque le feuilletage $\mathcal{F}(f)$ est vraiment de degré 3, *i.e.* lorsque $\mathcal{F}(f)$ ne s'annule pas sur une hypersurface, les points singuliers de $\mathcal{F}(f)$ sont la réunion des points d'indétermination et des points fixes de f . Alors qu'en degré 2 cette même application restreinte à Bir_2 est essentiellement surjective, il n'en est pas de même en degré 3. Comme $\mathring{\text{Bir}}_3$ est de dimension 17, son image est a priori de dimension au plus 17.

Rappelons que \mathcal{X} est l'orbite des transformations $\xi_{\gamma,\delta}$ de la forme

$$(x_0(x_0^2 + x_1^2 + \gamma x_0 x_1 + \delta x_0 x_2 + x_1 x_2) : x_1(x_0^2 + x_1^2 + \gamma x_0 x_1 + \delta x_0 x_2 + x_1 x_2) : x_0 x_1 x_2)$$

induisant la configuration $\{15\}$. Un élément de \mathcal{X} s'écrit $B\xi_{\gamma,\delta}C$ pour certains B, C dans $\text{GL}_3(\mathbb{C})$ et γ, δ dans \mathbb{C} . Notons que $B\xi_{\gamma,\delta}C$ est conjugué à $CB\xi_{\gamma,\delta}$ et par suite $\mathcal{F}(B\xi_{\gamma,\delta}C)$ est linéairement conjugué à $\mathcal{F}(CB\xi_{\gamma,\delta})$. Dans la suite on se concentre donc sur les transformations du type $A\xi_{\gamma,\delta}$. Elles s'écrivent

$$(a_0 x_0 Q + b_0 x_1 Q + c_0 x_0 x_1 x_2 : a_1 x_0 Q + b_1 x_1 Q + c_1 x_0 x_1 x_2 : a_2 x_0 Q + b_2 x_1 Q + c_2 x_0 x_1 x_2)$$

avec $A = \begin{bmatrix} a_0 & b_0 & c_0 \\ a_1 & b_1 & c_1 \\ a_2 & b_2 & c_2 \end{bmatrix}$ et $Q = x_0^2 + x_1^2 + \gamma x_0 x_1 + \delta x_0 x_2 + x_1 x_2$. Un calcul direct montre

que $\mathcal{F}(A\xi_{\gamma,\delta})$ est donné par la 1-forme

$$\begin{aligned} \omega &= (x_1(a_2 x_0 Q + b_2 x_1 Q + c_2 x_0 x_1 x_2) - x_2(a_1 x_0 Q + b_1 x_1 Q + c_1 x_0 x_1 x_2)) dx_0 + \\ &\quad (x_2(a_0 x_0 Q + b_0 x_1 Q + c_0 x_0 x_1 x_2) - x_0(a_2 x_0 Q + b_2 x_1 Q + c_2 x_0 x_1 x_2)) dx_1 + \\ &\quad (x_0(a_1 x_0 Q + b_1 x_1 Q + c_1 x_0 x_1 x_2) - x_1(a_0 x_0 Q + b_0 x_1 Q + c_0 x_0 x_1 x_2)) dx_2 \end{aligned}$$

On remarque que ω , écrit dans la carte affine $x_2 = 1$, a son jet d'ordre 1 nul en $(0,0)$; ce type de feuilletages a des propriétés dynamiques spéciales ([CLNL⁺07]). En fait son 2-jet en $(0,0)$ est donné par

$$(-\delta a_1 x_0^2 + (a_1 + b_1 \delta + c_1) x_0 x_1 + b_1 x_1^2) dx_0 + (\delta a_0 x_0^2 + (a_0 + b_0 \delta + c_0) x_0 x_1 + b_0 x_1^2) dx_1.$$

En particulier, toujours pour des paramètres γ, δ et A génériques, la multiplicité du point singulier $(0,0)$ pour ω est 4. Ceci semble indiquer qu'il y a génériquement 10 points singuliers. Pour confirmer celà on constate que si $A = \text{id}$, les points singuliers de $\xi_{\text{id},\gamma,\delta}$ pour γ, δ génériques sont au nombre de 9 (avec la notation habituelle $\gamma_{\pm} = \frac{\gamma \pm \sqrt{\gamma^2 - 4}}{2}$)

$$\begin{aligned} (1 : 1 : 0), \quad (1 : -1 : 0), \quad (1 : -\gamma_+ : 0), \quad (1 : -\gamma_- : 0), \quad (0 : 0 : 1), \\ (0 : -1 : 1), \quad (-\delta : 0 : 1), \quad ((1 + \delta) : (1 + \delta) : -(1 + \gamma)), \quad (\delta - 1 : \delta - 1 : 1 - \gamma). \end{aligned}$$

On remarque alors que le 2-jet en $(0,0)$ de $\omega_{\text{id},\gamma,\delta}$ n'est pas de type général, en particulier sa multiplicité μ est strictement plus grande que 4. Un feuilletage de degré 3 de $\mathbb{P}^2(\mathbb{C})$ a 13 points singuliers comptés avec multiplicité. Ceci implique que les autres points singuliers sont de multiplicité 1 et que $\mu = 5$. Si A est voisin de l'identité et générique, les huit points simples subsistent, le point $(0,0)$ devient de multiplicité 4 donc un dixième point singulier apparaît. D'où la:

Proposition 7.52. — *Un élément générique de \mathcal{X} possède dix points spéciaux. Cinq sont des points d'indétermination dont l'un est de multiplicité 4, les cinq autres sont des points fixes simples.*

En général pour un élément f de \mathcal{X} au moins quatre des cinq points fixes sont en position générale (pas d'alignement 3 à 3). Pour cela il suffit de construire un exemple. On se donne une transformation $\xi_{\gamma,\delta}$ et on choisit quatre points p_0, p_1, p_2 et p_3 en position générale tels que $\xi_{\gamma,\delta}$ y soit un difféomorphisme local. On suppose que les $q_i := \xi_{\gamma,\delta}(p_i)$ sont aussi en position générale. Alors il existe un unique automorphisme linéaire A tel que $Aq_i = p_i$. La transformation birationnelle $A\xi_{\gamma,\delta} \in \mathcal{X}$ possède quatre points fixes en position générale.

Considérons maintenant deux transformations génériques de \mathcal{X} ayant leurs cinq points d'indétermination communs comptés avec multiplicité (*i.e.* le point de multiplicité 4 est commun aux deux transformations) ainsi que 4 points fixes communs; comme les transformations sont génériques ces 4 points fixes sont en position générale. Remarquons que les points d'indétermination déterminent les 5 courbes contractées: ce sont donc les mêmes pour les deux transformations. On se ramène bien sûr au cas où les deux transformations s'écrivent $A\xi_{\gamma,\delta}$ et $B\xi_{\gamma,\delta'}$. Mais si $\xi_{\gamma,\delta}$ et $\xi_{\gamma,\delta'}$ ont mêmes point d'indétermination elles sont égales, c'est un calcul élémentaire. Les quatre points fixes communs nous permettent d'affirmer que $A = B$. Comme en degré 2 on obtient le:

Théorème 7.53. — *Une transformation birationnelle de degré 3 générique est déterminée par la position de ses 5 points fixes et de ses 5 points d'indétermination affectés de leur multiplicité.*

Dans le cas quadratique pour 7 points en position générale on peut trouver un élément de Bir_2 ayant ces 7 points spéciaux; les configurations de 10 points étant de dimension 20 il n'est pas possible de réaliser un 10-uplet de points génériques comme points spéciaux d'un élément de Bir_3 . Pour une transformation de Bir_3 générique la position de 9 points spéciaux détermine celle du 10ème.

APPENDIX A

DÉMONSTRATION DE LA PROPOSITION 7.14

Nous présentons ici une démonstration de la Proposition 7.14. Il s'agit de réduire le nombre de paramètres apparaissant dans les différents modèles du Lemme 7.13 à conjugaison g.d. près. Pour cela à chaque transformation on associe deux invariants gauche-droite

- la configuration des courbes contractées avec multiplicité, celle qui apparaît dans la décomposition en facteurs irréductibles du déterminant jacobien;
- la configuration des points images des courbes contractées qui n'est rien d'autre que celle des points d'indétermination de f^{-1} .

Nous allons voir que pour certaines valeurs spécifiques des paramètres quelques modèles faisant partie de types distincts (on fait ici allusion aux types (a), (b), (c) et (d) introduits au Lemme 7.13) présentent des configurations d'ensembles $\text{Exc } f$ et $\text{Ind } f^{-1}$ identiques.

Nous avons découpé la preuve en deux parties. La première (§A.1) est une approche grossière de la classification qui consiste modulo quelques conjugaisons immédiates à lister les ensembles $\text{Exc } f$ lorsque f décrit les différents modèles du Lemme 7.13. La seconde (§A.2) consiste à comparer les transformations qui présentent une même configuration d'ensemble exceptionnel.

A.1. Première étape

A.1.1. Éléments de la forme (a). —

Soit f une transformation de type (a). Suivant que le paramètre α est nul ou non, on se ramène à $\alpha = 0$ ou $\alpha = 1$.

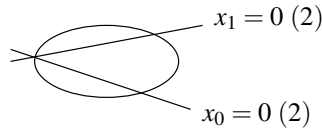
(a) *i.* Commençons par étudier l'éventualité $\alpha = 0$. La transformation f étant dans $\mathring{\text{Bir}}_3$ le paramètre δ et le couple (β, ε) sont non nuls; à conjugaison g.d. près il suffit donc de traiter les possibilités suivantes

$$(\beta, \delta, \varepsilon) = (0, 1, 1), \quad (\beta, \delta, \varepsilon) = (1, 1, 0), \quad (\beta, \delta, \varepsilon) = (1, 1, 1).$$

(a) *i.1.* Supposons que $(\beta, \delta, \varepsilon) = (0, 1, 1)$. Notons que si $\gamma = 0$, la transformation f est quadratique, par suite $\gamma = 1$ à conjugaison g.d. près et

$$f = (x_0(x_0x_1 + x_0x_2 + x_1x_2) : x_1(x_0x_1 + x_0x_2 + x_1x_2) : x_0x_1x_2)$$

pour laquelle on observe la configuration $\{11\}$



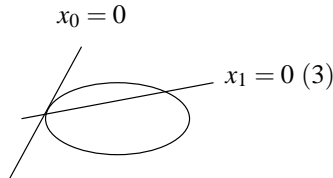
Rappelons que les indices () indiquent la multiplicité qui apparaît dans la décomposition en facteurs irréductibles du déterminant jacobien. Cette multiplicité, qui est évidemment un invariant g.d., n'est mentionnée que lorsqu'elle est strictement supérieure à 1.

(a) *i.2.* Si $(\beta, \delta, \varepsilon) = (1, 1, 0)$, alors

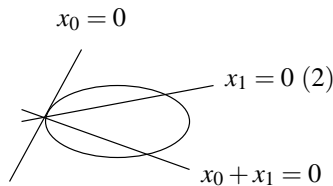
$$f = (x_0(x_1^2 + \gamma x_0x_1 + x_0x_2) : x_1(x_1^2 + \gamma x_0x_1 + x_0x_2) : x_0x_1x_2).$$

On a l'alternative suivante

– ou bien $\gamma = 0$, l'ensemble Exc f est du type $\{10\}$



– ou bien $\gamma \neq 0$, on peut supposer que γ vaut 1 et on constate que f présente la configuration $\{12\}$



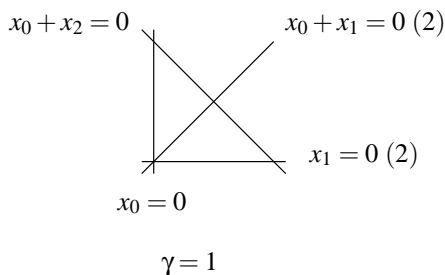
(a) *i.3.* Lorsque $(\beta, \delta, \varepsilon) = (1, 1, 1)$ on a

$$f = (x_0(x_1^2 + \gamma x_0x_1 + x_0x_2 + x_1x_2) : x_1(x_1^2 + \gamma x_0x_1 + x_0x_2 + x_1x_2) : x_0x_1x_2).$$

La conique d'équation $x_1^2 + \gamma x_0x_1 + x_0x_2 + x_1x_2 = 0$ est lisse si et seulement si $\gamma \neq 1$. Les courbes contractées présentent la configuration $\{11\}$, resp. $\{13\}$ lorsque la conique est lisse



et la configuration $\{5\}$ lorsqu'elle ne l'est pas



(a) *ii.* Supposons que $\alpha = 1$. On observe que le couple (β, ε) est non nul; comme précédemment à conjugaison g.d. près il suffit donc de considérer les possibilités

$$(\beta, \varepsilon) = (1, 0), \quad (\beta, \varepsilon) = (0, 1), \quad (\beta, \varepsilon) = (1, 1).$$

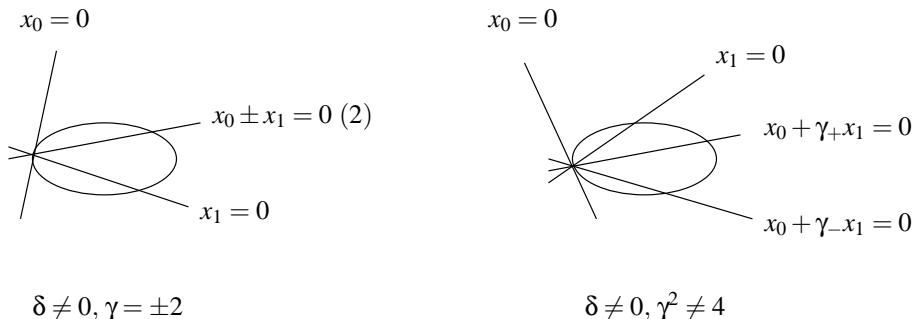
(a) *ii.1.* Étudions l'éventualité $(\beta, \varepsilon) = (1, 0)$

$$f = (x_0(x_0^2 + x_1^2 + \gamma x_0 x_1 + \delta x_0 x_2) : x_1(x_0^2 + x_1^2 + \gamma x_0 x_1 + \delta x_0 x_2) : x_0 x_1 x_2).$$

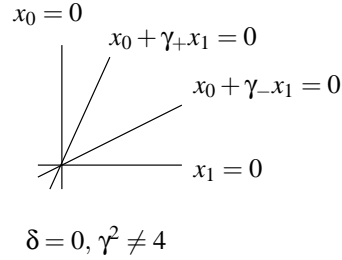
Posons

$$\gamma_+ := \frac{\gamma + \sqrt{\gamma^2 - 4}}{2}, \quad \gamma_- := \frac{\gamma - \sqrt{\gamma^2 - 4}}{2}.$$

La conique d'équation $x_0^2 + x_1^2 + \gamma x_0 x_1 + \delta x_0 x_2 = 0$ est lisse si et seulement si $\delta \neq 0$; nous allons donc distinguer pour décrire les ensembles $\text{Exc } f$ le cas δ nul du cas δ non nul. Si δ est non nul, le lieu exceptionnel de f contient une conique lisse et on observe les configurations $\{12\}$ et $\{14\}$



Lorsque δ est nul on constate que f présente la configuration $\{6\}$

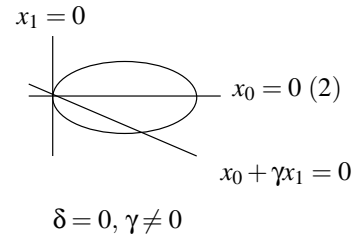
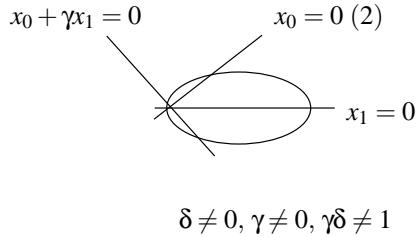


Remarquons que pour $\gamma^2 = 4$ et $\delta = 0$, la conique est une droite double, donc non réduite, ce qui n'entre pas dans la situation étudiée.

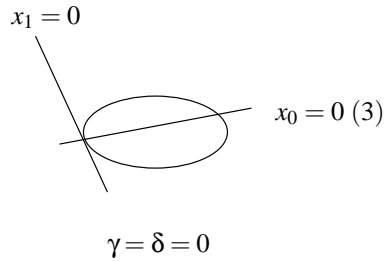
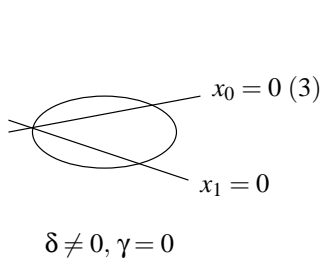
(a) **ii.2.** Si $(\beta, \epsilon) = (0, 1)$, alors f s'écrit

$$(x_0(x_0^2 + \gamma x_0 x_1 + \delta x_0 x_2 + x_1 x_2) : x_1(x_0^2 + \gamma x_0 x_1 + \delta x_0 x_2 + x_1 x_2) : x_0 x_1 x_2).$$

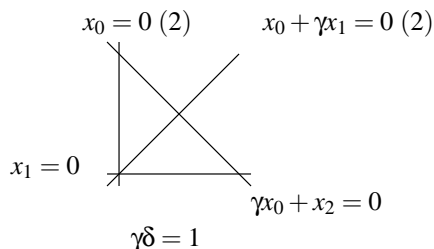
La conique d'équation $x_0^2 + \gamma x_0 x_1 + \delta x_0 x_2 + x_1 x_2 = 0$ est lisse si et seulement si $\gamma\delta \neq 1$. On observe les configurations $\{13\}$, resp. $\{12\}$



Lorsque γ est nul, le nombre de droites diminue et on observe les configurations $\{13\}$, resp. $\{12\}$



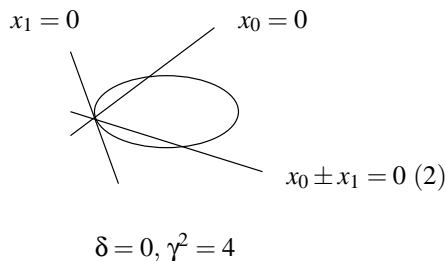
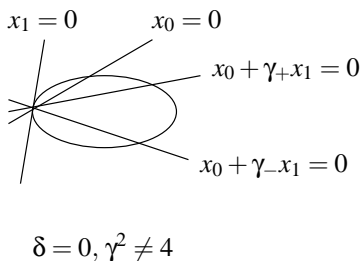
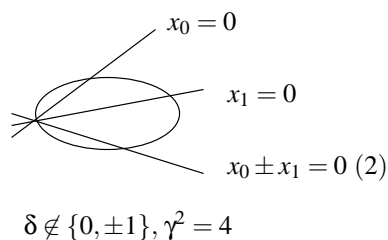
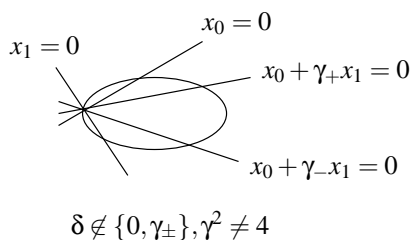
Enfin si $\gamma\delta = 1$ on constate que f ne contracte plus de conique lisse; plus précisément f a pour configuration $\{5\}$



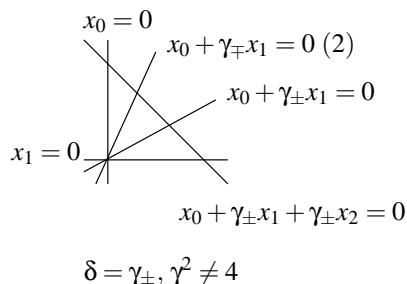
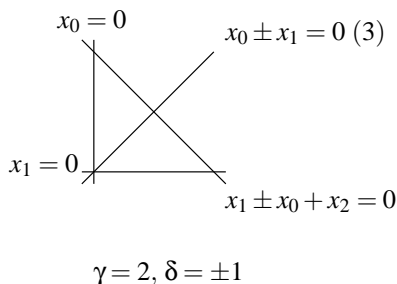
(a) *iii.* Enfin on s'intéresse à la possibilité $(\beta, \varepsilon) = (1, 1)$; on a

$$f = (x_0(x_0^2 + x_1^2 + \gamma x_0 x_1 + \delta x_0 x_2 + x_1 x_2)) : x_1(x_0^2 + x_1^2 + \gamma x_0 x_1 + \delta x_0 x_2 + x_1 x_2) : x_0 x_1 x_2).$$

Notons que la conique $x_0^2 + x_1^2 + \gamma x_0 x_1 + \delta x_0 x_2 + x_1 x_2 = 0$ est lisse si et seulement si $\delta \notin \{\gamma_+, \gamma_-\}$. Si δ est distinct de γ_+ et γ_- , les configurations des courbes contractées sont les configurations {15}, {13}, {14} et {12}



Lorsque la conique dégénère on a ou bien $\delta = \gamma_{\pm}$, ou bien $(\gamma, \delta) = (\pm 2, \pm 1)$. Si on change x_0 en $-x_0$ on voit que les configurations $(\gamma, \delta) = (2, 1)$ et $(\gamma, \delta) = (-2, -1)$ sont isomorphes, tout comme les configurations $(\gamma, \delta) = (2, -1)$ et $(\gamma, \delta) = (-2, 1)$; de sorte qu'il n'y a que les éventualités $(\gamma, \delta) = (2, \pm 1)$ à considérer. On observe les configurations {5} et {7}



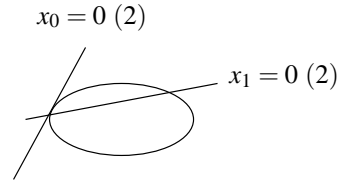
A.1.2. Éléments du type (b). —

Soit f un élément de la forme (b).

(b) *i.* Dans un premier temps supposons que α soit nul: à conjugaison près on a $\alpha = 1$. La transformation f étant purement cubique on peut supposer que $\delta = 1$ et $(\beta, \varepsilon) \neq (0, 0)$; on distingue les possibilités suivantes à conjugaison g.d. près

$$(\beta, \delta, \varepsilon) = (1, 1, 0), \quad (\beta, \delta, \varepsilon) = (0, 1, 1), \quad (\beta, \delta, \varepsilon) = (1, 1, 1).$$

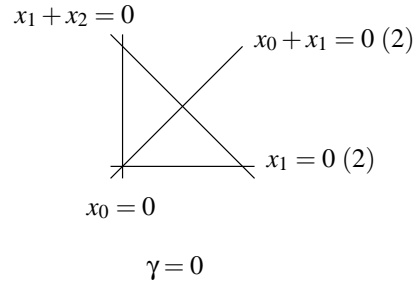
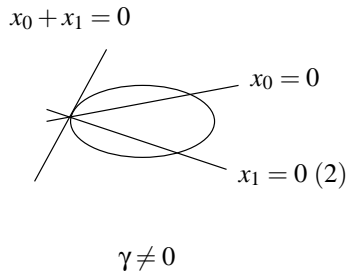
(b) *i.1.* Si $(\beta, \delta, \varepsilon) = (1, 1, 0)$, alors $f = (x_0(x_1^2 + \gamma x_0 x_1 + x_0 x_2) : x_1(x_1^2 + \gamma x_0 x_1 + x_0 x_2) : x_0 x_1^2)$ et la configuration de Exc f est la configuration $\{10\}$



(b) *i.2.* Lorsque $(\beta, \delta, \varepsilon) = (0, 1, 1)$ on a

$$f = (x_0(\gamma x_0 x_1 + x_0 x_2 + x_1 x_2) : x_1(\gamma x_0 x_1 + x_0 x_2 + x_1 x_2) : x_0 x_1^2).$$

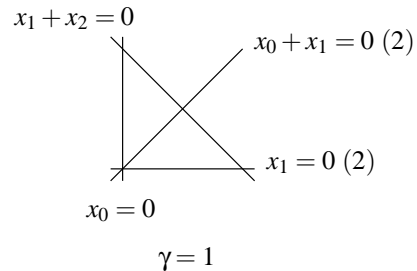
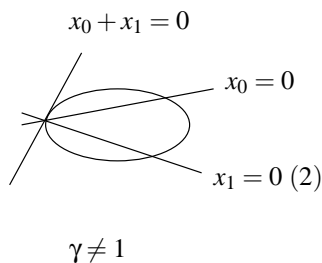
La conique $\gamma x_0 x_1 + x_0 x_2 + x_1 x_2 = 0$ est lisse si et seulement si $\gamma \neq 0$; nous avons donc les configurations $\{12\}$ et $\{5\}$



(b) *i.3.* Pour $(\beta, \delta, \varepsilon) = (1, 1, 1)$ la transformation f est du type

$$(x_0(x_1^2 + \gamma x_0 x_1 + x_0 x_2 + x_1 x_2) : x_1(x_1^2 + \gamma x_0 x_1 + x_0 x_2 + x_1 x_2) : x_0 x_1^2).$$

La conique $x_1^2 + \gamma x_0 x_1 + x_0 x_2 + x_1 x_2 = 0$ étant lisse si et seulement si $\gamma \neq 1$, on observe les configurations $\{12\}$ et $\{5\}$



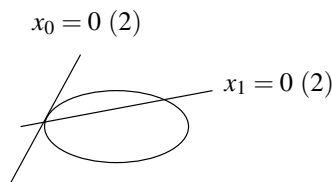
(b) *ii.* Supposons que $\alpha = 1$; puisque f appartient à $\mathring{\text{Bir}}_3$ on a $(\beta, \varepsilon) \neq (0, 0)$; par suite à conjugaison près

$$(\beta, \varepsilon) \in \{(1, 0), (0, 1), (1, 1)\}.$$

(b) *ii.1.* Lorsque $(\beta, \varepsilon) = (1, 0)$ la transformation f s'écrit

$$(x_0(x_0^2 + x_1^2 + \gamma x_0 x_1 + \delta x_0 x_2) : x_1(x_0^2 + x_1^2 + \gamma x_0 x_1 + \delta x_0 x_2) : x_0 x_1^2)$$

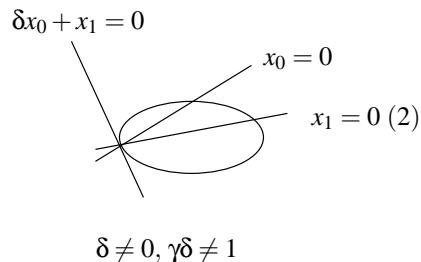
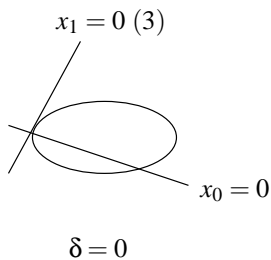
et présente la configuration $\{10\}$



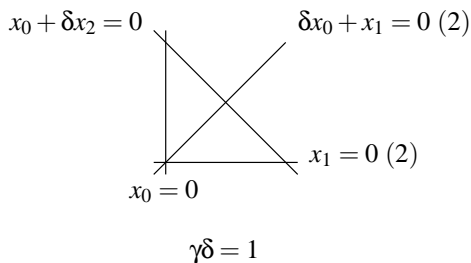
(b) *ii.2.* Si $(\beta, \varepsilon) = (0, 1)$ on a

$$f = (x_0(x_0^2 + \gamma x_0 x_1 + \delta x_0 x_2 + x_1 x_2) : x_1(x_0^2 + \gamma x_0 x_1 + \delta x_0 x_2 + x_1 x_2) : x_0 x_1^2).$$

La conique d'équation $x_0^2 + \gamma x_0 x_1 + \delta x_0 x_2 + x_1 x_2 = 0$ étant lisse si et seulement si $\gamma\delta \neq 1$ on observe pour $\gamma\delta \neq 1$ les configurations $\{10\}$ et $\{12\}$



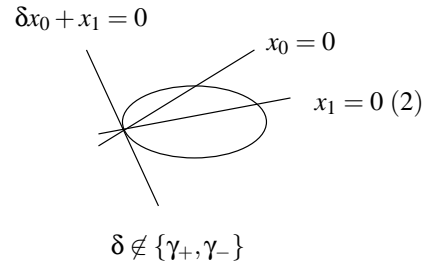
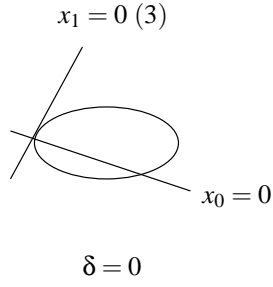
Si $\gamma\delta = 1$ on obtient la configuration $\{5\}$



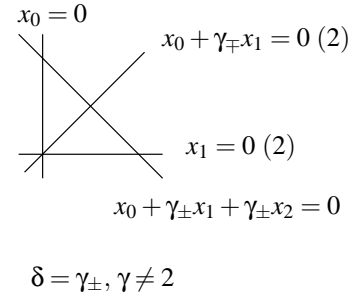
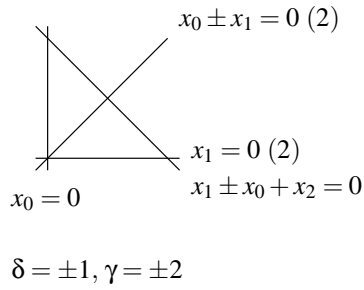
(b) *ii.3.* Pour finir lorsque $(\beta, \varepsilon) = (1, 1)$ la transformation f s'écrit

$$(x_0(x_0^2 + x_1^2 + \gamma x_0 x_1 + \delta x_0 x_2 + x_1 x_2) : x_1(x_0^2 + x_1^2 + \gamma x_0 x_1 + \delta x_0 x_2 + x_1 x_2) : x_0 x_1^2).$$

La conique d'équation $x_0^2 + x_1^2 + \gamma x_0 x_1 + \delta x_0 x_2 + x_1 x_2 = 0$ est lisse si et seulement si δ n'appartient pas à $\{\gamma_+, \gamma_-\}$. Dans ce cas Exc f présente la configuration $\{10\}$ ou $\{12\}$

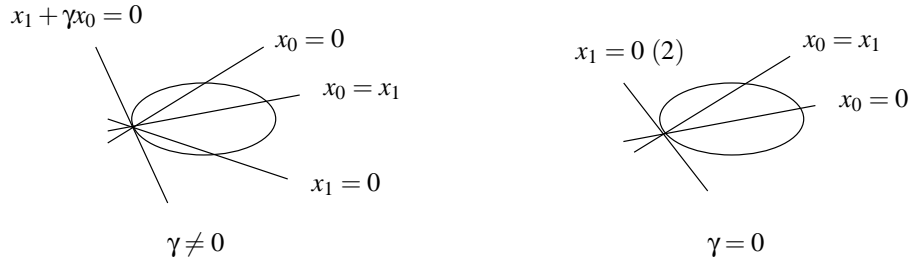


Lorsque $\delta = \gamma_{\pm}$ on observe la configuration $\{5\}$

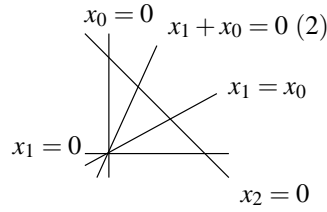


A.1.3. Éléments de la forme (c) et (d). —

Les transformations de type (c) conduisent aux configurations {14} et {12}



Enfin pour un élément de la forme (d) on a la configuration {7}

**A.2. Deuxième étape****A.2.1. Configuration {5}. —**

Les transformations du §A.1 ayant la configuration {5} sont les suivantes

$$f_1 = (x_0(x_1 + x_2)(x_0 + x_1) : x_1(x_1 + x_2)(x_0 + x_1) : x_0x_1x_2);$$

$$f_2 = (x_0(x_2 + \gamma x_0) \left(\frac{x_0}{\gamma} + x_1 \right) : x_1(x_2 + \gamma x_0) \left(\frac{x_0}{\gamma} + x_1 \right) : x_0x_1x_2);$$

$$f_3 = (x_0(x_0 + x_1)(x_0 + x_1 + x_2) : x_1(x_0 + x_1)(x_0 + x_1 + x_2) : x_0x_1x_2);$$

$$f_4 = (x_0x_2(x_0 + x_1) : x_1x_2(x_0 + x_1) : x_0x_1^2);$$

$$f_5 = (x_0(x_0 + x_1)(x_1 + x_2) : x_1(x_0 + x_1)(x_1 + x_2) : x_0x_1^2);$$

$$f_6 = (x_0 \left(\frac{x_0}{\gamma} + x_1 \right) (x_2 + \gamma x_0) : x_1 \left(\frac{x_0}{\gamma} + x_1 \right) (x_2 + \gamma x_0) : x_0x_1^2);$$

$$f_7 = (x_0(x_0 + x_1)(x_0 + x_1 + x_2) : x_1(x_0 + x_1)(x_0 + x_1 + x_2) : x_0x_1^2);$$

$$f_8 = (x_0(x_1 + \gamma_+x_0)(x_1 + \gamma_-x_0 + x_2) : x_1(x_1 + \gamma_+x_0)(x_1 + \gamma_-x_0 + x_2) : x_0x_1^2).$$

On remarque que d'une part f_4, f_5, f_6, f_7 et f_8 sont g.d. conjuguées

$$f_4 = f_5(x_0 : x_1 : x_2 - x_1); \quad f_4 = \left(\frac{x_0}{\gamma} : x_1 : \frac{x_2}{\gamma} \right) f_6(\gamma x_0 : x_1 : x_2 - \gamma^2 x_0);$$

$$f_4 = f_7(x_0 : x_1 : x_2 - x_0 - x_1); \quad f_4 = (\gamma_+ x_0 : x_1 : \gamma_+ x_2) f_8 \left(\frac{x_0}{\gamma_+} : x_1 : x_2 - \frac{\gamma_-}{\gamma_+} x_0 - x_1 \right);$$

et que d'autre part f_1 et f_2 appartiennent à la même g.d. orbite

$$f_1 = (\gamma x_1 : x_0 : x_2) f_2 \left(x_1 : \frac{x_0}{\gamma} : \gamma x_2 \right).$$

Les éléments f_1 et f_4 ne sont pas g.d. conjugués: $\# \text{Ind } f_4 \neq \# \text{Ind } f_1$.

Les transformations f_1 et f_3 ne sont pas g.d. conjuguées: tous les points d'indétermination de f_3 sont des intersections de droites de $\text{Exc } f_3$ ce qui n'est pas le cas pour f_1 .

À conjugaison g.d. près il reste donc seulement les modèles suivants pour la configuration {5}

$$\begin{aligned} & (x_0(x_1 + x_2)(x_0 + x_1) : x_1(x_1 + x_2)(x_0 + x_1) : x_0 x_1 x_2); \\ & (x_0(x_0 + x_1)(x_0 + x_1 + x_2) : x_1(x_0 + x_1)(x_0 + x_1 + x_2) : x_0 x_1 x_2); \\ & (x_0 x_2(x_0 + x_1) : x_1 x_2(x_0 + x_1) : x_0 x_1^2). \end{aligned}$$

A.2.2. Configuration {6}. —

Un seul modèle présente la configuration {6}

$$(x_0(x_0^2 + x_1^2 + \gamma x_0 x_1) : x_1(x_0^2 + x_1^2 + \gamma x_0 x_1) : x_0 x_1 x_2), \quad \gamma^2 \neq 4.$$

A.2.3. Configuration {7}. —

Deux modèles du §A.1 présentent la configuration {7}

$$\begin{aligned} f_1 &= (x_0(x_0^2 + x_1^2 + \gamma x_0 x_1 + \gamma_+ x_0 x_2 + x_1 x_2) : x_1(x_0^2 + x_1^2 + \gamma x_0 x_1 + \gamma_+ x_0 x_2 + x_1 x_2) : x_0 x_1 x_2), \quad \gamma^2 \neq 4; \\ f_2 &= (x_0 x_2(x_1 + \gamma x_0) : x_1 x_2(x_1 + \gamma x_0) : x_0 x_1(x_0 - x_1)). \end{aligned}$$

Les transformations f_1 et f_2 ne sont pas g.d. conjuguées: trois des points de $f_2(\text{Exc } f_2)$ sont alignés ce qui n'est pas le cas pour $f_1(\text{Exc } f_1)$.

A.2.4. Configuration {10}. —

Les éléments obtenus au §A.1 ayant la configuration {10} sont

$$\begin{aligned} f_1 &= (x_0(x_1^2 + x_0 x_2) : x_1(x_1^2 + x_0 x_2) : x_0 x_1 x_2); \\ f_2 &= (x_0(x_0^2 + x_1 x_2) : x_1(x_0^2 + x_1 x_2) : x_0 x_1 x_2); \\ f_3 &= (x_0(x_1^2 + \gamma x_0 x_1 + x_0 x_2) : x_1(x_1^2 + \gamma x_0 x_1 + x_0 x_2) : x_0 x_1^2); \\ f_4 &= (x_0(x_0^2 + x_1^2 + \gamma x_0 x_1 + \delta x_0 x_2) : x_1(x_0^2 + x_1^2 + \gamma x_0 x_1 + \delta x_0 x_2) : x_0 x_1^2); \\ f_5 &= (x_0(x_0^2 + \gamma x_0 x_1 + x_1 x_2) : x_1(x_0^2 + \gamma x_0 x_1 + x_1 x_2) : x_0 x_1^2); \\ f_6 &= (x_0(x_0^2 + x_1^2 + \gamma x_0 x_1 + x_1 x_2) : x_1(x_0^2 + x_1^2 + \gamma x_0 x_1 + x_1 x_2) : x_0 x_1^2). \end{aligned}$$

On constate que f_1 et f_2 (resp. f_3 et f_4 , resp. f_5 et f_6) sont dans la même g.d. orbite

$$f_1 = (x_1 : x_0 : x_2)f_2(x_1 : x_0 : x_2); \quad f_5 = f_6(x_0 : x_1 : x_2 - x_1); \quad f_3 = f_4 \left(x_0 : x_1 : \frac{x_2 - x_0}{\delta} \right).$$

L'élément f_5 n'est conjugué ni à f_1 , ni à f_2 , ni à f_4 ; la configuration de $\text{Exc}f_5$ se distingue de celle des f_i pour $1 \leq i \leq 4$ par la propriété suivante: la droite de $\text{Exc}f_5$ tangente à la conique de $\text{Exc}f_5$ est de multiplicité 3.

L'élément f_4 n'est conjugué ni à f_1 , ni à f_2 , ni à f_5 : les deux droites de $\text{Exc}f_4$ apparaissent avec multiplicité 2 ce qui n'est pas le cas pour les autres modèles.

La transformation f_1 n'est pas conjuguée à f_3 : la droite de $\text{Exc}f_1$ tangente à la conique de $\text{Exc}f_1$ est de multiplicité 1 ce qui n'est pas le cas pour f_3 .

Par ailleurs on remarque que f_3 est g.d. conjugué à

$$(x_0(x_1^2 + x_0x_2) : x_1(x_1^2 + x_0x_2) : x_0x_1^2)$$

et que f_4 appartient à

$$O_{g.d.}(x_0(x_0^2 + x_1x_2) : x_1(x_0^2 + x_1x_2) : x_0x_1^2).$$

Ainsi à conjugaison g.d. près on a les modèles

$$\begin{aligned} (x_0(x_1^2 + x_0x_2) : x_1(x_1^2 + x_0x_2) : x_0x_1x_2); & \quad (x_0(x_1^2 + x_0x_2) : x_1(x_1^2 + x_0x_2) : x_0x_1^2); \\ (x_0(x_0^2 + x_1x_2) : x_1(x_0^2 + x_1x_2) : x_0x_1^2). & \end{aligned}$$

A.2.5. Configuration {11}. —

Considérons les éléments du §A.1 ayant pour configuration {11}

$$\begin{aligned} f_1 &= (x_0(x_0x_1 + x_1x_2 + x_0x_2) : x_1(x_0x_1 + x_1x_2 + x_0x_2) : x_0x_1x_2); \\ f_2 &= (x_0(x_1^2 + x_0x_2 + x_1x_2) : x_1(x_1^2 + x_0x_2 + x_1x_2) : x_0x_1x_2); \\ f_3 &= (x_0(x_0^2 + x_0x_2 + x_1x_2) : x_1(x_0^2 + x_0x_2 + x_1x_2) : x_0x_1x_2). \end{aligned}$$

Un calcul élémentaire conduit à

$$f_3 = (x_1 : x_0 : x_2)f_2(x_1 : x_0 : x_2).$$

Les transformations f_1 et f_3 ne sont pas g.d. conjuguées: les multiplicités des droites de $\text{Exc}f_3$ sont 3 et 1 alors que celles de $\text{Exc}f_1$ apparaissent avec multiplicité 2.

A.2.6. Configuration {12}. —

Les transformations de configuration $\{12\}$ sont

$$\begin{aligned}
f_1 &= (x_0(x_1^2 + x_0x_1 + x_0x_2) : x_1(x_1^2 + x_0x_1 + x_0x_2) : x_0x_1x_2); \\
f_2 &= (x_0(x_0^2 + x_1^2 + 2x_0x_1 + x_0x_2) : x_1(x_0^2 + x_1^2 + 2x_0x_1 + x_0x_2) : x_0x_1x_2); \\
f_3 &= (x_0(x_0^2 + \gamma x_0x_1 + x_1x_2) : x_1(x_0^2 + \gamma x_0x_1 + x_1x_2) : x_0x_1x_2); \\
f_4 &= (x_0(x_0^2 + x_1^2 + 2x_0x_1 + x_1x_2) : x_1(x_0^2 + x_1^2 + 2x_0x_1 + x_1x_2) : x_0x_1x_2); \\
f_5 &= (x_0(x_0x_1 + x_1x_2 + x_0x_2) : x_1(x_0x_1 + x_1x_2 + x_0x_2) : x_0x_1^2); \\
f_6 &= (x_0(x_1^2 + \gamma x_0x_1 + x_0x_2 + x_1x_2) : x_1(x_1^2 + \gamma x_0x_1 + x_0x_2 + x_1x_2) : x_0x_1^2); \\
f_7 &= (x_0(x_0^2 + \gamma x_0x_1 + \delta x_0x_2 + x_1x_2) : x_1(x_0^2 + \gamma x_0x_1 + \delta x_0x_2 + x_1x_2) : x_0x_1^2); \\
f_8 &= (x_0(x_0^2 + x_1^2 + \gamma x_0x_1 + \delta x_0x_2 + x_1x_2) : x_1(x_0^2 + x_1^2 + \gamma x_0x_1 + \delta x_0x_2 + x_1x_2) : x_0x_1^2); \\
f_9 &= (x_0(x_0^2 + x_1x_2) : x_1(x_0^2 + x_1x_2) : x_0x_1(x_0 - x_1)).
\end{aligned}$$

L'élément f_9 n'est g.d. conjugué à aucun des autres f_i : la droite de Exc f_9 tangente à la conique de Exc f_9 apparait avec multiplicité 2 ce qui n'est pas le cas pour les autres modèles.

Les huit premières transformations sont g.d. conjuguées

$$f_2 = (x_1 : x_0 : x_2)f_4(x_1 : x_0 : x_2); \quad f_7 = f_8(x_0 : x_1 : x_2 - x_1);$$

$$\begin{aligned}
f_1 &= (\gamma x_1 : x_0 : x_2)f_3\left(x_1 : \frac{x_0}{\gamma} : \gamma x_2\right); & f_5 &= f_6(x_0 : x_1 : (\gamma - 1)x_2 - x_1); \\
f_1 &= (x_0 : -x_0 - x_1 : -x_0 - x_2)f_2(x_0 : -x_0 - x_1 : x_1 + x_2); & f_7 &= f_5(x_0 : x_1 : x_0 + x_2); \\
f_5 &= (x_0 + x_1 : -x_1 : x_2 - x_1)f_1(-x_0 - x_1 : x_1 : x_2).
\end{aligned}$$

Finalement à conjugaison g.d. près on a deux modèles

$$\begin{aligned}
&(x_0(x_0^2 + x_1x_2) : x_1(x_0^2 + x_1x_2) : x_0x_1(x_0 - x_1)); \\
&(x_0(x_0^2 + x_0x_1 + x_1x_2) : x_1(x_0^2 + x_0x_1 + x_1x_2) : x_0x_1x_2).
\end{aligned}$$

A.2.7. Configuration $\{13\}$. —

Les transformations présentant la configuration $\{13\}$ sont

$$\begin{aligned}
f_1 &= (x_0(x_1^2 + \gamma x_0x_1 + x_1x_2 + x_0x_2) : x_1(x_1^2 + \gamma x_0x_1 + x_1x_2 + x_0x_2) : x_0x_1x_2), & \gamma &\neq 0, 1; \\
f_2 &= (x_0(x_0^2 + \gamma x_0x_1 + x_1x_2 + \delta x_0x_2) : x_1(x_0^2 + \gamma x_0x_1 + x_1x_2 + \delta x_0x_2) : x_0x_1x_2), & \gamma\delta &\neq 0, \gamma\delta \neq 1; \\
f_3 &= (x_0(x_0^2 + x_1^2 + 2x_0x_1 + x_1x_2 + \delta x_0x_2) : x_1(x_0^2 + x_1^2 + 2x_0x_1 + x_1x_2 + \delta x_0x_2) : x_0x_1x_2), & \delta &\neq 0, 1, -1.
\end{aligned}$$

Notons que f_1 et f_2 appartiennent à la même g.d. orbite

$$f_1 = (x_0 : x_1 : x_2)(x_0(x_0^2 + \gamma x_0x_1 + x_1x_2 + x_0x_2) : x_1(x_0^2 + \gamma x_0x_1 + x_1x_2 + x_0x_2) : x_0x_1x_2)\left(x_0 : \delta x_1 : \frac{x_2}{\delta}\right).$$

Les éléments f_1 et f_3 sont g.d. conjugués

$$f_1 = A \left(x_0(x_0^2 + x_1^2 + 2x_0x_1 + x_1x_2 + \frac{\gamma-1}{\gamma}x_0x_2) : x_1(x_0^2 + x_1^2 + 2x_0x_1 + x_1x_2 + \frac{\gamma-1}{\gamma}x_0x_2) : x_0x_1x_2 \right) B$$

avec

$$A = \left(\frac{\gamma-1}{\gamma}x_0 : (1-\gamma)x_0 + (1-\gamma)x_1 : x_0 - \frac{x_2}{\gamma} \right) \quad \text{et} \quad B = \left(-\gamma x_0 : \gamma x_0 + x_1 : \frac{\gamma x_1}{1-\gamma} + \frac{x_2}{1-\gamma} \right).$$

A.2.8. Configuration {14}. —

Les modèles présentant la configuration {14} sont les suivants

$$f_1 = (x_0(x_0^2 + x_1^2 + \gamma x_0x_1 + \delta x_0x_2) : x_1(x_0^2 + x_1^2 + \gamma x_0x_1 + \delta x_0x_2) : x_0x_1x_2), \quad \gamma^2 \neq 4, \delta \neq 0;$$

$$f_2 = (x_0(x_0^2 + x_1^2 + \gamma x_0x_1 + x_1x_2) : x_1(x_0^2 + x_1^2 + \gamma x_0x_1 + x_1x_2) : x_0x_1x_2), \quad \gamma^2 \neq 4;$$

$$f_3 = (x_0(x_0^2 + \gamma x_0x_2 + x_1x_2) : x_1(x_0^2 + \gamma x_0x_2 + x_1x_2) : x_0x_1(x_0 - x_1)), \quad \gamma \neq 0.$$

On remarque que f_1 et f_2 sont g.d. conjugués

$$f_2 = (x_1 : x_0 : \delta x_2) f_1 \left(x_1 : x_0 : \frac{x_2}{\delta} \right);$$

par contre f_1 et f_3 ne le sont pas: trois des points de f_3 (Exc f_3) sont alignés ce qui n'est pas le cas pour f_1 (Exc f_1).

A.2.9. Configuration {15}. —

Un seul modèle du §A.1 possède la configuration {15}, il s'agit de

$$(x_0(x_0^2 + x_1^2 + \gamma x_0x_1 + \delta x_0x_2 + x_1x_2) : x_1(x_0^2 + x_1^2 + \gamma x_0x_1 + \delta x_0x_2 + x_1x_2) : x_0x_1x_2), \quad \gamma^2 \neq 4, \delta \notin \{0, 1\}.$$

INDEX

algébriquement stable	109
application quadratique déterminantielle	33
automorphisme de HÉNON	27
automorphisme de type HÉNON	50
coefficients algébriquement indépendants sur \mathbb{Q}	110
condition de BEDFORD et DILLER	131
conjugaison dynamique	22
conjugaison gauche-droite	22
conique réduite	155
contracter une courbe	22
courbe contractée par une transformation birationnelle	22
courbe de points fixes	95
degré d'une transformation rationnelle	21
droite mobile	47
droite immobile	47
éclatement d'un point	22
ensemble exceptionnel d'une transformation birationnelle	22
famille de droites contractées	46
famille de points d'indétermination	47
flot polynomial	49
générateur infinitésimal	47
germe de flot	46
groupe affine	50
groupe de CREMONA	21
groupe de décomposition d'une courbe irréductible de $\mathbb{P}^2(\mathbb{C})$	6
groupe de DE JONQUIÈRES	3
groupe d'inertie d'une courbe irréductible de $\mathbb{P}^2(\mathbb{C})$	6
indice de BAUM-BOTT du feuilletage \mathcal{F} au point m	100
groupe élémentaire	50

involution de BERTINI	5
involution de CREMONA	2
involution de GEISER	5
k -ième voisinage infinitésimal	1
lieu d'indétermination d'une transformation birationnelle	22
modèle birationnel	46
point base d'une transformation birationnelle	1
point critique d'une application polynomiale homogène	24
point d'intermination d'une transformation birationnelle	22
point fixe d'une transformation birationnelle	94
point fixe résonnant	113
point périodique hyperbolique	129
point infiniment proche	1
point immobile	47
point mobile	47
point périodique d'une transformation birationnelle	129
point propre d'une transformation birationnelle	1
point singulier de type nœud col	45
premier degré dynamique	110
premier voisinage infinitésimal	1
purement de degré k	21
rationnellement intégrable	47
relation linéaire	28
réseau homaloïdal	1
sous-groupe normal de G engendré par l'élément f de G	145
surface de DEL PEZZO	4
symétrie forte	54
transformation quadratique C -générique	6
transformation rationnelle	1
transformation rationnelle non dégénérée	25
transformation birationnelle de $\mathbb{P}^2(\mathbb{C})$ dans lui-même, transformation de CREMONA	1
transformation de DE JONQUIÈRES	3
transformation monomiale	102

INDEX DES NOTATIONS

σ	involution de CREMONA, transformation birationnelle quadratique définie par $(x_0 : x_1 : x_2) \mapsto (x_1x_2 : x_0x_2 : x_0x_1)$	2
dJ	groupe de DE JONQUIÈRES	3
$\lambda(f)$	premier degré dynamique de f	8
f^\bullet	à un élément $f = (f_0 : f_1 : f_2)$ de Rat_k on associe la transformation birationnelle $f^\bullet = \delta(f_0 : f_1 : f_2), \quad \delta = (\text{pgcd}(f_0, f_1, f_2))^{-1}$	10
$Df_{(m)}$	différentielle de f en m	14
$\text{tr}(Df_{(m)})$	trace de $Df_{(m)}$	14
Rat_k	projectivisé de l'espace des triplets de polynômes homogènes de degré k en 3 variables	21
$\mathring{\text{Rat}}_k$	ensemble des éléments de Rat_k purement de degré k	21
Rat	ensemble des transformations rationnelles de $\mathbb{P}^2(\mathbb{C})$ dans lui-même	21
$\text{Bir}(\mathbb{P}^2(\mathbb{C}))$	groupe des transformations birationnelles de $\mathbb{P}^2(\mathbb{C})$, groupe de CREMONA	21
Bir_k	ensemble des transformations de Rat_k inversibles en tant que transformations rationnelles	22
Rat_k^\bullet	ensemble défini par $\{f^\bullet \mid f \in \text{Rat}_k\}$	21
Bir_k^\bullet	ensemble défini par $\{f^\bullet \mid f \in \text{Bir}_k\}$	22
$\mathring{\text{Bir}}_k$	ensemble des transformations birationnelles purement de degré k	22
$O_{\text{dyn}}(Q)$	orbite d'un élément Q de Rat sous l'action de $\text{PGL}_3(\mathbb{C})$ par conjugaison dynamique	22
$O_{g.d.}(Q)$	orbite d'une transformation rationnelle Q sous l'action gauche-droite	22
$\text{Ind } f$	lieu d'indétermination de f	22
$\text{Exc } f$	ensemble exceptionnel de f	22
ρ	transformation birationnelle quadratique donnée par $(x_0 : x_1 : x_2) \mapsto (x_0x_1 : x_2^2 : x_1x_2)$	22
τ	transformation birationnelle quadratique définie par $(x_0 : x_1 : x_2) \mapsto (x_0^2 : x_0x_1 : x_1^2 - x_0x_2)$	22
$\mathbb{C}[x_0, x_1, x_2]_v$	ensemble des polynômes homogènes de degré v dans \mathbb{C}^3	23
$\det \text{jac}$	application définie par $\text{Rat}_2 \rightarrow \mathbb{P}(\mathbb{C}[x_0, x_1, x_2]_3) \simeq \{ \text{courbes de degré 3} \}, \quad [Q] \mapsto [\det \text{jac } Q = 0]$	23
$C(f)$	lieu critique de f	24
Σ^3	orbite de σ sous l'action gauche-droite, i.e. $\Sigma^3 = O_{g.d.}(\sigma)$	27
Σ^2	orbite de ρ sous l'action gauche-droite, i.e. $\Sigma^2 = O_{g.d.}(\rho)$	27
Σ^1	orbite de τ sous l'action gauche-droite, i.e. $\Sigma^1 = O_{g.d.}(\tau)$	27

Σ^0	ensemble des transformations du type $\ell(\ell_0 : \ell_1 : \ell_2), \ell, \ell_i$ formes linéaires, les ℓ_i étant indépendantes	27
$\text{RL}(Q)$	\mathbb{C} -espace vectoriel des relations linéaires de Q	28
$e(Q)$	dimension de $\text{RL}(Q)$	28
$\text{Sing } \mathcal{F}$	lieu singulier du feuilletage \mathcal{F}	36
$\text{Isot } f$	groupe d'isotropie de f	38
$\langle f_1, \dots, f_n \rangle$	groupe engendré par f_1, \dots, f_n	38
\mathcal{S}_6	groupe donné par $\mathcal{S}_6 = \{\text{id}, (x_0 : x_2 : x_1), (x_2 : x_1 : x_0), (x_1 : x_0 : x_2), (x_1 : x_2 : x_0), (x_2 : x_0 : x_1)\}$	38
A	groupe affine $A = \{(x_0, x_1) \mapsto (a_1x_0 + b_1x_1 + c_1, a_2x_0 + b_2x_1 + c_2) \mid a_i, b_i, c_i \in \mathbb{C}, a_1b_2 - a_2b_1 \neq 0\}$	50
E	groupe élémentaire $E = \{(x_0, x_1) \mapsto (\alpha x_0 + P(x_1), \beta x_1 + \gamma) \mid \alpha, \beta \in \mathbb{C}^*, \gamma \in \mathbb{C}, P \in \mathbb{C}[x_1]\}$	50
\mathcal{F}_v	projectivisé de l'espace vectoriel des formes ω satisfaisant l'identité d'EULER: $\mathcal{F}_v = \mathbb{P}\{\omega = F_0dx_0 + F_1dx_1 + F_2dx_2 \mid x_0F_0 + x_1F_1 + x_2F_2 = 0, \deg F_i = v + 1\}$	93
\mathcal{F}_v^\bullet	espace des feuilletages de degré inférieur ou égal à v	93
$\mathring{\mathcal{F}}_v$	ensemble des feuilletages de degré v	94
$\mathcal{F}(\cdot)$	application donnée par $\text{Rat}_n \rightarrow \mathcal{F}_n, f = (f_0 : f_1 : f_2) \mapsto (x_1f_2 - x_2f_1)dx_0 + (x_2f_0 - x_0f_2)dx_1 + (x_0f_1 - x_1f_0)dx_2$	94
$\text{Fix } f$	ensemble des points fixes de f	94
$\text{Re } z$	partie réelle de z	100
$\text{BB}(\mathcal{F}(m))$	indice de BAUM-BOTT du feuilletage \mathcal{F} au point m	100
$\text{Aut}(\mathbb{C}, +, \cdot)$	groupe des automorphismes du corps \mathbb{C}	111
A^κ	élément obtenu en faisant agir l'élément κ de $\text{Aut}(\mathbb{C}, +, \cdot)$ sur les coefficients de l'automorphisme A de $\mathbb{P}^2(\mathbb{C})$	111
$\text{Ind}^+ f$	union des ensembles d'indétermination des itérés positifs de f : $\bigcup_{n \geq 1} \text{Ind } f^n$	126
$\text{Ind}^- f$	union des ensembles d'indétermination des itérés négatifs de f : $\bigcup_{n \geq 1} \text{Ind } f^{-n}$	126
$\text{Exc}^+ f$	union des ensembles exceptionnels des itérés positifs de f : $\bigcup_{n \geq 1} \text{Exc } f^n$	126
$\text{Exc}^- f$	union des ensembles exceptionnels des itérés négatifs de f : $\bigcup_{n \geq 1} \text{Exc } f^{-n}$	126
$f_{\alpha, \beta}$	famille de transformations birationnelles définie par $\left(\frac{\alpha x_0 + x_1}{x_0 + 1}, \beta x_1 \right), \alpha, \beta \in \mathbb{C}^*$	131
dist	métrique de FUBINI-STUDY	131
$\text{N}(f, G)$	sous-groupe normal de G engendré par l'élément f de G	145
Inv	application qui à une transformation birationnelle associe son inverse	155

- (a) transformation du type
 $(x_0(\alpha x_0^2 + \beta x_1^2 + \gamma x_0 x_1 + \delta x_0 x_2 + \varepsilon x_1 x_2) : x_1(\alpha x_0^2 + \beta x_1^2 + \gamma x_0 x_1 + \delta x_0 x_2 + \varepsilon x_1 x_2) : x_0 x_1 x_2)$ 161
- (b) transformation de la forme
 $(x_0(\alpha x_0^2 + \beta x_1^2 + \gamma x_0 x_1 + \delta x_0 x_2 + \varepsilon x_1 x_2) : x_1(\alpha x_0^2 + \beta x_1^2 + \gamma x_0 x_1 + \delta x_0 x_2 + \varepsilon x_1 x_2) : x_0 x_1^2)$ 161
- (c) transformation du type
 $(x_0(x_0^2 + x_1 x_2 + \gamma x_0 x_2) : x_1(x_0^2 + x_1 x_2 + \gamma x_0 x_2) : x_0 x_1(x_0 - x_1))$ 161
- (d) transformation de la forme
 $(x_0 x_2(x_1 + \gamma x_0) : x_1 x_2(x_1 + \gamma x_0) : x_0 x_1(x_0 - x_1))$ 161

BIBLIOGRAPHY

- [AC02] M. Alberich-Carramiñana. *Geometry of the plane Cremona maps*, volume 1769 of *Lecture Notes in Mathematics*. Springer-Verlag, Berlin, 2002.
- [BB72] P. Baum and R. Bott. Singularities of holomorphic foliations. *J. Differential Geometry*, 7:279–342, 1972.
- [BB00] L. Bayle and A. Beauville. Birational involutions of \mathbb{P}^2 . *Asian J. Math.*, 4(1):11–17, 2000. Kodaira’s issue.
- [BD05] E. Bedford and J. Diller. Energy and invariant measures for birational surface maps. *Duke Math. J.*, 128(2):331–368, 2005.
- [Bea07] A. Beauville. p -elementary subgroups of the Cremona group. *J. Algebra*, 314(2):553–564, 2007.
- [Ber77] E. Bertini. Ricerche sulle trasformazioni univoche involutorie nel piano. *Annali di Mat.*, 8:244–286, 1877.
- [Bir36] G. Birkhoff. Lie groups simply isomorphic with no linear group. *Bull. Amer. Math. Soc.*, 42(12):883–888, 1936.
- [BK] E. Bedford and K. Kim. Dynamics of rational surface automorphisms: Linear fractional recurrences. *math.DS/0611297*.
- [BKT⁺08] E. Bedford, K. Kim, T. T. Truong, N. Abarenkova, and J.-M. Maillard. Degree complexity of a family of birational maps. *Math. Phys. Anal. Geom.*, 11(1):53–71, 2008.
- [Bla84] P. Blanchard. Complex analytic dynamics on the Riemann sphere. *Bull. Amer. Math. Soc. (N.S.)*, 11(1):85–141, 1984.
- [Bla06] J. Blanc. Conjugacy classes of affine automorphisms of \mathbb{K}^n and linear automorphisms of \mathbb{P}^n in the Cremona groups. *Manuscripta Math.*, 119(2):225–241, 2006.
- [Bla08] J. Blanc. On the inertia group of elliptic curves in the Cremona group of the plane. *Michigan Math. J.*, 56(2):315–330, 2008.

- [BPV08] J. Blanc, I. Pan, and T. Vust. Sur un théorème de Castelnuovo. *Bull. Braz. Math. Soc. (N.S.)*, 39(1):61–80, 2008.
- [Bro76] F. E. Browder, editor. *Mathematical developments arising from Hilbert problems*. American Mathematical Society, Providence, R. I., 1976.
- [Bru99] M. Brunella. Minimal models of foliated algebraic surfaces. *Bull. Soc. Math. France*, 127(2):289–305, 1999.
- [Can06] S. Cantat. Sur les groupes de transformations birationnelles des surfaces. *preprint*, 2006.
- [Cas92] G. Castelnuovo. Sulle trasformazioni cremoniane del piano, che ammettono una curva fiera. *Rend. Accad. Lincei*, 1892.
- [Cas01] G. Castelnuovo. Le trasformazioni generatrici del gruppo cremoniano nel piano. *Atti della R. Accad. delle Scienze di Torino*, 36:861–874, 1901.
- [CF03] S. Cantat and C. Favre. Symétries birationnelles des surfaces feuilletées. *J. Reine Angew. Math.*, 561:199–235, 2003.
- [CLNL⁺07] D. Cerveau, A. Lins-Neto, F. Loray, J. V. Pereira, and F. Touzet. Complex codimension one singular foliations and Godbillon-Vey sequences. *Mosc. Math. J.*, 7(1):21–54, 2007.
- [Cob61] A. B. Coble. *Algebraic geometry and theta functions*. Revised printing. American Mathematical Society Colloquium Publication, vol. X. American Mathematical Society, Providence, R.I., 1961.
- [Coo40] J. L. Coolidge. *A History of Geometrical Methods*. Oxford University Press, New York, 1940.
- [Coo59] J. L. Coolidge. *A treatise on algebraic plane curves*. Dover Publications Inc., New York, 1959.
- [Del77] P. Delorme. 1-cohomologie des représentations unitaires des groupes de Lie semi-simples et résolubles. Produits tensoriels continus de représentations. *Bull. Soc. Math. France*, 105(3):281–336, 1977.
- [Del81] P. Deligne. Le groupe fondamental du complément d’une courbe plane n’ayant que des points doubles ordinaires est abélien (d’après W. Fulton). In *Bourbaki Seminar, Vol. 1979/80*, volume 842 of *Lecture Notes in Math.*, pages 1–10. Springer, Berlin, 1981.
- [Dés06a] J. Déserti. Groupe de Cremona et dynamique complexe: une approche de la conjecture de Zimmer. *Int. Math. Res. Not.*, pages Art. ID 71701, 27, 2006.
- [Dés06b] J. Déserti. Sur les automorphismes du groupe de Cremona. *Compos. Math.*, 142(6):1459–1478, 2006.
- [Dés07a] J. Déserti. Le groupe de Cremona est hopfien. *C. R. Math. Acad. Sci. Paris*, 344(3):153–156, 2007.

- [Dés07b] J. Déserti. Sur les sous-groupes nilpotents du groupe de Cremona. *Bull. Braz. Math. Soc. (N.S.)*, 38(3):377–388, 2007.
- [Dés08] J. Déserti. Expériences sur certaines transformations birationnelles quadratiques. *Nonlinearity*, 21(6):1367–1383, 2008.
- [DF01] J. Diller and C. Favre. Dynamics of bimeromorphic maps of surfaces. *Amer. J. Math.*, 123(6):1135–1169, 2001.
- [dF04] T. de Fernex. On planar Cremona maps of prime order. *Nagoya Math. J.*, 174:1–28, 2004.
- [DI] I. V. Dolgachev and V. A. Iskovskikh. Finite subgroups of the plane Cremona group. *Algebra, Arithmetic, and Geometry: Volume I: In Honor of Y.I. Manin. A paraître*.
- [Die71] J. A. Dieudonné. *La géométrie des groupes classiques*. Springer-Verlag, Berlin, 1971. Troisième édition, *Ergebnisse der Mathematik und ihrer Grenzgebiete, Band 5*.
- [DJS07] J. Diller, D. Jackson, and A. Sommese. Invariant curves for birational surface maps. *Trans. Amer. Math. Soc.*, 359(6):2793–2991 (electronic), 2007.
- [DPT80] M. Demazure, H. C. Pinkham, and B. Teissier, editors. *Séminaire sur les Singularités des Surfaces*, volume 777 of *Lecture Notes in Mathematics*. Springer, Berlin, 1980. Held at the Centre de Mathématiques de l'École Polytechnique, Palaiseau, 1976–1977.
- [Duj06] R. Dujardin. Laminar currents and birational dynamics. *Duke Math. J.*, 131(2):219–247, 2006.
- [Fav98] C. Favre. Points périodiques d'applications birationnelles de \mathbb{P}^2 . *Ann. Inst. Fourier (Grenoble)*, 48(4):999–1023, 1998.
- [Favre] C. Favre. Le groupe de Cremona et ses sous-groupes de type fini. (Exp. No. 998), À paraître. *Séminaire Bourbaki*. Vol. 2008/2009.
- [FM89] S. Friedland and J. Milnor. Dynamical properties of plane polynomial automorphisms. *Ergodic Theory Dynam. Systems*, 9(1):67–99, 1989.
- [FS95] J. E. Fornæss and N. Sibony. Complex dynamics in higher dimension. II. In *Modern methods in complex analysis (Princeton, NJ, 1992)*, volume 137 of *Ann. of Math. Stud.*, pages 135–182. Princeton Univ. Press, Princeton, NJ, 1995.
- [GH94] P. Griffiths and J. Harris. *Principles of algebraic geometry*. Wiley Classics Library. John Wiley & Sons Inc., New York, 1994. Reprint of the 1978 original.
- [Giz82] M. Kh. Gizatullin. Defining relations for the Cremona group of the plane. *Izv. Akad. Nauk SSSR Ser. Mat.*, 46(5):909–970, 1134, 1982.
- [GMI97] X. Gómez-Mont and Luengo I. The bott polynomial of a holomorphic foliation by curves. *Ecuaciones Diferenciales y Singularidades (Colloque Medina 1995)*, Universidad de Valladolid (1997).

- [GMK89] X. Gómez-Mont and G. Kempf. Stability of meromorphic vector fields in projective spaces. *Comment. Math. Helv.*, 64(3):462–473, 1989.
- [God53] L. Godeaux. *Les transformations birationnelles du plan*. Mémor. Sci. Math., no. 122. Gauthier-Villars, Paris, 1953. 2nd ed.
- [Gui77] A. Guichardet. Étude de la l -cohomologie et de la topologie du dual pour les groupes de Lie à radical abélien. *Math. Ann.*, 228(3):215–232, 1977.
- [Gui04] A. Guillot. Un théorème de point fixe pour les endomorphismes de l'espace projectif avec des applications aux feuilletages algébriques. *Bull. Braz. Math. Soc. (N.S.)*, 35(3):345–362, 2004.
- [Gui07] A. Guillot. *Communication personnelle*, 2007.
- [Har95] J. Harris. *Algebraic geometry*, volume 133 of *Graduate Texts in Mathematics*. Springer-Verlag, New York, 1995. A first course, Corrected reprint of the 1992 original.
- [HP94] W. V. D. Hodge and D. Pedoe. *Methods of algebraic geometry. Vol. II*. Cambridge Mathematical Library. Cambridge University Press, Cambridge, 1994. Book III: General theory of algebraic varieties in projective space, Book IV: Quadrics and Grassmann varieties, Reprint of the 1952 original.
- [Hud27] H. P. Hudson. *Cremona Transformations in Plane and Space*. Cambridge University Press. 1927.
- [Isk79] V. A. Iskovskih. Minimal models of rational surfaces over arbitrary fields. *Izv. Akad. Nauk SSSR Ser. Mat.*, 43(1):19–43, 237, 1979.
- [Isk85] V. A. Iskovskih. Proof of a theorem on relations in the two-dimensional Cremona group. *Uspekhi Mat. Nauk*, 40(5(245)):255–256, 1985.
- [Jac05] D. Jackson. Invariant curves for birational maps. *Ph.D. thesis, University of Notre Dame*, 2005.
- [Jou79] J.-P. Jouanolou. *Équations de Pfaff algébriques*, volume 708 of *Lecture Notes in Mathematics*. Springer, Berlin, 1979.
- [Jun42] H. W. E. Jung. Über ganze birationale Transformationen der Ebene. *J. Reine Angew. Math.*, 184:161–174, 1942.
- [Kan95] S. Kantor. Theorie der endlichen gruppen von eindeutigen transformationen in der ebene. *Mayer & Mullen, Berlin*, 1895.
- [Lam01] S. Lamy. L'alternative de Tits pour $\text{Aut}[\mathbb{C}^2]$. *J. Algebra*, 239(2):413–437, 2001.
- [Lam02] S. Lamy. Une preuve géométrique du théorème de Jung. *Enseign. Math. (2)*, 48(3-4):291–315, 2002.
- [Lef37] S. Lefschetz. On the fixed point formula. *Ann. of Math. (2)*, 38(4):819–822, 1937.

- [Man67] Ju. I. Manin. Rational surfaces over perfect fields. II. *Mat. Sb. (N.S.)*, 72 (114):161–192, 1967.
- [Mar81] J. Martinet. Normalisation des champs de vecteurs holomorphes (d’après A.-D. Brjuno). In *Bourbaki Seminar, Vol. 1980/81*, volume 901 of *Lecture Notes in Math.*, pages 55–70. Springer, Berlin, 1981.
- [Mar91] G. A. Margulis. *Discrete subgroups of semisimple Lie groups*, volume 17 of *Ergebnisse der Mathematik und ihrer Grenzgebiete (3) [Results in Mathematics and Related Areas (3)]*. Springer-Verlag, Berlin, 1991.
- [MM80] J.-F. Mattei and R. Moussu. Holonomie et intégrales premières. *Ann. Sci. École Norm. Sup. (4)*, 13(4):469–523, 1980.
- [Mol67] D. I. Moldavanski. Certain subgroups of groups with one defining relation. *Sibirsk. Mat. Z.*, 8:1370–1384, 1967.
- [Noe69] M. Noether. Ueber die auf Ebenen eindeutig abbildbaren algebraischen Flächen. *Göttigen Nachr.*, pages 1–6, 1869.
- [Noe70] M. Noether. Ueber Flächen, welche Schaaren rationaler Curven besitzen. *Math. Ann.*, 3(2):161–227, 1870.
- [Noe72] M. Noether. Zur Theorie der eidentigen Ebenentransformationen. *Math. Ann.*, 5(4):635–639, 1872.
- [Pan99] I. Pan. Une remarque sur la génération du groupe de Cremona. *Bol. Soc. Brasil. Mat. (N.S.)*, 30(1):95–98, 1999.
- [Pan05] I. Pan. Sur le degré dynamique des transformations de Cremona du plan qui stabilisent une courbe irrationnelle non-elliptique. *C. R. Math. Acad. Sci. Paris*, 341(7):439–443, 2005.
- [Pan07a] I. Pan. *Communication personnelle*, 2007.
- [Pan07b] I. Pan. Sur le sous-groupe de décomposition d’une courbe irrationnelle dans le groupe de Cremona du plan. *Michigan Math. J.*, 55(2):285–298, 2007.
- [Sai76] K. Saito. On a generalization of de-Rham lemma. *Ann. Inst. Fourier (Grenoble)*, 26(2):vii, 165–170, 1976.
- [Ser77] J.-P. Serre. *Arbres, amalgames, SL_2* . Société Mathématique de France, Paris, 1977. Avec un sommaire anglais, Rédigé avec la collaboration de Hyman Bass, Astérisque, No. 46.
- [Serre] J.-P. Serre. Le groupe de Cremona et ses sous-groupes finis. (Exp. No. 1000), À paraître. Séminaire Bourbaki. Vol. 2008/2009.
- [SR85] J. G. Semple and L. Roth. *Introduction to algebraic geometry*. Oxford Science Publications. The Clarendon Press Oxford University Press, New York, 1985. Reprint of the 1949 original.

- [Tit72] J. Tits. Free subgroups in linear groups. *J. Algebra*, 20:250–270, 1972.
- [Tou72] J.-C. Tougeron. *Idéaux de fonctions différentiables*. Springer-Verlag, Berlin, 1972. *Ergebnisse der Mathematik und ihrer Grenzgebiete, Band 71*.
- [VGS00] E. B. Vinberg, V. V. Gorbatsevich, and O. V. Shvartsman. Discrete subgroups of Lie groups. In *Lie groups and Lie algebras, II*, volume 21 of *Encyclopaedia Math. Sci.*, pages 1–123, 217–223. Springer, Berlin, 2000.
- [Wim87] A. Wiman. Zur theorie der endlichen gruppen von birationalen transformationen in der ebene. *Math. Ann.*, 4, 1987.
- [Wri79] D. Wright. Abelian subgroups of $\text{Aut}_k(k[X, Y])$ and applications to actions on the affine plane. *Illinois J. Math.*, 23(4):579–634, 1979.
- [Zim84] R. J. Zimmer. Kazhdan groups acting on compact manifolds. *Invent. Math.*, 75(3):425–436, 1984.
- [Zim86] R. J. Zimmer. On connection-preserving actions of discrete linear groups. *Ergodic Theory Dynam. Systems*, 6(4):639–644, 1986.
- [Zim87a] R. J. Zimmer. Actions of semisimple groups and discrete subgroups. In *Proceedings of the International Congress of Mathematicians, Vol. 1, 2 (Berkeley, Calif., 1986)*, pages 1247–1258, Providence, RI, 1987. Amer. Math. Soc.
- [Zim87b] R. J. Zimmer. Lattices in semisimple groups and invariant geometric structures on compact manifolds. In *Discrete groups in geometry and analysis (New Haven, Conn., 1984)*, volume 67 of *Progr. Math.*, pages 152–210. Birkhäuser Boston, Boston, MA, 1987.